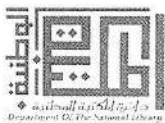


مقدمة في ميكانيك الكم

الجزء الأول

الأستاذ الدكتور محمد باسل الطائي
قسم الفيزياء - جامعة اليرموك



بسم الله الرحمن الرحيم
المملكة الأردنية الهاشمية
The Hashemite Kingdom of Jordan
وزارة الثقافة
Ministry of Culture
دائرة المكتبة الوطنية
Department of the National Library



الرقم: ١٢٩٧/١١
التاريخ: ٢٠١٦/٣/٢٣
الموافق:

السيد / محمد باسل الطائي

تحية طيبة وبعد،

أرجو بإعلامكم بأن الكتاب المقدم من قبلكم قد تم منحه رقم الإيداع، واستخلاص بياتات الفهرسة
الأولى له:

اسم الكتاب: مقدمة في ميكانيك الكم

المؤلف: محمد باسل الطائي

يرجى العمل على تثبيت هذا الرقم وبياتات الفهرسة على ظهر صنفه عنوان الكتاب كما هو مبين
أدناه، وتسليم مركز الإيداع في دائرة المكتبة الوطنية ثلاثة نسخ على سبيل الإيداع، حال الانتهاء من
طباعة الكتاب وقبل عرضه للبيع أو التوزيع، استناداً لأحكام المواد (٤١، ٤٠، ٣٩، ٣٨) من قانون حماية
حق المؤلف رقم (٢٢) لسنة ١٩٩٢ وتعديلاته، وأحكام نظام إيداع المصنفات رقم (٤) لسنة ١٩٩٤، مبيناً
بأن دائرة المكتبة الوطنية تعتمد في التصنيف الطبعة الثالثة والعشرين المترجمة والمعدلة من نظام
ديبوسي الشعري

والبلوا فائق الاحترام،،،

/ العذير العام

محمد يونس العابد



الملكة الأردنية الهاشمية
رقم الإيداع لدى دائرة المكتبة الوطنية
(٢٠١٦/٣/١٢٩٧)

نمسخة / مركز الإيداع

الطائي، محمد باسل

مقدمة في ميكانيك الكم / محمد باسل الطائي .. اربد: المؤلف، ٢٠١٦

() ص.

ر. ا. : ٢٠١٦/٣/١٢٩٧

الوصفات : /المقذف//ميكانيك الكم/

يتحمل المؤلف كامل المسؤولية القانونية عن محتوى مصنفه ولا يعبر هذا المصنف
عن رأي دائرة المكتبة الوطنية أو أي جهة حكومية أخرى.

مقدمة الكتاب

تم إعداد هذا الكتاب ليكون مرجعاً للطلبة الدارسين لمادة ميكانيك الكم في المرحلة الجامعية، فقد وجدت بعد تدريس هذا الموضوع لستين عديدة أن اللغة تقف حاجزاً بين الطالب وإستيعابه للمادة على النحو الصحيح. فاللغة وسيلة للتفكير فضلاً عن كونها وسيلة للاتصال والتواصل. لذلك جاء الكتاب بالعربية، وعلى الطالب أن يعي قيمة هذا فيقرأ عبارات الكتاب قراءة الدارس المتمعن ليستوعب مضامينها على نحو عميق يفي بمتطلبات الفهم الصحيح. إلى جانب ذلك فقد وجدت أن العديد من الكتب الأجنبية إنما يقدم هذه المادة المهمة على نحو تجريدى فلا يبذل المؤلفون الجهد اللازم لتقديم المفاهيم العلمية العميقية والمضامين الفيزيائية التي يشتمل عليها ميكانيك الكم بل يركزون إهتمامهم على الجانب الرياضي والحسابي. وهذا إنما يعطى الفهم الصحيح لمفردات هذه المادة. ومع إقرارى بأن مفردات هذه المادة ومفاهيمها عصية على الفهم، بل على التبسيط أيضاً، فإنى أرى أن إيضاح المفاهيم ضروري لإحاطة الدارس بمعانى تلك المفردات التجريدية التي تترجم بما المادة. فمثلاً حينما نتكلّم عن حلول معادلة شرودنجر لمسائل في بعد واحد يتوجب أن نعطي للطالب أمثلة عملية متصلة بالمسألة في مدخل الحديث عن المسألة وموقعها في الفيزياء. فليس المهم أن يحفظ الطالب رموزاً ومعادلات بل الأهم أن يفهم معانى ومضامين تلك الرموز والمعادلات.

لماذا التسمية "ميكانيك الكموم"؟ ولماذا ميكانيك الكم غير مفهوم؟

يؤثر عن الفيزيائي اللامع ريتشارد فينمان قوله: "من ظن أنه يفهم ميكانيك الكم تماماً فهو لم يفهمه حقاً". ويؤثر عن نيلز بور قوله "من لم تصبه الدهشة عند دراسته ميكانيك الكم فإنه دون شك لم يفهم منه شيئاً" وهذه الأقوال لم تكن لتتصدر عن أعلام الموضوع ومؤسسيه إلا لأنهم يعلمون أن هنالك جوانب غامضة في تفسير نظرية الكموم. ولعل من أهم جوانب

الغموض فيها مسألة تراكب الأحوال وما يتربّع عليها في مسألة القياس وطبيعته الإحتمالية، فهذه مسألة عصية على الفهم جهد في تفسيرها جهابذة الفيزياء واختلف في فهمها علماء كبار من أمثال ألبرت أينشتاين ونيلز بور وهيزنبرغ وشروعنجر. ولست هنا بقصد الدخول إلى تلك التفاسير ولا المشاركة في تلك المحاكمات الفلسفية، إنما أردت التنبيه عليها بهدف أن يعي الدارس جلال المسألة وعمقها في فهم فطرة العالم وسنة الخلق فيه.

تحتوي مادة الكتاب على القسم الأول من مقرر ميكانيك الكم لطلبة جامعة اليرموك وهو مساق يعطى على مدى فصل دراسي واحد يكمله مساق ثان مقرر لطلبة تخصص الفيزياء حضراً. وقد جعلت الفصلين الأول والثاني من هذا الكتاب مراجعة لمفاهيم أساسية ضرورية لفيزياء الكم هي أصلاً جزء من مقرر الفيزياء الحديثة لكنني وجدت الكثير من الأساتذة يفضلون البدء بها لهذا وضعيتها هنا. أما بقية الفصول فهي تسير على النمط التقليدي لمقرر ميكانيك الكم ما خلا بعض الإلتحادات والتوضيات المفاهيمية التي امتاز بها هذا الكتاب.

وبعد هذه السنين الطويلة من التدريس آثرت أن أكتب في هذا الموضوع الذي استهوياني حتى قبل أن اختار دراسة الفيزياء عسى أن أقدم لطلبي الأعزاء وزملائي الأفضل عملاً مميزاً يخدم رسالة التعليم والتعلم. راجيا منهم إفادتي بما يتوفّر لديهم من مقترنات تُسهم في الإرتقاء بهذا الكتاب في طبعاته اللاحقة. وبهذه المناسبة أشكر الزميلين الدكتور قاسم مهيدات والدكتور مازن النعيرات على قرائتهم مسودة الكتاب وتنبيهي على بعض الأخطاء المطبعية التي وقعت فيها.

محتويات الكتاب

2	مقدمة الكتاب
11	الفصل الأول: مقدمات نظرية الكم
13	ظواهر مهدت لفيزياء جديدة
14	إشعاع الجسم الأسود
20	ظاهرة التأثير الكهربائي
23	ظاهرة كمبتن
25	حيود الأكترونات
26	تدخل الجسيمات المارة عبر شقين
29	البنية الذرية
30	الواقع التجاري للأطيف الذري
33	غُوژج رذرفور للذرة
48	أسئلة مفاهيمية للفصل الأول
50	مسائل الفصل الأول
55	الفصل الثاني: فرضية دي بروي وأساسيات الميكانيك الموجي
57	فرضية دي بروي
59	رمزة الأمواج
62	متسلسلة وتحويلات فورييه
65	فضاء الإحداثيات وفضاء الرسم

68	تمثيل الجسيم الحر.....
70	سرعة الزمرة وسرعة الطور.....
71	طول موجة كمبتن للجسيمات
72	مبدأ اللادقة هايزنبرغ
74	أهمية قيمة ثابت بلانك.....
76	حركة الرزمه الموجية.....
81	أسئلة مفاهيمية للفصل الثاني
82	مسائل الفصل الثاني
84	الفصل الثالث: الميكانيك الموجي : معادلة شرودنجر في بعد واحد.....
86	التمثيل الموجي للنظم الفيزيائية.....
86	معادلة شرودنجر في بعد واحد
96	مبدأ التراكب.....
100	القيم المتوقعة
102	معادلة الاستمرارية لدالة شرودنجر.....
105	تأثير الطور على الإحتمالية.....
107	أسئلة مفاهيمية للفصل الثالث.....
108	مسائل الفصل الثالث
111	الفصل الرابع: حلول معادلة شرودنجر في بعد واحد
114	المسألة الأولى: جسيم محصور في صندوق ذي بعد واحد.....

نشر دالة الموجة لجسيم في صندوق 125	
المسألة الثانية: العتبة الجهادية 126	
المسألة الثالثة: الحاجز الجهادي في بعد واحد 131	
ظاهرة التنفيق الكمومي 137	
المسألة الرابعة: البئر الجهادي المحدود في بعد واحد 141	
الحالات المقيدة داخل البئر الجهادي 144	
المسألة الخامسة: المتذبذب التوافقي البسيط 148	
المسألة السادسة: جهد الدلتا 150	
أسئلة مفاهيمية للفصل الرابع 154	
مسائل الفصل الرابع 154	
الفصل الخامس: البنية الرياضية لميكانيك الكم 159	
الفروض الأساسية لميكانيك الكموم 161	
الفضاء المتجهي الخطي 163	
فضاء هليبرت 167	
نشر المتجهات في فضاء هليبرت 171	
الفهم الفيزيائي لفضاء هليبرت 174	
تغيير الأسس والتحوليات الوحدوية 175	
الإجراءات في فضاء هليبرت 177	
معادلة القيمة المخصوصة 177	

178	المتجهات المخصوصة والقيم المخصوصة
179	القيم المتوقعة
180	حل معادلة القيمة المخصوصة
184	تقدير المصفوفات
186	أسئلة مفاهيمية حول الفصل الخامس.....
186	مسائل الفصل الخامس.....
189	الفصل السادس: الطرق الإجرائية في ميكانيك الكثوم
191	الإجراءات الخطية والإجراءات اللاخطية.....
191	الهاملتوني
192	تمثيل الإجراءات.....
193	الإجراءات الهرمائية
195	الإجراءات الهرمائية المضادة
195	إجراء الإسقاط
196	علاقات التبادل
198	المضامين الفيزيائية لتبادل الإجراءات
201	الدوال الإجرائية
203	الإجراءات الوحدوية
203	التوالد والحالات المتولدة
206	صورة شرودنجر وصورة هايزنبرغ

207	معادلة هايرنبرغ في الحركة والحد الكلاسيكي
209	التطور الزمني لحالة النظام الفيزيائي
211	المتذبذب التوافقي البسيط
212	الصياغة الرياضية للمسألة
225	القياس في ميكانيك الكموم
228	أسئلة مفاهيمية للفصل السادس
229	مسائل الفصل السادس
232	الفصل السابع: الزخم الزاوي
236	المتجهات المخصوصة للزخم الزاوي
242	إجراءات الرفع والخفض
247	حساب قيم الزخم الزاوي وإحتمالياته
248	العناصر المصفوفية للزخم الزاوي
251	تأثير زيان
252	أسئلة مفاهيمية حول الزخم الزاوي
252	مسائل الفصل السابع
254	<u>الفصل الثامن: معادلة شروdonجر في ثلاثة أبعاد</u>
256	مسألة جسيم في صندوق صلب ذي ثلاثة أبعاد
258	مبداً الإستثناء ودوره في حساب الطاقة
266	ذرة الهيدروجين وأشباهها

277	أسئلة مفاهيمية حول الفصل الثامن
278	مسائل الفصل الثامن.....
280	تعريف بالمصطلحات الواردة في الكتاب
290	ثوابت فزيائية
291	المراجع.....

الفصل الأول

مقدمات نظرية الكم

في هذا الفصل مراجعة لأهم مفاهيم الفيزياء الحديثة والغرض في هذا إعادة تقديم هذه المفاهيم بأسلوب ربما يكون أكثر جدوياً وفائدة للطالب. وربما يحجم بعض الأساتذة عن تقديم هذا الفصل لطلابهم بإعتباره جزءاً من مقرر الفيزياء الحديثة، وهذا صحيح، لكنني أُنصح بتدريسه للطلبة كجزء من مقرر ميكانيك الكموم لأنّه يؤسس لفهم هذه المادة. ودون شك فإن في الإعادة إفاده كما يقال، فضلاً عن أن تقدمي للمسائل هنا يتضمن ما هو جديد في الشكل أو المضمون في بعض الموضع. لذلك فإنني سأقدم في هذا الفصل عرضاً موجزاً لأهم التجارب والظواهر التي مهدت لظهور ميكانيك الكموم.

ظواهر مهدت لفيزياء جديدة

قرب نهاية القرن التاسع عشر كانت علوم الفيزياء قد وصلت إلى مراحل متقدمة فقد كان الفيزيائيون قد أكملوا صياغات الميكانيك الكلاسيكي على أفضل وجه من خلال صياغات هاملتن ولاكرانج لمعادلات الحركة الحرة والقسرية على السواء. كما كانت نظرية المجالات الكلاسيكية قد تكاملت من خلال صياغة ماكسويل للمجال الكهرومغناطيسي الذي فتح آفاقاً ممتازة لفهم الخصائص الفيزيائية والهندسية للإشعاعات الكهرومغناطيسية عموماً وللضوء بوجه خاص، فتطورت نظرية علم البصريات على نحو غير مسبوق. كما قدمت النظرية الحركية للغازات عبر استخدام الميكانيك الإحصائي لبولتزمان صورة دقيقة للبنية الجزيئية للمادة وتمكنّت من حساب الكميات الفيزيائية الجهوية Macroscopic المتعلقة بقوانين الغازات على نحو بدائع لم يسبق للعقل البشري أن قدمه من قبل. وهكذا قامت الفيزياء الكلاسيكية وشكلت الرؤية العلمية للعالم على ثلاثة أركان رئيسية هي:

1. قوانين الحركة لنيوتون وقانونه في الجاذبية الكونية.

2. قوانين ماكسويل في الألكترودائنميک وعلوم البصريات المتفرعة عنها.
3. النظرية الحركية للغازات والديناميکا الحرارية والميكانيک الإحصائي لبولتزمان.

غطت هذه الأركان الثلاثة محمل علوم فيزياء القرن التاسع عشر ولم يتبق أمام الفيزيائين إلا بضعة مسائل تنتظر الحل. ومن هذه المسائل:

1. توزيع الطاقة على طيف الإشعاع الحراري للمواد
2. تفسير الخطوط الطيفية
3. ظاهرة التأثير الكهرومغناطيسي
4. ظاهرة كومبتن
5. توليد أشعة X

فضلا عن ظواهر أخرى تتعلق بانتقال الأمواج الكهرومغناطيسية في الفراغ وبنية الذرات والجزئيات ومسائل تتعلق بالتصريف المزدوج للإلكترونات وغيرها من هموم الفيزياء التي لا تنتهي. سعرض في هذا الفصل للمعالجات التي جرت لأهم هذه المسائل وسنبدأ بمشكلة توزيع الطاقة على في المدى الطيفي للإشعاعات الصادرة عن المواد الساخنة والتي سميت بمسألة إشعاع الجسم الأسود.

إشعاع الجسم الأسود

عند تسخين سلك معدني مثلا على نار فإننا نلاحظ أن لونه يتحول إلى الإحمرار تدريجيا. لكننا لو استمررنا بتسخينه لوجدنا أن لونه يتحول إلى الأصفر مع ارتفاع درجة الحرارة، ولو زدنا من درجة الحرارة لوجدناه يصير أبيضاً ثم نجده يميل إلى الدكانة ويقاد يصير كحلياً وهكذا حتى يصير أسوداً. وقد ميز الفيزيائيون التجاربيون ثلاثة متغيرات أساسية في هذه المسألة: الأول هو درجة الحرارة T ، والثاني هو تردد الأشعة المنبعثة من سطح الجسم

الساخن v أو الطول الموجي، والمتغير الثالث هو كمية الطاقة المنبعثة من سطح الجسم الساخن (v). المعروف أن هناك علاقة بين تردد الأشعة وطولها الموجي هي

$$\lambda v = c$$

حيث c هي سرعة الموجة الكهرومغناطيسية وهي سرعة الضوء نفسها.

وكان الفيزيائي ستيفان قد وجد عام 1879 أن كمية الطاقة المنبعثة خلال وحدة الزمن لكل وحدة مساحة (أي الشدة Intensity) من سطح الجسم الساخن تتناسب طردياً مع القوة الرابعة لدرجة الحرارة

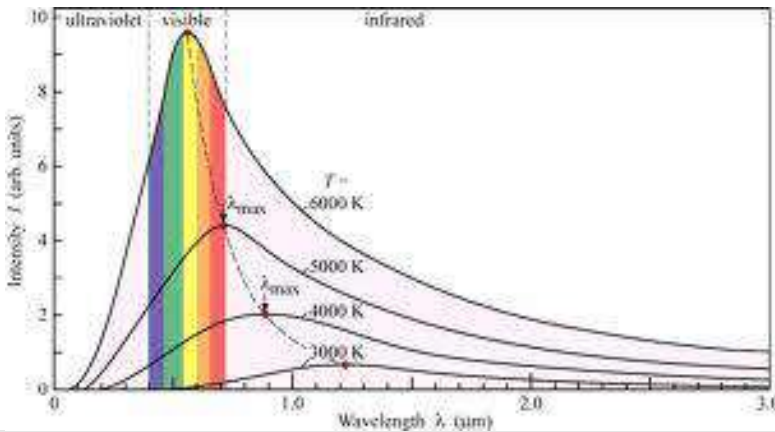
$$U(T) = \sigma a T^4 \quad (1.1)$$

حيث أن $\sigma = 5.67 \times 10^{-8} W m^{-2} K^{-4}$ هو ثابت ستيفان بولتزمان و a مقدار يعتمد على نوع السطح الساخن يعبر عن كفاءة الإشعاعية وقيمتها العظمى واحد. وفي العام 1884 قدم لودفيك بولتزمان اثباتاً نظرياً لقانون ستيفان هذا معتمدًا على قوانين термوديناميك ونظرية ماكسويل الكهرومغناطيسية.

لكن الفيزيائيين التجاريين وجدوا أيضاً أن كمية الطاقة المنبعثة تتوزع على جميع الترددات أو الأطوال الموجية وهي ليست متساوية في التوزيع بل تبلغ قيمة عظمى عند تردد (طول موجي) معين يعبر عنه لون الجسم الساخن. فحين يكون الجسم ساخناً بدرجة حرارية ويظهر فيها أحمراً فذلك لأن معظم كمية الطاقة المنبعثة منه إنما تكون ضمن نطاق الطول الموجي لللون الأحمر، وحين يصير لون الجسم الساخن أصفرًا فإن معظم طاقة الأشاعر هي في نطاق الطول الموجي لللون الأصفر، وهكذا أصبح لون الجسم الساخن دليلاً على الطول الموجي الذي تكون عنده الطاقة المنبعثة من الجسم أكبر ما يمكن. وقد تمثل هذا التصرف اللوني مع درجة الحرارة وللون بالمنحنيات المبينة بالشكل (1-1). إن القانون الذي يضبط العلاقة بين الطول الموجي المنبعث عند أعظم شدة درجة الحرارة يسمى قانون فين Wien للإزاحة وهو

$$\lambda_{\max} = \frac{2898.9 \times 10^{-6}}{T} \quad (1.2)$$

حيث تفاصي λ_{\max} بالمتر و T بالكلفن.



الشكل (1-1) منحنيات إشعاع الجسم الأسود

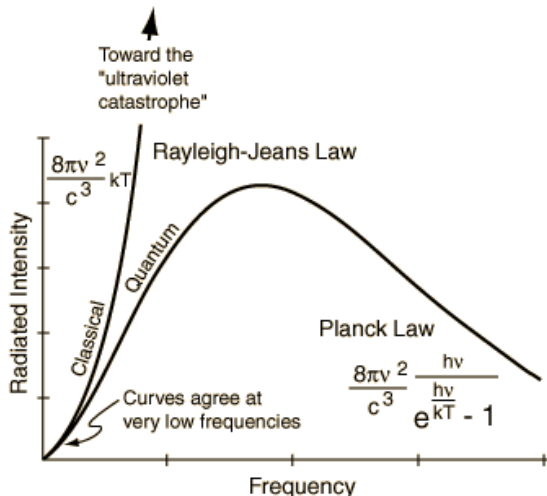
وقد سميت هذه المنحنيات "أطیاف الجسم الأسود" Blackbody Spectra. وقد قصدوا بالجسم الأسود الجسم المثالي الذي يبعث الطاقة الإشعاعية في ظروف توازن حراري مثالى يكون فيها مقدار ما يبعثه من الطاقة مساوياً لمقدار ما يمتصه منها. وهنا ينبغي التأكيد على أن الجسم الساخن عند أية درجة حرارية يبعث فعلياً جميع الأطوال الموجية التي يمثلها الطيف الكهرومغناطيسي بشدة مختلفة ومن الواضح من المنحنيات أعلاه أن الأمواج القصيرة جداً والأمواج الطويلة تكاد تكون منعدمة عملياً.

ولغرض تفسير هذه المنحنيات لجأ الفيزيائيون إلى النظرية الكهرومغناطيسية التي تصف تصرف الإشعاعات الحرارية بكونها إشعاعات كهرومغناطيسية فوجد الفيزيائيان رايلي وجينز أن النظرية الكهرومغناطيسية تقدم العلاقة التالية

$$u(\nu, T) = \frac{8\pi\nu^2}{c^3} kT \quad (1.3)$$

حيث أن k هو ثابت بولتزمان.

لكن هذه العلاقة لا تفسر التصرف الحقيقي للإشعاع مع الأطوال الموجية، إذ أنها هنا تجد أن الطاقة المنبعثة تتناسب طردياً مع مربع التردد أي عكسياً مع مربع الطول الموجي وهذا صحيح بجريبياً في منطقة الأطوال الموجية الكبيرة ولم يشاهد في منطقة الأطوال الموجية الصغيرة من الطيف وهو نطاق الترددات فوق البنفسجية. لذلك سميت هذه المعضلة "الكارثة فوق البنفسجية".



الشكل (1-2) الكارثة فوق البنفسجية

من جانب آخر وجد فين، ومن خلال تأمله في منحنيات إشعاع الجسم الأسود، أن كمية الطاقة المنبعثة في نطاق الأطوال القصيرة (أي الترددات العالية) يتتناسب مع $e^{-\beta\nu/T}$ مما دعم الفكرة القائلة بأن النظرية الكهرومغناطيسية التقليدية لن تستطيع تقديم حل لهذه المعضلة. والقانون بالضبط هو

$$u(\nu, T) = A \nu^3 e^{-\beta\nu/T} \quad (1.4)$$

هنا جاء ماكس بلانك عام 1901 وقام بدراسة توزيع الطاقة في الإشعاع الحراري في إطار نظري مثالي فتصور الجسم الأسود المثالي ككرة مجوفة في ظروف توازن حراري عند درجة حرارة T ينبعث منها الإشعاع عبر ثقب صغير جداً. فيمثل الثقب نفسه الجسم الأسود

وتصور بذلك أن الإشعاع في داخل التجويف يكون على شكل هزازات تواافقية ذات ترددات مختلفة تمتد من الصفر إلى الملايين Harmonic Oscillators. ثم تعامل مع هذه الهزازات وكأنها جسيمات غاز تخضع لقوانين بولتزمان الإحصائية Boltzmann Statistics. معنى كأنه تصور تلك الهزازات على شكل رزم للطاقة كل منها تحوي كمية من الطاقة قدرها

$$\varepsilon = h\nu \quad (1.5)$$

أي أن الطاقة الكلية التي يحتويها التجويف الساخن هي

$$E = nh\nu \quad (1.6)$$

حيث أن n هو عدد الهزازات و h هو ثابت مقداره $6.626 \times 10^{-34} \text{ J.s}$ سمى فيما بعد ثابت بلانك. وبهذه المعالجة توصل بذلك إلى حساب شدة الإشعاع خلال نطاق الترددات من ν إلى $\nu + d\nu$ واستنتج العلاقة التالية

$$u(\nu)d\nu = \frac{8\pi h}{c^3} \frac{\nu^3 d\nu}{e^{h\nu/kT} - 1} \quad (1.7)$$

وحيث تم اختبار هذه العلاقة تجريبياً وجد أنها تتوافق تماماً مع التجارب التي أجريت لقياس طيف الإشعاعات الحرارية المنبعثة عن الأجسام ضمن ظروف التوازن الحراري شبه المثلية. وبهذا تم حل مسألة الإشعاعات الحرارية فيما سمي إشعاع الجسم الأسود.

مناقشة

لابد لنا هنا من مناقشة ما أنجره بلانك لأننا سنرى أن لفرضيته دوراً خطيراً في انشاق فيزياء جديدة غيرت تصوراتنا عن العالم ومكتننا من تطوير تكنولوجيات جديدة نقلت حياتنا إلى مستويات حضارية جديدة وكان لها تأثيراًها الكبير في فهمنا للعالم.

على صعيد المفاهيم فإن التصور التقليدي الذي تقدمة نظرية ماكسويل هو أن الإشعاعات الكهرومغناطيسية هي أمواج، والأمواج كيانات متصلة ومتغيرة على الدوام. لكن مقترح بلانك ينفي صفة الإتصال عن الإشعاعات الحرارية ويتعامل معها وكأنها جسيمات. فهانما تكون الإشعاعات الحرارية عبارة عن كموم من الطاقة وكان الموجة قد تقطعت أجزاءً كل منها هيئة موجية منفصلة. وحيث أن هذه الكموم هي أشبه بالجسيمات منها بالأمواج فقد تخّير بلانك في فهم هذا التصرف الغريب للطاقة التي هي أمواج كهرومغناطيسية. فكيف تعامل إذن مع الضوء؟ هل نعتبره جسيمات وقد علمنا من قبل أن النظرية الجسيمية في الضوء كانت قد فشلت في تفسير ظواهر التداخل والحياء والإستقطاب وحتى الإنكسار أيضاً؟ لهذا السبب فقد تمسك بلانك أول الأمر بالقول أن فرضيته تنطبق فقط على الإشعاعات الحرارية وليس على جميع الإشعاعات الكهرومغناطيسية، ولم يفلح أينشتاين في إقناعه بتوسيعها لتشمل الضوء.

من جانب آخر ينبغي أن نتأكد من أن قانون بلانك (1.7) يحقق قانون رايلي جينز في نطاق الترددات الواطئة وقانون فين في نطاق الترددات العالية. ففي حالة الترددات الواطئة تكون $h\nu <> kT$ مما يعني أن

$$e^{h\nu/kT} - 1 \approx 1 + \frac{h\nu}{kT} + \dots - 1 = h\nu$$

بالتالي فإن

$$u(\nu)d\nu \approx \frac{8\pi h}{c^3} \frac{\nu^3 d\nu}{h\nu/kT} = \frac{8\pi\nu^2}{c^3} kTd\nu$$

أما في نطاق الترددات العالية فإن $h\nu \gg kT$ وبالتالي فإن

$$e^{h\nu/kT} - 1 \approx e^{h\nu/kT}$$

وهذا يعني أن

$$u(\nu)d\nu = \frac{8\pi h}{c^3} \nu^3 e^{-h\nu/kT} d\nu$$

وهذا هو قانون فين نفسه.

من جانب آخر يمكننا التأكد من أن قانون بلانك يحقق أيضاً قانون ستيفان – بولتزمان

(1.1) حيث ينبغي أن نكون على كامل الطيف وكما يلي

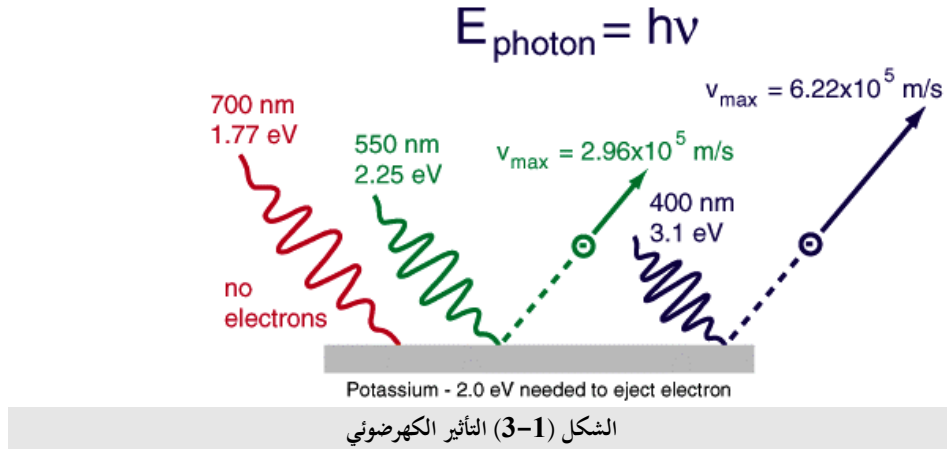
$$\begin{aligned} \int_0^\infty u(\nu, T)d\nu &= \frac{8\pi h}{c^3} \int_0^\infty \frac{\nu^3 d\nu}{e^{h\nu/kT} - 1} = \frac{8\pi k^4 T^4}{h^3 c^3} \int_0^\infty \frac{x^3}{e^x - 1} dx \\ &= \frac{8\pi^4 k^4 T^4}{h^3 c^3} \left(\frac{\pi^4}{15} \right) = \frac{8\pi^5 k^4}{15 h^3 c^3} T^4 = \frac{4}{c} \sigma T^4 \end{aligned}$$

حيث أن σ هو ثابت سيفان بولتزمان. بهذا نتأكد نظرياً من صحة قانون بلانك. وفي مختبرات الفيزياء الحديثة في الجامعات تتوفر عادةً تجربة لدراسة الإشعاعات الحرارية الصادرة عن جسم ساخن ويمكن من خلالها التتحقق من قانون بلانك عملياً.

ظاهرة التأثير الكهروضوئي Photoelectric Effect

كان ألبرت أينشتاين قد لاحظ أن الفيزيائيين حائرين في تفسير ظاهرة انبعاث الإلكترونات عن سطوح المعادن عند تسلیط إشعاعات ذات أطوال موجية قصيرة عليها. ولم تكن المعضلة في انبعاث الإلكترونات بل كانت في خصائصها الحركية وطريقة انبعاثها وعلاقة ذلك بشدة الإشعاع المسلط وتردداته. لذلك ما أن نشر بلانك بحثه الذي حل بموجبه مشكلة إشعاع الجسم الأسود حتى كتب ألبرت أينشتاين إليه رسالة يحصنه فيها على الإقرار بأن تكميم الطاقة يشمل جميع أنواع الطاقة الكهرومغناطيسية بما فيها الضوء المرئي. إلا أن

بالنك بقى مصرا على أن قانونه ينطبق فقط على الإشعاعات الحرارية.¹ وبيدو أنه لم يقنع بفكرة تطبيق التكميم على الضوء لأن هذا سيجعل الضوء جسيمات وهي فكرة لها مشاكلها.



تمثلت مشكلة التأثير الكهرضوئي في ما يلي:

إن الطاقة الحركية للإلكترونات المنبعثة تتناسب طردياً مع تردد الضوء الساقط على السطح وليس لها علاقة بشدة الضوء الساقط على السطح كما تتوقع نظرية ماكسويل الكهرمغناطيسية.

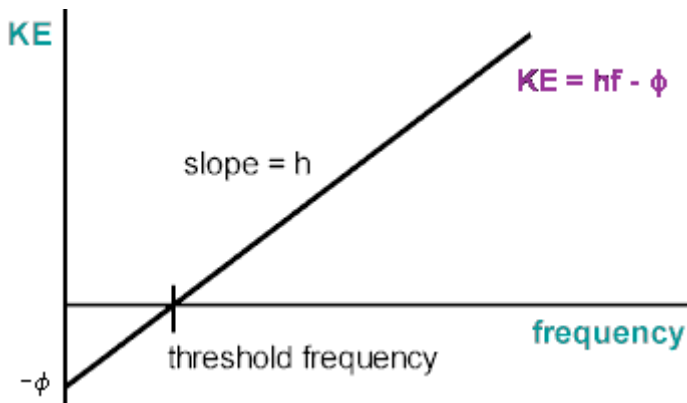
أن هنالك حدًّا أدنى لتردد الضوء الساقط لكي يحصل انبعاث الإلكترونات وهذا الحد الذي يسمى تردد العتبة Threshold Frequency يعتمد على نوع معدن السطح، فالسطح الحساسة يكون تردد عتبتها قليل.

إن عدد الإلكترونات المنبعثة من السطح يتتناسب مع شدة الضوء الساقط ولا علاقة له بتردد الضوء الساقط.

¹ راجع كتاب

وفقاً للنظرية الكهرومغناطيسية التي تقدم وصفاً موجياً متصلًا لطاقة الإشعاع الكهرومغناطيسي فإنه إذا كانت طاقة الإلكترونات المنبعثة حصيلة لامتصاص مستمر للطاقة الكهرومغناطيسية الساقطة فإن الطاقة الحركية للأكترونات تتناسب طردياً مع شدة الضوء الساقط. وهنا تظهر التجربة العملية تناقضاً آخر مع النظرية الكهرومغناطيسية. لذلك أستثمر ألبرت أينشتاين فرضية بلانك لتفسير الصفات العملية لظاهرة الإنبعاث الكهرومغناطيسي على أفضل ما يمكن إذ قدم تفسيره كما يلي:

إن طاقة الضوء الساقط تتتألف من عدد من الكوموم، كل منها يسمى فوتون، يحمل قدرًا من الطاقة مقدارها $E = hf$ وحين يحصل امتصاص هذه الفوتونات فإن كل فوتون يعطي طاقته للأكترون واحد لا أكثر فيذهب جزء من الطاقة لتخليص الإلكترون من جذب السطح له (وهذا هو دالة الشغل Work Function) ويذهب الباقى كطاقة حرارية السطح. وعلى هذا فكلما كان فائض الطاقة عن دالة الشغل للسطح أكبر كانت الطاقة الحرارية التي يمتلكها الإلكترون المنبعث أكبر.



الشكل (1-4) تتناسب الطاقة الحركية طردياً مع تردد الضوء الساقط

وهكذا وضع أينشتاين معادلته لتفسير الظاهرة الكهرومغناطيسية كما يلي:

$$h\nu = h\nu_0 + (K.E)_e \quad (1.8)$$

أما شدة الضوء فإنها في تعبير الطاقة المكممة تعني عدد الفوتونات الساقطة في الثانية الواحدة على وحدة المساحة. ولما كان الفوتون الواحد يحتضن بانبعاث إلكترون واحد من السطح أصبح من المفهوم أن يعتمد عدد الإلكترونات على عدد الفوتونات الساقطة على السطح، أي على شدة الضوء الساقط عليه.

هكذا تؤكد ظاهرة التأثير الكهرضوئي مرة أخرى حقيقة تكميم الطاقة. لذلك تم التعامل مع الضوء وجميع كموم الطاقة الكهرمغناطيسية كجسيمات سميت الفوتونات Photons. وفي مختبر الفيزياء الحديثة توجد تجربة يمكن للطالب من خلالها أن يتحقق من صفات ظاهرة التأثير الكهرضوئي كما يمكنه حساب قيمة ثابت بلانك منها.

غرين: إذا كانت الطاقة الحركية العظمى للإلكترونات المنبعثة من سطح ألمانيوم هي 2.3 إلكترون فولط لإشعاع طول موجته 200 نانومتر وكانت طاقتها 0.9 إلكترون فولط عندما كان طول موجة الإشعاع هو 258 نانومتر، فما مقدار ثابت بلانك وما مقدار دالة الشغل للسطح؟ الحل متترك للطالب

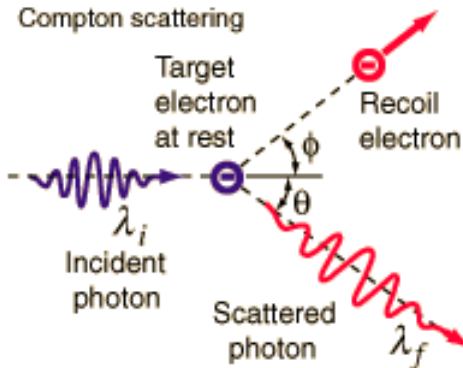
ظاهرة كمبتن Compton Effect

خلال دراسة تشتت أشعة X عن المادة لاحظ أرثر كمبتن عام 1923 أن الأشعة المتشتتة عن السطوح تمتلك أطوالاً موجية أكبر من الأطوال الموجية للأشعة الساقطة عليها. وبموجب النظرية الكهرمغناطيسية فإن الطول الموجي للإشعاعات المتشتتة ينبغي أن يكون مساوياً للطول الموجي للأشعة الساقطة. وهذا يعني أن هناك مشكلة من المطلوب حلها لتفسیر الظاهرة. ومن الواضح أن النظرية الكهرمغناطيسية تخفق مرة أخرى في تفسير تصرف الإشعاعات القصيرة وعلاقتها بالمادة. لذلك قدم كمبتن تفسيره للظاهرة على أساس أن الإلكترونات الحرة في المادة تمتلك جزءاً من الطاقة التي تحتويها فوتونات أشعة X فتنطلق

بطاقة حركية تتناسب مع الطاقة التي امتصتها فيما تتشتت فوتونات X بطاقة أقل أي بطول موجي أكبر. والفرق بين الطول الموجي للأشعة الساقطة λ_i والمشتتة λ_f بموجب حسابات كمبتن هو

$$\lambda_f - \lambda_i = \frac{h}{mc} (1 - \cos\theta) \quad (1.9)$$

حيث أن m هي كتلة الإلكترون الساكن و θ هي زاوية تشتت فوتون أشعة X.



الشكل (5-1) ظاهرة كمبتن

هذه الظاهرة تؤكد أن للفوتونات زخماً يمكن أن تبادله مع الجسيمات (الإلكترونات) وهنا نجد مرة أخرى أن للطاقة صفات جسمية، حيث أن تبادل الزخم هو بالأساس صفة جسمية وفي العادة فإن الطاقة الكهرومغناطيسية يمكن أن يكون لها ضغط ولكنها لا تبادل الزخم. لكننا هنا أمام حقيقتين:

- كمومية الطاقة الكهرومغناطيسية.

- تمع كمات الطاقة (الفوتونات) بالصفة الجسمية.

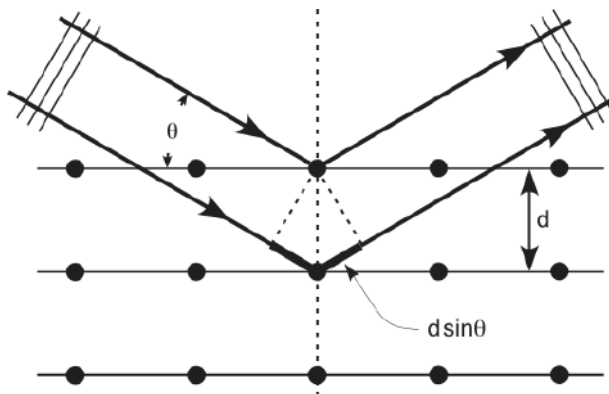
لذلك أدرجت ظاهرة كمبتن ضمن الظواهر التي مهدت لظهور فيزياء الكموم.
تفرين: إلكترون طاقته الحرارية 100 مليون فولط يصطدم بفوتون طول موجته 3×10^6 نانومتر فما مقدار أعظم طاقة يمكن للفوتون أن يفقدها؟

حيود الإلكترونات Electron Diffraction

وهذه ظاهرة أخرى عجيبة تتصرف فيها الإلكترونات ليس كجسيمات مثلما عهدهناها في حركتها في أنبوبة أشعة المهبط Cathode-ray tube بل كأمواج هذه المرة. فقد لوحظ أن تسلیط حزمة من الإلكترونات على سطح فلزی بلوّری يؤدي إلى ظهور أهداب تداخل شبيهة بتلك التي تظهر حينما تخترق أشعة الضوء شقاً ضيقاً حيث تظهر أهداب الحيود المتتابعة المعتمة والمضيئة. وقد وجد في التجارب أن انتظام أهداب الحيود يخضع للعلاقة

$$2d \sin \theta = n\lambda \quad (1.20)$$

ويسمى هذا قانون براج Bragg law. حيث أن d هي المسافة بين المستويات البلورية وأن n هي رتبة المدب و θ هي الزاوية بين الشعاع الساقط وسطح البلورة.

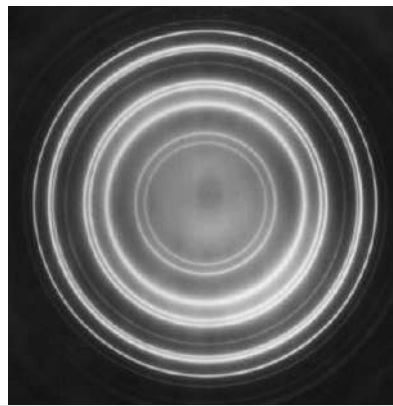


الشكل (1-6) حيود الإلكترونات

وقد إجريت مؤخراً تجربة تم بموجبها تسلیط حزمة خافتة جداً (أي ذات شدة قليلة جداً) من الإلكترونات على شقين متقاربين هما عبارة عن الفراغات بين السطوح البلورية لبعض المواد فكان أن تشكلت حزم الأهداب المعتمة والمضيئة تدريجياً مع تتابع عبور الإلكترونات

خلال الشقين المتوازيين. وكما مبين في الصورة أدناه. إن هذه الظاهرة جاءت لتأكيد الطبيعة الموجية للإلكترونات وقد كنا نعدها من قبل جسيمات. وهذه صفة غير كلاسيكية دون شك.

وتوجد في مختبر الفيزياء الحديثة تجربة تظهر حيود الأشعة السينية عند مرورها من خلال بلورة حيث تظهر بوضوح حلقتين من حلقات الحيود. ويمكن للطالب أن يتحقق فيها من قانون براج وحساب المسافة بين المستويات البلورية.



الشكل (7-1) أهداب التداخل في حيود الإلكترونات

تدخل الجسيمات المارة عبر شقين

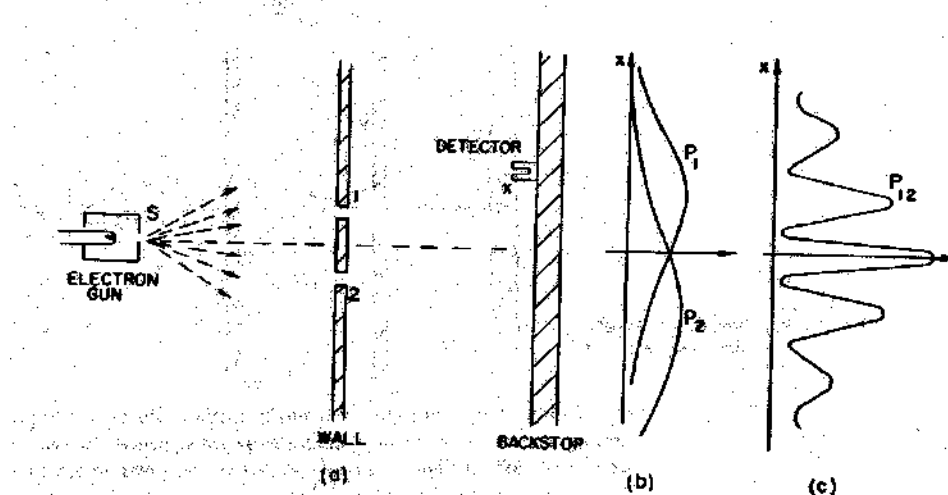
هذه التجربة هي من أهم ركائز التصور الموجي للجسيمات وهي مسألة أساسية و مهمة في ميكانيك الكموم وتأسيس الطبيعة الثانية للجسيمات. وتسمى Double Slit Experiment. وقد كانت ظاهرة تداخل الأمواج معروفة منذ النصف الثاني من القرن التاسع عشر في مجال الضوء وعلم البصريات الفيزيائية لكنها صارت ذات أهمية أكبر عندما أثبتت تجريبياً على الجسيمات الكتلوية.

وخلاصة التجربة أننا لو جئنا بعدد كبير من الجسيمات ورميناها على شق طولي منفرد فإنها سوف تعبر الشق وترتطم بالحاجز الذي يقع خلف الشق (أنظر الشكل 1-8)



الشكل (8-1) الحبيد من شق واحد

وتشكل صورة للشق على الحاجز. لكننا لو استبدلنا الشق المنفرد بآخر مزدوج وأطلقنا الجسيمات فإننا سنجد أن هذه الجسيمات تشكل على الحاجز توزيعاً غطرياً يماثل أهداب التداخل التي نجدها عندما نطلق حزمة من الضوء على الشق المزدوج. والسؤال الكبير الذي نقف أمامه يقول: إذا كانت الأمواج تتدخل مع بعضها بركوب القمة على القعر (التداخل البناء) وتتدخل بركوب القمة على القمة والقعر على القعر (التداخل البناء) فكيف للجسيمات أن تتدخل مع بعضها هكذا؟ إن هذا لا يمكن أن يكون مفهوماً لأنه يعني أن الجسيمات تأكل بعضها كما تأكل الأمواج بعضها. لكن الأمواج هي أماط هندسية متحركة على حين أن الجسيمات هي كينونات ثابتة ومتحizية أي تشغله حيزاً من المكان. فكيف يمكن أن نقبل القول بأن الجسيمات تتدخل مع بعضها. إن الأمواج الساقطة على الحاجز ذي الثقبين تنقسم ويصبح كل ثقب هو مصدر جديد للأمواج، ولكن كيف يحصل هذا مع الجسيمات؟ هذا ما حير الفيزيائي ريتشار فريدمان وجعله يقول "إن من يعتقد أنه قد فهم ميكانيك الكم فإنه لم يفهم شيء". وهذا القول يصح ربما على عهد فريدمان لأنهم كانوا غير قادرين على تصور هوية أخرى غير الجسيم والوحة.

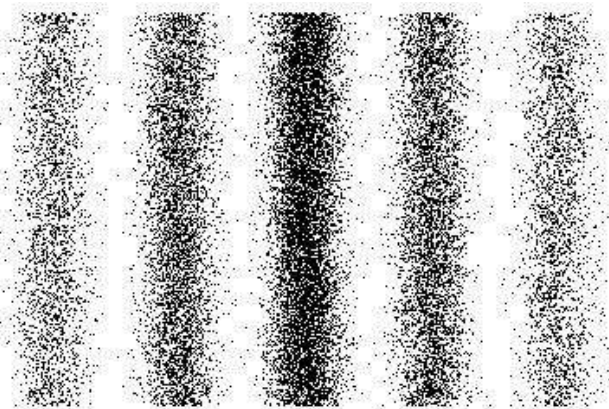


الشكل (9-1) الحيدود من شقين

والآن لو أغلقنا أحد الشقين فإن الحالة ستكون أن لدينا شق منفرد ولا يظهر نمط التوزيع الهديي. (ملاحظة: ممكن أن يظهر توزيع هديي ناشئ عن الحيدود من شق واحد وهذه أهداب الحيدود وهي غير أهداب التداخل). من جانب آخر فإن تفسير ظاهرة التداخل يقوم على فكرة أن الموجة متعددة وبالتالي فإن الموجة نفسها إذ تتدخل مع نفسها فذلك لأن كل جزء منها (على جبهة الموجة) هو بمثابة مصدر جديد للأمواج كما قلنا، هكذا تعلمنا من دراسة حركة الأمواج، وبالتالي فإن ظهور أهداب التداخل في حالة الأمواج ليس غريباً. لكننا الآن أما الجسيمات وهي تشكل أهداب تداخل تكون أمام معضلة حقيقة فالجسيمات متحية .Localized

ربما يقول قائل إن حزمة من الجسيمات تقع على الشقين ربما أدت أن تتدخل جسيمات مختلفة مع بعضها فتعطينا التوزيع الهديي كتغير عن التوزيع الإحتمالي لموقع الجسيمات. والى جانب أن مثل هذا التوزيع الإحتمالي بحاجة إلى تفسير أيضاً فإن العجب العجاب يحصل حين نعلم أن هذه التجربة نفسها قد أجريت مؤخراً باستخدام حزمة إلكترونية ضعيفة الشدة تم حسابها وتصميمها بحيث يمر إلكترون واحد فقط من الشقين. وبعد

انتظار وجد الباحثون أن نظام التوزيع الاهلي يظهر على الشاشة تدريجياً أي يتم بناؤه تدريجياً قطعة قطعة مما يعني أن الإلكترون الواحد قد مرة خلال الشقين في آن واحد. فكيف يحصل ذلك؟ ليس لدى الفيزيائيين إجابة واضحة عن هذا السؤال إنما تجدهم يقولون هذه هي الطبيعة الكومومية الغريبة للجسيمات، وكفى!



الشكل (10-1) أهداب الميود من شقين

البنية الذرية

خلال القرنين الثامن والتاسع عشر وجد الكيميائيون أن المواد يمكن تقسيمها إلى عناصر ومركبات Compounds. فالعناصر هي عوامل أساسية لا يمكن اختزالها إلى ما هو أبسط منها (راجع الجدول الدوري للعناصر الطبيعية). وفي الطبيعة يتوفّر 92 عنصراً طبيعياً أبسطها هو عنصر الهيدروجين H ثم الهيليوم He وهكذا. وأغلب المواد التي نتعامل معها في حياتنا اليومية هي ليست عناصر أساسية بل هي مركبات مؤلفة من هذه العناصر. وقد كان التفكير السائد أن العناصر تتتألف من ذرات هي عبارة عن كرات مصممة لا تركيب داخلي لها وأن المركبات تتتألف من جزيئات تتكون بإتحاد ذرات العناصر مع بعضها، حيث تنشأ أواصر كهربائية بين تلك الذرات. وعلى هذا الأساس تعامل الكيميائيون مع

المواد المختلفة. كما كان الكيميائيون قد وجدوا أن تفاعل العناصر مع بعضها لتتألف المركبات يبدو وكأن قطر ذرات العناصر يقع في حدود 10^{-8} سنتيمتر. من جانب آخر تعامل الفيزيائيون مع المركبات وخاصة الغازات وفق التصور نفسه لتركيب المادة واعتمدوا ما يسمى النظرية الحركية للغازات حيث تمكّن بولتزمان من وضع بنية حسابية تقوم على نظرية العدد والإحتمالات فيما سمي إحصاء بولتزمان Boltzmann Statistics والذي تمكّن من خلاله ذلك الفيزيائي المبدع من اشتقاء معادلات الشرموداينميكس على أساس البنية الجزيئية للغازات. وإحصاء بولتزمان اليوم هو أحد أهم مكونات الميكانيك الإحصائي. إلى جانب ذلك كان بعض الفيزيائيين منهملين بدراسة اطيف المواد على اختلاف أنواعها وقد تمكّنوا من وضع كاتلوجات لأطيفات كثير من العناصر مما جعل علم الطيف أداة تقنية في تحليل المواد والتعرف على المركبات والعناصر.

لذلك ومع تدفق المعلومات والاكتشافات صار من الضروري وضع تصور للبنية الذرية لمعرفة كيفية تفاعل العناصر والمركبات مع بعضها وفهم هذه الظواهر من أجل التحكم بها.

الواقع التجاري للأطيف الذري

عند تسخين المواد أو تعریض أبخزتها التي تكون تحت ضغط واطئ إلى جهد كهربائي عالي تنطلق عنها إشعاعات كهرومغناطيسية بأطوال موجية مختلفة وقد كانت تحليلات وقياسات الأطيف المتبعة قد كشفت عن علاقات تجريبية Empirical تحدد الأطوال الموجية للضوء المنبعث، وقد تبين أن هنالك سلاسل طيفية عديدة وهي كما يلي

سلسلة ليمان Lyman Series: والعلاقة المستنبطه تجريبيا التي تحدها هي

$$\frac{1}{\lambda} = R \left(\frac{1}{1^2} - \frac{1}{n^2} \right) \quad (1.21)$$

حيث تكون $n=2,3,4,\dots$. وحيث أن R هو ثابت ريدبرج ومقداره $1.096 \times 10^7 m^{-1}$

تقع معظم الخطوط الطيفية لسلسلة ليمان في المنطقة البنفسجية وفوق البنفسجية.

سلسلة بالمر Balmer Series: والعلاقة المستتبطة تجريبيا التي تحدها هي

$$\frac{1}{\lambda} = R \left(\frac{1}{2^2} - \frac{1}{n^2} \right) \quad (1.22)$$

حيث تكون $n = 3, 4, 5, \dots$

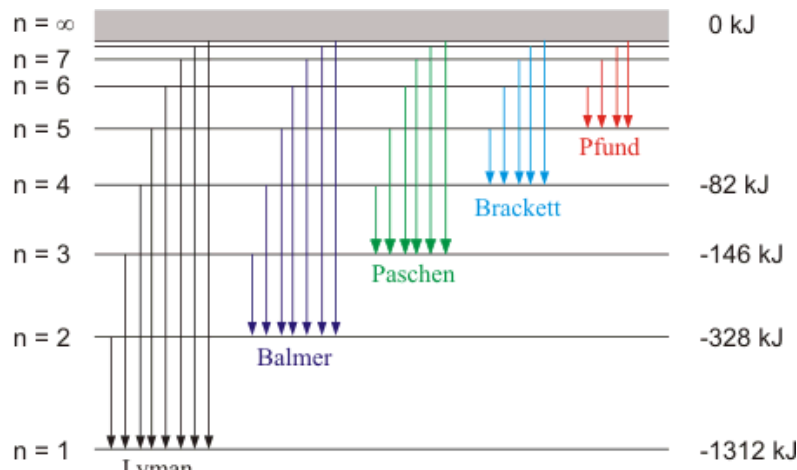
تقع معظم الخطوط الطيفية لسلسلة بالمر في منطقة الضوء المرئي وهذا هو من أهم الأسباب للإهتمام بها.

سلسلة باشن Paschen Series: والعلاقة المستتبطة تجريبيا التي تحدها هي

$$\frac{1}{\lambda} = R \left(\frac{1}{3^2} - \frac{1}{n^2} \right) \quad (1.23)$$

حيث تكون $n = 4, 5, 6, \dots$

وهكذا فقد وجدت صيغ وضعية عديدة لسلالس الطيف المنبعث من الذرات دون أن توجد نظرية واحدة تفسر ظهور هذه الأطيف.



الشكل (11-1) طيف الإنبعاث لذرة الهيدروجين

مثال (1): ما هو نطاق الأطوال الموجية لسلسلة لايمان؟

الجواب: أقصر طول موجي في سلسلة لايمان نجده من

$$\frac{1}{\lambda} = R \left(\frac{1}{1^2} - \frac{1}{\infty^2} \right) = 1.096 \times 10^7 \text{ m}^{-1}$$

أي أن $\lambda = 912 \text{ A} = 912 \times 10^{-7} \text{ m}$ أي في المنطقة فوق البنفسجية

وأطول موجة نجدها من انتقال الإلكترون من المستوى الثاني إلى المستوى الأول. أي

$$\frac{1}{\lambda} = R \left(\frac{1}{1^2} - \frac{1}{2^2} \right) = 1.096 \times 10^7 \times \frac{3}{4} \text{ m}^{-1}$$

أي أن $\lambda = 1.216 \times 10^{-7} \text{ m} = 1216 \text{ A}$ وهو في المنطقة فوق البنفسجية. وهذا يبين أن

جميع خطوط سلسلة لايمان تقع في المنطقة فوق البنفسجية.

مثال (2): ما هو أقصر طول موجي في سلسلة بالمر وما الموجة الأطول؟

الجواب: الأقصر هو الطول الموجي الذي يمثل أعظم طاقة وهو الذي يمثل انتقالاً أكترونياً

من الملايين حتى $n=2$ أي أن

$$\frac{1}{\lambda} = R \left(\frac{1}{2^2} - \frac{1}{\infty^2} \right) = \frac{1.096 \times 10^7}{4}$$

أي أن $\lambda = 3.65 \times 10^{-7} \text{ m} = 3650 \text{ A}$ وهذا يقع في المنطقة البنفسجية.

أما أطول موجة فهي التي تبعث عند انتقال الإلكترون من المستوى الثالث إلى المستوى

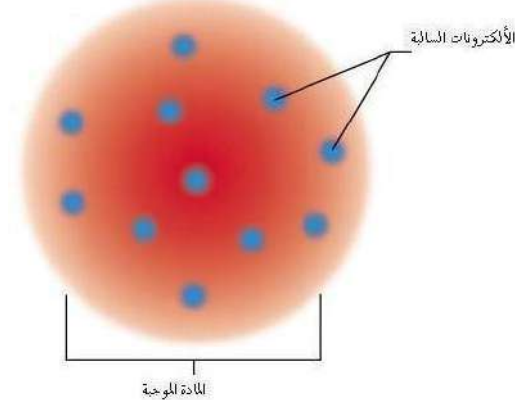
الثاني وهذا يعني أن

$$\frac{1}{\lambda} = R \left(\frac{1}{2^2} - \frac{1}{3^2} \right) = 1.096 \times 10^7 \times \frac{5}{36}$$

أي أن $\lambda = 6.561 \times 10^{-7} \text{ m} = 6561 \text{ Å}$ وهذا الخط يقع في المنطقة المرئية من الطيف. وبهذا نفهم ربما كان الإهتمام بخطوط سلسلة بالمر أكثر من غيرها من السلاسل فالسبب أنها تشمل على المنطقة المرئية من الطيف الكهرومغناطيسي.

نوجز رذفورد للذرة

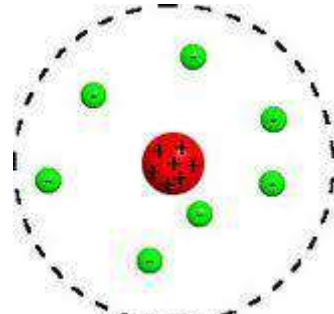
بعد أن اكتشف ثومسون وجود الشحنات السالبة في باطن الذرة ظن أن الذرة المتعادلة هي عبارة عن كرة صغيرة جداً تحتوي مادة موجبة تنغرز فيها الإلكترونات كما تنغرز حبات الزيت في الكيك. لكن اللورد رذفورد الذي كان يجري أبحاثه في جامعة مانشستر أجرى عام 1911 تجربة شهيرة كان هدفها التأكيد من صحة نوجز ثومسون.



الشكل (12-1) نوجز ثومسون للذرة

تتلخص هذه التجربة بوضع شريحة رقيقة من معدن الذهب في طريق حزمة من جسيمات ألفا (وهي نوى ذرات الهليوم تتلوك شحنة مقدارها $2+$) والتي تنطلق من نوى ذرات الثوريوم ومراقبة ما يحصل لمساراتها. وقد كان رذفورد قد توقع أن تمر هذه الجسيمات خلال شريحة الذهب الرقيقة دون تأثير يذكر إذا كان نوجز ثومسون صحيحاً. لكنه فوجئ بأن وجد جسيمات ألفا تتحرف أحياناً إنحرافات شديدة وبعضها يرتد منعكساً إلى الخلف. وهذه

النتائج التي حصل عليها تبين أن الجزء الموجب من الذرة يقع في حيز صغير جداً منها سمي النواة Nucleus على حين أن الإلكترونات تكون خارجها.



الشكل (13-1) ذرة رذوفورد

ولكي تكون الذرة مستقرة وتمنع إهيارها فإن على الإلكترونات أن تدور حول النواة في نموذج كوكبي. لكن النظرية الكهرمغناطيسية تقرر أن دوران الإلكترونات وتعرضها للتسارع سيسبب إشعاعها لطاقة الوضع الكهربائية التي تمتلكها وبالتالي فإن الذرة ستنهار خلال زمن قصير جداً بحدود 10^{-11} ثانية ولن يبقى في العالم ذرات مما جعل نموذج رذوفورد في موقف صعب أزاء هذه المعلومات النظرية.

نموذج بور للذرة

حاول نيلز بور الدنماركي التغلب على الصعوبات التي واجهها نموذج رذوفورد للذرة. وقد تأمل في ضرورة وجود شروط محددة تمنع الإلكترون من الإشعاع. والحقيقة إن بور كان يفكّر في مثل هذه الشروط وأمامه النتائج التجريبية للأطياف الذرية. أي إنه كان يعرف أن الضوء الصادر عن الأجسام الساخنة يمكن أن يكون ناتجاً عن انتقال الإلكترونات في

مواقعها حول النواة. لكن المشكلة هي كيف يمكن إشعاع الإلكترون للطاقة بينما هو دائري في مداره؟

افتراض بور مايلر:

1. أن الإلكترونات تدور حول نواة الذرة في مدارات دائريّة تامة.
2. أن هذه الإلكترونات لا تشع طاقة أثناء دورانها عندما تكون قيمة الزخم الزاوي فيها متساوية لأعداد صحيحة من ثابت بلانك مقسوماً على 2π . أي

$$mv_r = n\hbar, \quad n = 1, 2, 3, \dots \quad (1.24)$$

حيث أن m هي كتلة الإلكترون و r بعده عن البروتون (أي نصف قطر المدار في ذرة الهيدروجين) و v هي سرعته المدارية تأخذ n عدداً صحيحاً أي 1، 2، 3، وهكذا.

3. إن انتقال الإلكترون من مستوى أدنى (أقرب إلى نواة الذرة) إلى مستوى أعلى (أبعد عن نواة الذرة) يحصل عندما تمتلك الذرة طاقة متساوية للفرق بين طاقتين الإلكترون في المستويين الأدنى والأعلى. وإن انتقال الإلكترون من مستوى أعلى إلى مستوى أدنى يؤدي إلى إmission طاقة مقدارها يساوي الفرق بين طاقة الإلكترون في المستويين.

أقام بور نموذجه على أساس تساوي القوة المركزية التي يتحرك بها الإلكترون مع قوة الجذب الكهربائي بين الإلكترون والبروتون، أي وضع

$$\frac{mv^2}{r} = \frac{1}{4\pi\epsilon_0} \frac{e^2}{r^2} \quad (1.25)$$

ومنها وجد أن

$$v^2 = \frac{1}{4\pi\epsilon_0} \frac{e^2}{mr}$$

أي أن

$$v = \frac{e}{\sqrt{4\pi\epsilon_0 mr}} \quad (1.26)$$

وهنا أدخل فرضيته في تكميم الزخم الزاوي حيث أن العلاقة (1.24) تعطينا

$$v = \frac{n\hbar}{mr}$$

وبالتعويض في المعادلة (1.25) نجد أن

$$\frac{mv^2}{r} = \frac{n^2\hbar^2}{mr^3} = \frac{1}{4\pi\epsilon_0} \frac{e^2}{r^2}$$

ومنها نجد أن

$$\begin{aligned} r_n &= \left(\frac{4\pi\epsilon_0\hbar^2}{me^2} \right) n^2 \\ &= a_0 n^2 \end{aligned} \quad (1.27)$$

حيث أن

$$a_0 = \left(\frac{4\pi\epsilon_0\hbar^2}{me^2} \right) = 0.529 \times 10^{-10} \text{ m} \quad (1.28)$$

هو ما سمي نصف قطر بور Bohr Radius وهو أقرب مدار للإلكترون للنواة.

حساب طاقة الإلكترون

إن الطاقة الكلية للإلكترون في ذرة الهيدروجين هي مجموع طاقته الحركية المدارية وطاقة الوضع الكهربائية التي يتلقاها وهذا هو

$$E = K.E + P.E$$

$$= \frac{1}{2} mv^2 - \frac{1}{4\pi\epsilon_0} \frac{e^2}{r} \quad (1.29)$$

وبالتعويض عن v من المعادلة (1.26) نجد أن

$$E = -\frac{1}{8\pi\epsilon_0} \frac{e^2}{r} \quad (1.30)$$

والآن لو عرضنا في هذه النتيجة عن r من المعادلة (1.27) لوجدنا أن

$$\begin{aligned} E_n &= -\left(\frac{1}{2}\right) \frac{me^4}{(4\pi\epsilon_0\hbar)^2} \frac{1}{n^2} \\ &= \frac{E_1}{n^2} \end{aligned} \quad (1.31)$$

$$E_1 = -\left(\frac{1}{2}\right) \frac{me^4}{(4\pi\epsilon_0\hbar)^2} = -13.6 \text{ eV} \quad (1.32)$$

وهو طاقة الحالة الدنيا Ground State Energy لذرة الهيدروجين وهو مقدار ثابت. وهذا المقدار من الطاقة هو نفسه مقدار طاقة التأين Ionization Energy لذرة الهيدروجين، وهو بذات الوقت مقدار طاقة الرابط Binding Energy للإلكترون في ذرة الهيدروجين حيث أن الإلكترون الحر وهو يأتي ليرتبط بالذرة في أدنى المستويات ويصبح أسيرا لنواها فإنه يدفع مهر هذا الأسر من طاقة وضعه حين كان حراً، حتى إذا ما أردنا تخلصه منها وجب علينا أن ندفع فدية خلاصه منها.

إن الصيغة (1.31) لطاقة الإلكترون تكشف أنها سالبة على الدوام وسبب ذلك أن الإلكترون منجذب دوماً إلى نواة الذرة وإن طاقته تزداد كلما زادت رتبة المستوى الذي هو فيه حتى تكون أعلى قيمة لها هي صفر وعندئذ يكون الإلكترون حراً.

تحقيق السلالسل الطيفية

وفقاً لتصور بور فإن انتقال إلكترون من مستوى أعلى n_i إلى مستوى أدنى n_f يسبب انطلاق إشعاع كهرومغناطيسي مقدار طاقته هو مقدار الفرق بين طاقة الإلكترون في المستويين وهي

$$\Delta E = E_i - E_f = E_1 \left(\frac{1}{n_i^2} - \frac{1}{n_f^2} \right) \quad n_i > n_f \quad (1.33)$$

وهكذا فإن الطول الموجي للشعاع المنبعث يحسب حسب العلاقة

$$\frac{hc}{\lambda} = E_1 \left(\frac{1}{n_i^2} - \frac{1}{n_f^2} \right) \quad \text{معنى أن}$$

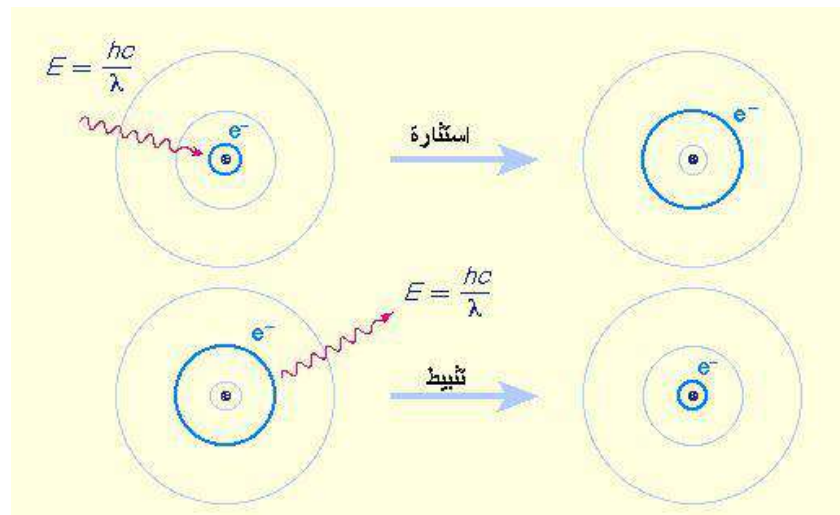
$$\frac{1}{\lambda} = \frac{E_1}{hc} \left(\frac{1}{n_i^2} - \frac{1}{n_f^2} \right) = R \left(\frac{1}{n_f^2} - \frac{1}{n_i^2} \right) \quad (1.34)$$

حيث أن R هو ثابت ريدبرج Raydberg constant. وقيمه $1.0973731 \times 10^7 \text{ m}^{-1}$. وبموجب نموذج بور يتحقق أن هذا الثابت يمكن كتابته بدلالة الثوابت الأساسية كما يلي

$$R = \frac{me^4}{8\epsilon_0^2 h^3 c}$$

إن انتقال الإلكترون من مدار آخر حول النواة يغير من طاقته الميكانيكية الكلية. ولما كانت هذه الطاقة تتوزع على مقادير مخصوصة تتناسب مع المدارات المخصوصة للإلكترون فإن كمية الطاقة التي يمتلكها الإلكترون في حالة انتقاله إلى مدار أعلى والطاقات التي يبعثها عند انتقاله إلى مدارات أدنى تكون قياماً مخصوصة عادة ولا تكون طيفاً مستمراً بل هي

على الحقيقة خطوط طيفية محددة يُعرفها مقدار الفرق بين طاقة الإلكترون في المدار الذي انتقل منه والمدار الذي انتقل إليه وهذه القيمة تحددها العلاقة



الشكل (14-1) انبعاث الضوء وامتصاصه في الذرات

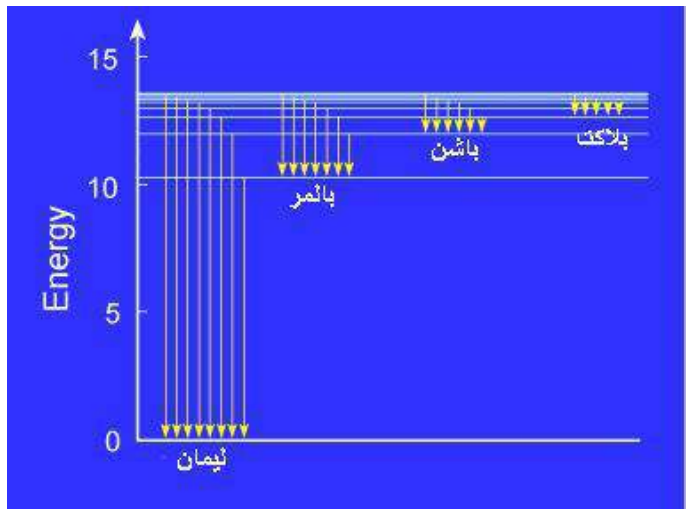
$$\Delta E = hcR \left(\frac{1}{n_f^2} - \frac{1}{n_i^2} \right) \quad (1.35)$$

هذه الطاقة هي بالضبط طاقة الفوتون الذي يتم امتصاصه أو بعثه من الذرة. n_i هو المستوى الابتدائي و n_f هو المستوى النهائي. وباستخدام فرضية بلانك نجد أن تردد الضوء المنبعث هو

$$\nu = cR \left(\frac{1}{n_f^2} - \frac{1}{n_i^2} \right) \quad n_i > n_f \quad (1.36)$$

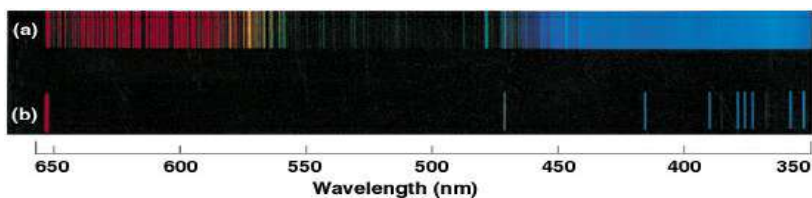
وبدلالة الطول الموجي للضوء المنبعث يكون

$$\frac{1}{\lambda} = R \left(\frac{1}{n_f^2} - \frac{1}{n_i^2} \right) \quad (1.37)$$



الشكل (15-1) السلاسل الطيفية

وهكذا تتضح الصورة أمامنا الآن ونفهم منشأ السلاسل الطيفية إذ أن انتقال الإلكترون من أي مدار إلى المدار الأول أي الذي له $n=1$ سيؤدي إلى انبعاث عدة أطوال موجية والمجموعة المكونة من هذه الأطوال الموجية تسمى سلسلة ليمان Layman Series .. أما انتقال الإلكترون من أي مدار إلى المدار الثاني أي الذي له $n=2$ فإنه سيؤدي إلى انبعاث عدة أطوال موجية أيضاً تُعرف سلسلة باشن عن الأولى وهذه تسمى سلسلة بالمر Balmer Series .. وهكذا فإن مستقر سلسلة باشن هو المدار الذي له $n=3$ ومستقر سلسلة بلاكت هو $n=4$. ويرمز إلى الخطوط الطيفية المختلفة في كل سلسلة بالحروف اليونانية ... $\alpha\beta\gamma$ فيسمى الخط الأول منها α والثاني β والثالث γ وهكذا.



الشكل (16-1) طيف ذرة الهيدروجين



بعد ذلك جرى تدقيق نموذج بور الذري من قبل الفيزيائي سيرفيلد وآخرين حتى صار اليوم وصف الأطيف الذري قريباً جداً من الواقع.

خط الهيدروجين H_{α}

ينطلق هذا الخط عندما ينتقل الإلكترون في ذرة الهيدروجين من المستوى الثالث إلى المستوى الثاني وهذه هي الموجة الأطول في سلسلة بالمر. ويمكن حسابه بدقة كما يلي

$$\frac{1}{\lambda_{H_{\alpha}}} = R \left(\frac{1}{4} - \frac{1}{9} \right)$$

وهذا يعني أن

$$\lambda_{H_{\alpha}} = \frac{1}{0.13888 R} = 656.11 \text{ nm}$$

ويعتبر هذا الخط من الخطوط المهمة جداً في التطبيقات الفيزيائية إذ أنه مرجع مهم في دراسة فيزياء النجوم Astrophysics نظراً لتوفر الهيدروجين على نطاق واسع في الكون. لذلك فإن حصول أي إزاحة على هذا الخط يمكن أن تخبرنا عن كثير من المعلومات المحيطة بالذرة التي أطلقت هذا الخط من مكان تواجدها.

تضمين حركة النواة في حساب الطاقة

من المعلوم أن الإلكترون ونواة الذرة يشكلان نظاماً ديناميكياً واحداً بينهما قوة تجاذب كهربائي مشتركة هذه القوة تجعل كل الجسمين يدور حول مركز الكتلة الذي يقع قريباً من الجسيم الأكبر كتلة وهو نواة الذرة. ويمكن حساب نصف قطر الدائرة التي يدور فيها الإلكترون من العلاقة

$$r_e = \frac{m_n}{m_n + m_e} r \quad (1.38)$$

ولما كانت $m_n = 1837m_e$ فإن الناتج سيكون قريباً من r . وفي الحسابات السابقة لطاقة الإلكترون أهملنا هذا التأثير فكأننا اعتبرنا كتلة نواة الذرة مالاً نهاية لذلك اعتبرناها ثابتة. ويمكن الإستعاضة عن تأثير الحركة حول مركز الكتلة باعتماد الكتلة المختزلة للإلكترون reduced mass فإذا استعملناها بدلاً عن كتلة الإلكترون أصبح تأثير مركز الكتلة داخل في الحساب ضمنياً. والكتلة المختزلة في ذرة الهيدروجين هي

$$\mu = \frac{m_n m_e}{m_n + m_e} = \frac{1837}{1837 + 1} m_e = 0.99946 m_e \quad (1.39)$$

فهي قريبة جداً من كتلة الإلكترون إذن. وبالتالي يمكن كتابة الطاقة الكلية للإلكترون كما يلي

$$E_n = -\left(\frac{1}{2}\right) \frac{\mu e^4}{(4\pi\epsilon_0\hbar)^2} \frac{1}{n^2} \quad (1.40)$$

وتكتب هذه بدلالة ما يسمى ثابت التركيب الدقيق وكما يلي

$$E_n = -\left(\frac{\mu c^2}{2}\right) \frac{\alpha^2}{n^2} \quad (1.41)$$

حيث أن

$$\alpha = \frac{e^2}{(4\pi\epsilon_0\hbar c)} \approx \frac{1}{137} \quad (1.42)$$

هو مقدار ثابت يسمى ثابت التركيب الدقيق .Fine Structure Constant

اكتشاف الديوتيريوم

إن إدخال حركة النواة في الحساب يؤدي إلى حصول فرق في حساب موقع خطوط الطيف وهذه النتيجة النظرية يمكن أن تؤدي إلى نتائج عملية واكتشافات مهمة. مثلاً

لاحظ الفيزيائيون العاملون في فحص أطياف المواد وجود خط ضعيف جدا عند الطول الموجي $\lambda = 656.3 \text{ nm}$ وهذا هو ليس خط H_{α} بالضبط الذي يقع عند $\lambda = 656.1 \text{ nm}$ مما جعلهم يبحثون عن السبب وهنالك تبين أن هذا الخط ينبع من ذرة نظير الهيدروجين الذي سمى الديوتيريوم ونواته تحتوي على بروتون واحد ونيوترون واحد وإذا ما اعتبرنا أن كتلة النيوترون مساوية تقريباً لكتلة البروتون أمكننا حساب الطول الموجي المنبعث من هذه الذرات كما يلي:

$$\frac{1}{\lambda} = R_{\mu} \left(\frac{1}{4} - \frac{1}{9} \right)$$

حيث أن $R_{\mu} = 1.0971 \times 10^7 \text{ m}^{-1}$

ومنها نجد أن

$$\lambda_{D_{\alpha}} = \frac{1}{0.13888 R_{\mu}} = 656.32 \text{ nm}$$

إن الفرق الذي مقداره 0.21 نانومتر في الطول الموجي دلنا على وجود نظير الهيدروجين الديوتيريوم. وإن خفوت سطوع الخط دلت على نسبة الديوتيريوم القليلة.

نموذج بور للذرة والنظرية الكهرومغناطيسية

بموجب النظرية الكهرومغناطيسية فإن الأجسام المشحونة المتحركة بتسارع يجب أن تشع طاقة. ولما كان الإلكترون في دورانه حول النواة في حالة تسارع فإنه لا بد وأن يشع طاقته الكلية ويسقط على نواة الذرة. وهذا ما كان ليحصل للإلكترون لو لا أنه منحبس عن إطلاق الطاقة بسبب تكميم الزخم الزاوي في مدارات معينة. ولكن حين ينتقل الإلكترون من مدار إلى آخر فإنه ولابد سيخرج من حصن المدار وبالتالي سيصبح عرضة لإطلاق الطاقة. فكيف لا يحصل هذا وكيف لا تنهار بنية الذرة أثناء الانتقالات الإلكترونية؟

فيل أن الإلكترون حين ينتقل من مدار إلى آخر فإنه يحتفي من موضع ويظهر في موضع آخر. لكننا لسنا بحاجة إلى مثل هذا التصور الغريب. ولو حسبنا الفترة الزمنية اللازمة لكي يفقد الإلكترون جميع طاقته ويقع على نواة الذرة فإنها بحدود 10^{-11} ثانية. (أنظر المسألة 10 آخر هذا الفصل)

بالتالي فلو كان الإلكترون ليقى دائرا حول النواة نحوً من هذه المدة أثناء انتقاله من مدار إلى آخر فإنه سيفقد طاقته بالإشعاع. لكنه في الواقع الحال لا يمكن أثناء انتقاله بين مدار وأخر أكثر من 10^{-21} ثانية وهذا زمن قصير جدا لا تكاد كهرمغناطيسية ماكسويل أن ترى الإلكترون فيه. وهذا هو السبب في أن الطاقة الإلكترونية لا تشع وتبقى الذرات مستقرة رغم حصول الانتقالات بين المدارات.

نموذج بور ما له وما عليه

لقد وظّف نموذج بور فكرة تكميم الطاقة التي جاء بها ماكس بلانك، وأضاف فكرة تكميم الزخم الزاوي وهي فكرة جديدة. ولقد نجح هذا النموذج في تفسير السلسل الطيفية للهيدروجين على وجه الخصوص بمحاسبة الأطوال الموجية للخطوط البراقة والمعتمة التي تظهر عند تسخين المواد أو عمل تفريغ كهربائي في غازات أو أبخرة تحت ضغوط واطئة. بل صار ممكناً بعده فهم سبب ظهور الطيف الخطي البراق. لكن بقيت عدة أمور لم تزل غير مفهومة ومنها ما يلي:

وجود فرق في الأطوال الموجية للعناصر الأعلى من الهيدروجين في الجدول الدوري.

وجود فروقات صغيرة في أطيف نظائر العناصر.

حصول إنشطار في خطوط الأطيف الذرية عند تعريضها لحال مغناطيسي خارجي.

لقد أدرك الفيزيائيون أن نموذج بور ليس إلا خطوة أولية لتصوير ميكانيكية الذرة إلا أنه لا يصلح للوصف الدقيق لها. ولم يتمكن الفيزيائيون من تحقيق التوافق بين النظرية ونتائج التجارب إلا بعد أن وضعوا نموذجاً أكثر تعقيداً يعتمد التصور الموجي للمادة والحركة وهذا ما سنتعرف عليه في الفصول اللاحقة.

صورة الذرة اليوم

بعد تطور الحسابات الرياضية للذرات تبين أن الإلكترونات هي حالات هلامية وأنها تشكل أشبه ما يكون بالسحابة تحيط بنواة هلامية هي الأخرى صغيرة جداً ولا تستقر هذه الصورة على حال إذ هي في حالة تغير دائم. وإن ما نضعه في الرسومات ليس إلا تشبيهاً تقريرياً للواقع. فنواة الذرة هي جزء صغير جداً يقع في مركزها تحيط به سحابة إلكترونية والتوزيع الإلكتروني في هذه السحابة أشبه بالتوزيع الهلامي. إذ أن الإلكترونات تتحرك بسرعة كبيرة ولا تحد طالما أن هنالك طاقة خارجية متتصها وطاقة تبتها. وكثير من الإلكترونات تنتقل بين مستويات الطاقة باعثة إشعاعاً غير مرئي كأن يكون إشعاعاً حرارياً أو إشعاعاً راديوياً. وفي كل الأحوال فإن المدارات الإلكترونية غير مستقرة كما تخيل بل هي دائمة التغير. لذلك فإن تصورنا للذرة اليوم مختلف عن التصور التقليدي شبه السكوفي الذي تبدو فيه الذرة وكأنها نظام كوكبي شبيه بالنظام الشمسي.

قاعدة التكميم لولسن سومرفيلد

حاول الفيزيائيون وضع قاعدة عامة للتكميم تشمل فرضية بلانك في تكميم الطاقة $E = nh\nu$ وفرضية بور لتمكيم الزخم الزاوي. وقد تبادر إلى تفكير الفيزيائيين ولسن وسومرفيلد عام 1916 أن هذا التكميم سببه قانون أكثر عمومية ينطبق على النظم الفيزيائية الدورية وهذه القاعدة تقوم على تكميم الفعل action وتقرر أن

$$\oint pdq = nh$$

حيث أن $n = 0, 1, 2, 3, \dots$ هو عدد كمي و p هو الزخم القرين للإحداثي q ويجري التكامل على دورة مغلقة كاملة. وقد سميت هذه العلاقة قاعدة ولسن سومرفيلد للتكميم

مثال تطبيقي (1): استنتاج فرضية بلانك للتكميم

فيما يلي سوف نوضح كيف أن قاعدة ولسن - سومرفيلد للتكميم يمكن أن تقودنا إلى فرضية بلانك للتكميم الطاقة حيث نطبقها على متذبذب توافقي في بعد واحد كتلته m و يتراوح في حركته ما بين $-a \leq x \leq a$.

إن الطاقة الكلاسيكية لهذا المتذبذب هي

$$E = \frac{p^2}{2m} + \frac{1}{2}m\omega^2x^2$$

لذا فإن

$$p = \pm \sqrt{2mE - m^2\omega^2x^2}$$

وبناءً على قاعدة التكميم. لا بد أن نلاحظ أنه عند نقاط الإستدارة الكلاسيكية المحددة بالقيم $x = -a$, $x = a$ تكون الطاقة الكلية هي طاقة وضع فقط ذلك لأنه في هذه النقاط تكون الطاقة الحركية صفرًا فيكون $a = \sqrt{2E/m\omega^2}$. وهكذا إذا أخذنا

$$p(E, x) = \pm \sqrt{2mE - m^2\omega^2x^2}$$

$$\oint pdq = 2 \int_{-a}^a \sqrt{2mE - m^2\omega^2x^2} dx = 4m\omega \int_0^a \sqrt{a^2 - x^2} dx$$

حيث أن $a^2 = \frac{2E}{m\omega^2}$ والآن لو فرضنا أن $x = a \sin \theta$ لغرض إجراء التكامل فإن

$$\int_0^a \sqrt{a^2 - x^2} dx = a^2 \int_0^{\pi/2} \cos^2 \theta d\theta = \frac{\pi a^2}{4} = \frac{\pi E}{2m\omega^2}$$

حيث استخدمنا العلاقة

$$\cos^2 \theta = (1 + \cos 2\theta)/2$$

و بما أن $\omega = 2\pi\nu$ ، ولذا فإن

$$\oint pdq = \frac{2\pi E}{\omega} = \frac{E}{\nu} = nh$$

يعنى أن $E = nh\nu$ وهذه هي فرضية بلانك بعينها.

وهكذا نجد أن قاعدة التكميم لبور سومرفيلد يمكن أن تفسر مشروعية فرضية ماكس بلانك التي استخدمها في حل مشكلة إشعاع الجسم الأسود.

مثال تطبيقي (2) أستنتاج فرضية بور لتمكيم الزخم الزاوي

فيما يلي سوضح كيفية استنباط فرضية بور لتمكيم الزخم الزاوي من قاعدة ولسن . سومرفيلد. فلنفرض أن لدينا إلكترونًا يدور في مدار دائري نصف قطره r . إن الفعل هنا يتتألف من الزخم الزاوي مضروبا في الإحداثي القرين له وهو الزاوية φ لذلك سيكون لدينا

$$\oint pdq = \int_0^{2\pi} L d\varphi = nh$$

و منه نحصل على $L = \frac{nh}{2\pi}$ وبالتالي فإن $2\pi L = nh$ أي أن

$$mvr = n\hbar$$

وهذه هي قاعدة بور بعينها. وهو المطلوب.

أسئلة مفاهيمية للفصل الأول

إشعاع الجسم الأسود

1. ما الذي دفع ماكس بلانك الى دراسة الإشعاع الحراري؟ أين كانت المشكلة؟
2. ما هو الجسم الأسود المثالي؟ هل يمكن اعتبار الشمس جسم أسود. وكيف نحسب درجة حرارة سطحها؟
3. ما هو نطاق الترددات المنشعة من جسم ساخن؟
4. ما هي علاقة الطول الموجي عند قيمة الطاقة الأعظم مع درجة حرارة سطح الجسم الساخن؟
5. ما هو قانون رايلي - جينز؟
6. ماذا كان الفرض الأساسي الذي وضعه ماكس بلانك وكيف عالج الطاقة داخل تجويف الجسم الأسود المثالي؟
7. أكتب قانون بلانك للتوزيع الحراري لجسم أسود مثالي على الترددات مابين $v-v+dv$.
8. إثبت أن قانون بلانك للتوزيع الطاقة يقول الى قانون رايلي - جينز في نطاق الترددات الواطئة.
9. إثبت أن قانون بلانك للتوزيع الطاقة يقول الى قانون فين في نطاق الترددات العالية.

التأثير الكهرضوئي

1. ماهي ظاهرة التأثير الكهرضوئي؟
2. كيف تغير الطاقة الحركية للإلكترونات الضوئية عند تغيير شدة الضوء الساقط على السطح طبقا لنظرية ماكسويل الكهرمغناطيسية؟

3. كيف تغير الطاقة الحركية للإلكترونات الضوئية عند تغيير شدة الضوء الساقط على السطح طبقاً للتجربة المختبرية؟
4. كيف تغير الطاقة الحركية للإلكترونات الضوئية عند تغيير تردد الضوء الساقط على السطح طبقاً للتجربة المختبرية؟ إرسم علاقة عامة شكلية.
5. ما تردد العتبة Threshold Frequency وما دالة الشغل Work Function؟
6. ما جهد الإيقاف في تجربة التأثير الكهربائي وما علاقته بتردد العتبة؟
7. كيف حل أينشتاين مشكلة التأثير الكهربائي وما هو إفتراضه الأساس؟
8. ما هو المفهوم المشترك بين حل بلانك لمشكلة إشعاع الجسم الأسود وحل أينشتاين لمشكلة التأثير الكهربائي؟
9. صمم تجربة تتمكن من خلاها حساب ثابت بلانك.

تأثير كمبتن

1. ما هو تأثير كمبتن؟
2. ما الفرق بين تأثير كمبتن والتأثير الكهربائي؟
3. ما الذي يتضمنه تأثير كمبتن بخصوص خواص الضوء؟

حيود الإلكترونات

1. ما الذي كشفته تجربة دافيسون وجيرمر؟
2. كيف لنا أن نفسر تجربة دافيسون وجيرمر؟
3. ما الذي يحصل لو أرسلنا جسيمات كلاسيكية لتمر عبر لوح فيه شقين؟
4. ما الذي يحصل لو أرسلنا إلكترونات لتمر عبر لوح فيه شقين؟

البنية الذرية

5. ما هو الطيف الخطي البراق؟

6. ما هو طيف الإمتصاص؟
7. ما هو تصور ثمثون للذرة؟
8. ما هي تجربة رذرفورد وما الذي أراد أن يتحقق منه؟ ما الذي تتوقعه إذا كان نموذج ثمثون صحيحاً؟
9. ماذا كانت نتيجة تجربة رذرفورد؟
10. كيف فسر رذرفورد نتائج تجربته؟ ما المشكلة الأساسية الذي واجهت تصوره للذرة؟
11. كيف حل نيلز بور مشكلة ذرة رذرفورد؟
12. ماذا كان المعيار الأساسي الذي أنجح نموذج بور للذرة؟
13. هل يتفق، بالتقريب، قطر الذرة الذي وجده بور مع ذلك الذي قدره الكيميائيون؟
14. ماذا تعني شدة الخطوط الطيفية وهل يمكن اعتبار الشدة معياراً لعدد الذرات في وحدة الحجم؟
15. ما أهمية خط H_α في الفيزياء الفلكية؟
16. ما هي ثغرات ونواقص نموذج بور للذرة؟
17. كيف يمكن فهم فرضية بور لتكامل الزخم الزاوي بضوء فرضية دي بروي؟

مسائل الفصل الأول

- س(1) يستخدم قانون بلانك وإثبت أن كثافة الطاقة العظمى تحصل عند $\lambda_{\max} = \frac{b}{T}$ حيث أن T هي درجة الحرارة و b مقدار ثابت.
- س(2) لديك مصدرين للأشعة فوق البنفسجية أحدهما بطول موجي 80 نانومتر والآخر بطول موجي 110 نانومتر. فإذا سقط هذان الشعاعان على لوح رصاص انبعثت إلكترونات

ضوئية بطاقة قدرها 11.390 و 7.154 إلكترون فولط على التوالي. إحسب قيمة ثابت بلانك، (ب) إحسب دالة الشغل وتردد العتبة للرصاص.

س(3) قارن بين الطول الموجي لموجة دي بروي لبروتون طاقته الحركية 70 مليون إلكترون فولط والطول الموجي لإطلاقة كتلتها 100 غرام تتحرك بسرعة 900 م/ثا.

س(4) إحسب الطول الموجي المنبعث من انتقال الإلكترون من المستوى الثالث إلى المستوى الثاني في ذرة التريتيوم التي تحوي نواها على بروتون واحد ونيترونين وقارن ذلك مع خط الهيدروجين.

س(5) البوزيترونيوم هو ذرة شبيهة بالهيدروجين تتتألف من إلكترون وبوزيترون لكنها قصيرة العمر، إحسب

(أ) طاقة الذرة وقطرها. (ب) الطاقة والتردد اللازمين لتأين هذه الذرة إذا كانت في مستوى طاقتها الأولى.

س(6) خذ أيون الكربون الخامس C^{5+} كذرة شبيهة بالهيدروجين. إحسب قطر وطاقة هذه الذرة لأي مستوى n ثم قارنها مع الهيدروجين.

طاقة تأين C^{5+} عندما تكون في الحالة المثارة الأولى ثم قارنها مع الهيدروجين. الطول الموجي المنبعث عند انتقال الإلكترون من المستوى الثالث إلى المستوى الأول وقارن ذلك مع الهيدروجين.

س(7) (أ) إثبت أن كثافة الطاقة العظمى تقع عند طول موجي معين يخضع للعلاقة $\lambda_{\max} = b/T$ حيث أن b هو ثابت.

(ب) استعمل العلاقة في (أ) لحساب درجة حرارة نجم يبعث كثافة الطاقة العظمى عند طول موجي $\lambda_{\max} = 446 \text{ nm}$. ما هي شدة الإشعاع المنبعثة من النجم؟ (ج) إحسب الطول الموجي وشدة الطاقة المنبعثة من فتيلة تكسن حرارتها 3300 كلفن.

س(8) إثبت أن الطاقة الحركية العظمى المنقولة إلى بروتون يصطدم به فوتون ذي طاقة

$$K_p = h\nu / [1 + m_p c^2 / (2h\nu)]$$

س(9) فوتون يتشتت عن الإلكترون ساكن بزاوية قدرها 60 درجة ويصبح طوله الموجي ثلاثة أضعاف طوله الموجي الأصلي. إحسب: (أ) الطول الموجي الأصلي للفوتون، (ب) الطاقة الحركية للإلكترون المتشتت. (ج) زاوية تشتت الإلكترون.

س(10) إن الإلكترون الذي يدور في مدار دائري نصف قطره r يتعرض إلى تسارع مركزي مقداره $a = v^2/r$ ووفقاً للنظرية الكهرومغناطيسية فإن الإلكترون ينبغي أن يشع طاقته بمعدل تحدده صيغة لارمور Larmour وهي

$$\frac{dE}{dt} = -\frac{2}{3c^3} \frac{e^2 a^2}{4\pi\epsilon_0}$$

إحسب الزمن اللازم لسقوط الإلكترون من المستوى الأول على البروتون في ذرة الهيدروجين إذا كان سيفقد طاقته الكلية بهذه الطريقة.

ملاحظة: إحسب الطاقة الكلية (الحركية + الوضع) ثم خذ تفاضلها مع الزمن وإنجع الناتج مساوياً لمعدل فقدان الطاقة الوارد أعلاه ثم إحسب الزمن الكلي المستغرق لكي يصبح نصف القطر صفرًا.

س(11) برهن أن فرضية بور لتكميم الزخم الزاوي تعني أن يتتألف مدار الإلكترون الدائري من عدد صحيح من ثابت بلانك مقسوماً على الزخم الخطي للإلكترون.

س(12) إحسب الطول الموجي الأقصر والطول الأكبر في سلسلة باشن. ما هو النطاق اللوني الذي تقع فيه هذه السلسلة؟

الفصل الثاني

فرضية دي بروي وأساسيات الميكانيك الموجي

كشفت الظواهر التي عرضنا لها في الفصل الأول من هذا الكتاب أن للجسيمات في العالم المجهري Microscopic تصرفًا موجياً وأن للأمواج (والقصيرة منها على وجه الخصوص) تصرفًا جسيمياً. وهذه الطبيعة الثنائية قد أدت إلى التساؤل عن القوانين الجديدة التي تحكم مثل هذه التصرفات. في هذا الفصل سنقدم بياناً لتفسير الصفات الموجية للجسيمات والصفات الجسيمية للأمواج في توطئة للتمثيل الموجي للجسيمات بما يسمى رزمة الأمواج Wavepacket ثم تقديم ما ينطوي عليه هذا التمثيل من التضاحية بالدقة الكلاسيكية في القياس فنقدم ما يتضمنه مبدأ اللادقة هيزنبرغ والذي هو أول أركان ميكانيك الكموم. وهذا كله إنما يمهد للصياغة المعادلة الرئيسية في هذا العلم وهي معادلة الفيزيائي إرورين شرودنجر التي هي الأخرى ركن من أركان ميكانيك الكموم الالانسبيوي والتي ستكون موضوع الفصل اللاحق.

فرضية دي بروي

أدت نتائج التجارب الكثيرة التي ذكرنا جانبها إلى الشعور لدى الفيزيائين أن الجسيمات في العالم المجهري Microscopic تصرف كأمواج وأن الأمواج تتمتع بصفات جسيمية. هكذا إنطلقت فكرة ثنائية الموجة والجسيم Wave-Particle Duality في العالم المجهري. لكن كيف السبيل إلى وضع تصور رياضي مثل هذه الفكرة بحيث يكون التصور قابلاً للتداول حسابياً وبما يوفر نتائج حسابية تطابق الواقع التجاري؟

كان الفرنسي دي بروي de Broglie قد وضع عام 1924 علاقة حسابية بسيطة تربط الصفة الموجية بالصفة الجسيمية وهذه العلاقة هي

$$\lambda = \frac{h}{p} \quad (2.1)$$

حيث أن λ هي الطول الموجي و p هي زخم الجسيم. هذه العلاقة لا تعبر عن جسيم ولا عن موجة بل عن كينونة ثنائية لها وجه جسيمي وآخر موجي. ويمكن فهم هذه العلاقة على أنها علاقة تكافؤ بين الوجه الجسيمي وهو زخم الجسيم والوجه الموجي وهو الطول الموجي. بمعنى أننا إذا تصورنا الإلكترون الذي زخمه p موجة فإن طول تلك الموجة هو λ . إذا وظفنا نظرية النسبية الخاصة وعلاقة بذلك لطاقة الفوتون فإن العلاقة (2.1) تنطبق على الجسيمات عديمة الكتلة كالفوتونات لكن دي بروي كان جريئاً جداً (أو مجنوناً!) عندما إدعى أن العلاقة تنطبق أيضاً على الجسيمات ذات الكتلة كما تنطبق على الفوتونات. ولكن إذا كان للجسيم تصوير موجي فأي موجة نقصد؟ هل هي موجة كهرومغناطيسية؟ أم موجة ميكانيكية أم ماذا؟

لم يكن واضحاً لدى الفيزيائيين أول الأمر نوع الموجة التي يمثلها الجسيم لكن طالما أن الجسيمات هي جزء من تكوين المادة على الأقل، فإن هذه الموجات لابد أن تتصل بالمادة فسميت موجات مادية Matter Waves. إنما في حالة كموم الضوء (الفوتونات) فإن هذه الأمواج هي أمواج كهرومغناطيسية. سنرى لاحقاً أن أمواج دي بروي في الحقيقة هي أمواج الإحتمالية حيث أن كثافتها هي معيار لمكان وجود الجسيم.

تفسير تكميم الزخم الزاوي في نموذج بور الذري

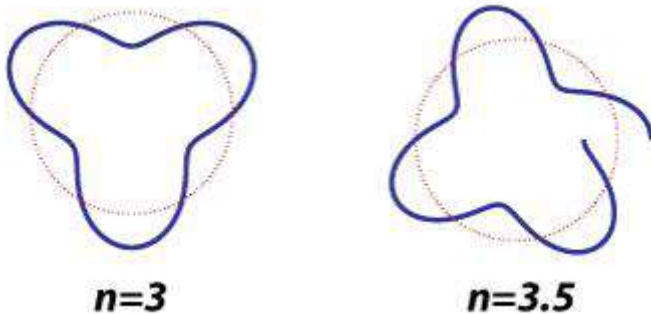
يمكننا توظيف علاقة دي بروي لتفسير تكميم الزخم الزاوي في ذرة الهيدروجين بحسب نموذج بور. فالإلكترون الذي يدور في مدار دائري نصف قطره r إنما يقطع في كل دورة محيطاً كاملاً، أي مسافة مقدارها $2\pi r$. وبموجب مبدأ تكميم الزخم الزاوي فإن

$$mv_r = n \frac{h}{2\pi}$$

وباستخدام علاقة دي بروي فإن هذا يعني أن

$$2\pi r = n \frac{h}{p} = n\lambda$$

ومضمون هذا أن محيط مدار الإلكترون ينبغي أن يكون عدداً صحيحاً من الأمواج الكاملة.



الشكل (2-1) موجة دي بروي ومدار الإلكترون

ولكن ماذا يحصل لو لم يكن هنالك أمواج كاملة؟

الجواب: إن المدار سيأكل بسبب تداخل الموجة مع نفسها وخلال عدد قليل من الدورات يمكن أن يتاكل المدار كله ويتلاشى. فمثلاً إذا كان $2\pi r = 1.1\lambda$ فإن هذا المدار سوف يتلاشى بعد خمس دورات للإلكترون حول النواة. هذا هو السر الذي تنطوي عليه فرضية تكميم الزخم الزاوي في ذرة بور.

رزمة الأمواج Wave Packet

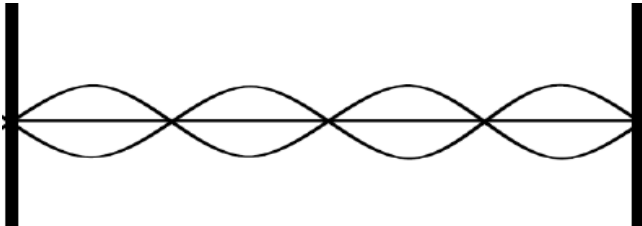
كيف يمكننا صياغة كينونة جديدة تجمع بين صفات الموجة والجسيم؟

نعلم أن أهم صفتين للجسيم هما التحيز Locality والثبات Stability. ونعلم أن أهم صفتين للموجة هما الإمتداد Extension والتغير Change، فالموجة لا ثبات على حال وكل نقطة على صفحة الموجة هي في حال تغير واختلاف عن ما حولها. ونظراً لأن تحيز الجسيم هو الأهم من صفاتة ونظراً لأننا نعلم أن أشياء العالم هي في حال تغير دائم حتى

لو كنا لا نلاحظه، فقد ذهب الفيزيائيون إلى التمسك بالتحيز كصفة للكينونة الجديدة.

وهنا برب السؤال: كيف يمكننا "تحيز" الموجة؟

ربما يكون الجواب البديهي أن نحصرها بين حاجزين. نعم بالفعل فعندئذ ننشئ ما يسمى الموجة الواقفة Standing Wave.



الشكل (2-2) الموجة الواقفة

هذه الموجة الواقفة مؤلفة من بطون وعقد Nodes وذلك لأنها موجة متداخلة مع نفسها.

وها هنا في الشكل إحتوت المسافة بين الحاجزين موجتين كاملتين فصار لدينا أربع بطون.

إذن فإن بالإمكان تحيز الموجة إذا ما جمعناها وجعلناها تتداخل مع بعضها. وهذا الغرض

دعنا نختار أولاً موجتين بينها فرق صغير في التردد مقداره $\Delta\omega$ وفي العدد الموجي

$$y_1(t) = A \cos(kx - \omega t)$$

$$y_2(t) = A \cos[(k + \Delta k)x - (\omega + \Delta\omega)t]$$

ولنجمع هاتين الموجتين. ماذا نحصل؟ سنجد أننا باستخدام العلاقة المثلثية

$$\cos \alpha + \cos \beta = 2 \cos \frac{1}{2}(\alpha + \beta) \cos \frac{1}{2}(\alpha - \beta)$$

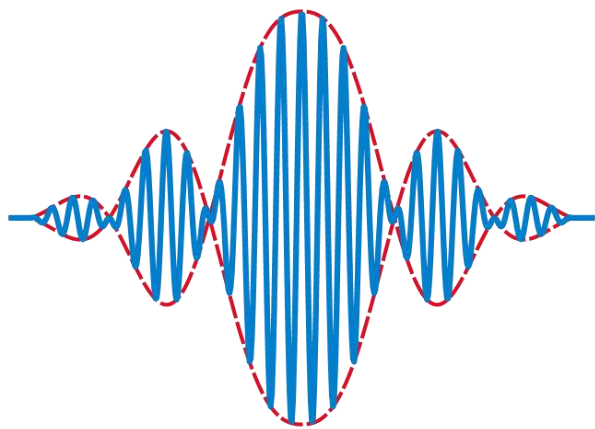
(2.2a)

نحصل على

$$y = y_1 + y_2$$

$$= 2A \cos \frac{1}{2}[(2k + \Delta k)x - (2\omega + \Delta\omega)t] \cos \left(\frac{\Delta kx}{2} - \frac{\Delta\omega t}{2} \right) \quad (2.2b)$$

ولو رسمنا هذه النتيجة لوجدنا أنها تعبر عن موجتين متداخلتين فيما بينهما تولدان نمطين من الأمواج الأول هو موجة الطور Phase Wave ذات التردد العالي والطول الموجي القصير والثاني موجة الزمرة Group Wave وهي الموجة الشاملة التي تغلف أمواج الطور.



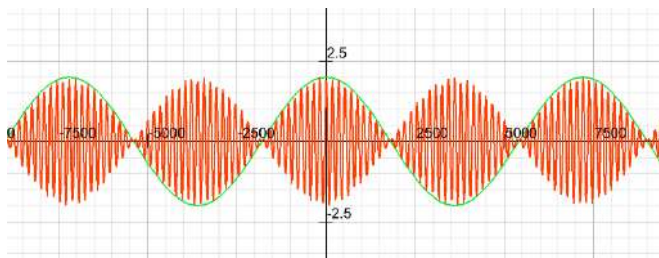
الشكل (3-2) زمرة الموجة

مثال جمع الأطوار الموجية وتحصيل موجة زمرة

إجمع الشكلين الموجيين $y_2(x) = \cos(2.1x)$ و $y_1(x) = \cos(2x)$

الجواب: باستخدام العلاقة (2.2a) نحصل على

وعند رسم هذه الدالة فإنها تعطينا الشكل الموجي التالي



جمع الأطوار الموجية لتحصيل موجة الزمرة

حيث تكون موجة الزمرة هي الإطار الخارجي الذي يجمع تحته أمواج الطور. وبالمقابل يمكن أن يمثل هذا قطار من الفوتونات مثلاً.

متسلسلة وتحويلات فورييه Fourier Series and Transformations

إن مسألة تحيز الموجة متصلة بوجه أو باخر بتحليلات فورييه وتحويلاته وهنا نقدم عرضاً موجزاً لهذه المسألة.

تفترض تحليلات فورييه أن أي دالة دورية تكون قابلة للتحليل بدلالة الدوال المثلثية. لذلك فإن متسلسلة فورييه هي عملية نشر الدالة على أساس دوال مثلثية جيبية وجيب تمامية \sin and \cos وهذه دوال متعامدة على بعضها البعض. فإذا كان لدينا دالة دورية

(متكررة) $\psi(x)$ خلال الفترة $-\frac{L}{2} \leq x \leq \frac{L}{2}$ فإن متسلسلة فورييه تتخد الشكل التالي

$$\psi(x) = \frac{a_0}{2} + \sum_{n=1}^{\infty} \left[a_n \cos \frac{2n\pi x}{L} + b_n \sin \frac{2n\pi x}{L} \right] \quad (2.3)$$

ولإيجاد المعاملات a_n و b_n نستخدم علاقات التعامد

$$\frac{2}{L} \int_{-L/2}^{L/2} \cos \frac{2m\pi x}{L} \sin \frac{2n\pi x}{L} dx = 0$$

كذلك

$$\frac{2}{L} \int_{-L/2}^{L/2} \cos \frac{2m\pi x}{L} \cos \frac{2n\pi x}{L} dx = \frac{2}{L} \int_{-L/2}^{L/2} \sin \frac{2m\pi x}{L} \sin \frac{2n\pi x}{L} dx = \delta_{mn}$$

وهكذا نجد أن

$$a_0 = \frac{2}{L} \int_{-L/2}^{L/2} \psi(x) dx \quad (2.4)$$

ونجد أن

$$a_n = \frac{2}{L} \int_{-L/2}^{L/2} \psi(x) \cos \frac{2m\pi x}{L} dx \quad (2.5)$$

كذلك نجد أن

$$b_n = \frac{2}{L} \int_{-L/2}^{L/2} \psi(x) \sin \frac{2n\pi x}{L} dx \quad (2.6)$$

وباستخدام العلاقة

$$e^{i(2n\pi x/L)} = \cos \frac{2n\pi x}{L} + i \sin \frac{2n\pi x}{L} \quad (2.7)$$

بإمكان كتابة المتسلسلة في (2.3) بالشكل التالي

$$\psi(x) = \frac{a_0}{2} + \frac{1}{2} \sum_{n=1}^{\infty} \left[(a_n - ib_n) e^{2i\pi nx/L} + (a_n + ib_n) e^{-2i\pi nx/L} \right] \quad (2.8)$$

والآن إذا عرفنا المعامل c_n كما يلي

$$\begin{aligned} c_n &= \frac{1}{2} (a_n - ib_n) & n > 0 \\ &= \frac{1}{2} a_0 & n = 0 \\ &= \frac{1}{2} (a_{-n} + ib_{-n}) & n < 0 \end{aligned} \quad (2.9)$$

فإن بإمكان كتابة متسلسلة فورييه بالشكل التالي

$$\psi(x) = \sum_{n=-\infty}^{\infty} c_n e^{2in\pi x/L} \quad (2.10)$$

حيث أن

$$c_n = \frac{1}{L} \int_{-L/2}^{L/2} \psi(x) e^{2in\pi x/L} dx \quad (2.11)$$

لاحظ أن $\psi(x) = e^{2in\pi x/L}$ هي دالة موجية سعتها تعتمد على x وهنا نحن نجمع عدداً من الدوال خلال المدى المكاني $\frac{L}{2} \leq x \leq -\frac{L}{2}$ لو أنها جمعنا عدداً كبيراً من الأمواج لوجدنا أن التحizir يصير أفضل. ولو أنها جمعنا عدداً لا ينهاياً من الأمواج التي لها تردد زاوي ω وسعة قدرها $(k)\phi$ وتختلف في العدد الموجي بمقدار dk عن بعضها فإننا يجب أن نأخذ التكامل على المتغير k ليكون لدينا

$$\begin{aligned}\psi(x,t) &= \frac{1}{\sqrt{2\pi}} \int_{-\infty}^{\infty} \phi(k) e^{i(kx-\omega t)} dk \\ &= \frac{1}{\sqrt{2\pi}} e^{-i\omega t} \int_{-\infty}^{\infty} \phi(k) e^{ikx} dk\end{aligned}\tag{2.12}$$

لاحظ أن الزمن هنا يلعب دور معامل الطور ليس إلا لكونه متغير مستقل. لذلك يمكن أن نتعامل معه عند $t=0$ ونحصل على

$$\psi(x,0) = \psi(x) = \frac{1}{\sqrt{2\pi}} \int_{-\infty}^{\infty} \phi(k) e^{ikx} dk\tag{2.13}$$

حيث أن $\phi(k)$ هي السعة وهي ما يسمى تحويل فورييه للدالة $(x)\psi$ وصيغتها هي

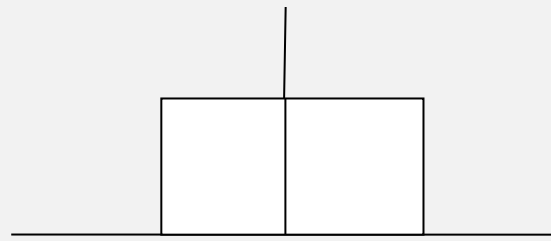
$$\phi(k) = \frac{1}{\sqrt{2\pi}} \int_{-\infty}^{\infty} \psi(x) e^{-ikx} dx\tag{2.14}$$

وهذا الشكل يمثل تحيزاً للموجة على قدر كبير. لكننا في كل الأحوال نلاحظ أن عرض الموجة Width لا يمكن أن يصير صفرأً.

مثال: خذ الدالة التالية في فضاء k واحسب الدالة المقابلة لها $(x)\psi$.

$$\begin{aligned}\phi(k) &= N & -K \leq k \leq K \\ &= 0 & \text{elsewhere}\end{aligned}$$

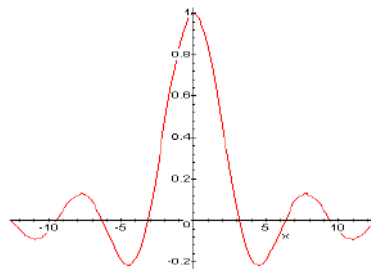
الحل: إن هذه الدالة هي نبضة مربعة. وحيث N ثابت فإن الرسم هو



ويمكن حساب $\psi(x)$ كما يلي

$$\psi(x) = \int_{-K}^K dk N e^{ikx} = \frac{N}{ix} (e^{iKx} - e^{-iKx}) = 2N \frac{\sin Kx}{x}$$

ورسم هذه الدالة كما يلي



ويوضح كيف أن الدالة المربعة في فضاء k تتحول الى دالة مثلثية في فضاء x .

يتحقق مضمون العلاقة بين فضاء الزخم وفضاء الإحداثيات في حالة حيود الجسيمات حيث يكون الجسيم متخيلاً بقدر من الدقة لكنه يتصرف كجسيم. وحين ننذرف هذا الجسيم على ثقب فإنه يتصرف كموجة تتداخل مع نفسها وهذا ما يجعل الجسيمات تُظهر أنماط الحيود الذي يسمى حيود فراخوفر. التصرف الجسيمي هو ما نعبر عنه بامتلاك

الجسيم للزخم والتصرف الموجي هو ما نعبر عنه في عملية التداخل. كلا الحالين يعبر عن كينونة واحدة هي الكينونة الشنوية Dualism.

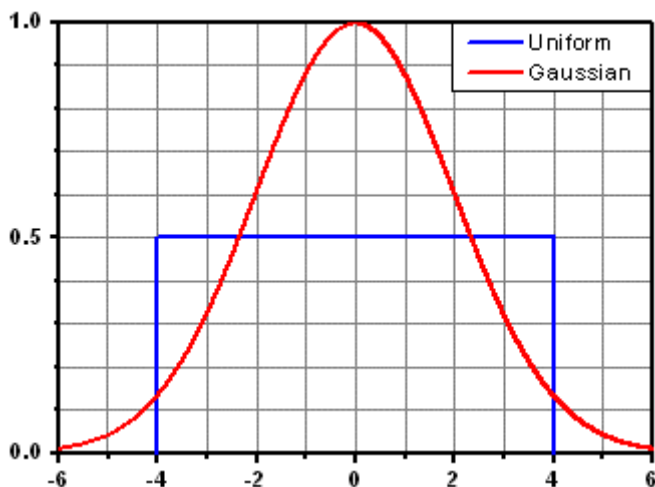
فضاء الإحداثيات وفضاء الزخم

إن الدالة (x) تصف الموجة في فضاء الإحداثيات Coordinate Space أو ما يسمى x -space إذ تعتمد على الإحداثيات، لكن الدالة (k) هي التي تصف الموجة في فضاء الزخم Momentum Space أو فضاء الطور حيث يسمى k -space والرابط بينهما الذي يجعل إحداهما إلى الأخرى هو تحويلات فورييه كما في العلاقات (2.13) و(2.14). وفي كلا الفضائيين تظهر دالة الموجة كتوزيع غاوسي له إتساع (عرض) يتعين مقداره عندما يكون أنس الدالة مساوياً -1.

ولتوضيح هذه المسألة المهمة في ميكانيك الأتمواج دعنا نأخذ

$$\phi(k) = e^{-\alpha(k-k_0)^2/2} \quad (2.15)$$

وهذا هو منحنى غاوسي Gaussian Curve يتمركز حول $k = k_0$ ويمثل α معامل يتعلق بعرض المنحنى، فكلما زادت قيمتها ضاق عرض المنحنى كما مبين في الشكل أدناه.



الشكل (2-4) التوزيع الغاوسي

وهاهنا خاصية مهمة تربط بين إتساع الزمرة الموجية في فضاء الزخم وإتساعها في فضاء الإحداثيات وتلك هي أن $\Delta x \Delta k = O(1)$ ، وهذا مما يجعل تثليل الجسيم بزمرة أمواج مقيداً بشرط أن يكون إتساع الزمرة أكبر من الصفر في أي حال من الأحوال وهذا مما يعني أن الجسيم الكمومي لا يمكن أن يتحيز في نقطة هندسية. ولا يمكن أن يكون ساكناً سكوناً مطلقاً.

أرجو أن تذكر أن العلاقة بين k والزخم p هي $p = \hbar k$. وبدلالة p تكون علاقة فورييه هي

$$\psi(x) = \frac{1}{\sqrt{2\pi\hbar}} \int_{-\infty}^{\infty} \phi(p) e^{ipx/\hbar} dp$$

والعلاقة العكسية هي

$$\phi(p) = \frac{1}{\sqrt{2\pi\hbar}} \int_{-\infty}^{\infty} \psi(x) e^{-ipx/\hbar} dx$$

مثال لتحويل الدالة من فضاء الإحداثيات إلى فضاء الزخم:

لو أخذنا الدالة في (2.15) فسيكون لدينا عرض هذه الدالة الغاوسيّة في فضاء k هو

$$\alpha(k - k_0)^2 / 2 = 1$$

$$\text{أي أن } \Delta k = \sqrt{\frac{2}{\alpha}}$$

والآن لو أتنا حولنا $\phi(k)$ إلى $\psi(x)$ عبر تحويلات فورييه لوجدنا أن

$$\psi(x) = \frac{1}{\sqrt{2\pi}} \int_{-\infty}^{\infty} e^{-\alpha(k - k_0)^2 / 2} e^{ikx} dk$$

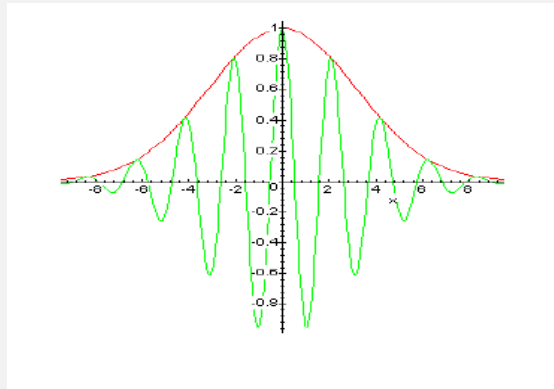
والآن لدينا

$$-\frac{\alpha}{2}(k - k_0)^2 + ikx = -\left[\frac{\sqrt{2\alpha}(k - k_0)}{2} - \frac{ix}{\sqrt{2\alpha}}\right]^2 - \frac{x^2}{2\alpha} + ik_0x$$

لذا فإن $y = \left[\frac{\sqrt{2\alpha}(k - k_0)}{2} - \frac{ix}{\sqrt{2\alpha}}\right]$ وهذا يعني أن

$$\begin{aligned}\psi(x) &= \frac{1}{\sqrt{2\pi}} e^{ik_0x} e^{-x^2/2\alpha} \int_{-\infty}^{\infty} \sqrt{\frac{2}{\alpha}} e^{-y^2} dy \\ &= \sqrt{\frac{1}{\alpha}} e^{ik_0x} e^{-x^2/2\alpha}\end{aligned}$$

وهذه الصيغة تمثل موجة طورية دورية e^{ik_0x} متعرجة حول $x=0$ مغلفة بموجة زمرة غاوسيّة هي $e^{-x^2/2}$. وهكذا نرى من خلال هذا المثال أن بالإمكان تمثيل الجسيم كزمرة من الأمواج بتوزيع غاوسي. وكما في الشكل التالي



لاحظ أن $\Delta x \Delta k = 2\sqrt{2\alpha} \cdot \sqrt{2/\alpha} = 4$. والآن يكون $\Delta x = 2x = 2\sqrt{2\alpha}$

وهي قيمة من القدر واحد of order one. (القدر واحد يعني من 1 إلى 9)

تمثيل الجسم الحر

إن التمثيل الموجي الأفضل لجسم حر يتحرك في بعد واحد يمكن أن يتخذ الصيغة التالية

$$\psi(x,t) = A e^{i(kx - \omega t)} \quad (2.16)$$

هذه الصيغة يمكن أن تمثل موجة مفردة ويمكن أن تمثل رزمه أمواج فإن كانت رزمه أمواج يمكن فتحها بدلالة مركباتها التي تؤلفها. وهذه الصيغة هي صيغة الموجة المستوية حيث أن A هي سعة زمرة الموجة والسعنة كما نعلم مرتبطة بالشدة Intensity. في هذا التمثيل نستخدم المفردات الموجية مثل ω و k . ولكي يتخذ التمثيل الموجي صيغة متدرج فيها صفات الجسيمية مع الصفات الموجية فإن من الضروري تضمين فرضية بلانك لتكريم الطاقة وفرضية دي بروي لعلاقة الزخم بطول الموجة. وهذه يمكن أن تتخذ الصيغة التالية.

$$E = h\nu = \hbar\omega, \quad p = \frac{h}{\lambda} = \hbar k \quad (2.17)$$

حيث أن $E = h\nu = \hbar\omega = \frac{h}{2\pi} = 1.054 \times 10^{-34}$ J.sec. وبالتالي يمكننا أن نكتب صيغة التمثيل الموجي

لجزيم حر يتحرك في بعد واحد كما يلي

$$\psi(x,t) = A e^{i(px - Et)/\hbar} \quad (2.18)$$

وهكذا نحصل على صيغة متدرج فيها الصفات الموجية (التغير والإمتداد) مع الصفات الجسيمية (الزخم).

إن الصيغة الواردة في (2.18) تعبر في إطار ميكانيك الكم عن دالة موجة، ويمكن أن تمثل جسيما واحداً أو مجموعة جسيمات متماثلة تماماً، حيث تمثل $|A|^2$ عندئذ فيض Flux هذه الجسيمات. أما في حالة كون النظام مؤلفاً من جسيم واحد فإن $|A|^2$ تمثل كثافة إحتمالية إيجاد الجسيم على تلك الحالة، ويمثل p زخم و E طاقته الميكانيكية الكلية. وهذه الصيغة هي تعبر تختلط فيه الصفات الموجية مع الصفات الجسيمية كما هو واضح ويرمز فيها ثابت بلانك إلى حقيقة أن هذه الصيغة قد تضمنت فكرة بلانك لتكريم الطاقة فضلاً عن أنها تضمنت في باطنها صيغة دي بروي للتغيير عن ثنائية الموجة والجزيم وبالتالي فإن هذه الصيغة تعبر مناسب للجسيمات الكتلوية والأمواج على السواء.

سرعة الزمرة وسرعة الطور

لكل موجة أياً كان نوعها سرعة، والعلاقة بين سرعة الموجة وترددتها الزاوي هو $v_p = \frac{\omega}{k}$

وفي حالة تكوين رزمه موجية فإننا إنما نؤلفها من مجموعة كبيرة من هذه الأمواج (كل منها تسمى موجة طور Phase Wave) التي تختلف في تردداتها والعدد الموجي قليلاً عن بعضها. أي هي مجموعة أو زمرة من الأطوار Phases وستكون لها سرعة ربما تختلف عن سرعة الطور وهي $v_g = \frac{d\omega}{dk}$. وتحتفل العلاقة بين سرعة الزمرة وسرعة الطور حسب نوع الوسط الذي تنتقل فيه الموجة. والآن لو أننا مثلنا الجسيم الحر برمته من الأمواج وباستخدام العلاقات $E = \hbar\omega, p = \hbar k$ فإننا نجد أن

$$v_g = \frac{dE(p)}{dp}, \quad v_p = \frac{E(p)}{p}$$

ونظراً لأن $E = p^2 / 2m$ فإننا نحصل على

$$v_g = \frac{p}{m} = v_{particle}, \quad v_p = \frac{p}{2m} = \frac{1}{2} v_g$$

تمثيل موجة الزمرة وموجة الطور

ورد في خاطري وأنا أقوم برياضة المشي صباحاً أن حركة الزمرة وحركة الطور يمكن تشبيههما بحركة الإنسان أثناء المشي الحر. فهو يحرك رجليه الواحدة تلو الأخرى ويديه تباعاً بحركة توافقية بسيطة. يمد رجله خطوة ثم يندفع بذات الوقت الذي يمد فيه الخطوة الثانية والحركة لا تتحقق فعلاً إلا بعد أن يمد الخطوتين. فحركة الشخص هي حركة الزمرة وحركة يديه هي حركة الطور. ولو نظرنا من خلال مرجعية الشخص المتحرك نفسه لوجدنا أن اليدين تتحركان جيئة وذهبابا في حركة توافقية بسيطة فيما تتحرك الأرض تحتهما بمعدل ثابت. فهناكأن أمواج الطور الممثلة بحركة الأيدي هي في حالة سكونية Stationary أو كأنها تمثل في ترددتها بهذه الحركة موجة واقفة وهنا ينبغي أن نلاحظ أن إحدى يدي الشخص

تبعد راجعة إلى الوراء فيما يتقدم الشخص إلى الأمام، على حين أن الأرض تتحرك تحته إلى الوراء (وهذا مكافئ للقول أن الجسم يتحرك بالنسبة للأرض إلى الأمام). حتى إذا ما أردنا سبر هذه المماثلة أكثر فإننا نجد أن العدد الموجي سيتمثل بالكمية 2π مقسومة على المسافة التي تتحركها اليد ذهاباً وإياباً (وهي التي تقابل الطول الموجي للطور) فيما يمثل التردد عدد المرات التي تكمل فيها اليد دورة كاملة في وحدة الزمن. ومن الواضح أن سرعة الطور (اليد) هنا هي ضعف سرعة الزمرة ومعدل سرعة الأرجل هي نصف معدل سرعة اليدين.

مثال: إذا كان تردد الأمواج في المياه العميقه يرتبط بطول الموجة كما في العلاقة التالية

$$v = \sqrt{\frac{g}{2\pi\lambda}}$$

فما هي سرعة موجة الزمرة وما سرعة موجة الطور؟

الحل: يجب أولاً كتابة العلاقة كما يلي

$$\omega = \sqrt{gk}$$

بالتالي فإن سرعة الزمرة هي

$$v_g = \frac{d\omega}{dk} = \frac{1}{2} \sqrt{\frac{g}{k}}$$

أما سرعة موجة الطور فهي

$$v_p = \frac{\omega}{k} = \sqrt{\frac{g}{k}}$$

هذا يعني أن سرعة الطور هي ضعف سرعة الموجة.

طول موجة كمبن للجسيمات

يُعرف طول موجة كمبن لجسيم كتلته m بالصيغة التالية

$$\lambda_c = \frac{h}{mc}$$

أي أنه يتناسب عكسياً مع كتلة الجسم فالجسام القليلة الكتلة تكون موجة كمبتن لها كبيرة والأجسام ذوات الكتل الكبيرة تكون موجة كمبتن لها صغيرة. وتتخذ موجة كمبتن معياراً لقياس أقل إتساع للزمرة الموجية التي يمثلها الجسيم. فالجسيم في أي من أبعاده لا يمكن أن يكون أصغر من موجة كمبتن التي تثله.

دعنا نحسب طول موجة كمبتن للإلكترون ونقارنها مع تلك التي للبروتون

$$\lambda_e = \frac{6.626 \times 10^{-34}}{9.1 \times 10^{-31} \times 3 \times 10^8} = 2.4 \times 10^{-12} \text{ m}$$

أما البروتون فإن طول موجة كمبتن له هي

$$\lambda_p = \frac{6.626 \times 10^{-34}}{1.67 \times 10^{-27} \times 3 \times 10^8} = 1.32 \times 10^{-15} \text{ m}$$

ولعلنا نفهم من هذا لماذا لا يمكن أن تحتوي نواة الذرة التي قطرها من رتبة 10^{-15} متر على إلكترونات.

مبدأ اللادقة لهايزنبرغ Heisenberg Uncertainty Principle

إن التمثيل الموجي للجسيم بدلالة الزمرة الموجية يجعل لهذه الزمرة إتساعاً محدوداً بالضرورة. وهذا الإتساع المكاني Δx في فضاء الإحداثيات هو تعبير عن قدر من اللادقة أو اللايقين في الموضع الذي تتموضع به زمرة الأمواج. وهذه اللادقة لا يمكن أن تكون صفراء. وبالتالي لا بد من حد أدنى لـ(اللايقين) Uncertainty في تحديد موضع الجسيم. من جانب آخر فإن إتساع زمرة الموجة مكانياً مرتبط باتساع مقابل للعدد الموجي k أي أنه مقابل كل Δx يوجد Δk مضروب بهذه اللادقة بعضها يكون من رتبة الوحدة Order of Unity ويمكن إثبات أن

$$\Delta x \Delta k \geq \frac{1}{2} \quad (2.19)$$

ويموجب هذا وبدلة الزخم الخطى حسب العلاقة (2.17) نحصل على

$$\Delta x \Delta p \geq \frac{\hbar}{2} \quad (2.20)$$

وهذه العلاقة تقرر أنه لا يمكن تحديد موضع جسم وزخمه بدقة لامتناهية وفي آن واحد.

ويمكن إثبات علاقة مماثلة بين الطاقة الكلية للجسم والزمن وهذه هي

$$\Delta E \Delta t \geq \frac{\hbar}{2} \quad (2.21)$$

وهذا هو مبدأ اللادقة ل海森برغ The Heisenberg Uncertainty Principle. هذا المبدأ يعني أن هناك بعض المتغيرات الفيزيائية المتكاملة التي لا يمكن قياسها مع بعضها بدقة لامتناهية في آن واحد. ومن هذه المتغيرات المتكاملة: الموقع والزخم الخطى والطاقة والزمن. وسنجد فيما بعد أن مبدأ اللادقة هذا جذوراً في العلاقة البنوية لميكانيك الكموم بل هو جزء أساسي من البنية الكمومية للكون كله. إن مبدأ اللادقة إرتباطاً وثيقاً بالطبيعة الثانية (الموجية - الجسيمية) للأشياء هذه الطبيعة التي تتمظهر بوضوح في بنية العالم الذري وتحت الذري وعموماً العالم المجهري. وليس يقتصر تطبيق هذا المبدأ على العالم المجهري بل كما قلنا إنما يظهر تأثيره واضحًا هنا.

مضامين مبدأ اللادقة

إن مبدأ اللادقة مضامين مهمة بعضها حسابي والآخر مفاهيمي وفلسفى وأهم هذه المضامين ما يلي

لا يمكن أن يكون في العالم جسم ساكن سكوناً تماماً لأن ذلك يعني أن زخمه يكون صفرًا وبالتالي وفقاً لمبدأ اللادقة يكون موضعه غير محدد تماماً.

كلما زادت الدقة العظمى لتحديد موقع الجسيم كلما قلت دقة تحديد زخم الجسيم والعكس صحيح.

كلما زادت دقة تحديد طاقة جسيم كلما قلت دقة تحديد زمن وجوده والعكس صحيح. يمكن أن نتخيل وجود جسيمات مجازية (افتراضية) ذات طاقة مقدارها E شرط أن تتوارد هذه الجسيمات ملدة زمنية لا تتجاوز $\frac{\hbar}{2E} < t$ وقد تم استخدام مثل هذه الجسيمات المجازية لتفسير القوى النووية.

إن مبدأ اللادقة ينفي، ضمنياً، حتمية تنبؤات الفيزياء الكلاسيكية وبالتالي ينفي حتمية لابلاس التي تقرر أن توفر الشروط الطبيعية لأية ظاهرة يحتم وقوعها. ولما كانت الشروط الابتدائية التي تشمل الموضع والسرعة لا يمكن تحديدها بدقة لامتناهية أصبح القول بحتمية وقوع التنبؤ الفيزيائي الكلاسيكي أمر غير صحيح علمياً.

أهمية قيمة ثابت بلانك

من الملاحظ أن ثابت بلانك يلعب دوراً مهماً في مبدأ اللادقة. فإن قيمة هذا الثابت الصغيرة جداً ($6.656 \times 10^{-34} \text{ J.s}$) يجعل من تأثيرات مبدأ اللادقة في العالم الجهرى صغيرة جداً ولا تغير شيئاً من بنية ومظاهر هذا العالم الكلاسيكية. لذلك لا نشعر في حياتنا اليومية بأي دور لمبدأ اللادقة. أما لو كانت قيمة ثابت بلانك أكبر كثيراً مما هي عليه الآن لظهرت تأثيرات مبدأ اللادقة في حياتنا اليومية ولرأينا السيارات في الشارع تسير باتجاهات متعاكسة أحياناً بل سرعاها تتط فجأة من مسرب إلى آخر. وربما تدخلت مع بعضها البعض، ولما أمكننا تحديد موقعها بقدر مضبوط. أما لو كانت قيمة ثابت بلانك أصغر كثيراً مما هي عليه الآن بمراتب كثيرة فإن تأثيرات مبدأ اللادقة في العالم الجهرى سوف تتضائل وتختفي حتى أن العالم الجهرى سيظهر وكأنه يتصرف كلاسيكياً وليس للمظاهر الموجية فيه أي أثر.

لقد طرحت مرة السؤال: كيف ستصرف مع قياساتنا في عالم تكون فيه إشارة القياس الناقلة هي الصوت المسموع فقط؟ بمعنى أن نفترض أن العالم مؤلف من مشاهدين عميان لا وسيلة لهم في تقدير الأبعاد والمسافات إلا الصوت المسموع. فكيف سيكون الأمر بالنسبة مبدأ اللادقة؟

إن مقدار اللادقة في القياس تكون عادة من رتبة طول الموجة المستخدمة في القياس. ولما كانت الأطوال الموجية في الصوت المسموع تتراوح ما بين 17 مليمتراً وحتى 17 متراً، وهذا هو مدى مقدار اللادقة في تحديد موقع الأشياء، فإننا وبالتالي لن نتمكن من أن نعرف أي شيء عن البكتيريا مثلاً ولا عن تكوين الخلايا وربما سنحتاج إلى تطوير وسائل أخرى نتمكن بها من اختراق العوالم الصغيرة. سيكون العالم المقتصر على السمع فقط بالتأكيد عالماً مختلفاً مقارنة بعالمنا. فالحمد لله من أعطانا السمع والبصر.

ويستفاد من مبدأ اللادقة في تقدير حسابات الزخوم والطاقات للنظم الفيزيائية الكمية. والمثال التالي يوضح كيف أننا باستخدام مبدأ اللادقة نتمكن من تقدير بعض الأمور المهمة دون إثباتها بالضرورة على نحو رصين وقطعي.

مثال حول استخدام مبدأ اللاديقين: قبل اكتشاف النيوترون عام 1932 أراد الفيزيائيون تفسير الفرق بين كتلة نواة الذرة وعدد البروتونات فيها كما يظهر من شحنتها حيث كانت التجارب تُظهر لهم أن كتلة النواة أكبر من مجموع كتل الشحنات الموجبة (البروتونات) التي فيها، فافتراضوا وجود إلكترونات داخل نواة الذرة تتعادل شحناتها مع ما يساوي عددها من البروتونات. لكن مبدأ اللادقة أظهر لهم أن الإلكترونات لا يمكن أن توجد في نواة الذرة. ما هو الحد الأدنى للطاقة الحركية للإلكترون إذا ما وجد في نواة ذرة قطرها 10^{-14} متر.

الجواب:

$$\Delta p = \frac{\hbar}{2\Delta x} = \frac{1.054 \times 10^{-34}}{2 \times 10^{-14}} \approx 5 \times 10^{-21} \text{ kg.m/s}$$

يمكن القول أن الحد الأدنى لعدم الدقة يحصل إذا ما أخذنا $\Delta p \sim p$ في هذه الحالة يجب حساب الطاقة الكلية بموجب العلاقة النسبوية

$$E = \sqrt{p^2 c^2 + m^2 c^4} \approx pc = 1.5 \times 10^{-12} \text{ J} = 9.37 \text{ MeV}$$

وما كان الإلكترون لا يتوافر على هذا القدر من الطاقة في أي من أحواله داخل الذرة فقد عَرَفَ الفيزيائيون أن الإلكترون لا يمكن أن يتواجد داخل نواة الذرة.

مناقشة: ناقش الموضوع من زاوية أخرى. إحسب طول موجة دي بروي للإلكترون الذي زخمه 5×10^{-21} كغم.متر/ثا . هل يمكن لنواة الذرة المذكورة أن تحوي مثل هذا الإلكترون؟ لماذا؟

حركة الرزمة الموجية Motion of Wavepacket

سبق وأن بينا أن رزمة الأمواج هي عبارة عن جملة من الأمواج البسيطة المتداخلة مع بعضها. والسؤال الذي يظهر هو كيف تتحرك هذه الجملة الموجية؟ والإجابة على ذلك أن حركة الجملة تعتمد على حركة الأمواج المؤلفة لها. إن طور الجملة المستوية هو

$$e^{i(kx-\omega t)}$$

وإذا ما كنا نتعامل مع حركة أمواج الضوء في الفراغ فإن العلاقة بين التردد الزاوي ω والعدد الموجي k حين يكون الوسط الناقل خطياً بدون تبدد Dispersion هي $\omega = kc$. وهذه تمكنتنا من كتابة الصيغة أعلاه

$$e^{ik(x-ct)}$$

وإذا ما جعلنا هذه الأطوار تتدخل مع السعة $(k) g$ فإننا نحصل على

$$f(x,t) = \int_{-\infty}^{\infty} g(k) e^{ik(x-ct)} dk = f(x-ct) \quad (2.22)$$

وهكذا يتضح أن هذه الصيغة هي نفس الصيغة التي بدأنا بها فيما عدا أنه بدلاً من أن تكون الموجة متمركزة حول $x=0$ فإنها الآن متمركزة الآن حول $x-ct=0$. لذلك فإن أمواج الضوء تنتشر بدون تشويه بسرعة الضوء c .

إلا أن أمواجاً أخرى لا تتمتع بالميزنة التي يتمتع بها الضوء وهي $\omega = kc$ على حين أن ω تكون دالة للعدد الموجي k حيث أن

$$f(x,t) = \int g(k) e^{ikx-i\omega(k)t} dk$$

دعنا نعالج رزمة موجية ضيقة متمركزة حول k_0 . ولذلك نتمكن من فتح الدالة $(\omega(k))$ حول k_0 باستخدام متسلسلة تايلور

$$\omega(k) = \omega(k_0) + (k - k_0) \left(\frac{d\omega}{dk} \right)_{k_0} + \frac{1}{2} (k - k_0)^2 \left(\frac{d^2\omega}{dk^2} \right)_{k_0}$$

إن الحد الأول ثابت وهو غير معتمد على k والحد الثاني متناسب مع سرعة الزمرة Group Velocity التي هي سرعة زمرة الأمواج، حيث أن

$$\left(\frac{d\omega}{dk} \right)_{k_0} = v_g$$

لو فرضنا أن

$$\left(\frac{d^2\omega}{dk^2} \right)_{k_0} = \beta$$

ولو أخذنا $g(k) = e^{-\alpha k^2}$ حيث أن $k = k_0 - k'$ فإن زمرة الأمواج تأخذ الصيغة التالية

$$f(x,t) = e^{ik_0x-i\omega(k_0)t} \int_{-\infty}^{\infty} e^{-\alpha k'^2} e^{ik'(x-v_g t)} e^{-ik'^2 \beta t/2} dk'$$

$$= e^{ik_0x-i\omega(k_0)t} \int_{-\infty}^{\infty} e^{ik'(x-v_g t)} e^{-(\alpha+i\beta t)k'^2} dk'$$

وهذا مماثل تماماً للتكامل الذي حصلنا منه على الصيغة الموجية (2.22) ولذا فإننا يمكن أن نستثمر النتيجة السابقة للتكامل وذلك بالتعويض عن $x - v_g t$ بالكمية $\alpha + i\beta t$ وعن $\alpha + i\beta t$ فإننا نحصل على

$$f(x,t) = e^{i(k_0x-\omega(k_0)t)} \left(\frac{\pi}{\alpha+i\beta t} \right)^2 e^{-[(x-v_g t)^2/4(\alpha+i\beta t)]} \quad (2.23)$$

وهكذا فإن

$$|f(x,t)|^2 = \left(\frac{\pi^2}{\alpha^2 + \beta^2 t^2} \right)^2 e^{-[\alpha(x-v_g t)^2/2(\alpha^2+\beta^2 t^2)]} \quad (2.24)$$

إن هذه الصيغة تعبر عن رزمه موجية يتحرك مركزها أو قمتها بسرعة قدرها v_g لكن ليس لها عرض محدد فإن الكمية التي كان مقدارها α في البدء (أي عند الزمن صفر) قد صارت الآن $(\alpha/\beta^2 t^2)$ وهذا يعني أن رزمه الأمواج تنتفخ. وبما أن عرض الرزمه يتاسب مع

$$(\alpha + \beta^2 t^2 / \alpha)^{1/2} = \sqrt{\alpha}(1 + \beta^2 t^2 / \alpha^2)^{1/2}$$

فإن معدل الإنفاس سوف يكون صغيراً فيما لو كانت الزمرة كبيرة ابتداءً. وهذا هو السبب في أن موجودات العالم الجهري لا تضيع أثناء حركتها على حين أن الجسيمات في العالم الجهري تضيع بعد فترة قصيرة من حركتها.

مثال تطبيقي: هدفنا في هذا المثال تبيان الفرق بين الجسيمات النسبوية والجسيمات اللانسبوية. لندرس ما يحصل لجزمة إلكترونات أطلقت لمسافة 10000 كيلومتر. فإذا كان

عرضها الابتدائي هو ملميتر واحد، فما عرضها عند الوصول إذا كانت طاقتها الحركية 13.6 eV (ب) 100 MeV (أ).

الحل: (أ) نظرا لأن الطاقة الحركية قليلة نسبة إلى طاقة كتلة السكون للإلكترون فإن هذه الحالة لا نسبوية. ومن خلال الطاقة الحركية نحسب السرعة $v = \sqrt{\frac{2E}{m}}$ لنجد أنها $2.1 \times 10^6 \text{ متر/ث}$ ومنها نحسب الزمن المستغرق لقطع المسافة البالغة 10000 كيلومتر ونجد أنها تساوي 4.6 ثا. وهنا لدينا

$\omega = \frac{\hbar k^2}{2m}$ وهذا يعني أن $E = \hbar\omega = \frac{p^2}{2m} = \frac{\hbar^2 k^2}{2m}$ كذلك يجب أن نلاحظ أن $w(0) = \sqrt{2\alpha}$. وهذا يعني أن

$$\frac{w(t)}{w(0)} = \sqrt{1 + \frac{\beta^2 t^2}{2\alpha^2}} = \sqrt{1 + \frac{\hbar^2 t^2}{2m^2 \alpha^2}} = \sqrt{1 + \frac{2\hbar^2 t^2}{m^2 w^4(0)}}$$

ومنها نجد

$$w(t) = (10^{-3} \text{ m}) \sqrt{1 + \frac{2(1.05 \times 10^{-34} \text{ J.s})^2 (4.6 \text{ s})^2}{(0.9 \times 10^{-30} \text{ kg})^2 (10^{-3} \text{ m})^4}} = 7.5 \times 10^{-2} \text{ m}$$

أما بالنسبة للحالة الثانية فإن طاقة الإلكترون فيها عالية وبالتالي فإن الصيغة التي تحتاجها في حساب السرعة هي الصيغة النسبوية $E = pc$ أي أن $\omega = kc$ وفي هذه الحالة ستكون $\beta = 0$ مما يعني أنه لن يكون هنالك إتساع في عرض الحزمة. من هذا المثال نستنتج أن الجسيمات النسبوية لا تعاني من مشكلة انتفاخ الرزمه الموجية على حين تعانى الجسيمات اللانسبوية من هذه المشكلة. ويتبين من هذا المثال أن الجسيمات النسبوية في المسرعات لا تضيع بينما يمكن أن تضيع الجسيمات اللانسبوية.

مثال ثان: هدفنا في هذا المثال التمييز بين ما يحصل لجسم مایکروسکوپی وجسم مَاکروسکوپی حيث سنعالج مسألة انتفاخ الرزمه الموجية الغاوسيه للجسيم الحر إذ تكون

$$\omega = \frac{\hbar k^2}{2m} \quad \text{ونستخدم المعادلة (2.24) أعلاه لحساب التغير في حجم الرزمه الموجية خلال}$$

ثانية واحدة من حركتها إذا كانت الرزمه تمثل: (أ) إلكترونًا بحيث يكون حجم الرزمه الابتدائي هو 10^{-4} سم و 10^{-8} سم. (ب) جسيماً كتلته 1 غرام وقطره 1 سم.

الحل: (أ) لدينا $w(0) = \sqrt{2\alpha}$ و $\omega = \hbar k^2/2m$, $\beta = \hbar^2 t^2$ وبالتالي فإن

$$t = 1 \text{ s} \quad \frac{w(t)}{w(0)} = \sqrt{1 + \frac{\beta^2 t^2}{2\alpha^2}} = \sqrt{1 + \frac{\hbar^2 t^2}{2m^2 \alpha^2}} = \sqrt{1 + \frac{2\hbar^2 t^2}{m^2 w^4(0)}}$$

$w(1) = 1.7 \times 10^2$ m وكانت $w(0) = 10^{-6}$ m يؤدي الى $m = 0.9 \times 10^{-30}$ kg . ولكن عندما تكون $w(1) = 1.7 \times 10^6$ m فإن $w(0) = 10^{-10}$ m

(ب) بالنسبة الى الجسيم الذي كتلته 10^{-3} kg فإن $w(0) = 10^{-2}$ m

$$\frac{2\hbar^2 t^2}{m^2 w^4(0)} = \frac{2(1.05 \times 10^{-34} \text{ J.s})^2 t^2}{(10^{-3} \text{ kg})^2 \times (10^{-2} \text{ m})^4} = 2.2 \times 10^{-54}$$

وهكذا نجد أن الجسيم المَاکروسکوپی لا يعاني كثيراً من التضخم في رزمه الأمواج على حين أن رزمه الأمواج للإلكترون المایکروسکوپی تعانى تضخماً كبيراً. ولكن ماذا يعني انتفاخ رزمه الأمواج؟ إنه ببساطة يعني ضياع الجسم من خلال ضعف إمكانية تحديد موقعه بشكل مضبوط.

أسئلة مفاهيمية للفصل الثاني

ثنائية الموجة والجسيم

- .1 ما هي فرضية دي بروي؟ وما مضمونها؟
- .2 ما هي دوافع فرضية دي بروي؟
- .3 ما هي رزمة الأمواج وماذا تمثل؟
- .4 إعطاء مثالاً للصيغة الرياضية لرزمة الأمواج.
- .5 كيف يمكننا تحديد الموجة؟
- .6 ما موجة الزمرة Group Wave؟ وما سرعتها قياساً إلى سرعة الجسم؟
- .7 ما هي أمواج الطور Phase Waves وما سرعتها قياساً إلى سرعة الجسم؟

مبدأ عدم التحديد (اللادقة)

- .1 ما منطوق مبدأ عدم التحديد؟ وما مضامينه؟
- .2 ما الجسيمات المجازية Virtual Particles؟ وما مشروعية إفتراضها؟
- .3 ما هي أصول مبدأ اللادقة وعن أي مفاهيم نشأ؟
- .4 ما هو مآل مبدأ عدم التحديد لو كان ثابت بلانك أصغر كثيراً من قيمته الحالية؟
- .5 ماذا سيكون عليه الحال في عالم يكون فيه ثابت بلانك أكبر من قيمته الحالية كثيراً؟
- .6 صف بشكل مختصر عالماً يعتمد في حركاته وقياساته على الصوت وليس على الضوء كوسيلة للملاحظة والقياس.

تحويلات فورييه

- .1 ما فضاء الإحداثيات وما فضاء الزخم؟

- ماذا تمثل متسلسلة فورييه في التمثيل الموجي للنظم الفيزيائية؟ .2
- ما المعنى الفيزيائي لمعاملات فورييه في التمثيل الموجي للنظم الفيزيائية؟ .3
- ماذا يعني انتفاح الرزمه الموجية الكومومية؟ وما هي تأثيراته على عمليات القياس في ميكانيك الكم؟ .4
- إذا كانت الرزمه الموجية الكومومية تنتفخ فكيف يتم الحافظة على حزم الجسيمات الأولية في المسرعات النووية. .5

مسائل الفصل الثاني

س1) إذا علمت أن سرعة أمواج الشد السطحي في المياه السطحية هي

$$v = \sqrt{\frac{2\pi T}{\rho \lambda^3}}$$

حيث T هو الشد السطحي و ρ هي الكثافة. إحسب سرعة موجة الزمرة وسرعة موجة الطور.

س2) (أ) جد تحويل فورييه للدالة

$$\begin{aligned} \phi(k) &= A(a - |k|) & |k| \leq a \\ &= 0 & |k| > a \end{aligned}$$

حيث أن A و a هو ثوابت موجة.

إحسب مقدار اللادقة Δx و Δp ثم تأكد من أن مصروبها يتواافق مع مبدأ اللادقة.

س3) إحسب العرض النهائي لرزمه الموجة لجسيم حر بعد أن يسير 100 متر للحالات التالية:

(أ) إلكترون طاقته 25 إلكترون فولط وعرضه 10^{-6} متر.

(ب) إلكترون طاقته 100 مليون إلكترون فولط وعرضه الإبتدائي 1 ملم

(ج) جسيم كتلته 100 غم حجمه 1 سم يتحرك بسرعة 50 متر/ثا.

(د) إحسب الأزمنة لانتشار زمرة الموجة في (أ) و (ج) بمقدار 10 ملم و 10 سم.

س4) استخدم مبدأ اللادقة لتقدير الحد الأدنى للطاقة الحركية لجسيم كتلته m محصور في صندوق صلب ذي بعد واحد مقداره L .

س5) إستخدم مبدأ اللادقة لتقدير نصف قطر ذرة الهيدروجين في الحالة الدنيا وطاقتها في هذه الحالة.

س6) إذا كانت السرعة الزاوية هي $\omega = \sqrt{gk + Tk^3 / \rho}$ حيث أن g هو تسارع الجاذبية و ρ هي الكثافة و T هي الشد السطحي.

جد سرعة الطور وسرعة الزمرة في حالتين: (أ) عندما يكون الطول الموجي كبيرا. و(ب) عندما يكون الطول الموجي قصيراً.

س7) خذ الدالة الموجية

$$\psi(x) = Ae^{-\mu|x|}$$

احسب A بحيث تكون الدالة مقومة.

احسب دالة الموجة في فضاء الزخم $(p)\phi$.

الفصل الثالث

الميكانيك الموجي: معادلة شرودنجر في بعد واحد

التمثيل الموجي للنظم الفيزيائية

يتعامل ميكانيك الكموم مع النظم الفيزيائية التي هي عبارة عن جسيمات Particles وقوى Forces. ونظراً لأن الجسيمات المجرية تتصرف على الأغلب تصرفاً ثنائياً بين الموجة والجسيم فإنها تمثل برمزة موجية متحيز Localized Wave Packet كما أسميناها. أما القوى المؤثرة والفاعلة في النظم الفيزيائية فتمثل بالجهود Potentials. ونظراً لأن البنية الرياضية والحسابية لأي نظرية فيزيائية تحتاج إلى معادلة أساسية تكون بمثابة الدستور العام لحساب الحركة والطاقة فقد كان لابد من إيجاد معادلة شاملة شاملاً تؤسس لميكانيك الكموم.

معادلة شرودنجر في بعد واحد

بعد أن تم تمثيل الجسيم بكينونة موجية أصبح من الضروري وضع معادلة لضبط حركة الجسيم سواء كان ذلك مقيداً أو حرّاً. وقد استتبّط النمساوي إرفن شرودنجر عام 1926 معادلة الحركة للجسيم في مجال جهدي. ويمكننا اعتماد طريقة سهلة للوصول إلى هذه المعادلة في بعد مكاني واحد باستعمال التمثيل الموجي للجسيم. في التعبير (2.18) لدينا

$$\psi(x,t) = A e^{i(px-Et)/\hbar}$$

ومنها نجد

$$\frac{\partial \psi(x,t)}{\partial x} = \frac{ip}{\hbar} \psi(x,t)$$

وأيضاً

$$\frac{\partial^2 \psi(x,t)}{\partial x^2} = -\frac{p^2}{\hbar^2} \psi(x,t)$$

ومنه نجد أن

$$-\hbar^2 \frac{\partial^2 \psi(x,t)}{\partial x^2} = p^2 \psi(x,t)$$

كذلك

$$\frac{\partial \psi(x,t)}{\partial t} = -\frac{iE}{\hbar} \psi(x,t)$$

ومنها نستنتج أن

$$i\hbar \frac{\partial \psi(x,t)}{\partial t} = E \psi(x,t)$$

وباستخدام معادلة الحركة العامة في الفيزياء الكلاسيكية أو ما يسمى قانون حفظ الطاقة الميكانيكية الكلية مكتوبًا بالصيغة التالية

$$\frac{p^2}{2m} \psi(x,t) + V \psi(x,t) = E \psi(x,t) \quad (3.18)$$

نجد بالتعويض عن p و E من العلاقات آنفة الذكر أن

$$-\frac{\hbar^2}{2m} \frac{\partial^2 \psi(x,t)}{\partial x^2} + V \psi(x,t) = i\hbar \frac{\partial \psi(x,t)}{\partial t} \quad (3.19)$$

هذه هي معادلة الحركة في الميكانيك الكمي وتسمى **معادلة شرودنجر** المعتمدة على الزمن. Time-dependent Schrodinger Equation حيث تسمى $\psi(x,t)$ دالة الموجة .Wave Function

في حالة أن تكون $\psi(x,t)$ غير معتمدة على الزمن كأن يكون الزمن عبارة عن معامل طوري Phase factor فإن

$$\psi(x,t) = \psi(x) e^{-iEt/\hbar} \quad (3.20)$$

وبالتالي عند التعويض في المعادلة (3.19) نحصل على

$$-\frac{\hbar^2}{2m} \frac{\partial^2 \psi(x)}{\partial x^2} + V \psi(x) = E \psi(x) \quad (3.21)$$

تسمى هذه معادلة شرودنجر غير المعتمدة على الزمن Time-independent Schrodinger Equation.

من الواضح أن معادلة شرودنجر غير المعتمدة على الزمن تنطبق في حالة النظم السكونية Stationary Systems كالنظم الحركية الدورية التي يكون فيها الزمن عامل طوري. ويكون الجهد V غير معتمد على الزمن. على حين أن معادلة شرودنجر المعتمدة على الزمن تستخدم حل المسائل التي يكون فيها الجهد معتمدا على الزمن.

إن الغاية الأساسية من تشكيل معادلة شرودنجر هو القيام بحلها كمعادلة تفاضلية وفقاً للشروط الفيزيائية للمسألة والتي نسميها الشروط الحدودية Boundary Conditions وذلك للحصول على دالة الموجة $\psi(x,t)$. إذ أننا عندما نحصل على $\psi(x,t)$ فإننا نحصل على كافة المعلومات المطلوبة عن النظام الفيزيائي الذي في المسألة. وسنقوم لاحقا بحل هذه المعادلة لنظم مختلفة. إن معادلتي شرودنجر آنفي الذكر تنطبقان على النظم الالانتسوبية أي التي تكون فيها سرعة الجسيمات أقل كثيراً من سرعة الضوء ولا تصلح للتطبيق في حالة دراسة النظم النسبية.

يلاحظ أن معادلة شرودنجر المعتمدة على الزمن تشبه إلى حد كبير معادلة الإنتشار الحراري Thermal Diffusion Equation. ولهذا الشبه مضامينه النظرية. ومن الضروري هنا الإشارة إلى أن شرودنجر نفسه إنما أراد صياغة معادلة الحركة في ميكانيك الكم في إطار الفهم الكلاسيكي القائم على الإتصال فجاءت معادلته عبارة عن معادلة تفاضلية في الإطار الكلاسيكي نفسه لمعادلة القيمة المخصصة Eigenvalue Equation. وهكذا كان شرودنجر شخصيا ينظر إلى معادلته.

التصور الإجرائي لمعادلة شرودنجر

يمكن فهم معادلة شرودنجر أنها معادلة إجرائية Operator Equation حيث يمثل الهاamiltonي وهو

$$\hat{H} = -\frac{\hbar^2}{2m} \frac{\partial^2}{\partial x^2} + V = i\hbar \frac{\partial}{\partial t}$$

ما نسميه "إجراء" الطاقة الكلية Energy Operator وفي حالة كون النظام لا يعتمد على الزمن فإن الهاamiltonي هو الجزء الأول أي الطرف الأيسر من المعادلة

$$H = -\frac{\hbar^2}{2m} \frac{\partial^2}{\partial x^2} + V$$

أما إذا كان النظام معتمداً على الزمن فإن

$$\hat{H} = i\hbar \frac{\partial}{\partial t}$$

من جانب آخر فإن إجراء الزخم Momentum Operator يكون

$$\hat{p} = -i\hbar \frac{\partial}{\partial x}$$

هذا التصور الإجرائي سوف نبحثه في الفصل السادس من الكتاب. لكنني هنا أريد فقط التمييز بين التصور التقاضلي الموجي والتصور الإجرائي وهو شأن آخر.

تفسير دالة الموجة

في الحالة العامة تكون دالة الموجة Wave Function دالة للمكان والزمان $(x,t)\psi$ وهي نتاج حل معادلة شرودنجر. وبذاتها فإن دالة الموجة هي دالة رياضية تمثل النظام الموصوف تمثيلاً موجياً وفق التصور الذي قدمه شرودنجر ولهذا السبب سميت بدالة الموجة. ولهذا

السبب نفسه سمي ميكانيك الكم القائم على معادلة شرودنجر أول الأول بالميكانيك الموجي .Wave Mechanics

إن دالة الموجة التي تحتويها معادلة شرودنجر يمكن أن تكون معقدة أي أن تحتوي جزءاً حقيقياً Real Part وجزءاً خيالياً Imaginary Part . ولهذا السبب يقال أن دالة الموجة ليس لها معنى فيزيائي ، لأن الجزء الخيالي لا يمكن قياسه مباشرة وبالتالي فهو كمية غير فيزيائية. وقد قدم ماكس بورن تفسيراً لدالة الموجة يقول بأن حل معادلة الموجة أساساً يعطينا وصفاً لسعة الموجة في أي لحظة زمانية وأي مكان نعينه. وبالتالي فإن $|\psi(x,t)|^2$ هي مربع السعة وهذا هو تعبير عن شدة أو كثافة تواجد الموجة في الموقع x عند اللحظة الزمانية t . وحين ننظر إلى النظام على أنه مجموعة جسيمات منفصلة فإننا يمكن أن نعتبر $\int_{-\infty}^{\infty} |\psi(x,t)|^2 dx$ هي كثافة إحتمالية وجود الجسيمات في الموقع المخصوص بين x و $x+dx$ عند اللحظة الزمانية t . إن كثافة الإحتمالية ليست متجانسة بالضرورة ويمكن أن تبلغ أعلى مقدار لها عند موقع معين يمكن إيجاده من $\left(\frac{d|\psi(x,t)|^2}{dx} \right) = 0$ ، حيث نستخرج منها قيمة x التي عندها تكون كثافة الإحتمالية أكبر ما يكون. أما الإحتمالية الكلية لوجود الجسم في أي مكان من العالم فهي

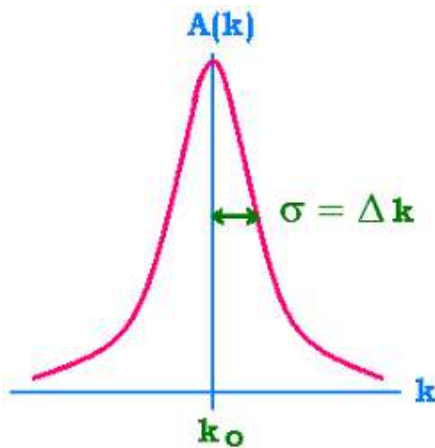
$$P(x) = \int_{-\infty}^{\infty} |\psi(x,t)|^2 dx \quad (3.22)$$

أما إذا كان القصد حساب الإحتمالية الكلية لإيجاد الجسم في نطاق محدود من الفضاء فإن التكامل عندئذ يشمل فقط حدود الفضاء المقصود. ومن الناحية النظرية تنتشر دالة الموجة للجسم الحر (غير المقيد مكانيماً) على الفضاء المفتوح كله. ومن هذا المنطلق نجد البعض يقول بأن الجسم الحر الموجود على الطاولة أمامنا يتواجد أيضاً، ولكن بإحتمالية أقل، في أي مكان آخر يبعد قليلاً أو كثيراً عن الطاولة. إنما تقل إحتمالية وجود الجسم كلما ابتعدنا عن الموقع الذي يشاهد فيه الجسم. وهذا الواقع يتم تمثيله بما يسمى توزيع

غاؤس Gaussian Distribution أو التوزيع السوي Normal Distribution. هذا يعني أن التصوير الموجي للجسيم يفقده صفة التموضع التام في نقطة أو ضمن حدود معرفة بدقة كما هو الحال عليه في الحالة التقليدية. وهذا ما يمنع التصوير الموجي للجسيمات صفة الإمتداد وكأنه بقية من بقايا الصفة الموجية علقت بالجسيم. أما الطبيعة الإحتمالية لوجود الجسيم وبقية العوامل والصفات التي يحملها فإن سببها ما تبقى من صفة التغير الدائم التي هي جزء تكويوني في الموجة. لذلك نؤكد أن التصور الكمومي يقدم كينونة جديدة لا هي بالجسيم ولا هو بالموجة.

الطبيعة الإحتمالية للنظم

من هذا المنطلق يمكن أن نفهم الطبيعة الإحتمالية لدالة الموجة وما تتضمنه من صفات الجسيم أنها ناشئة عن صفة التجدد المستمر الذي تتصرف به الأمواج بخاصة. فلما قمنا بعملية "تموج" الجسيمات أصبح من الضروري أن تلحق هذه الصفة أعني صفة التجدد المستمر بالجسيمات أيضاً. إن توافق التمثيل الموجي للجسيمات مع التجارب الفيزيائية يؤكد أن هذه الصفة هي صفة طبيعية في الأشياء وليس صفة طارئة أو ملصقة بها.



الشكل (1-3) التوزيع الغاؤسي في فضاء الزخم

ومن هذا المنطلق ايضا برز الرأي القائل بأن الجسيم الذي يتواجد في موقع ما فإنما يمكن التتحقق من تواجده فعلا في موقعه بنسبة احتمالية هي ليست 100% في كل الأحوال بل أقل من 100% وذلك لأن مبدأ اللادقة يمنع القطع بتحديد موقع الجسيم ونجمه في حيز محدد 100%. وأصل هذه الخاصية يمتد الى التصور الموجي الذي تم بتركيب تصور الجسيم عليه، فطلبنا تحيز الموجة فكان أن تتمكن من حصر الموجة في حيز صغير لكنه مهما صغر فإنه لن يصير الى نقطة ما لم يكن عدد الأمواج المجتمعة يشمل نطاقا لا نهائيا من ترددها وأطوالها الموجية. فعندئذ فقط تتمكن من تمثيل الجسيم بدالة ديراك.

ولوضيح القصد نقول لو كان لدينا 100 خرزة ملونة 40 منها حمراء و25 خضراء و20 منها بيضاء و15 منها زرقاء فإذا أسقطناها اسقاطا حرا على سطح طاولة مقسم الى مربعات كل منها مساحتها 10 سم مربع فإن الخرزات ستتوزع على السطح عشوائياً لكنني من المتوقع أن أجد في كل مربع عددا من الخرزات الحمر أكثر من الخضر وعدد من الخرزات الخضر أكثر من عدد الخرزات البيض وخرزات بيض أكثر من الزرق. لكن ليس هذا بالضرورة ما يحصل فقد أجد مربعا خاليا من الخرز تماما أو فيه خرزة واحدة خضراء. لقد ذهب ألبرت أينشتاين الى هذا النمط من الفهم لتفسير ميكانيك الكم فاعتبر النظم الكمية هي تعبير عن عدد كبير من الجسيمات يضمها جمع Ensemble واحد وفيه حالات مختلفة. حتى أنها إذا أردنا قياس شيء من صفات النظام فإنه سيظهر لنا في إحدى حالاته الممكنة.

مثال آخر: لو أنها وضعنا هذه الخرزات المئية في كيس ثم أدخلنا يدنا لنلتقط بشكل عشوائي واحدة منها فإن إحتمالية أن نحصل على خرزة حمراء هي 40% أي 0.4 وأن نحصل على خرزة خضراء هو 25% أي 0.25 وأن نحصل على بيضاء هو 20% أي 0.2 وأن نحصل على زرقاء 15%. الإحتمالية الأعظم هي للخرزة الحمراء في أي سحبة أولى لكن في

السحابة الثانية يصبح احتمالية الحصول على حمراء هو 0.16 بينما تبقى إحتمالية أن نحصل على خرزة خضراء هي 0.25 أي أكبر من الحمراء. وهكذا لو أثنا استخرجنا الحمراء والخضرة فإن إحتمالية أن نحصل على خضراء مرة ثانية هي 0.0625 وهكذا.

ولكن كيف يمكن أن نفهم سبب الإحتمالية عندما يكون لدينا جسيم واحد في النظام. هنا نفهم أن الإحتمالية ناتجة عن الحالات المختلفة للجسيم الواحد في هذه الحالة. أي أن أي جسيم أو نظام في ميكانيك الكموم هو ليس إلا مجموع من الأحوال لا يستقر على حال واحد منها بل كلما نظرنا إليه نجده في واحدة من تلك الحالات. معنى أن حالة التجدد الدائم يجعل الجسيم يتظاهر كل آن بعظهر من أحد أحواله وهي في حالة تبدل سريع ومستمر. ولكن هل يعني هذا أن القلم الأزرق الذي بيدي سوف يصبح أحمراً بعد لحظة ثم أحضراً بعد لحظة أخرى؟ والجواب لا هذا لن يحصل في الواقع لسببين الأول أن سرعة تبدل الأحوال كبيرة جداً، والثاني وهو الأهم أن تقلب اللون بين الأحوال (الألوان) يتبع اللون الغالب الأصل ذي الإحتمالية الأعظم. ولذا يظهر القلم أزرق لا يتبدل رغم أنه في الحقيقة (وليس في الواقع) يتبدل على طيف الألوان الممكنة جميعاً. ومن هنا يظهر لنا أن حالة النظام الإجمالية هي مجموع الحالات الممكنة له. وهذا ما يسمى مبدأ التراكب .Superposition Principle

لاحظ أن التمثيل الموجي للنظام الفيزيائي يحتم وجود عناصره او مركباته متراقبة مع بعضها البعض بشكل أو آخر مما يجعل إستقلالية التمثيل الجسيمي الصرف الذي أفنناه بحسب التصور الكلاسيكي غير محققة تماماً. بل ربما يصبح الجسيم متداً في نطاق لانهائي من المكان ما لم يحده حد قاطع. فمثلاً يمكن يتم تمثيل الإلكترون الطليق في فضاء غير محدود كدالة موجة متداة لانهائياً في المكان. أما لو حُصر هذا الإلكترون في حدود، مثلاً وضع في صندوق ذي جدران لا يتمكن من اختراقها، فإنه عندئذ سيكون محصوراً في ذلك

المكان وسيُمثّل ساعتها بدالة موجية واقفة Standing Wave تتراوح بين جدران الصندوق جيئة وذهاباً. وهذا ما يجعل هذه الموجة تتدخل مع نفسها فتُولف بطوناً وعَقْداً تشغل موقع معينة مسموح للأكترون أن يتواجد فيها فقط. ولا يتواجد في غيرها وتكون للإلكترون طاقات مسموحة عند قيم معينة وليس أي قيمة كانت. هذا ما سنعالجه عند حل مسألة الجسيم في صندوق في الفصل الرابع.

الشروط العامة لدالة الموجة

هناك شروط عامة جداً يتوجب أن تتحقق دالة الموجة لأي نظام كي يتم اعتباره نظاماً فيزيائياً. وهذه هي

1. أن تكون قيمة الدالة محدودة في الملاكمات من طرفيها.
2. أن تكون الدالة ذات قيمة مفردة Single-Valued عند أي نقطة في المكان أو الزمان.
3. أن تكون الدالة متصلة مكانياً غير منقطعة وغير مُفردة Singular.

هذه الشروط العامة الثلاثة تُحِجِّم أي حل رياضي عام للدالة الموجية وتضبطه بالإشتراطات الفيزيائية. ثم تأتي الشروط الحدودية Boundary Conditions للمسألة لتصف حدود الدالة الموجية بدالة متغيراتها. ومن خلال هذه الشروط نتمكن من حساب كثير من المجاهيل التي يقدمها الحل الرياضي العام مثل ثوابت التكاملات والتي كثيرة ما تظهر مع آلية حلول معادلات تفاضلية.

تقدير دالة الموجة

لما كانت $|u(x,t)|^2$ تتناسب مع كثافة الإحتمالية و P هي الإحتمالية الكلية، فهل يمكن تسوية أو تقدير دالة الموجة حتى تصبح الإحتمالية الكلية هي واحد صحيح؟ أي هل يمكن

أن نجعل الإحتمالية الكلية هي 100% ? طبعاً هذا العمل سوف يسهل علينا معرفة متى تكون الإحتمالية في أعلى حالاتها ومتى تكون في أوسط حالاتها.

إننا يمكن أن نجعل الإحتمالية الكلية تساوي 1 صحيح بضرب دالة الموجة بمقدار ثابت مثل A يجعل الإحتمالية الكلية واحد صحيح، فنكتب

$$\Phi(x, t) = A \psi(x, t) \quad (3.23)$$

لتكون هي الدالة المقومة، ثم نجعل الإحتمالية الكلية لها تساوي واحد صحيح فيكون لدينا

$$P(x) = |A|^2 \int_{-\infty}^{\infty} |\psi(x, t)|^2 dx = 1$$

وبالتالي يكون ثابت التقويم هو

$$|A| = \sqrt{\int_{-\infty}^{\infty} |\psi(x, t)|^2 dx} \quad (3.24)$$

بالتالي نحسب ثابت التقويم A من هذه العلاقة. لاحظ أنه إذا كانت دالة الموجة في أكثر من بعد واحد مكاني فإن التكامل سيجري على جميع الأبعاد.

مثال حول تقويم دالة الموجة: إذا علمت أن $\Phi(\phi) = Ae^{im\phi}$ تمثل دالة موجية لجسم يدور في مدار ثابت بحيث يكون $0 \leq \phi \leq 2\pi$. فما هي الدالة المقومة؟

الحل: نكتب

$$\int_0^{2\pi} \Phi^* \Phi d\phi = 1 \quad (3.25)$$

لنجد أن

$$|A|^2 \int_0^{2\pi} e^{-im\phi} \cdot e^{im\phi} d\phi = 1$$

أي أن $|A| = \frac{1}{\sqrt{2\pi}}$. وهكذا تكون الدالة المقومة هي

$$\Phi(\phi) = \frac{1}{\sqrt{2\pi}} e^{im\phi} \quad (3.26)$$

مبدأ التراكب The Superposition Principle

تكلمنا عن جمع الأمواج وإنشاء الرزمه الموجية Group Wave التي هي الدالة الموجية الممثلة للنظام ووجدنا أنها تتتألف من موجات الطور Phase Waves. هذه الموجات تمثل حالات مختلفة للنظام الكمومي. بمعنى أن الجسيم المتمثل برزمه موجية لا يستقر على حال بل يتعدد بين الأحوال States التي تؤلفه خلافاً للتصور الكلاسيكي للجسيم الذي يكون مستقراً ثابتاً. وهذا ما حصل عندما أردنا إنشاء كينونة جديدة تجمع بين صفة الموجة وصفة الجسيم فكان أن ضحينا بثبات حالة الجسيم وكسينا صفة التحيز.

لذلك يفترض ميكانيك الكموم أن حالة أي نظام هي نتيجة لترافق Superposition كافة الحالات الممكنة للنظام. وهكذا فإن كانت لدينا دالة مثل ψ فإننا قادرون على نشر هذه الدالة بدلالة مفرداتها التي تؤلفها فنكتب

$$\psi(x) = \sum_n a_n u_n(x) \quad (3.27)$$

حيث أن (x_n) هي مكونات للرزمه الموجية وهي دوال أساسية Basis Functions متعمدة على بعضها، أي

$$\int u_m^*(x) u_n(x) dx = \delta_{mn} \quad (3.28)$$

حيث يجري التكامل على مدى x كلها. وإن a_n هي معاملات تحدد حصة كل دالة أساسية (x_n) في الدالة العامة ψ . ولإيجاد قيم كل من المعاملات نضرب طرفي المعادلة

(3.27) في $u_n^*(x)$ ونکامل على مدى الفضاء ثم نستخدم علاقه التعامد أعلاه ليكون لدينا

$$\begin{aligned} \int u_m^*(x)\psi(x)dx &= \int \sum_n a_n u_n(x) u_m^*(x) dx \\ &= \sum_n a_n \delta_{mn} = a_m \end{aligned} \quad (3.29)$$

وهكذا يتبيّن لنا أن قيمة المعاملات a_n هي مقدار تطابق $\psi(x)$ مع $u_n(x)$ عند أي لحظة من اللحظات. وهكذا فإن احتمالية أن تكون $\psi(x)$ هي في الحالة $u_n(x)$ هي $|a_n|^2$.

ولكن هل يمكننا إثبات أن الإحتمالية الكلية أن توجد $\psi(x)$ في أي من الحالات هو واحد صحيح؟ بمعنى هل يمكن أن ثبت أن مجموع المربعات هو واحد صحيح؟ نعم بالفعل هذا ممكن. لنأخذ الدالة المقومة $\psi(x)$. لدينا

$$\begin{aligned} \int \psi^*(x)\psi(x)dx &= 1 = \int \sum_n a_n^* u_n^*(x) \sum_m a_m u_m(x) dx \\ &\text{وباستخدام علاقه التعامد (3.8) نحصل على} \end{aligned}$$

$$\sum_n \sum_m a_n^* a_m \delta_{mn} = \sum_n |a_n|^2 = 1 \quad (3.30)$$

أي أن مجموع مربعات المعاملات a_n هو بالفعل الاحتمالية الكلية لوجود الجسيم في الحالة $\psi(x)$.

صهيب وقصانه الستة

لنفرض أنني راقبت الطالب صهيب على مدى زمني طوييل فوجدته يتداول لبس ستة ألوان من القمصان. الأسود والأحمر والأخضر والأزرق والأصفر والبني. لذلك يمكنني أن أقول أن صهيب له ستة أحوال لونية. لكنني وجدته لا يتداول لبسها بمعدل ثابت بل يلبس

القميص الأخضر أكثر من غيره ويلبس الأصفر أقل من بقية الألوان. فهاهنا أعلم أنني لو أردت أن أتوقع ما سيكون لون قميص صهيب لقللت أن الأكثر إحتمالا هو الأخضر. ولو كان صهيب يتداول لبس القمصان بمعدل ثابت لقللت أن إحتمالية أن أجده في أي حالة منها هي نفسها وهي واحد على ستة. لكن كون الأخضر أكثر احتمالا يعني أن صهيب أكثر ميلا للبس القميص الأخضر رعاً لأن هذا اللون يناسب مزاجه أو لأن القميص الأخضر تحديدا هو أكثرها جدة وأناقه. وهذه عوامل تجعله يميل أكثر إلى استخدام القميص الأخضر. إن لهذا الميل أسبابه بالضرورة وهذه الأسباب ربما تكون ذاتية Intrinsic متعلقة بشخصه ومزاجه أو هي موضوعية خارجية. وفي كل الأحوال فهي تمثل الظروف المحيطة به. وفي الصورة الفيزيائية تمثل هذه الظروف بالجهد V الذي يدخل في معادلة شرودنجر ويحكم معادلة الحركة، ولو لم يكن هنالك جهد فإن حل معادلة شرودنجر يعطينا متوجه حالة لجسم حر ذي أحوال مختلفة لكنها بإحتماليات متساوية. وهذا يعني أن صهيب لو تخلى عن جميع الظروف التي تحكم ميله فإنه سيكون حرًا Free تماماً ويتداول لبس قمصانه بنفس المعدل.

هذه الألوان الستة يمكن أن اعتبرها أحوال مختلفة لصهيب فيمكن أن نقول صهيب الأخضر وصهيب الأحمر وهكذا دواليك. وإحتمالية كونه في القميص الأخضر هي الأعلى أي أن $|a_{yellow}|^2 = P_{min}$ وأن $|a_{green}|^2 = P_{max}$ وبالتالي فإن صهيب الأخضر هو الأكثر إحتمالاً وصهيب الأصفر هو الأقل إحتمالاً. وفي كل الأحوال فإني في أي يوم أقابله سأجده لابساً واحداً من تلك القمصان التي تؤلف مجموعة كاملة Complete Set.

يتضح لنا الآن هذا المفهوم الأساسي في ميكانيك الكموم الذي يقرر أن أي دالة موجية لأي نظام فيزيائي يمكن نشرها بدلاله مركباتها التي تمثل أحوالها الممكنة. مثال ذلك حالة الإلكترون في نظام عندما يتخذ حالات محددة فإننا نقوم بوصف هذا النظام بدلاله

الحالات التي يتخذها. ولكي نحسب إحتمالية وجوده في أي منها عند أي لحظة فإننا نحسب نطابق حالته المعينة مع حالة النظام الكلية ومقدار المطابقة هو ما يحدد قيمة إحتمالية وجوده على تلك الحالة.

مثال لحساب إحتماليات الحالات: لنفرض أن لدينا الدول الأسسية التالية

$$\Phi_m(\phi) = \frac{1}{\sqrt{2\pi}} e^{im\phi}, \quad m = 0, \pm 1, \pm 2, \pm 3, \dots$$

ولنأخذ جسيما يدور على محيط دائرة ونعبر عن دالته الموجية بالصيغة العامة التالية

$$\psi(\phi) = \frac{2}{\sqrt{3\pi}} \cos^2(\phi)$$

التي يمكن أن نتصورها مؤلفة من مجموعة محدودة من الدول الأسسية التي ذكرناها أعلاه.

والسؤال: ما هي إحتمالية أن يكون الجسيم في الحالة $m = -2$ ؟

الجواب: إن إحتمالية أن يكون الجسيم في الحالة $m = -2$ هي ببساطة $|a_{-2}|^2$. ولكن ما هي $|a_{-2}|^2$ ؟ نفتح الدالة الممثلة للنظام بدلالة الدول الأسسية لنجد أن

$$\begin{aligned} \psi(\phi) &= \sqrt{\frac{4}{3\pi}} \left(\frac{e^{i\phi} - e^{-i\phi}}{2} \right)^2 = \sqrt{\frac{1}{12\pi}} (e^{2i\phi} + 2 + e^{-2i\phi}) \\ &= \sqrt{\frac{1}{6}} (\Phi_2 + 2\Phi_0 + \Phi_{-2}) \\ &= a_2 \Phi_2 + a_0 \Phi_0 + a_{-2} \Phi_{-2} \end{aligned}$$

وهذا يعني أن $P(-2) = |a_{-2}|^2 = \frac{1}{6}$. أي أن $a_{-2} = \sqrt{\frac{1}{6}}$

لاحظ أن $P(0) = |a_0|^2 = \frac{4}{6}$ وأن $P(2) = |a_2|^2 = \frac{1}{6}$ وهذا يعني أن الإحتمالية الكلية هي واحد صحيح لأن الدالة مقومة.

القيم المتوقعة Expectation Values

في ميكانيك الكم هنالك دوال وإحتماليات، والقيم التي تأخذها الكميات الفيزيائية هي قيم إحتمالية وليس قطعية لأن النظم الكمومية كما قلنا لا ثبت على حال. فكيف إذن نتعامل مع هذه النظم؟ والجواب أننا نتعامل مع معدل القيم خلال مجموعة من القياسات المتعاقبة وليس مع قيمة واحدة منها. وهذا المعدل المأخذ لقيم كثيرة مسماة هو ما يسمى القيمة المتوقعة Expectation Value وليس القيمة المتوقعة هي الأكثر إحتمالية بالضرورة بل هي ما توقع أن نجده من خلال معدل Average مجموعة كبيرة من القياسات. بمعنى أننا قد نقيس كمية فيزيائية في نظام كمومي ولا نجدها مطابقة للقيمة المتوقعة بل مختلفة عنها قليلاً أو كثيراً. أما في النظم الجهرية Macroscopic Systems فإن القيمة التي نجدها في القياس دوماً هي القيمة المتوقعة تماماً. ولفهم كيفية صياغة تعرف القيمة المتوقعة نضرب المثال التالي:

إذا كان لديك صندوق فيه 100 تفاحة باوزان مختلفة وكما يلي

w_i	الوزن (غرام)	n_i	عدد التفاحات	الصنف
120		10		1
125		22		2
127		30		3
130		18		4
135		15		5
100		5		6
737		100		المجموع

لحساب معدل وزن التفاحة الواحدة نستخدم المعادلة التالية

$$\bar{W} = \frac{\sum_i n_i w_i}{\sum_i n_i} \quad (3.31)$$

وهكذا يكون معل وزن التفاحة هو

$$\begin{aligned}\bar{W} &= \frac{10 \times 120 + 22 \times 125 + 30 \times 127 + 18 \times 130 + 15 \times 135 + 5 \times 100}{10 + 22 + 30 + 18 + 15 + 5} \\ &= \frac{12625}{100} = 126.25 \text{ g}\end{aligned}$$

لاحظ أنه لا توجد تفاحة واحدة وزنها بمقدار المعدل وهو 126.25 غرام. ثم لاحظ أن هذه الصيغة تقول لنا أن القيمة المتوسطة هي حصيلة ضرب الإحتمالية الجزئية لكل عينة من التفاح في وزنها. فمثلاً هنالك 10% من التفاحات من العينة التي وزنها 120 غرام وهنالك 22% من العينة التي وزنها 125 غرام و30% من التي وزنها 127 غرام وهكذا.

والآن إذا ما أردنا صياغة حساب الإحتمالية والقيمة المتوقعة لنظام متصل continuous في ميكانيك الكموم على هذا المنوال نفسه نحوال الجمع إلى تكامل. لذا نكتب

$$\langle x \rangle = \frac{\int x \rho(x) dx}{\int \rho(x) dx} \quad (3.32)$$

حيث أن $\rho(x)$ هي الإحتمالية الجزئية للقيمة x (أو كثافة الإحتمالية) والتكامل يجري على كافة المدى لقيمة x . ومن الواضح أن المقام في الصيغة السابقة يمثل الإحتمالية الكلية.

ولما كانت $\psi(x) = \psi^*(x) \rho$ فإن الصياغة تصبح

$$\langle x \rangle = \frac{\int x |\psi(x)|^2 dx}{\int |\psi(x)|^2 dx} \quad (3.33)$$

وإذا كانت $\psi(x)$ دالة مقومة فإن

$$\langle x \rangle = \int x |\psi(x)|^2 dx \quad (3.34)$$

أما لو أردنا إيجاد القيمة المتوقعة للزخم فإننا نكتب

$$\langle p \rangle = \frac{\int p |\phi(p)|^2 dp}{\int |\phi(p)|^2 dp} \quad (3.35)$$

وإذا كانت دالة مقومة فإن

$$\langle p \rangle = \int p |\phi(p)|^2 dp \quad (3.36)$$

هكذا كان يجري تعريف القيمة المتوقعة في بداية ظهور الميكانيك الموجي إلا أن التعبير الإجرائي الذي ذكرناه سابقاً يمكننا من وضع صيغة أكثر عمومية للقيمة المتوقعة بدلالة الإجراء وهذه هي

$$\langle A \rangle = \frac{\int \psi^*(x) \hat{A} \psi(x) dx}{\int |\psi(x)|^2 dx} \quad (3.37)$$

حيث في هذه الصياغة يعمل الإجراء \hat{A} على الدالة $(x)\psi$ وتكون القيمة المتوقعة هي معدل ما يتتجه اشتغال \hat{A} على $(x)\psi$. (مثال لهذا الحساب انظر مسألة جسيم في صندوق في الفصل اللاحق).

معادلة الاستمرارية لدالة شرودنجر

معادلة الاستمرارية هي واحدة من أهم معادلات الفيزياء كونها تعبّر بشكل أو آخر عن معنى إنفاذ الموجات. وربما كانت هذه المعادلة أكثر أهمية من أي قانون إنفاذ آخر سواء كان قانون إنفاذ الطاقة أو إنفاذ الزخم أو غيرها. لذلك من الضروري إيجاد هذه

المعادلة وتفسير معانٍها وما تحويه. هنا سوف نستقر هذه المعادلة لدالة الموجة المعتمدة على الزمن في بعد واحد ومن السهل تعميمها إلى ثلاثة أبعاد.

خذ كثافة الإحتمالية $|\psi(x,t)|^2$ ثم جد مشتقتها بالنسبة للزمن. نجد

$$\frac{\partial \psi^*(x,t)\psi(x,t)}{\partial t} = \psi^*(x,t) \frac{\partial \psi(x,t)}{\partial t} + \psi(x,t) \frac{\partial \psi^*(x,t)}{\partial t}$$

لنعد إلى معادلة شرودنجر (3.21) ونأخذ القرين المعقد لها فنحصل على

$$-\frac{\hbar^2}{2m} \frac{\partial^2 \psi^*(x,t)}{\partial x^2} + V\psi^*(x,t) = -i \hbar \frac{\partial \psi^*(x,t)}{\partial t} \quad (3.38)$$

ولأن لنعرض عن مشتقة $\psi(x,t)$ ومشتقة $\psi^*(x,t)$ بالنسبة للزمن من معادلة شرودنجر وقرينه لنجد أن

$$\begin{aligned} \frac{\partial |\psi(x,t)|^2}{\partial t} &= -\frac{\hbar}{2im} \left(\psi^* \frac{\partial^2 \psi}{\partial x^2} - \psi \frac{\partial^2 \psi^*}{\partial x^2} \right) \\ &= -\frac{\hbar}{2im} \frac{\partial}{\partial x} \left(\psi^* \frac{\partial \psi}{\partial x} - \psi \frac{\partial \psi^*}{\partial x} \right) \end{aligned}$$

أي أن

$$\frac{\partial \rho(x,t)}{\partial t} = -\frac{\partial j(x,t)}{\partial x} \quad (3.39)$$

حيث أن

$$j(x,t) = \frac{\hbar}{2im} \left(\psi^* \frac{\partial \psi}{\partial x} - \psi \frac{\partial \psi^*}{\partial x} \right)$$

هو تيار الإحتمالية. تسمى العلاقة (3.36) أعلاه معادلة الإستمرارية Continuity Equation وتعني بجملها أن المعدل الزمني لتغير كثافة الإحتمالية $|\psi(x,t)|^2$ يتنااسب طردياً مع التناقص في مقدار تيار الإحتمالية $j(x,t)$ يمكننا أيضاً وضع تيار الإحتمالية هذا بالصيغة

$$j(x,t) = \frac{\hbar}{m} \operatorname{Im} \left(\psi^* \frac{\partial \psi}{\partial x} \right) \quad (3.40)$$

هذه الصياغة مهمة ومنها نعلم أنه إذا كانت دالة الموجة حقيقية تماماً أي لا تحتوي على جزء خيالي فإن تيار الإحتمالية يكون صفرأ.

المثال التقريبي الذي يمكن أن نقدمه لتوضيح مفهوم تيار الإحتمالية هو قنينة غاز محكومة بضمام سيطرة داخلها جزيئات الغاز تحت ضغط معين. هذه الجزيئات تمتلك كثافة احتمالية معينة تتحدد بعدد الجزيئات لوحدة الحجم أي باختصار هي الكثافة العددية للجزيئات. لكننا عندما نفتح ضمام السيطرة فإن الجزيئات سوف تخرج من قنينة الغاز مؤلفة تياراً عبر الأنابيب الموصول بالقنينة وهنا نتعرف على تيار الإحتمالية الذي سيكون هو تيار جزيئات الغاز الخارجة من القنينة. ومن الواضح أن المعدل الزمني لتناقص كثافة الإحتمالية في داخل جرة الغاز متناسب طردياً مع سرعة خروج جزيئات الغاز من القنينة، أي مع إخدار تيار الإحتمالية.

مثال: إحسب تيار الإحتمالية للدوال الموجية التالية

$$\psi_1(x) = e^{ikx} + R e^{-ikx}, \quad \psi_2(x) = A e^{iqx} + B e^{-iqx}$$

$$\psi_3(x) = F e^{-kx}$$

الحل:

$$\begin{aligned} j_1(x) &= \frac{\hbar}{2im} \left[(e^{-ikx} + R^* e^{ikx}) (ik e^{ikx} - ik \operatorname{Re}^{-ikx}) + c.c \right] \\ &= \frac{\hbar k}{m} (1 - |R|^2) \end{aligned}$$

وبطريقة مماثلة نجد

$$j_2(x) = \frac{\hbar k}{m} [|A|^2 - |B|^2]$$

أما $j_3(x)$ فوجد أنه صفر. لماذا؟

تأثير الطور على الإحتمالية

من الضروري جداً معرفة أن ميكانيك الكم هو نظرية خطية في بنيتها الأساسية وبالتالي فإن دوال الموجة قابلة للجمع مع بعضها. أي أن مجموع أي عدد من دوال الأمواج هو دالة موجة أيضاً. وعلى هذا الأساس قام مبدأ النشر. أما الإحتماليات فلا تجمع إذ أنها لا خطية. خذ مثلاً $\psi_1(\theta) = R_1 e^{i\theta_1}$ وخذ $\psi_2(\theta) = R_2 e^{i\theta_2}$ لنجد أن $|\psi_1(\theta)|^2 = |R_1|^2$ ونجد أن $|\psi_2(\theta)|^2 = |R_2|^2$ وهذا يعني بحسب مبدأ تراكب الأمواج أنه وعلى الرغم من أن $\psi = \psi_1(\theta_1) + \psi_2(\theta_2)$

لكن

$$|\psi|^2 = (\psi_1(\theta_1) + \psi_2(\theta_2))^2 = |R_1|^2 + |R_2|^2 + 2R_1 R_2 \cos(\theta_2 - \theta_1) \\ \neq |\psi_1(\theta_1)|^2 + |\psi_2(\theta_2)|^2$$

حيث نلاحظ أن الحد الأخير وهو حد التداخل بين الدالتين يميز مجموع كثافة الإحتمالية مما يجعلها لا خطية. إن هذه الخاصية هي التي تميز ميكانيك الكم عن الميكانيك الكلاسيكي وفيها تتجلى الطبيعة الموجية بأبهى صورها.

مثال لحساب الإحتمالية والقيم المتوقعة

فيما يلي نأخذ مثلاً نطبق فيه حساب الإحتمالية وما يتعلق به لدالة نموجية.

مثال: خذ الدالة

$$\psi(x) = 2\alpha \sqrt{\alpha} x e^{-\alpha x} \quad x > 0 \\ = 0 \quad x < 0$$

وإحسب

(أ) النقطة التي تصبح عندها كثافة الإحتمالية $\langle x \rangle$ أكبر مما يمكن

(ب) القيمة المتوقعة $\langle x^2 \rangle$ و $\langle x \rangle$.

(ج) إحسب احتمالية أن يكون الجسيم بين $x = 0$ و $x = 1/\alpha$.

(د) إحسب $\phi(p)$ ومنها إحسب $\langle p \rangle$ و $\langle p^2 \rangle$.

(ه) إحسب مقدار اللادقة في الموقع Δx و في الزخم Δp .

الحل: (أ) إن النقطة التي تصبح عندها $(x)\rho$ قيمة عظمى هي التي تكون فيها المشتقة الأولى صفرًا.

$$\frac{d}{dx}(x^2 e^{-2\alpha x}) = 2x(1 - \alpha x)e^{-2\alpha x} = 0$$

وهذه نجدها كما يلي

وهذا يعني أن $x = 1/\alpha$. أما القيمة المتوقعة فنجدها كما يلي

$$\langle x \rangle = \int_0^\infty (4\alpha^3 x^2 e^{-2\alpha x}) x dx = \frac{1}{4\alpha} \int y^3 e^{-y} dy = \frac{3!}{4\alpha} = \frac{3}{2\alpha}$$

كذلك

$$\langle x^2 \rangle = \int_0^\infty (4\alpha^3 x^2 e^{-2\alpha x}) x^2 dx = \frac{4!}{8\alpha^2} = \frac{3}{\alpha^2}$$

(ج) حساب الإحتمالية

$$P = \int_0^{1/\alpha} 4\alpha^3 x^2 e^{-2\alpha x} dx$$

(د) القيمة المتوقعة للزخم يمكننا أن نجدها من

$$\phi(p) = \frac{1}{\sqrt{2\pi\hbar}} \int_0^\infty (2\alpha\sqrt{\alpha} xe^{-\alpha x}) e^{-ipx/\hbar} dx = -\sqrt{\frac{4\alpha^3}{2\pi\hbar}} \frac{1}{(\alpha + ip/\hbar)}$$

ومن هذا نحسب

$$\langle p \rangle = \int_{-\infty}^{\infty} p |\phi(p)|^2 dp = \frac{4\alpha^3}{2\pi\hbar} \int_{-\infty}^{\infty} \frac{p dp}{(\alpha^2 + p^2/\hbar^2)^2} = 0$$

$$\langle p^2 \rangle = \frac{4\alpha^3}{2\pi\hbar} \int_{-\infty}^{\infty} \frac{p^2 dp}{(\alpha^2 + p^2/\hbar^2)^2} = \frac{8\alpha^3}{2\pi\hbar} \int_0^{\infty} \frac{p^2 dp}{(\alpha^2 + p^2/\hbar^2)^2} = \alpha^2 \hbar^2$$

ويمكننا حساب القيمة المتوقعة للزخم بطريقة أخرى باستخدام الصيغة

$$\langle A \rangle = \frac{\int \psi^*(x) \hat{A} \psi(x) dx}{\int |\psi(x)|^2 dx}$$

و بما أن الدالة مقومة فإن

$$\langle p \rangle = \int_0^\infty \psi^*(x) \left(-i\hbar \frac{d}{dx} \right) \psi(x) dx = 0$$

وكذلك نحسب

$$\langle p^2 \rangle = \int_0^\infty \psi^*(x) \left(-\hbar \frac{d^2}{dx^2} \right) \psi(x) dx = \alpha^2 \hbar^2$$

(ه) حساب اللادقة

$$(\Delta x^2) = \langle x^2 \rangle - \langle x \rangle^2 = \frac{3}{\alpha^2} - \frac{9}{4\alpha^2} = \frac{3}{4\alpha^2}$$

$$(\Delta p^2) = \langle p^2 \rangle - \langle p \rangle^2 = \alpha^2 \hbar^2$$

كذلك فإن $\Delta x \Delta p = \sqrt{\frac{3}{4}} \hbar$ وهذا يحقق شروط مبدأ اللادقة.

أسئلة مفاهيمية للفصل الثالث

1. ما هي دالة الموجة. وماذا تعني؟
2. ماهي إحتمالية وجود الجسيم في النطاق المخصوص بين x و $x+dx$ وماهي الإحتمالية الكلية لوجوده في الفترة $x=a$ الى $x=b$ ؟
3. ماذا يعني أن نقول أن الإلكترون متذ نظرياً خارج حدود حجمه؟
4. ماذا يقابل مفهوم كثافة الإحتمالية في النظرية الكهرومغناطيسية؟

5. ما هو سبب الطبيعة الإحتمالية للكميات الفيزيائية؟
6. ماذا تمثل معادلة شرودنجر؟ أكتب معادلة شرودنجر غير المعتمدة على الزمن ومعادلته المعتمدة على الزمن.
7. ما هي النظم التي تتطبق عليها معادلة شرودنجر غير المعتمدة على الزمن؟
8. هل تتطبق معادلة شرودنجر على النظم النسبوية ولماذا؟
9. ما هو مضمون معادلة الإستمارارية لدالة الموجة؟ أية كمية تحفظ؟
10. ما معنى أن يكون تيار الإحتمالية صفرًا؟ ومتى يمكن أن يحصل ذلك كحالة عامة؟
11. ما معنى دالة الموجة في فضاء الزخم ولماذا نتعامل معها؟
12. ما دالة الموجة في فضاء الإحداثيات؟ وما علاقتها مع دالة الموجة في فضاء الزخم؟
13. ما مضمون نشر دالة الموجة بدلالة دوال أساسية Basis functions؟
14. وضح لماذا لا يمكننا جمع الإحتماليات المنسوبة الى دوال الموجة على حين أننا نعرف إمكانية جمع تلك الدوال لتكون حالة جديدة.
15. ما الملحوظ الفيزيائي Physical Observable؟
16. ما المقصود بالقيمة المتوقعة للملحوظ الفيزيائي وكيف نجدتها؟
17. اعط مثالاً قابلاً للتطبيق عملياً لإيجاد القيمة المتوقعة لأي ملحوظ فيزيائي؟
18. هل نحصل بالضرورة على القيمة المتوقعة في حالة وجود عدد محدود من الحالات؟
19. متى تكون نحصل على القيمة المتوقعة في أي عملية قياس؟
20. لماذا تكون القياسات الكمية غير حتمية Indeterministic؟

مسائل الفصل الثالث

س(1) أي من هذه الدوال تمثل حالة نظام فيزيائي؟ (على فرض تغطيتها كاملاً الفضاء).

$$f(x) = 3\sin \pi x, \quad g(x) = 4 - |x|, \quad h(x) = \sqrt{5x}, \quad e(x) = x^2$$

س(2) وضح أنه على الرغم من أن دوال الموجة يمكن أن تُجمع فإن كثافة الإحتماليات التي تقابلها لا تُجمع.

س(3) إذا كانت دالة الموجة التالية نافذة ضمن المدى $0 \leq x \leq a$

$$\psi(x,0) = \frac{A}{\sqrt{a}} \sin \frac{\pi x}{a} + \sqrt{\frac{3}{5a}} \sin \left(\frac{3\pi x}{a} \right) + \frac{1}{\sqrt{5a}} \sin \left(\frac{5\pi x}{a} \right)$$

(أ) أوجد الثابت A بحيث تكون دالة الموجة مقومة.

(ب) ما الحالات التي يمكن أن يكون عليها النظام وما إحتمالا كل منها

$$u_n(x) = \sqrt{\frac{2}{a}} \sin \left(\frac{n\pi}{a} x \right)$$

(ج) إذا تم قياس الطاقة فما هي القيم التي سنجد لها وما الإحتماليات؟

(د) أوجد دالة الموجة المعتمدة على الزمن.

س(4) لديك الدالة

$$\psi(x) = A \left(1 - \frac{x}{a} \right) \quad 0 < x < a/2.$$

إحسب قيمة الثابت A لكي تصبح الدالة مقومة

س(5) (أ) إحسب القيمة المتوقعة للموقع $\langle x \rangle$ للدالة

$$\psi(x) = (\alpha/\pi)^{1/4} \exp(-\alpha x^2/2)$$

إحسب $\langle p^n \rangle$ ومنها إحسب $\langle p \rangle$.

س(6) إحسب تيار الإحتمالية للدواال التالية (حيث A ثابت معقد).

$$\psi_1(x) = A e^{ipx/\hbar} + B e^{-ipx/\hbar}$$

$$\psi_2(x) = R(x) e^{iS(x)/\hbar}$$

س(7) إذا كانت $\psi(x) = a(x) + ib(x)$ حيث a و b حقيقية

$$\text{برهن أن } j(x) = \frac{\hbar}{m} \operatorname{Im} \left(b(x) \frac{\partial a(x)}{\partial x} - a(x) \frac{\partial b(x)}{\partial x} \right)$$

س(8) إستعمل العلاقة الناتجة في السؤال السابق لحساب تيار الاحتمالية للدالة الموجية

$$\psi(x,t) = A e^{ikx} \text{ حيث } A \text{ ثابت حقيقي.}$$

س(9) لديك دالة الموجة

$$\begin{aligned}\psi(x) &= x^2 e^{-\alpha x} & x > 0 \\ &= 0 & x < 0\end{aligned}$$

(أ) إحسب النقطة التي تكون عندها كثافة الإحتمالية أعظم ما يمكن.

(ب) القيمة المتوقعة لمربع الموضع $\langle x^2 \rangle$

الفصل الرابع

حلول معادلة شرودنجر في بعد واحد

قلنا آنفاً أن معادلة شروdonجر هي المعادلة الأساسية في ميكانيك الكموم غير النسبي و هي معادلة تفاضلية من الدرجة الثانية في المكان ومعادلة تفاضلية من الدرجة الأولى في الزمن. وفي صياغة أخرى يمكن أن يكون الزمن منفصل عن المكان ولا يظهر إلا كمعامل طوري فقط كما بيّنا سابقاً فتحصل على معادلة شروdonجر غير المعتمدة على الزمن. وفي هذا الفصل المهم سنقوم بحل معادلة شروdonجر غير المعتمدة على الزمن لعدد من النظم الكمومية البسيطة مقتصرتين على المعالجة في بعد واحد فقط تبسيطاً للحسابات ومن أجل تحقيق فهم أعمق للمفاهيم والطريقة.

إن الطريقة العامة لمعالجة المسائل الكمومية تتضمن الخطوات التالية:

1. تحديد الجهد في المسألة ووصفه رياضياً وهندسياً.
2. تركيب معادلة شروdonجر التفاضلية للأنطقة المختلفة في المسألة.
3. حل معادلات شروdonجر للأنطقة المختلفة حلاً عاماً.
4. تطبيق الشروط الحدودية على الحلول لاستخراج علاقات جبرية فيما بينها ومن ثم حساب تلك المجهيلات التي هي في الغالب ثوابت التكاملات التي يتطلبها حل المعادلات التفاضلية.

وهكذا يتم تحصيل دوال الموجة وحساب الطاقات المسمومة في النظام قيد الدراسة. أما القيم المتوقعة للزخوم أو الواقع فإنها يمكن أن تستحصل من دوال الموجة بموجب معادلة حساب القيم المتوقعة لأي كمية مطلوبة. وبهذا يتم استخلاص المعلومات الكاملة عن النظام.

المسألة الأولى: جسم محصور في صندوق ذي بعد واحد

ربما يكون هذا المثال هو الأكثر أساسية في ميكانيك الكموم. نفترض جسسيماً ذي كتلة m محصور في صندوق ذي جدران صلبة لا يتمكن من اختراقها أبداً. لكنه قابل للحركة ضمن الفضاء داخل الصندوق. لذلك تعتبر هذا الجسم طليقاً داخل الصندوق.

فيزيائياً تعترضنا هذه المسألة عندما ندرس حالات الإلكترون الحر في داخل بلورة إذ تمثل جدرانها جهداً لا يحتمل الإلكترون ذي الطاقة القليلة. وفيدينا حل المسألة في فهم مستويات طاقة الإلكترون في داخل البلورات. ومثل هذه البلورات موجودة في جيوبكم أو حقائبكم فإن أجهزة المواتف الخلوية لا تعمل بدوخها.

لتكنا يمكن أن نبسط المسألة ونعالجها في بعد واحد بدلاً من ثلاثة أبعاد وعندها يمكننا فهم متغيرات المسألة وحساباتها دون مزيد من التعقيدات الرياضية في حالة الأبعاد الثلاثة. رياضياً ولأغراض صياغة معادلة شرودنجر نحتاج إلى تعريف الجهد الذي يحتويه النظام وهو هنا يكون هذا الجهد صفراء داخل الصندوق ولا يتجاوزه خارجه إذ أن المناطق خارج الصندوق متنوعة على الجسيم فلا يتواجد فيها. وفي هذه الحالة يكون الجهد هو

$$\begin{aligned} V = \infty & \quad x \leq 0 \\ V = 0 & \quad 0 < x < L \\ V = \infty & \quad x \geq L \end{aligned} \tag{4.1}$$

لذلك نفترض وجود جسيم حر كتلته m حركته فقط متاحة ضمن المدى 0 إلى L على المحور x ويمكن أن نكتب معادلة شرودنجر كما يلي

$$-\frac{\hbar^2}{2m} \frac{d^2\psi(x)}{dx^2} = E\psi(x)$$

وهذه المعادلة يمكن إعادة كتابتها كما يلي

$$\frac{d^2\psi(x)}{dx^2} + k^2\psi(x) = 0 \quad (4.2)$$

حيث أن

$$k^2 = \frac{2mE}{\hbar^2} \quad (4.3)$$

وإن E هي الطاقة الكلية للجسيم، وهي هنا في داخل الصندوق الطاقة الحركية إذ لا يوجد جهد أو مصدر قوة.

ولما كانت فرصة وجود الجسيم خارج الصندوق هي صفر فإن الشروط الحدودية تكون كما يلي

$$\psi(0) = 0, \quad \psi(L) = 0 \quad (4.4)$$

إن حل المعادلة التفاضلية (4.2) يمكن أن يكون $\psi(x) = A \sin kx$ أو $\psi(x) = B \cos kx$ فكلاهما يحقق المعادلة (4.2) حيث أن A و B هي ثوابت. لذلك نقول أن الحل العام للمعادلة هو

$$\psi(x) = A \sin kx + B \cos kx \quad (4.5)$$

والآن نطبق الشروط الحدودية على هذا الحل العام لكي نحدد المسألة ونضعها في إطارها الفيزيائي فيكون الحل

$$\psi(x=0) = 0 = A \sin 0 + B \cos 0$$

وهذا يعني أن $B = 0$ حكماً بموجب هذا الشرط الحدودي. وبالتالي فإن الحل الأصح هو

$$\psi(x) = A \sin kx \quad (4.6)$$

وعند تطبيق الشرط الحدودي الثاني عند $x=L$ فإننا نجد أن

$$\psi(x=L) = 0 = A \sin kL$$

لكتنا الآن لا نستطيع أن نفترض أن الثابت A يمكن أن يكون صفرًا لأننا بذلك نقضى على المسألة. لذلك فإن من الضروري أن يكون لدينا

$$\sin kL = 0$$

وهذا يعني أن

$$kL = n\pi, \quad n = 1, 2, 3, \dots \quad (4.7)$$

أي أن

$$k = \frac{n\pi}{L} \quad (4.8)$$

وبالتالي تكون دوال الموجة هي

$$\psi(x) = A \sin \frac{n\pi x}{L} \quad (4.9)$$

وبالاستعانة بالتعريف (4.3) فإن هذا يعني أن

$$E_n = \frac{n^2 \pi^2 \hbar^2}{2mL^2} \quad (4.10)$$

بهذه النتيجة المهمة نكون قد عرّفنا مستويات الطاقة الممكنة للجسيم. وكما نرى من هذه النتيجة فإن الطاقة موجبة دوماً وأن هنالك قدرًا أدنى لطاقة الجسيم في الصندوق هي E_1 وهي ليست صفرًا (وهو ما يسمى الحالة الدنيا Ground State Energy) وهذه النتيجة مخالفة تماماً لما نتوقعه عندما نعتمد الرؤية الكلاسيكية للمسألة إذ ينبغي أن يكون الحد الأدنى لطاقة صفرًا لأن الجسيم لا يمتلك أصلًاً أي قدر من الطاقة.

إن مقدار طاقة الجسيم يتناسب عكسياً مع كتلته وعكسياً مع مربع بُعد الصندوق. وبالتالي فإن مقدار الطاقة الدنيا يتضاءل عندما يكون حجم الصندوق كبيراً وكتلته كبيرة. وهنا نفهم أن الطاقة الدنيا ناتجة أساساً عن الحدود التي تفرضها جدران الصندوق.

من الواضح أن كون قيمة ثابت بلانك صغيرة جداً يجعل الحالة الكحومية للجسيم تظهر بوضوح فقط في نطاق العالم المجهري Microscopic على حين أن هذا التأثير الكحومي يتلاشى في النظم الجهرية Macroscopic.

تقويم دالة الموجة

إن دالة الموجة في (4.9) غير مقومة ويقتضي تقويمها لكي تكون الإحتمالية الكلية لوجود الجسيم في أي مكان في الصندوق هي واحد صحيح أو 100%. ولهذا الغرض نكتب

$$\int_0^L \psi^*(x)\psi(x)dx = \int_0^L |A|^2 \sin^2 \frac{n\pi x}{L} dx = \int_0^L \frac{1}{2} \left(1 - \cos \frac{2n\pi x}{L}\right) dx = 1$$

وبالتالي نحصل على

$$A = \sqrt{\frac{2}{L}} \quad (4.11)$$

بالتالي فإن دالة الموجة المقومة التي تصف جسيماً في صندوق ذي بعد واحد مداه L تكون

$$\psi_n(x) = \sqrt{\frac{2}{L}} \sin\left(\frac{n\pi x}{L}\right) \quad (4.12)$$

هذه هي صيغة دوال الموجة للحالات الممكنة لجسيم في صندوق ذي بعد واحد.

مضامين دالة الموجة

دعنا الآن ندرس هذه الدوال التي تمثل الجسيم في الصندوق. لدينا

$$\psi_n(x) = \sqrt{\frac{2}{L}} \sin\left(\frac{n\pi x}{L}\right)$$

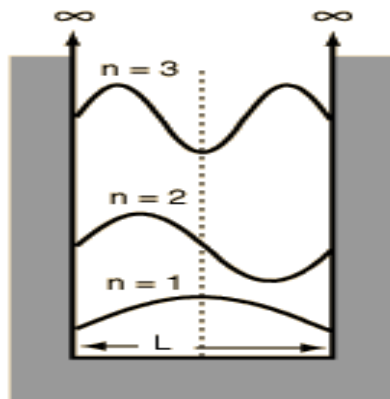
أبتداءً نلاحظ أن دالة الموجة لا تحتوي على كتلة الجسيم بشكل ظاهر وصريح وبالتالي فهي تصف أي جسيم يمكن أن يوجد في الصندوق مهما كانت كتلته. وهذه مفارقة سببها التمثيل الموجي للجسيم فنحن هنا في هذه المسألة منحنا الجسيم وصفاً موجياً من خلال

معادلة شرودنجر. لكن في حقيقة الأمر فإن الصفة الجسيمية مخفية داخل الكمية $k = \frac{n\pi}{L}$
فهذا هو صورة أخرى لزخم الجسيم الذي هو $p_n = \hbar k = n\pi\hbar / L$ أي يمكننا إظهار
الطابع الجسيمي للمسألة إذا كتبنا

$$\psi_n(x) = \sqrt{\frac{2}{L}} \sin\left(\frac{p_n x}{\hbar}\right) \quad (4.13)$$

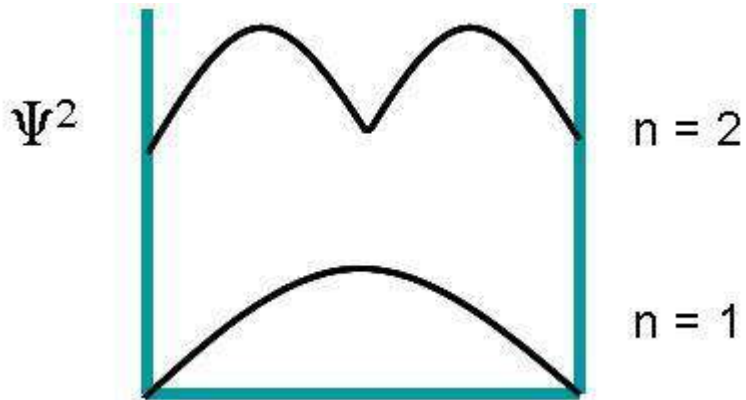
وبهذا تكون كتلة الجسيم حاصلة ضمنياً داخل الزخم p_n . من جانب آخر فإننا نجد في الصيغة (4.13) أن للجسيم ليس دالة موجة واحدة بل عدة دوال موجية ممكنة وهي الحالات التي يمكن أن يكون عليها الجسيم تتفاوت إحداها عن الأخرى بمقدار قيمة n معنى أن هنالك أنماط موجية وليس موجة واحدة. وهذه الأنماط الموجية تمثل الأحوال الممكنة للجسيم الذي يمتلك طاقات مختلفة أو لمجموعة جسيمات لها طاقات مختلفة. فكل نمط من الأنماط يعبر عن مستوى من مستويات الطاقة.

وهذه الحالات (الأنماط) المختلفة لدالة الموجة هي كما مبينة بالرسم التالي



الشكل (1-4) جسيم في صندوق

ومنها نستطيع أيضاً أن نرسم كثافة الإحتمالية للمستويات المختلفة للجسيم وهذا مبين في الرسم التالي.



الشكل (4-2) إحتماليات الجسيم في صندوق

وعند تحليل هذا الرسم نجد أن هنالك أماكن معينة مسموح أن يوجد عندها الجسيم (وليست كل الأماكن مسموحة) وأخرى غير مسموحة. كما أن هنالك مناطق هي الأكثر إحتمالاً ليتواجد فيها الجسيم. وهذه الصفة هي صفة غير كلاسيكية أيضاً. مثلاً في المستوى الأول يمكن أن يتواجد الجسيم في أي موقع على مدى عرض الصندوق كله لكن الإحتمالية العظمى تكون في منتصف الصندوق على حين تتضائل هذه الإحتمالية في الأطراف. أما في المستوى الثاني للطاقة فإن الجسيم لا يمكن أن يتواجد في منتصف الصندوق لأن إحتمالية وجوده هنالك هي صفر. على حين أن الاحتمالية العظمى هي وجود الجسيم عند نهاية الربع الأول من الصندوق أو عند نهاية الربع الثالث. وهكذا يظهر لنا أن البنية التحتية لفيزياء العالم تختلف عن ما يظهر لنا على سطحه الخارجي.

تعامد دوال الموجة Orthogonality

لكتنا في أي لحظة من الزمن لن نجده إلا في حالة واحدة من تلك الأحوال وذلك لأن دوال الموجة المختلفة الأطوار متعامدة Orthogonal على بعضها. وهذا ما يمكن إثباته كما يلي

$$\begin{aligned} \int_0^L \psi_m(x) \psi_n(x) dx &= \frac{2}{L} \int_0^L \sin\left(\frac{m\pi x}{L}\right) \sin\left(\frac{n\pi x}{L}\right) dx \\ &= \frac{1}{L} \int_0^L \left[\cos\left(\frac{(m-n)\pi x}{L}\right) - \cos\left(\frac{(m+n)\pi x}{L}\right) \right] dx \\ &= \frac{\sin(m-n)\pi}{(m-n)\pi} - \frac{\sin(m+n)\pi}{(m+n)\pi} \\ &= 0 \quad \text{if } m \neq n \\ &= 1 \quad \text{if } m = n \end{aligned}$$

وهكذا يمكن أن نكتب بصورة عامة

$$\int_0^L \psi_m(x) \psi_n(x) dx = \delta_{mn} \quad (4.14)$$

لكن إذا ما وجدت عدة جسيمات في الصندوق في آن واحد فإن كلاً منها يمكن أن يوجد على حالة من الحالات الممكنة وبهذا تكون هنالك توزيعات مختلفة واسعة للمواقع والطاقة المسموحة للجسيمات في الصندوق.

دورية دوال الموجة وتكيف الطاقة

من المؤكد أن دوال الموجة للجسيم المحصور في صندوق دورية بمدى بعد الصندوق L أو أي جزء عدد منه . وهذا هو شرط حدودي ويعني أن

$$\psi(x+L) = \psi(x)$$

والآن لو أعتمدنا صيغة الحل الأكثر عمومية لدوال الموجة في المعادلة (4.2) وهو

$$\psi \text{ فإن الدورية تعني أن } e^{ik(x+L)} = e^{ikx} \text{ وهذا يعني أن } 1 = e^{ikL} \text{ بمعنى أن } \cos kL + i \sin kL = 1$$

وبما أن الطرف الأيمن حقيقي فإن الجزءخيالي من الطرف الأيسر يساوي صفر، أي $\sin kL = n\pi$ وهذا بالضرورة يتضمن أن يكون $kL = n\pi$ حيث n عدد صحيح. وبموجب تعريف k في المعادلة (4.8) فإن

$$E_n = \frac{n^2 \pi^2 \hbar^2}{2mL^2}$$

وهذه النتيجة تؤكد أن طاقة الجسيم مكممة.

القيمة المتوقعة

تؤكدناً لما سبق من الصفات الغريبة لتصريف الجسيم المخصوص في صندوق ذي بعد واحد، يمكننا حساب القيمة المتوقعة لموضع الجسيم. دعنا نحسب ذلك للحالة الدنيا أي $n=1$

$$\begin{aligned} \langle x \rangle &= \frac{2}{L} \int_0^L \sin\left(\frac{\pi x}{L}\right) x \sin\left(\frac{\pi x}{L}\right) dx \\ &= \frac{2}{L} \int_0^L \sin^2\left(\frac{\pi x}{L}\right) x dx \\ &= \frac{1}{L} \int_0^L \left(1 - \cos\frac{2\pi x}{L}\right) x dx = \frac{1}{L} \left(\frac{x^2}{2}\right)_0^L = \frac{L}{2} \end{aligned} \quad (4.15)$$

أي أن القيمة المتوقعة لموضع الجسيم ذي طاقة بالحد الأدنى هو وسط الصندوق.

أما إذا أردنا حساب القيمة المتوقعة لموضع الجسيم ذي الطاقات الأعلى فيجب أن نلاحظ مدى الدالة على x ففي حالة الطاقة المثارة الأولى $n=2$ مثلا تكون الدالة منفصلة وهي مؤلفة من جزئين، الأول مداه من 0 إلى $L/2$ والآخر مداه من $L/2$ إلى L . ولذلك فإننا نحسب القيمة المتوقعة على المديين بشكل منفصل لنجد أن $\langle x \rangle$ في المدى الأول مقدارها $L/4$ على حين أن $\langle x \rangle$ في المدى الثاني قيمتها $3L/4$. وهكذا الأمر لبقية المستويات نكتب دالة الموجة ونعرف نقاط أصفارها أولا ثم نجري الحسابات لكل مدى لوحده.

دعنا الأن نحسب القيمة المتوقعة للزخم. وهذه ستكون

$$\begin{aligned} \langle p \rangle &= \frac{2}{L} \int_0^L \sin\left(\frac{n\pi x}{L}\right) \left(-i\hbar \frac{d}{dx}\right) \sin\left(\frac{n\pi x}{L}\right) dx \\ &= \frac{2}{L} \int_0^L \sin\left(\frac{n\pi x}{L}\right) \left(-\frac{in\pi\hbar}{L}\right) \cos\left(\frac{n\pi x}{L}\right) dx = 0 \end{aligned} \quad (4.16)$$

أي أن معدل قيمة الزخم هي صفر. ولكن دعونا أيضاً نحسب القيمة المتوقعة لربع الزخم

$$\begin{aligned} \langle p^2 \rangle &= \frac{2}{L} \int_0^L \sin\left(\frac{n\pi x}{L}\right) \left(-i\hbar \frac{d}{dx}\right)^2 \sin\left(\frac{n\pi x}{L}\right) dx \\ &= \frac{2}{L} \int_0^L \sin\left(\frac{n\pi x}{L}\right) \left(-\frac{in\pi\hbar}{L}\right)^2 \sin\left(\frac{n\pi x}{L}\right) dx = \frac{n^2\pi^2\hbar^2}{L^2} \end{aligned} \quad (4.17)$$

أي أن معدل قيمة مربع الزخم ليست صفرًا مما يعني أن الزخم ليس صفرًا لكن لما كان المعدل هو صفر علمنا أن ذلك يعني أن إحتمالية حركة الجسيم نحو اليمين هي نفس إحتمالية الجسيم نحو الشمال. وبالتالي فإن الجسيم المحصور في صندوق لا يسكن أبداً بل هو دائم الحركة بما يمتلك من طاقة صفرية. وهذا كشف مهم لميكانيك الكموم يختلف فيه عن التصور الكلاسيكي الذي يقضي أن يكون الجسيم المتروك داخل صندوق مغلق ساكناً إلى الأبد.

على أية حال فإن النتيجة (4.16) متوافقة تماماً مع حساب طاقة الجسيم في الصندوق لأن

$$E_n = \frac{\langle p^2 \rangle}{2m} = \frac{n^2\pi^2\hbar^2}{2mL^2} \quad (4.18)$$

تفسير الإحتماليات

كيف يمكن أن نفهم هذه الحالة من أن جسيماً في صندوق سيتخذ لمكانه موقع معينة لا يتواجد في غيرها؟ ولماذا تأخذ طاقته كميات مقننة مكممة؟

إن حالة الجسيم داخل الصندوق تثنّلها دالة جيّبية بسيطة كما شاهدنا وهذه الموجة إذ تكون مخصوصة بين جدارين فإنّها ستتشكل موجة واقفة تتداخل مع نفسها فإنّ كانت نصف موجة (وهو الحالة الدنيا) فإنّها ستتشكل بطنا وعقدتين وإنّ كانت موجة كاملة فإنّها ستتشكل بطنين وثلاث عقد وهكذا فإنّ عدد العقد هو $n+1$. هذا هو التفسير الهندسي الرياضي للنتيجة وهو التفسير الأول.

لكننا يمكن أن نفهم المسألة فيزيائيا حين نضع في الصندوق 1000 جسيم مثلا. حينئذ سنرى الجسيمات التي تمتلك طاقة بالحد الأدنى تتوزع توزعاً طبيعيا Normal Distribution بحيث تكون غالبيتها في وسط الصندوق بينما تكون أعداد قليلة منها متباشرة هنا وهناك في فضاء الصندوق. أما الجسيمات التي تمتلك طاقة مثارة بالمستوى الأول first excited state فإن غالبيتها تتواجد في منتصف النصف الأول من الصندوق وفي منتصف النصف الثاني من الصندوق. على حين لا نجد أيا من هذه الجسيمات في منتصف الصندوق بالضبط. وهكذا لبقية الجسيمات التي سوف تتوزع بحسب مستوى طاقتها. من الجميل أن يكون لدينا في حالة جسيمات متعددة غير متفاعلة مع بعضها non-interacting هذا التصنيف الطبيعي للطاقات.

طيب ماذا لو كان لدينا جسيم واحد فقط في الصندوق كيف سيتصرف؟

هنا يأتي للتفسير الثالث وهذا التفسير يعتمد على فرضية القول بأنّ الجسيم الواحد يتقلب في الأحوال المسمومة له ويتوارد في الأماكن المسمومة له بالإحتماليات المقررة لتلك الأماكن والأحوال وذلك بناء على فرضية تقول بتجدد خلق الأشياء بمعدل سريع جداً. فمن خلال حسابنا للزخم وجدنا أنّ القيمة المتوقعة للزخم هي صفر. وكما قلنا فإنّ هذا لا يعني أنّ الجسم سيكون ساكنا لأنّا وجدنا أيضا أنّ القيمة المتوقعة لمربع الزخم هي ليست صفرأً. وبالتالي قلنا أنّ الجسم يتحرك يمنة ويسرة. وهذا يسمح له أن يتواجد في أي

مكان في الصندوق باحتماليات مختلفة، أي في حالاته التي يكون عليها، ولكن لأنّه مختلف. فلا يتواجد الجسيم ذي الطاقة الدنيا في أطراف الصندوق إلا لزمن قصير جداً بينما يقضي معظم وقته في وسط الصندوق. أما الجسيم الذي يمتلك طاقة الحالة المثارة الأولى ($n = 1$) فإنه يتواجد لمعظم وقته في موقعين أحدهما عند منتصف النصف الأول من الصندوق والثاني عند منتصف النصف الثاني من الصندوق ويقضي هذا الجسيم قليلاً من الوقت في المناطق الأخرى. وهذا دواليك بشأن مستويات الطاقة الأخرى.

الطاقة الصفرية

نلاحظ أن الطاقة الصغرى للجسيم المحصور في صندوق لا تكون صفرًا بل هي كمية محدودة تسمى الطاقة الصفرية Zero-point Energy ومقدارها هو

$$E_1 = \frac{\pi^2 \hbar^2}{2mL^2} \quad (4.19)$$

وهذا مخالف للتصور الكلاسيكي الذي يقرر أن تكون طاقة الجسيم صفرًا. ولكن لماذا لا تكون طاقة الجسيم، المحصور ضمن نطاق مكاني معين، صفرًا؟ والجواب يمكنه في مضمون مبدأ الالادقة حيث أنه إذا كانت $x < L/2$ فإن $\Delta x \approx L/2$ وطبقاً لمبدأ الالادقة فإن مقدار الالادقة في الزخم سيكون $\Delta p \approx \hbar / 2\Delta x = \hbar / L$ مما يعني أن الطاقة الحركية للجسيم الذي كتلته m ستكون

$$E = \frac{(\Delta p)^2}{2m} = \frac{\hbar^2}{2mL^2} \quad (4.20)$$

هذه النتيجة مقاربة للطاقة الدنيا (الصفرية) للجسيم في صندوق. وهذا ييدو فعلاً أن مبدأ الالادقة هو المسؤول عن نشأة الطاقة الدنيا. فلو أن الصندوق كان كبيراً لتضاءلت

الطاقة الدنيا حتى تصير صفرًا عندما يكون بعد الصندوق لا نهائيًا أي لا وجود للجدران. لكن هذا سيعني أن الجسيم منتشر في مكان لا نهائي وبهذا يكون فاقداً للتحيز، أي لا يمكن أن نحدد موقعه، تماماً non-localized.

نشر دالة الموجة لجسيم في صندوق

يمكنا إعتبر دوال الموجة المسموحة لجسيم في صندوق كأسس يتم عليها نشر دالة أي موجة أخرى وحساب إحتماليات كون الجسيم في أي من تلك الحالات التي تمثلها تلك الأسس التي نشرت عليها الدالة العامة للجسيم أو مجموعة الجسيمات المتماثلة. والمثال التالي يوضح مجمل هذه العمليات.

مثال: إذا كانت دالة الموجة لجسيم في صندوق عرضه a هي

$$\begin{aligned}\psi(x) &= A(x/L) & 0 < x < L/2 \\ &= A(1-x/L) & L/2 < x < L\end{aligned}$$

فاحسب ثابت التقويم A أولاً ثم إحسب إحتمالية أن يكون قياس الطاقة يعطي النتيجة

$$E_n$$

الحل: حساب ثابت التقويم نضع

$$\int_0^a \psi^*(x)\psi(x)dx = \int_0^{a/2} |A|^2 \left(\frac{x}{L}\right)^2 dx + \int_{L/2}^L |A|^2 \left(1 - \frac{x}{L}\right)^2 dx = 1$$

$$\text{لنجد أن } A = \sqrt{\frac{12}{L}} \text{ . والآن لدينا المفكرة}$$

$$\psi(x) = \sum_n a_n u_n(x)$$

حيث أن

$$a_n = \int_0^a u_n(x)\psi(x)dx$$

وحيث أن

$$u_n(x) = \sqrt{\frac{2}{L}} \sin\left(\frac{n\pi x}{L}\right)$$

لذا فإن

$$a_n = \frac{\sqrt{24}}{L} \left[\int_0^{a/2} \left(\frac{x}{L} \right) \sin \frac{n\pi x}{L} dx + \int_{L/2}^L \left(1 - \frac{x}{L} \right) \sin \frac{n\pi x}{L} dx \right]$$

وإذا ما بدلنا المتغير في التكامل الأول ليكون $y = x/\pi$ وفي التكامل الثاني ليكون $x\pi/L = \pi - y$ فإننا نحصل على النتيجة:

$$a_n = \frac{\sqrt{24}}{\pi} \int_0^{\pi/2} \frac{y}{\pi} \sin ny (1 - (-1)^n) dy$$

فإن كانت n زوجية صار التكامل صفرًا. أما إذا كانت n فردية فالنتيجة هي

$$a_n = \frac{2\sqrt{24}}{\pi^2 n^2} (-1)^{n+1}$$

وهذا يعني أن $|a_n|^2 = \frac{96}{\pi^4 n^4}$

لاحظ أن مجموع الإحتماليات يساوي 1.

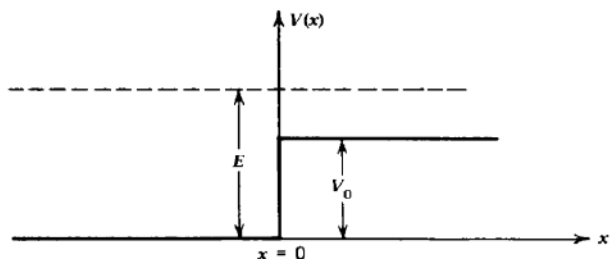
المسألة الثانية: العتبة الجهدية Step Potential

وتسمى هذه أيضاً مسألة الجهد الدرجى. في هذه المسألة لدينا عتبة جهد وهي أشبه بحاجز محدود المقاومة لكنه ذي امتداد مكاني غير محدود. مثلاً تل كبير من الرمل، أو بركة ماء عميقه، فإن سقط حجر رأسياً في بركة ماء فإن سيلانه يواجه الماء، لذلک هذه الممانعة هي قوة وبالتالي فهي جهد مفاجئ يواجه الحجر الساقط في الماء. تكون برقة الماء العميقه أشبه بالعتبة الجهدية.

قبل الحاجز الجهدى تكون الجسيمات حرة لا تأثير عليها، ولكن عند دخولها الى منطقة الجهد تتغير أحوالها طبقاً لتأثيرات الجهد. رياضياً يُمثل الجهد بما يلي

$$\begin{aligned} V(x) &= 0 \quad x < 0 \\ &= V_0 \quad x \geq 0 \end{aligned} \tag{4.21}$$

وبالرسم تكون العتبة الجهدية في بعد واحد كما يلي



الشكل (3-4) العتبة الجهدية

الجهد هنا موجب وهو يقاوم اختراق الجسيمات له. وطبقاً لهذا يكون لدينا منطقتين الأولى قبل العتبة والثانية بعدها. ومعادلة شرودنجر للمنطقة الأولى هي

$$-\frac{\hbar^2}{2m} \frac{d^2\psi_1(x)}{dx^2} = E\psi_1(x)$$

وهذه يمكن كتابتها كما يلي

$$\frac{d^2\psi_1(x)}{dx^2} + k_1^2\psi_1(x) = 0 \tag{4.22}$$

حيث أن

$$k_1 = \sqrt{\frac{2mE}{\hbar^2}} \tag{4.23}$$

لاحظ أن k_1 هو زخم الجسيمات قبل دخولها العتبة الجهدية.

أما المنطقة الثانية ففيها معادلة شرودنجر كما يلي

$$\frac{d^2\psi_{II}(x)}{dx^2} + k_2^2 \psi_{II}(x) = 0 \quad (4.24)$$

حيث أن

$$k_2 = \sqrt{\frac{2m(E - V_0)}{\hbar^2}} \quad (4.25)$$

لاحظ أن k_2 هو زخم الجسيمات النافذة داخل العتبة الجهوية.

الحلول العامة للمعادلة (4.22) يمكن كتابتها كما يلي

$$\psi_I(x) = e^{ik_1 x} + R e^{-ik_1 x} \quad (4.26)$$

حيث أن هذا الحل يمثل جسيماتقادمة من اليسار إلى اليمين وجسيمات مرتجدة عن الحاجز تتحرك من اليمين إلى اليسار. وقد اعتبرنا دالة الجسيمات القادمة مقومة لتسهيل الأمر. ويمثل R سعة دالة الموجة للجسيمات المرتجدة أي أن $|R|^2$ تمثل الكثافة (أو الشدة) النسبية للجسيمات المرتجدة.

أما المعادلة (4.24) فإن حلها العام هو

$$\psi_{II}(x) = T e^{ik_2 x} + D e^{-ik_2 x} \quad (4.27)$$

لكتنا نستطيع القول أن المعامل D يجب أن يكون صفرًا بالبدهاهة لأن الجسيمات التي دخلت الحاجز لم تجد شيئاً ترتد عنه. لذلك يكون الحل المعقول هو

$$\psi_{II}(x) = T e^{ik_2 x} \quad (4.28)$$

حيث تمثل T هنا سعة دالة الموجة في النطاق داخل الحاجز الجهوي.

الشروط الحدودية

تعد الشروط الحدودية من أهم الخطوات الالازمة لفرض الشروط الغيرية على المسألة. وهنا نعرف أن الجسيمات الداخلة الى الحاجز الجهدى مستمرة ولا تتعرض الى قطع، وبالتالي فإن من المعمول أن صفة الإستمرارية تتحقق مع دالة الموجة قبل دخولها الى المنطقة الجهدية وبعدها. ولذا يكون لدينا

$$\psi_I(0) = \psi_{II}(0) \quad (4.29)$$

وعند التعويض من المعادلتين (4.26) و (4.27) فإننا نحصل على

$$1 + R = T \quad (4.30)$$

أما الشرط الحدودي الثاني فيقضي بإستمرارية المشتقة الأولى على جهتي الحاجز أي

$$\left(\frac{\partial \psi_I}{\partial x} \right)_{x=0} = \left(\frac{\partial \psi_{II}}{\partial x} \right)_{x=0} \quad (4.31)$$

وهذا يعطينا

$$ik_1(1 - R) = ik_2T \quad (4.32)$$

من المعادلتين (4.30) و (4.32) نحصل على

$$R = \frac{k_1 - k_2}{k_1 + k_2} \quad (4.33)$$

$$T = \frac{2k_1}{k_1 + k_2}$$

وإذا ما عرّفنا المعامل

$$\mu = \frac{k_2}{k_1} = \sqrt{1 - \frac{V_0}{E}} \quad (4.34)$$

إإننا يمكن أن نكتب معامل الإنعكاس Reflection Coefficient كما يلي

$$R = \left(\frac{1 - \mu}{1 + \mu} \right) \quad (4.35)$$

وبالتالي فإن الشدة النسبية للجسيمات المنعكسة هي

$$|R|^2 = \left(\frac{1-\mu}{1+\mu} \right)^2$$

ونكتب معامل النفاذ Transmission Coefficient كما يلي

$$T = \frac{2}{1+\mu} \quad (4.36)$$

تكون الشدة النسبية للجسيمات النافذة إلى داخل العتبة الجهدية هي

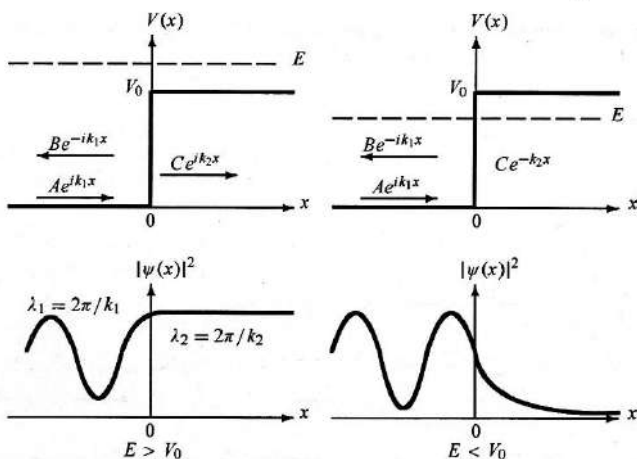
$$|T|^2 = \left(\frac{2}{1+\mu} \right)^2$$

تحليل ومناقشة النتائج

هاهنا نحن أمام مسألة فيزيائية كمومية مهمة تكشف لنا عن صفات جديدة غير كلاسيكية علينا أن نفهمها ونفهم أسبابها. وهذه هي: حتى ولو كانت الطاقة الحركية للجسيمات الساقطة على العتبة الجهدية E أكبر من جهد العتبة V_0 فإن هنالك نسبة من الجسيمات المنعكسة عن العتبة الجهدية. وهذه نتيجة غير متوقعة كلاسيكيا. فإذا ضرب شخص ببابا من الخشب الرقيق بسيل من الإطلاقات من مدفع رشاش فإنه يتوقع أن تخرج جميع الإطلاقات ذلك الحاجز لأن طاقتها الحركية أكبر من طاقة الحاجز. لكننا هنا نجد أن ميكانيك الكم يقرر، من الناحية النظرية على الأقل، أن عدداً من الإطلاقات يمكن أن يرتد عن الباب الخشبي الرقيق على الرغم من امتلاك الجسيمات لطاقة حركية كافية لخرق الباب. هذه النتيجة الغريبة ليس لها تفسير واضح في ميكانيك الكم لكنها بكل تأكيد ظاهرة محققة تجريبياً في العالم المجهري.

وكذلك ولو كانت الطاقة الحركية للجسيمات الساقطة على العتبة الجهدية E أقل من جهد العتبة V_0 فإن هنالك نسبة منها ستندن داخلاً العتبة الجهدية وهذا مخالف للحدس

الكلاسيكي. كيف؟ إذا كانت $E < V_0$ فإن k_2 تصبح كمية خيالية عندئذ يصبح الحل داخل المنطقة الجهدية هو $T e^{-|q|x} \psi_{II}(x)$ وهذا يعني أن هناك نفاذ إلى داخل المنطقة الجهدية ولكن الشدة النسبية للجسيمات النافذة تض محل أسيًا. إن هذه الظاهرة سوف تتضح على نحو أفضل عند دراسة مسألة الحاجز الجهدى. لكنني أريد التذكير هنا بأن هذه الظواهر الكمومية تتحقق فعليا في عالم الذرات والجزيئات أي العالم المجهري ولا تتحقق عمليا في العالم المجهري الكبير وذلك لأن متغيرات العالم المجهري كبيرة جدا مقارنة بثابت بلانك وإن الصفات الموجية في هذا العالم لا تظهر. لذلك لا نتوقع أن تردد إطلاقة عن باب خشبي رقيق وإن حصل فإننا نقول أنها معجزة على حين نتوقع أن تردد بعض الإلكترونات السريعة ذات الطاقة العالية عن بلورة جهدها أقل من طاقة الإلكترونات.



الشكل (4-4) دوال الموجة في العتبة الجهدية

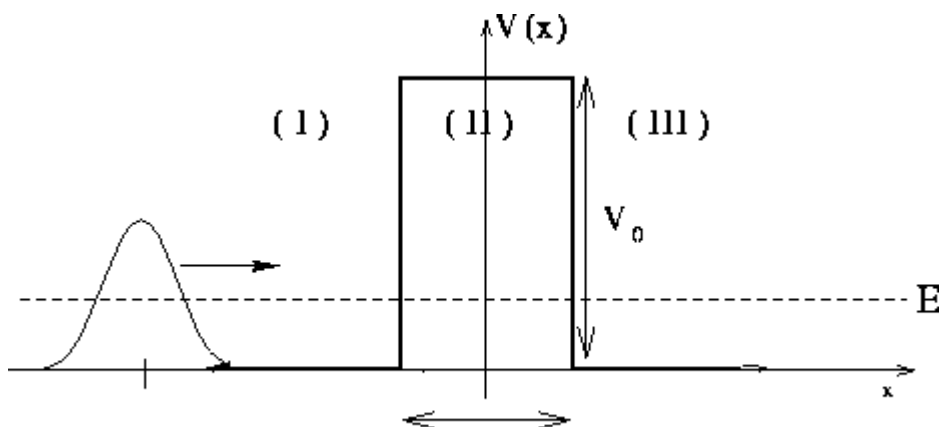
المسألة الثالثة: الحاجز الجهدى في بعد واحد

يمكن أن يكون الحاجز الجهدى أي وسط جديد يعزل وسطين عن بعضهما. مثلا حاجط يفصل جزئي الغرفة عن بعضهما يمكن أن يكون حاجز جهدى. ومقدار الجهد المحدود في هذا الحاجط هو مقدار تماسك جزيئات الحاجط مع بعضها. أما في الواقع العملى فإن الرقائق

السليلكونية داخل الترانزسترات والبائيط الإلكتروني يمكن أن تمثل حواجز جهدية بالنسبة للإلكترونات. وإذا اعتبرنا الجهد خارج الحاجز هو صفر فإننا يمكن أن نكتب الصيغة الرياضية للحاجز الجهدبي كما يلي:

$$\begin{aligned} V &= 0 \quad x < 0 \\ &= V_0 \quad 0 < x < a \\ &= 0 \quad x > a \end{aligned} \tag{4.37}$$

ويمكن التعبير بالرسم كما يلي



الشكل (4-5) الحاجز الجهدبي

في هذه المسألة لدينا ثلاثة مناطق: واحدة داخل المنطقة الجهدية وإثنان خارجها قبل وبعد المنطقة الجهدية. إن معادلات شرودنجر للمناطق الثلاثة هي

$$\begin{aligned} \frac{d^2\psi_I(x)}{dx^2} + k^2\psi_I(x) &= 0 \\ \frac{d^2\psi_{II}(x)}{dx^2} + q^2\psi_{II}(x) &= 0 \\ \frac{d^2\psi_{III}(x)}{dx^2} + k^2\psi_{III}(x) &= 0 \end{aligned} \tag{4.38}$$

حيث أن

$$k^2 = \frac{2mE}{\hbar^2}, \quad q^2 = \frac{2m(E-V_0)}{\hbar^2} \quad (4.39)$$

إن حلول معادلات شرودنجر في (4.38) هي

$$\begin{aligned} \psi_I(x) &= e^{ikx} + \text{Re}^{-ikx} \\ \psi_{II}(x) &= Ae^{iqx} + Be^{-iqx} \\ \psi_{III}(x) &= Te^{ikx} \end{aligned} \quad (4.40)$$

تحليل المسألة فيزيائياً

من المنطقي القول أنه إذا كانت هنالك جسيمات ذات طاقة حركية E ترتطم بالحاجز الجهدى فإنها سوف تعبّر الحاجز إذا كانت $V_0 > E$. نعم، ربما سيرتد بعضها عن الحاجز نتيجة للتأثير الكومومي كما لاحظنا في المثال السابق عن العتبة الجهدية، لكن معظمها سيمر خلال الحاجز بعد أن يعاني تغييراً في زخمها الخطى.

سنفهم هنا بالحالة التي تكون فيها $V_0 < E$ خصوصاً. في هذه الحالة سيكون

$$q = i\kappa = i\sqrt{\frac{2m(V_0-E)}{\hbar^2}} \quad (4.41)$$

وعندئذ فإن دالة الموجة في المنطقة الجهدية ستكون

$$\psi_{II}(x) = Ae^{-\kappa x} + Be^{\kappa x} \quad (4.42)$$

وفي هذه الحالة تُعبّر حلول معادلات شرودنجر في المناطق الثلاثة عن:

المنطقة الأولى: قبل الحاجز الجهدى تسقط حزمة من الجسيمات زخمها الخطى هو $p_I = \hbar k$ يمر ببعضها إلى داخل الحاجز الجهدى وبعضها الآخر يرتد بشدة نسبية قدرها $. |R|^2$.

المنطقة الثانية: داخل الحاجز الجهدi تمر الجسيمات بزخم أقل مما كانت عليه في خارج الجهد وإذا ما كانت $E < V_0$ فإن الشدة النسبية للجسيمات النافذة إلى الحاجز تتناقص أسيًا. زخم الجسيمات داخل الحاجز الجهدi يكون $p_{II} = \hbar q$. لكن قسماً آخر منها يمكن أن يعبر الحاجز الجهدi إلى المنطقة الثالثة. وهذا يعتمد على عاملين طاقة الجسيمات الداخلة إلى الحاجز وسمكه.

المنطقة الثالثة: بعد الحاجز الجهدi تتحرك الجسيمات التي عبرت الحاجز إلى اليمين بزخم مساوي لزخمها الذي كانت عليه في المنطقة الأولى وباتجاه $x +$ فقط وبشدة نسبية قدرها $|T|^2$.

الشروط الحدودية

بعد أن صارت الحلول العامة واضحة لدينا أصبح من الضروري تطبيق الشروط الحدودية على المسألة وهنا لدينا

$$\begin{aligned}\psi_I(0) &= \psi_{II}(0) \\ \left(\frac{\partial\psi_I}{\partial x}\right)_{x=0} &= \left(\frac{\partial\psi_{II}}{\partial x}\right)_{x=0} \\ \psi_{II}(a) &= \psi_{III}(a) \\ \left(\frac{\partial\psi_{II}}{\partial x}\right)_{x=a} &= \left(\frac{\partial\psi_{III}}{\partial x}\right)_{x=a}\end{aligned}\tag{4.44}$$

وهذه العلاقات تعطينا المعادلات التالية

$$\begin{aligned}1 + R &= A + B \\ ik - ikR &= -\kappa A + \kappa B \\ Ae^{-\kappa a} + Be^{\kappa a} &= Te^{ika} \\ -\kappa Ae^{-\kappa a} + \kappa Be^{\kappa a} &= ikFe^{ika}\end{aligned}\tag{4.45}$$

هذه أربع معادلات جبرية بأربع مجاهيل حلها يفضي الى معرفة المجاهيل. و محل المعادلات الأربع نحصل على

$$R = i e^{-2ika} \frac{(k^2 - \kappa^2) \sinh 2qa}{2k\kappa \cosh 2ka + i(k^2 - \kappa^2) \sinh 2ka}$$

وما يهمنا هنا اولا استخراج معامل النفاد Transmission Coefficient (T) لدينا

$$T = e^{-2ika} \frac{2k\kappa}{2k\kappa \cosh 2ka + i(k^2 - \kappa^2) \sinh 2ka}$$

وهكذا تكون نسبة الجسيمات النافذة عبر الحاجز الجهدى هي

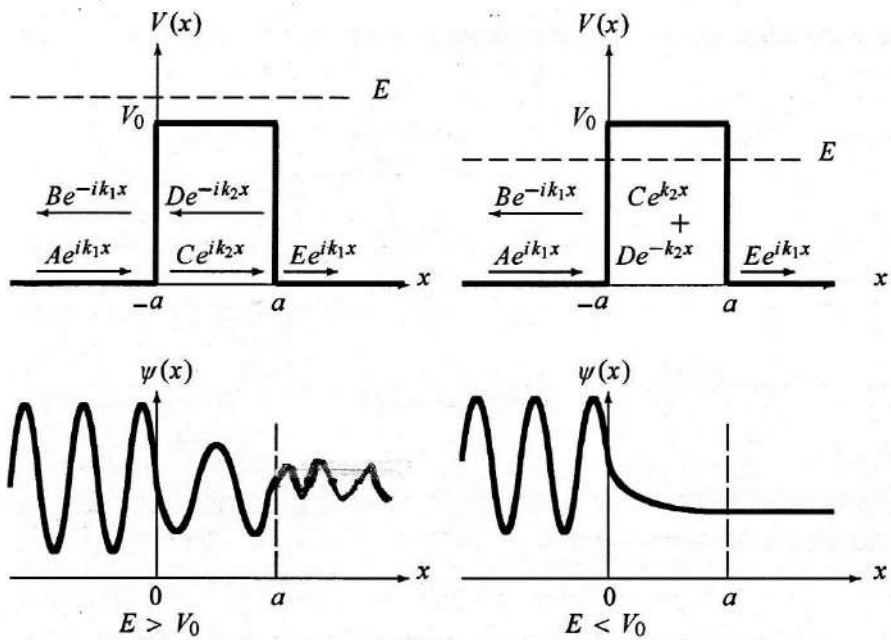
$$|T|^2 = T^*T = \frac{(2k\kappa)^2}{(k^2 + \kappa^2)^2 \sinh^2 2ka + (2k\kappa)^2}$$

يعنى هذا في حالة أن تكون $\kappa a > 1$ فإن

$$T \sim \exp \left[-2 \sqrt{\frac{2m}{\hbar^2} (V_0 - E)} a \right] \quad (4.46)$$

وتبين لنا هذه النتيجة أن هناك نسبة من الجسيمات يمكن أن تنفذ عبر الحاجز الجهدى. وإن هذه النسبة تعتمد على عرض الحاجز الجهدى a وعلى طاقة الجسيم أو الجسيمات الواقعة على الحاجز. فكلما كان عرض الحاجز الجهدى كبيراً كانت إحتمالية نفاذ الجسيمات ذات الطاقة الواطئة أقل، والعكس يحصل كلما كانت طاقة الجسيمات الساقطة على الحاجز أكبر كلما كان إحتمال نفاذها أكبر.

تسمى هذه الظاهرة التي تنفذ فيها جسيمات خلال الحاجز الجهدى ذات طاقة أقل من طاقة الحاجز نفسه ظاهرة التفيف Tunneling Effect وهي ظاهرة مهمة جدا في فيزياء الحالة الصلبة وعليها تقوم كثير من خصائص البائيط الإلكتروني وبدونها لا يمكن للإلكترونيات الدقيقة أن تعمل.



الشكل (6-4) دوال الموجة في الحاجز الجهدى

مثال: إلكترونان طاقتهمَا 1 eV و 2 eV يسقطان على حاجز جهدى إرتفاعه 5 eV وعرضه 0.5 nm . إحسب إحتماليات النفاذ. كيف ستتأثر هذه الإحتماليات في حالة مضاعفة عرض الحاجز الجهدى.

الحل: في حالة $E = 1 \text{ eV}$ لدينا

$$\kappa = \frac{\sqrt{2m(V_0 - E)}}{\hbar} = 1.0 \times 10^{10} \text{ m}^{-1}$$

و بما أن $a = 0.5 \text{ nm}$ لذا فإن $2\kappa a = 2 \times 1.0 \times 10^{10} \times 5 \times 10^{-10} = 10$.

$$T_1 = e^{-2\kappa a} = e^{-10} = 4.5 \times 10^{-5}$$

وهذا يعني أن إلكترون واحداً من كل 22000 إلكترون سيعبر الحاجز الجهدى. وهذه كما ترى إحتمالية تبدو قليلة لكن وجود عدد كبير من الإلكترونات العابرة وهو بمئات أوآلاف

الملايين يجعل تحقق هذه الظاهرة عملياً أمراً ممكناً. وبنفس الطريقة نحسب للحالة التي تكون فيها طاقة الإلكترونات $E = 2 \text{ eV}$ لنجد أن

$$T_2 = e^{-8.9} = 1.4 \times 10^{-4}$$

وهذه النتيجة أكبر ثلاثة أضعاف من السابقة.

أما في حالة توسيع الحاجز الجهدى ومضاعفة عرضه فإن النتيجة ستكون

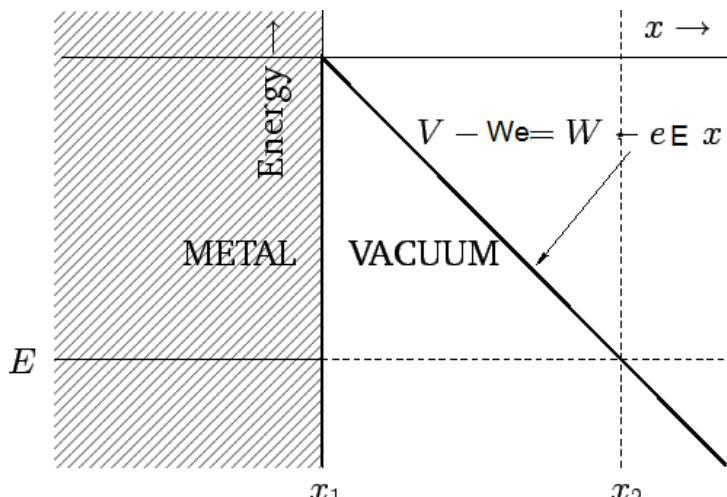
$$T_1 = 2.1 \times 10^{-9}, \quad T_2 = 1.9 \times 10^{-8}$$

وهذا يؤشر هبوطاً كبيراً في إمكانية النفاذ ومنه نتعلم أن عرض الحاجز له تأثير أكبر كثيراً مما لطاقة الجسيمات.

ظاهرة النفق الكومي Quantum Tunneling

تُعد ظاهرة التنفيق الكومي من الظواهر الكومومية المهمة وذلك لتطبيقاتها الكثيرة في عالم أشباه الموصلات والدوائر الإلكترونية الدقيقة. وتتلخص الظاهرة بعبور نسبة من الجسيمات لحاجز طاقة أكبر من طاقة الجسيمات أي $V_0 > E$. ومن الناحية الكلاسيكية فإن هذا مستحيل طبعاً إذ كيف يمكن لكرة منضدة مثلاً نلقبها على حائط إسمني أن تخترق؟ طبعاً هذا غير متوقع كما أنه غير ممكن كلاسيكيًا بالتأكيد. لكننا في العالم المجري نرى أن هذه الظاهرة تتحقق إذ كما رأينا في مسألة الحاجز الجهدى فإن الجسيمات يمكن أن تعبر الحاجز رغم أن طاقتها الكلية أقل من طاقة الحاجز. وهذه ظاهرة كومومية صرفة تتأسس أصلاً في الطبيعة الموجية للأشياء وفرضها الطبيعة الشائنة للأشياء العالم إذ تتجلى هذه الطبيعة في العالم المجري. وهناك تطبيقات عملية كثيرة لظاهرة التنفيق الكومي في عالم شبه الموصلات ولو لاها لم يكن عمل الدوائر الإلكترونية الدقيقة ممكناً ولما أمكن تطوير التقنيات المعاصرة لأجهزة الاتصالات والملايكروسكوبات الإلكترونية والأجهزة التي تستخدم هذه الظاهرة.

تعلمنا من ظاهرة التأثير الكهرومغناطيسي أن الإلكترونات تحتاج إلى قدر أدنى من الطاقة لكي تعبّر الحاجز الجهدى الممثل بالقوة التي تمسك بالإلكترونات وتشدّها داخل المادة. وهذا الحد الأدنى هو ما أسميناه دالة الشغل W . وبالتالي يمكن تصوّر الإلكترونات وكأنّها محصورة في صندوق كبير يحيط به حاجز جهدى ارتفاعه W . إن بالإمكان تخليص الإلكترونات من المادة بالتسخين وكذلك يمكننا تخليص الإلكترونات بتسلیط مجال كهربائي E قوي عليهما يكون إيجاده بحيث يطرد الإلكترونات بعيداً. وهذه الظاهرة تسمى الإنبعاث البارد Cold Emission. في مثل هذه الحالة تقل الطاقة الصغرى الالزامية لتخليص الإلكترونات وذلك لأن شغلاً يبذل المجال الكهربائي على الإلكترونات يساعد على إخراجها. هذا الشغل مقداره We وكان دالة الشغل تصبح $W - eEx$. إن مثل هذا الحاجز الجهدى سوف يتمثل بجهد مثلي كما في الشكل التالي



الشكل (7-4) الإنبعاث البارد

بالتالي فإن جميع الإلكترونات التي تمتلك طاقة أكبر من $W - eEx$ سوف تستطيع أن تهرب عبر هذا الجهد. وهنا نلاحظ أن دالة الشغل تتناقص كلما إزدادت شدة المجال الكهربائي E .

إن الحسابات الدقيقة باستخدام تقريرات WKB تظهر أن إحتمالية هروب الإلكترونات

هي

$$|F|^2 = \exp\left(-\frac{2\sqrt{2m}}{\hbar} \int_{x_1}^{x_2} \sqrt{V(x) - E} dx\right)$$

معنى أن

$$|F|^2 = \exp\left(-\frac{2\sqrt{2m}}{\hbar} \int_0^{W/eE} \sqrt{V(x) - eEx} dx\right)$$

وهذه يمكن تبسيطها إلى

$$|F|^2 = \exp\left(-\frac{2\sqrt{2m}W^{1/3}}{\hbar e E} \int_0^1 \sqrt{1-y} dy\right)$$

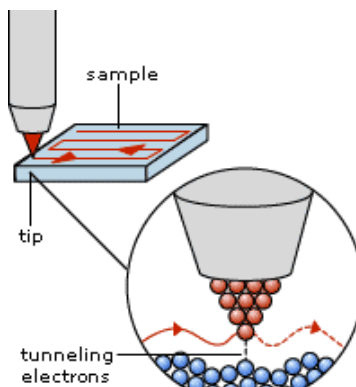
وبعد إجراء التكامل نجد النتيجة

$$|F|^2 = \exp\left(-\frac{4\sqrt{2m}}{3} \frac{W^{3/2}}{\hbar e E}\right)$$

تسمى هذه العلاقة صيغة فولر- نوردهايم ويلاحظ فيها أن فيض التنفيق يتناسب أسيّاً مع ما يجعل إعتمادية تيار الإلكترونات المتنفسة حساساً جداً لتغير المجال الكهربائي. وهذا بالضبط هو ما أتاح للفيزيائين التفكير في تصميم جهاز يمسح السطوح ويكشف عن تفاصيل دقيقة جداً تؤدي وبالتالي إلى رسم خارطة كونتورية للسطح تكشف عن تضاريسه الدقيقة. وهذا الإختراع هو مايكروسکوب المسح النفقي.

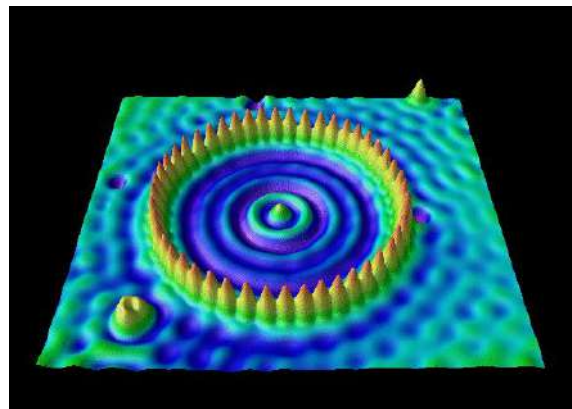
مايكروسکوب المسح النفقي

ويرمز له اختصاراً STM وهو مايكروسوب ماسح إلكتروني يقوم بتصوير السطح في ثلاثة أبعاد عبر مسحة ذرة ذرة. وتتألف تقنية هذا المايكروسكوب من إزميل ذي نهاية دقيقة جداً مكونة من ذرة واحدة توضع على مسافة صغيرة جداً من السطح المراد مسحه. وتنتمي ظاهرة التنفيق الكمومي لإبقاء المسافة بين السطح ونهاية الإزميل ثابتة أثناء عملية المسح كلها، إذ تغذى الإلكترونات المتنافقة دائرة كهربائية تسيطر على ارتفاع الأزميل عن السطح أثناء المسح. يعني هذا أن ظاهرة التنفيق الكمومي تحصل بين رأس الإزميل الدقيق والسطح، وهي التي تلعب الدور الحوي في تكنولوجيا هذا المايكروسكوب. ومن خلال تسجيل حركات الإزميل في ارتفاعه وهبوطه على نطاق السطح الممسوح نتمكن من تصوير طبوغرافية السطح بدقة الذرة الواحدة!! وهكذا يتمكن كمبيوتر صغير مرتبط بهذا المايكروسكوب من رسم خارطة كتورية (صورة) دقيقة جداً للسطح.



الشكل (4-7) عمل مايكروسكوب التنفيق الإلكتروني

إن التطبيقات العملية لマイكروسکوب السمح النفقي كثيرة تشمل دراسة التفاعلات الكيمياوية السطحية ودراسة تراكيب الجزيئات العضوية فضلاً عن دراسة دور العوامل الكيمياوية المساعدة في التفاعلات الكيمياوية فضلاً عن تطبيقات أخرى. وقد تم استخدام هذا النوع من المايكروسکوب في دراسة تراكيب وبنيات الحمض النووي DNA. والشكل أدناه صورة علوية مجسمة لذرة الحديد.



الشكل (4-8) صورة من نتاج ميكروسكوب التفقيك الإلكتروني

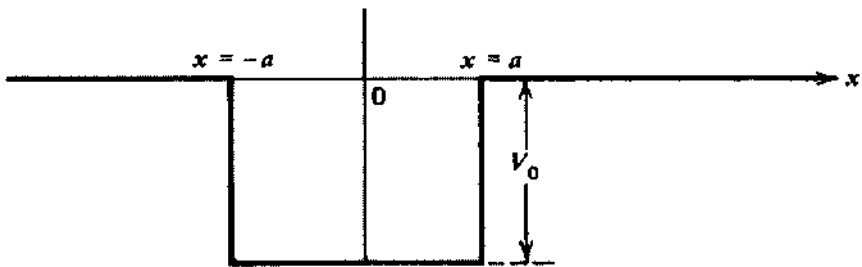
المسألة الرابعة: البئر الجهد المحدود في بعد واحد

ما هو البئر الجهد؟ إنه أي جهد سالب. وكل جهد سالب هو جهد جاذب بالضرورة. لذلك يمكن القول أن الإلكترون الواقع في الجهد الكهربائي للبروتون هو في بئر جهد. وكذلك الكوكب الواقع في الجهد الجاذبي للشمس هو في بئر جهد، حيث يكون الجهد في هذه الأحوال سالباً.

يمكن توصيف البئر الجهد رياضياً كما يلي

$$\begin{aligned}
 V &= 0 & x < -a \\
 &= -V_0 & -a < x < a \\
 &= 0 & x > a
 \end{aligned} \tag{4.47}$$

وبالرسم يكون شكل البئر الجهد كما يلي



الشكل (4-9) البئر الجهدية المحدود

هنا لدينا ثلاثة مناطق الأولى قبل البئر الجهدية والثانية داخل البئر الجهدية والثالثة بعده.
وإن معادلات شرودنجر لهذا النوع من الجهد هي

$$\begin{aligned}\psi_I(x) &= e^{ikx} + R e^{-ikx} \\ \psi_{II}(x) &= A e^{iqx} + B e^{-iqx} \\ \psi_{III}(x) &= T e^{ikx}\end{aligned}\tag{4.48}$$

حيث أن

$$k = \sqrt{\frac{2mE}{\hbar^2}}, \quad q = \sqrt{\frac{2m(E+V)}{\hbar^2}}\tag{4.49}$$

تحليل المسألة فيزيائياً

وكما في المسألة السابقة فيمكن وصف هذه الحلول على النحو التالي:
المنطقة الأولى: فيها دالة موجة (يمكن أن تكون حزمة من الجسيمات) ساقطة نحو البئر الجهدية وتتلقى زخماً خطياً قدره $p_I = \hbar k$ فيعكس قسم من هذه الجسيمات بنسبة قدرها $|R|^2$ والباقي يمر عبر البئر الجهدية.

المنطقة الثانية: وهي منطقة البئر الجهدية وعند دخول الجسيمات إليها يصبح زخمها $p_{II} = \hbar q$ وهو أكبر من زخم الجسيمات الداخلة إلى البئر الجهدية ($P_{II} > P_I$) لماذا؟ لكن بعض الجسيمات المارة عبر البئر الجهدية تتعكس عن حافته الثانية وتسير باتجاه اليسار وتمثلها دالة الموجة Be^{-iqx} وهنا نتوقع أن يحصل تكميم لطاقة الجسيمات (لماذا؟).

المنطقة الثالثة: بعد البئر الجهدية حيث تكون بعض الجسيمات قد عبرت وأكتسبت زخمها الأصلي ومضت في طريقها كموجة مستوية.

وكما فعلنا في المسألة السابقة فإن بالامكان حساب الثوابت التي في الحلول (4.48) بتطبيق الشروط الحدودية وهذه هي

$$\begin{aligned}\psi_I(-a) &= \psi_{II}(-a) \\ \left(\frac{d\psi_I(x)}{dx} \right)_{x=-a} &= \left(\frac{d\psi_{II}(x)}{dx} \right)_{x=-a} \\ \psi_{II}(a) &= \psi_{III}(a) \\ \left(\frac{d\psi_{II}(x)}{dx} \right)_{x=a} &= \left(\frac{d\psi_{III}(x)}{dx} \right)_{x=a}\end{aligned}\tag{4.50}$$

وبتطبيق هذه الشروط نحصل على

$$\begin{aligned}e^{-ika} + \operatorname{Re}^{ika} &= Ae^{-iqa} + Be^{iqa} \\ k(e^{-ika} - \operatorname{Re}^{ika}) &= q(Ae^{-iqa} - Be^{iqa}) \\ Ae^{qa} + Be^{-qa} &= Te^{ika} \\ q(Ae^{qa} - Be^{-qa}) &= kTe^{ika}\end{aligned}\tag{4.51}$$

ومن هذه المعادلات نتمكن من حساب الثوابت الضرورية التالية

$$R = ie^{-2ika} \frac{(q^2 - k^2)\sin 2qa}{2kq\cos 2qa - i(q^2 + k^2)\sin 2qa}\tag{4.52}$$

كذلك

$$T = e^{-2ika} \frac{2kq}{2kq\cos 2qa - i(q^2 + k^2)\sin 2qa} \quad (4.53)$$

يلاحظ أنه إذا كانت $E < V_0$ فإنه عمليا لا يوجد أي انعكاس للجسيمات عن البئر الجهدية نظرا لأن $k^2 \approx q^2$. على حين أنه في حالة أن تكون الطاقة الحركية للجسيمات قليلة جداً ($E \rightarrow 0$) فإن النفاذية تقول إلى الصفر. لكننا هنا نلاحظ خاصية مهمة ففي الحالة الخاصة التي يكون فيها $\sin 2qa = 0$ فإنه يحصل نفاذية كافية ولا يوجد أي انعكاس للجسيمات عن البئر الجهدية. في هذه الحالة يكون $2qa = n\pi$ وبالتالي فإن

$$E_n = -V_0 + \frac{n^2\pi^2\hbar^2}{8ma^2}, \quad n = 1, 2, 3, \dots \quad (4.54)$$

أي أنه عندما تكون طاقة الجسيمات بهذه المقادير فإنه يحصل نفاذية كافية للجسيمات عبر البئر الجهدية ولا ينعكس منها شيء. وكان أول من لاحظ هذه الخاصية الفيزيائياً رامساور وتاوزند عالم الليزر المعروف. وهذه الصفة يمكن تفسيرها بموجب تداخل دوالي الموجة المنعكسة داخل البئر الجهدية تدالحاً هداماً يتبع للأمواج الخارجية من العبور دون إعاقة فيحصل النفاذ الكلي. أي أنها هنا أزاء حالة من حالات التناغم أو الرنين .Resonance

الحالات المقيدة داخل البئر الجهدية

توصف الحالات المقيدة في البئر الجهدية بتلك الحالات المخصوصة فيه والتي تكون طاقتها الميكانيكية الكلية سالبة. الحالات المقيدة داخل البئر الجهدية فيزيائياً هي جسيمات مخصوصة فيه بقوى الجذب الماسكة لها مثل الإلكترونات في الذرة حيث تشكل هذه حالات سكونية Stationary States وهي حالات مراوحة فهي ليست ساكنة بل تراوح في حالها. دعنا نكتب

$$\frac{2mE}{\hbar^2} = -\alpha^2 \quad (4.55)$$

إن حلول دالة الموجة خارج البئر من جهة اليسار $-a < x$ هي

$$\psi(x) = C_1 e^{\alpha x} \quad (4.56)$$

وإن حلول دالة الموجة من جهة اليمين $x > a$ هي

$$\psi(x) = C_2 e^{-\alpha x} \quad (4.57)$$

لذلك يمكن كتابة الحل داخل البئر

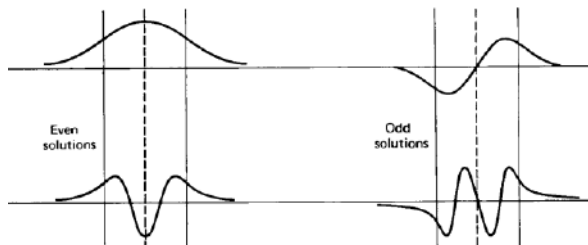
$$\psi(x) = A \cos qx + B \sin qx \quad -a < x < a$$

حيث أن

$$q^2 = \frac{2m}{\hbar^2} (V_0 - |E|) > 0$$

إن الجهد متوازن حول نقطة الأصل كما أن الطاقة الحركية منحفظة عند تغيير $x \rightarrow -x$ ولذا فإن الهايلتوني لا يتغير عند تبديل $x \rightarrow -x$ ولذا ينبغي النظر في الحلول بموجب تمايزيتها Parity. وبالنسبة للحلول الزوجية Even فإن الحل هو $C_2 = C_1$ أما الحلول الفردية فهي $C_2 = -C_1$ ويظهر من الشكل التالي أن الدالة مستمرة بحسب الشرط

$$\left(\frac{1}{\psi(x)} \frac{d\psi(x)}{dx} \right)_{-a} = \left(\frac{1}{\psi(x)} \frac{d\psi(x)}{dx} \right)_a$$



الشكل (4-4) حالات مقيدة في البئر الخطي

وفي حالة الحلول الزوجية تكون $B = 0$ وبالتالي يكون

$$-\alpha = -q \frac{\sin qa}{\cos qa}$$

أي أن

$$\alpha = q \tan qa \quad (4.58)$$

وفي حالة الحلول الفردية يكون $A = 0$ ونحصل على

$$-\alpha = q \frac{\cos qa}{\sin qa}$$

وهذا يعني أن

$$\alpha = -q \cot qa \quad (4.59)$$

ولكن دعونا الآن ننظر إلى هذه الحلول كل لوحده.

الحلول الزوجية: إذا عرفنا المتغيرات

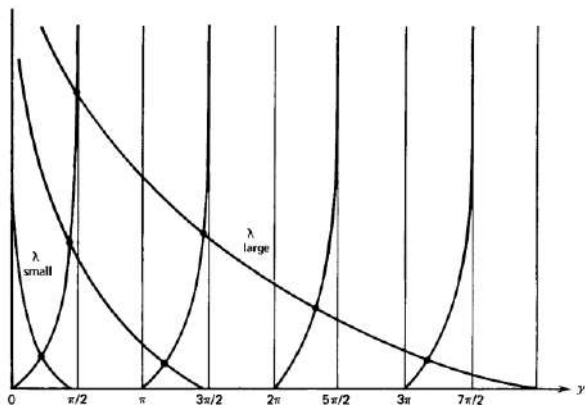
$$\lambda = \frac{2mV_0a^2}{\hbar^2} \quad (4.60)$$

$$y = qa$$

فإن العلاقة (4.59) تصبح

$$\frac{\sqrt{\lambda - y^2}}{y} = \tan y$$

إذا ما رسمنا $\tan y$ مقابل $y / \sqrt{\lambda - y^2}$ فإننا نحصل على الشكل التالي



الشكل (11-4) حلول مسألة الحالات المقيدة

وفيه تكون نقاط التقاءuntas هي القيم المخصوصة. ويوضح أيضاً أنه إذا كان الجهد أكثر عمقاً أو أكثر اتساعاً فإنه سيشتمل على عدد أكبر من الحالات المقيدة.

ومهما كانت قيمة λ صغيرة فإنه على الأقل لابد أن توجد حالة مقيدة واحدة. وإذا أزدادت قيمة λ فإن نقاط التقاءunas تصبح عند

$$y = (n + 1/2)\pi, \quad n = 1, 2, 3, \dots \quad (4.61)$$

الحلول الفردية: هنا تكون القيم المخصوصة هي

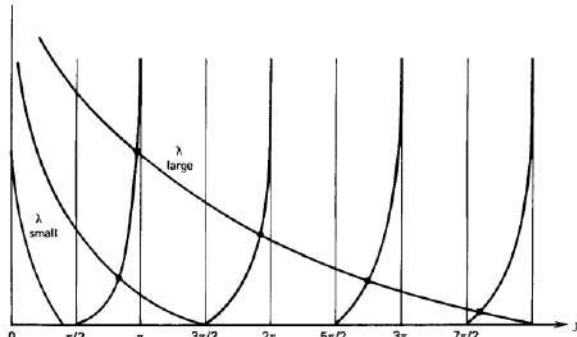
$$\frac{\sqrt{\lambda - y^2}}{y} = -\cot y$$

وبما أن $y = \tan(\pi/2 + \theta)$ فإن الرسم سيكون ماثلاً للرسم السابق بإزاحة قدرها $\pi/2$ ويكون التصرف في حالة أن تكون λ كبيرة هو

$$y = n\pi \quad n = 1, 2, 3, \dots \quad (4.62)$$

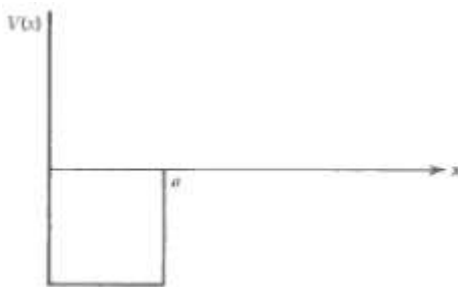
وسيكون هنالك تقاءuntas عند

$$\frac{2mV_0a^2}{\hbar^2} \geq \frac{\pi^2}{4}$$



الشكل (12-4) حلول الحالات المقيدة الزوجية

أن جميع الحلول الفردية تصبح صفرًأ عند النقطة $x=0$. ولذا فإن مسألة الحالات المقيدة للحلول الفردية ستكون مماثلة لمسألة الجهد الممثل بالشكل التالي



الشكل (13-4) تمثيل مسألة

المسألة الخامسة: المتذبذب التواقي البسيط

هذه واحدة من أهم مسائل الفيزياء لأنها تظهر لنا في كثير من مواضع الفيزياء الذرية والجزئية والنوية وفيزياء الحالة الصلبة والألكتروداباينميك وفيزياء الجسيمات الأولية ولا يكاد فرع من فروع الفيزياء يخلو من وجوه هذه المسألة.

إن الطاقة الكلية للمتذبذب التواقي تعطى في الصيغة الكلاسيكية كمجموع حددين: الأول للطاقة الحركية والثاني للطاقة الكامنة أو ما يسمى طاقة الوضع. ولذا فإننا نكتب

$$E = \frac{p^2}{2m} + \frac{1}{2}m\omega^2x^2 \quad (4.63)$$

وإذا ما أردنا كتابة هذه الصيغة وفقا لقواعد ميكانيك الكموم فإن الطاقة هي الهاamiltonي، والزخم الخطي p يصبح إجراء الزخم الخطي $-i\hbar \frac{d}{dx} = p$ وهكذا تكون لدينا معادلة الحركة للمتذبذب التواقي البسيط كالتالي

$$-\frac{\hbar^2}{2m} \frac{d^2\psi(x)}{dx^2} + \frac{1}{2}m\omega^2x^2\psi(x) = E\psi(x)$$

وإذا أعدنا ترتيب هذه المعادلة نحصل على صياغة أفضل كما يلي

$$\frac{d^2\psi(x)}{dx^2} + \left(\frac{2mE}{\hbar^2} - \frac{x^2}{x_0^4} \right) \psi(x) = 0 \quad (4.64)$$

حيث أن $x_0 = \sqrt{\frac{\hbar}{m\omega}}$ مقدار ثابت له وحدات المسافة.

خطوات عرضية لحل المسألة

لنقوم بحل هذه المسألة نظرا لأننا سنعاود معالجتها على نحو أكثر أناقة وضبطاً بطريقة الإجراءات في فصل قادم لكننا هنا نقدم عرضاً للحل التحليلي المعتاد لهذه المسألة. إن حل المعادلة التفاضلية (4.64) قد أنجز من قبل الرياضيين منذ زمن طويل والحل عبارة عن متعدد حدود هرمait. وإن ظهور الحد $(x)^{1/2}$ في المعادلة التفاضلية يرجح أن يكون الحل دالة غاويسية مثلاً $f(x) = \exp(-x^2/2x_0^2)$. ولو أنها عوضنا هذا الحل في المعادلة التفاضلية فإننا نحصل على معادلة تفاضلية للدالة $f'(x) = f$. وهذه المعادلة التفاضلية يجري حلها بنشر الدالة $f(x)$ كمفکوك قوى Power Series بدلالة x ، مثلاً

$$f(x) = \sum_n a_n x^n$$

وهذه المتسلسلة تعطينا علاقة تكرارية عند تعويضها في المعادلة

التفاضلية الأصلية. وعند فرض الشرط بأنهاء هذه المتسلسلة عند قيمة معينة فإننا نحصل على القيم المخصصة للطاقة وكما يلي

$$E_n = \left(n + \frac{1}{2} \right) \hbar \omega \quad n = 0, 1, 2, 3, \dots \quad (4.65)$$

كما يمكن عن هذا الطريق إثبات أن دوال الموجة المسموحة تأخذ الصيغة

$$\psi_n(x) = \frac{1}{\sqrt{\sqrt{\pi} 2^n n! x_0}} e^{-x^2/2x_0^2} H_n\left(\frac{x}{x_0}\right) \quad n = 0, 1, 2, 3, \dots \quad (4.66)$$

حيث أن الدوال $H_n(x)$ هي ما يسمى متعددات حدود هرمait Hermite وسنقوم بتحليل هذه الحلول عندما نعاود دراسة المسألة عن بطريقة Polynomials الإجراءات.

فيما يلي عدد من متعددات حدود هرمait

$$\begin{aligned} H_0(y) &= 1 \\ H_1(y) &= 2y \\ H_2(y) &= 4y^2 - 2 \\ H_3(y) &= 8y^3 - 12y \\ H_4(y) &= 16y^4 - 48y^2 + 12 \end{aligned} \quad (4.67)$$

المسألة السادسة: جهد الدلتا δ -function Potentials

تعزف دالة ديراك بأنها

$$\begin{aligned} \delta(x) &= 0 && \text{if } x \neq 0 \\ &= \infty && \text{if } x = 0 \end{aligned} \quad (4.68)$$

وهي تمثل مصدر نقطوي عند النقطة $x=0$ على المحور السيني. وبما يمكن تمثيل توزيع جميع الجهدات النقطية أي الصادرة عن كتلة أو شحنة نقطية. ولتعظيم الصياغة أعلاه يمكن أن نجعل النقطة هي $x=a$ بدلاً من $x=0$ وبهذا تكون

$$\begin{aligned}\delta(x-a) &= 0 && \text{if } x \neq a \\ &= \infty && \text{if } x = a\end{aligned}\quad (4.69)$$

من خصائص دالة دلتا مايلي

$$f(x)\delta(x-a) = f(a) \quad (4.70)$$

وبالتالي فإن

$$\int_{-\infty}^{\infty} f(x)\delta(x-a)dx = f(a) \quad (4.71)$$

ويعرف البغر الجهدى الدلتاوي في بعد واحد بأنه

$$V(x) = -\alpha\delta(x) \quad (4.72)$$

ولو أثنا عوضنا هذا في معادلة شرودنجر لحصلنا على

$$-\frac{\hbar^2}{2m} \frac{d^2\psi(x)}{dx^2} - \alpha\delta(x)\psi(x) = E\psi(x) \quad (4.73)$$

دعنا نفترض أن $E < 0$

في المنطقة $x < 0$ سيكون $V(x) = 0$ وبالتالي فإن معادلة شرودنجر تصير إلى

$$\frac{d^2\psi(x)}{dx^2} = \kappa^2\psi(x) \quad (4.74)$$

حيث أن $\kappa = \frac{\sqrt{-2mE}}{\hbar}$. وبما أن E سالبة فإن κ حقيقة ومحببة.

إن الحل العام للمعادلة هو

$$\psi(x) = Ae^{-\kappa x} + Be^{\kappa x} \quad (4.75)$$

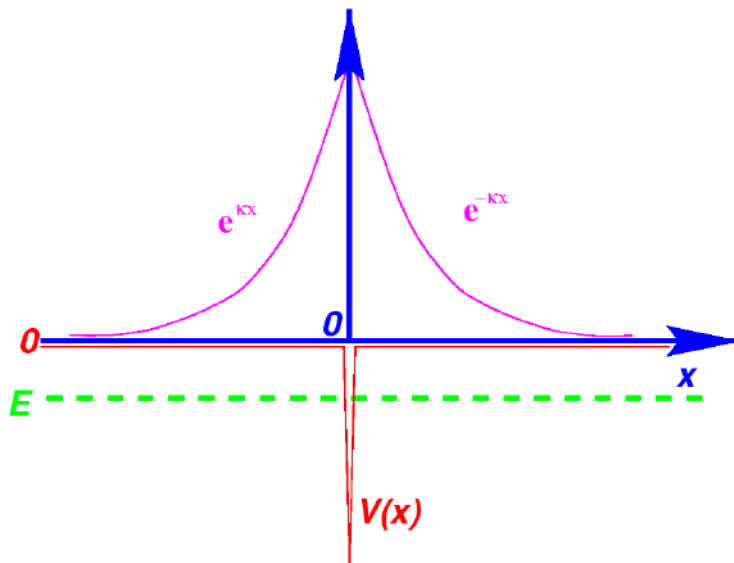
ونظرا لأن الحد الأول يصير إلى مالانهاية عندما $x \rightarrow -\infty$ فإن $A=0$ وبهذا يكون

$$\psi(x) = Be^{\kappa x} \quad x < 0 \quad (4.76)$$

في المنطقة $x > 0$ سيكون $V(x) = 0$ أيضا وبالتالي فإن حل معادلة شرودنجر العام

يكون $\psi(x) = Fe^{-\kappa x} + Ge^{\kappa x}$ إلا أن شرط المحدودية عند الملايينية يحذف الحد الثاني، وبالتالي يكون الحل الخاص لهذه الحالة هو

$$\psi(x) = Fe^{-\kappa x} \quad x > 0 \quad (4.77)$$



الشكل (4-4) جهد دالة الدلتا

إن هذه الحلول يمكن تقويمها إلى الوحدة. وبتطبيق الشروط الحدودية يكون لدينا

$$\left(\frac{d\psi(x)}{dx} \right)_{x=0+} - \left(\frac{d\psi(x)}{dx} \right)_{x=0-} = -\frac{2m\alpha}{\hbar^2} \psi(0) \quad (4.78)$$

وهذه المعادلة تعطينا $\kappa = \frac{2m\alpha}{\hbar^2}$ أي أن $\kappa - \kappa = -\frac{2m}{\hbar^2}\alpha$ وبالتالي فإن

$$E = -\frac{m\alpha^2}{2\hbar^2} \quad (4.79)$$

وهذه الصيغة كما هو واضح تعبر عن طاقة حالة مقيدة في بئر جهدي محدود. وبالتالي فإن الجسيم الجهد الدلتاوي (شحنة نقطوية مثلاً) السالب إنما يتمتع بنفس الصفات التي للجسيم في البئر الجهدي وكلاهما تماثل حالة الحسيم في صندوق من حيث بنية توزيع مستويات الطاقة.

أما دالة الموجة فإنها تتخذ الصيغة التالية

$$\psi(x) = Be^{-m\alpha|x|/\hbar^2}$$

ويمكننا الآن إيجاد ثابت التقويم B كما يلي

$$\int_{-\infty}^{\infty} |\psi(x)|^2 dx = 2 |B|^2 \int_0^{\infty} e^{-2\kappa x} dx = \frac{|B|^2}{\kappa} = 1$$

أي ان

$$B = \sqrt{\kappa} = \frac{\sqrt{m\alpha}}{\hbar}$$

بالتالي فإن

$$\psi(x) = \frac{\sqrt{m\alpha}}{\hbar} e^{-m\alpha|x|/\hbar^2}$$

وهنالك مسائل أخرى يمكن حلها على نفس المنوال للجهود الدلتاوية منها مسألة الجهد الدلتاوي المزدوج وهو الذي يمثل إلكترونا واقعا بين بروتونين مثل جزيئة الهيدروجين المتأينة.

أسئلة مفاهيمية للفصل الرابع

ما المقصود بالجهد Potential وما الذي يتسبب عنه؟

هل الجهد اللانهائي Infinite Potential واقعي؟ وكيف يمكن القول بوجود جهد لانهائي؟
للحجسيم الحصوري في صندوق حالات يمكن كثيرة فما هذه الحالات وما عددها؟ وهل يمكن
التعبير عن هذه الحالات بأمواج دي بروي؟ كيف؟

ما الذي يحصل لزخم الحجسيم الداخل الى جهد سالب. وما الذي يحصل لموجته؟ وما الذي
يحصل للحجسيم الداخل الى جهد موجب وما الذي يحصل لموجته؟ إرسم الحالتين للمقارنة.

ما الحالات المقيدة؟ وما يكون سبب تقييدها عادةً؟

ما المقصود بالتنفيذ الكومومي وهل يمكن أن يحصل التنفيذ الكومومي لwavefunction حقيقة خالصة
ليس فيها جزء خيالي. ووضح ذلك رياضياً؟

إضرب مثلاً لتذبذب توافقي كومومي.

إضرب مثلاً لجهد دلتاوي مزدوج.

مسائل الفصل الرابع

س1) جسيم في حالة متراوحة stationary state يوصف بدالة الموجة

$$\begin{aligned}\psi(x) &= 0 & x < -a \\ &= A(1 + \cos \pi x/a) & -a \leq x \leq a \\ &= 0 & x > a\end{aligned}$$

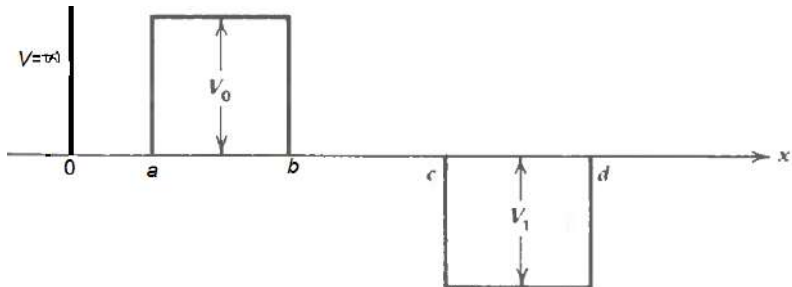
حيث أن A و a هي كميات حقيقة.

هل يمكن أن تمثل هذه الدالة نظاماً فيزيائياً؟

أوجد قيمة ثابت التقويم A .

إحسب Δx و Δp وحققت أن $\Delta x \Delta p \geq \hbar/2$.

س(2) دون الحاجة إلى الدخول في حل معادلة شرودنجر حاول أن تتوقع الحلول الممكنة في الأنظمة المبينة في الشكل التالي



س(3) إحسب معامل الانعكاس عن عتبة جهدية إذا علمت أن زخم الجسيم داخل الجهد هو نصف زخمه الحر قبل دخوله إلى الجهد.

س(4) إذا كان لديك

$$\begin{aligned} V(x) &= 0 & 0 < x < a \\ &= \infty & \text{elsewhere} \end{aligned}$$

إحسب طاقة الإلكترون بالإلكترون فولط في صندوق ذي بعد واحد عرضه $a = 10^{-10}$ متر.

إحسب طاقة كرة معدنية كتلتها 1غم في صندوق عرضه 10سم.

استخدم مبدأ الالدقة لتقدير سرعة الإلكترون وسرعة الكرة المعدنية في هذا السؤال.

س(5) إذا كان لديك جسيم في صندوق صلب ذي بعد واحد قدره a وكان فيه الإلكترون في الحالة الدنيا للطاقة وحصل أن توسع الصندوق فجأة ليصبح مقدار بعده $4a$. إحسب

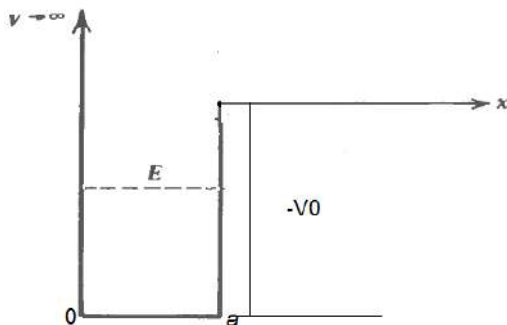
إحتمالية أن تجد الإلكترون في (أ) الحالة الدنيا للطاقة في الصندوق الجديد. (ب) الحالة المثارة الأولى للصندوق الجديد.

س6) استخدم مبدأ الالادقة لبيان أن الطاقة الدنيا للمتذبذب التواقي الذي يتحرك في المدى $-a/2 \leq x \leq a/2$ هي $\hbar\omega/2$.

س7) إحسب إحتمالية إيجاد الجسيم في المنطقة المحسورة كلاسيكياً للمتذبذب التواقي للحالات $n = 0,1,2,3,4$. وهل أن النتيجة متوافقة مع الحالة الكلاسيكية؟

س8) إذا كان لديك جهد كالذى في الرسم التالي والموصوف بالحدود

$$\begin{aligned} V(x) &= \infty & x \leq 0 \\ &= -V_0 & 0 \leq x \leq a \\ &= 0 & x \geq a \end{aligned}$$



(أ) جد دالة الموجة في جميع المناطق

(ب) جد قيم الطاقة الممكنة بحل المعادلة باستخدام تقاطع المنحنيات

(ج) إحسب القيمة الدنيا للجهد بحيث تكون هنالك حالة مقيدة واحدة في البئر الجهدى ومنها أوجد أقل قيمة للجهد لكي يحتوي البئر الجهدى n من الحالات المقيدة.

س(9) جسيم كتلته m ألقى في بركة ماء. ماذا تمثل البركة للجسيم في حالة إهمال قوة الجاذبية الأرضية إذا كانت عميقه جداً؟ أكتب معادلة شرودنجر لهذه الحالة. (فائدة: مثل ماء البركة على بصيغة جهد ثابت)

ماذا تمثل البركة في حالة وجود الجاذبية الأرضية إذا كان عمقها محدوداً؟ أكتب معادلة شرودنجر لهذه الحالة. (فائدة: مثل ماء البركة على بصيغة جهد سالب يتناسب مع العمق)

س(10) إذا علمت أن أقصى طول موجي يمكن أن يحتويه صندوق ذي بعد واحد هو نصف طول موجة دي بروي للجسيم. استخدم هذه المعلومة لحساب الطاقة الصغرى لجسيم محصور في صندوق ذي بعد واحد مقداره L .

س(11) أكتب الhamiltonيات التالية

- جسيم حر يتحرك في ثلاثة أبعاد.
- جسيم في جهد سالب ثابت المقدار.
- إلكترون في جهد كهربائي لبروتون.
- جسيم في جهد معتمد على الزمن.
- جسيم مشدود في زنبرك يتحرك على المحور Z .

الفصل الخامس

البنية الرياضية لميكانيك الكم

إن الصياغة الرياضية التي تقدمها معادلة شرودنجر لمعادلة الحركة في ميكانيك الكموم هي صياغة قائمة على التصور الموجي للنظم الفيزيائية إذ تتخذ دالة الموجة فيها صيغة رياضية تعتمد بموجبها على المكان والزمان أو على المكان فقط في حالة كون النظام لا يعتمد على الزمن. وفي هذه الصياغة فإن معادلة شرودنجر هي معادلة موجة ذات وضع خاص وبالأحرى هي معادلة إنتشار Diffusion Equation. ونظرا لأن ميكانيك الكموم مختلف في كثير من السمات عن الميكانيك الموجي ولغرض اعطاء الموضوع شخصيته المتكاملة فقد صار إلى صياغة مفاهيم وقوانين هذا العلم بالإعتماد على فضاء هليبرت تأسيسا للبنية الرياضية إذ يتخد من فضاء هليبرت مسرحا لعمليات ميكانيك الكموم حيث تلعب الأدوار فيه متوجهات الحالة State Vectors والإجراءات Operators.

الفرض الأساسية لميكانيك الكموم

بعدما تمكّن الفيزيائيون النظريون من تشخيص الصفة الكمومية للمتغيرات الفيزيائية في العالم المجهري وبعد أن تم تكوين معادلة الحركة في ميكانيك الكموم والتي هي معادلة شرودنجر، ظهر التوجه نحو بناء صياغة شمولية لميكانيك الكموم. هذه الصياغة التي وضعت أمامها خمسة فروض أو مسلمات أساسية تم استخلاصها من التجارب العملية والمعالجات النظرية التي أوضحتها في الفصول السابقة من هذا الكتاب. هذه الفروض ستعرضها في مستهل هذا الفصل ثم نعمل على استعمالها فيما يلي من الفصل لنقيم بها البنية الرياضية والمضمون الفيزيائي الأساسي لنظرية الكموم.

الفرض الأول: حالة النظام

إن حالة أي نظام فيزيائي عند زمن t تتمثل بمتوجه حالة State Vector في فضاء هيلبرت \mathcal{H}_n وإنها تحتوي على كافة المعلومات التي تحتاجها عن النظام. وإن هذه الحالة هي نتاج تراكب جميع الحالات الممكنة للنظام.

الفرض الثاني: الملاحظات والإجراءات

لكل كمية فيزيائية قابلة للقياس (ملحوظ Observable) إجراء هرماتي يقابلها، وتتألف المتجهات المخصوقة لذلك الإجراء مجموعة كاملة Complete Set. مثال ذلك الطاقة الكلية هو E فلهذا الملحوظ إجراء يقابلها وهو الهاamiltonي H بحيث يكون

$$H |\psi_n\rangle = E_n |\psi_n\rangle$$

في هذه الحالة تتألف \mathcal{H}_n وهي المتجهات المخصوقة للهاamiltonي مجموعة كاملة Complete Set.

الفرض الثالث: القياسات والقيم المخصوقة

إن عملية قياس أي ملحوظ فيزيائي تتم عبر إعمال الإجراء المقابل له على متوجه الحالة (x) وإن النتيجة الممكنة هي واحدة من القيم المخصوقة لهذا الإجراء والتي تكون قيماً حقيقة، وإن حالة النظام تصير إلى الحال المقابلة لتلك القيمة المخصوقة فور إجراء عملية القياس.² وهذا تعبير عن كيفية ظهور قيمة معينة من تلك القيم المخصوقة الممكنة.

الفرض الرابع: الطبيعة الإحتمالية لنتائج القياسات

² لقد فسرت مدرسة كوبنهاغن التي يترعها نيلز بور وفيذرز هيزنبرغ هذا الفرض على أنه يتضمن القول بإسقاط متوجه الحالة (دالة الموجة) على الحالة القائمة للنظام. لكن هذا التفسير رغم شيوخه يبقى موضع جدل وخلاف.

نتائج القياسات الكمومية إحتمالية جوازية ولا سبيل الى قياسها بدقة لا نهائية إلا إذا كان النظام أصلا في الحال التي هو عليها.³

الفرض الخامس: التطور الزمني للنظام

يجتكم النظام الفيزيائي اللانسيوي الى معادلة شرودنجر المعتمدة على الزمن في تحديد ما ستؤول اليه الحالة. وهذه هي

$$H |\psi(x,t)\rangle = i\hbar \frac{\partial |\psi(x,t)\rangle}{\partial t}$$

وهذا يعني أن التطور الزمني لمتجه الحالة سيكون محاكمـاً بالهامiltonي أي بالعامل $e^{-iH(t-t_0)/\hbar}$. وهذا أمر منطقي طبعاً.

هذه هي الفروض أو المسلمات الخمسة الأساسية لميكانيك الكموم وعليها تقوم صياغات البنية الرياضية التي سنقدمها فيما يلي من بنود هذا الفصل والذي يليه.

الفضاء المتجهي الخطـي Linear Vector Space

نعلم أن الكميات الفيزيائية التي نتعامل معها في الفيزياء الكلاسيكية تنقسم إلى متجهات Scalars وأعداد Vectors وتوجد كميات أخرى قلما نتعامل معها تسمى الممتدات Tensors مثل مركبات عزم القصور الذاتي. ويُعرف المتجه بأنه أي كمية لها مقدار وإنجاح، مثل ذلك القوة أو الزخم الزاوي أو العزم. ويتم نشر المتجه في ثلاثة أبعاد مكانية كما يلي

$$\mathbf{V} = \sum_{i=1}^3 e_i V_i \quad (5.1)$$

³ هكذا هو الفرض السائد في تفسير مدرسة كوبنهاغن، وهذه قضية خلافية إلا أنني أرى أن نتائج القياس الكمومي إحتمالية جوازية في كل الأحوال نظراً لأن تقلب النظم الفيزيائية على الأحوال الممكنة يحصل بسرعة كبيرة حتى لا تتمكن آلة القياس من إدراك المقياس عند حالة معينة ولو وقع ذلك لأمكننا تحقيق تأثير زينو الكمومي وهي مسألة سيم مناقشتها في الجزء الثاني من الكتاب.

حيث تمثل الكميات V المركبات الثلاثة للمتجه، وتتمثل $\{e_i\}$ مجموعة كاملة من الأسس المقومة والمعتمدة على بعضها تقع على محاور نظام الإحداثيات، ولكل منها قيمة وحدة واحدة أي هي متجهات الوحدة Unit Vectors المتعامدة على بعضها؛ مثلاً في نظم الإحداثيات الديكارتية يكون لدينا $(\mathbf{i}, \mathbf{j}, \mathbf{k})$ لهذا نقول عنها مجموعة متعامدة كاملة. وشرط التعامد والتقويم معاً (التعوييم) Orthonormality هو

$$\mathbf{e}_i \cdot \mathbf{e}_j = \delta_{ij} \quad (5.2)$$

ولغرض التعامل مع المتجهات يجري تعريف ما يسمى المضروب القياسي Scalar (أو العددي) بين أي متجهين كما يلي

$$\mathbf{V} \cdot \mathbf{U} = VU \cos\theta \quad (5.3)$$

ونعلم أيضاً أن أي مركبة للمتجه \mathbf{V} يمكن تحصيلها بالضرب القياسي لمتجه الوحدة مع المتجه نفسه فيكون

$$\mathbf{e}_j \cdot \mathbf{V} = \sum_i (\mathbf{e}_j \cdot \mathbf{e}_i) V_i = \sum_i V_i \delta_{ij} = V_j \quad (5.4)$$

إن التذكير بهذه المعلومات الأولية ضروري لفهم ما سيأتي.

شروط الفضاء المتجهي الخطّي Linear Space

إن الفضاء المتجهي الخطّي يتتألف من مجموعتين من العناصر وقاعدتين للتأليف:

مجموعة المتجهات مثل $a, b, c, \dots, \chi, \phi, \psi$ ومجموعة الأعداد مثل \dots, \dots, \dots

أما قاعدتي التأليف فهما قاعدة الجمع وقاعدة الضرب

قاعدة الجمع: وهذه تقضي بما يلي

إذا كان $\langle \psi |$ و $\langle \phi |$ متجهين (عنصرين) في الفضاء فإن مجموعهما أي $\langle \psi | + \langle \phi |$ هو عنصر ثالث في الفضاء نفسه.

التبادلية: وتعني أن $|\psi\rangle + |\phi\rangle = |\phi\rangle + |\psi\rangle$
 الإشتراك: ويعني أن $(|\psi\rangle + |\phi\rangle) + |\chi\rangle = |\psi\rangle + (|\phi\rangle + |\chi\rangle)$
 وجود الصفر: ويعني هذا ضرورة وجود متوجه صفرى $|0\rangle$ بحيث يكون
 $. |\psi\rangle + |0\rangle = |0\rangle + |\psi\rangle$
 وجود المعكوس الجمعي لكل عنصر (متوجه) في الفضاء مثل $|\phi\rangle -$ بحيث يكون
 $. |\phi\rangle + (-|\phi\rangle) = |0\rangle$.

قاعدة الضرب: وهذه القاعدة تنظم ضرب المتجهات بالأعداد. بصورة عامة تقول القاعدة (أ) أنه إذا كان $|\psi\rangle$ و $|\phi\rangle$ هما متجهان في الفضاء فإن مجموعهما الخطى $|\phi\rangle + b|\psi\rangle$ هو متجه ثالث ينتمي إلى الفضاء نفسه. وعلى هذا الأساس يعتمد التوزيع الخطى في قاعدة الضرب كما يلي:

$$a(|\psi\rangle + |\phi\rangle) = a|\psi\rangle + a|\phi\rangle$$

$$\text{وكذلك } .(a+b)|\psi\rangle = a|\psi\rangle + b|\psi\rangle$$

(ب) أما المشاركة في قاعدة الضرب الخطى فهي

$$a(b|\psi\rangle) = (ab)|\psi\rangle = ab|\psi\rangle$$

(ت) كما يتوجب وجود عنصر في الفضاء يمثل عنصر الوحدة unitary وكما يلي:
 $|\psi\rangle I = |\psi\rangle$ ومن المفهوم أن ضرب أي عنصر من عناصر الفضاء بالمتوجه الصفرى ينتج صفرأً.

هذه هي اشتراطات الفضاء المتتجهي الخطى. وعليها يمكن تأسيس فضاء بأي عدد كان من الأبعاد. ومن هذه الفضاءات الخطية فضاء إقليidis الثلاثي الأبعاد وفضاء هلبرت الذي سندرسها في هذا الفصل.

الاستقلال الخطي وأبعاد الفضاء

إذا توفر لدينا مجموعة من متجهات $A_1, A_2, A_3, \dots, A_n$ ليس منها صفرى فإن هذه المتجهات يقال عنها مستقلة خطياً Linearly Independent إذا ما كان حل المعادلة

$$\sum_{i=1}^N a_i A_i = 0 \quad (5.6)$$

هو $a_1 = a_2 = \dots = a_n = 0$ حسراً. أي أن كل حد من حدود المعادلة أعلاه يكون صفرأً بذاته.

مثال: بين أي مجموعة من المتجهات الإقليدية التالية هي مجموعة خطية واي منها غير خطية؟

(a) $A = (3,0,0), B = (0,-2,0), C = (0,0,-1)$

(b) $A = (6,-9,0), B = (-2,3,0)$

(c) $A = (2,3,-1), B = (0,1,2), C = (0,0,-5)$

(d) $A = (1,-2,3), B = (-4,1,7), C = (0,1,0,1,1), D = (14,3,-4)$

الحل: إن المجموعة الأولى هي متجهات خطية بالتأكيد. نستدل على ذلك كما يلي:

$$a_1 A + a_2 B + a_3 C = 0 = 3ia_1 - 2ja_2 - ka_3$$

و بما أن المتجهات الأساسية مستقلة فإن حل المعادلة أعلاه هو

$$a_1 = a_2 = a_3 = 0$$

أما المجموعة الثانية فلدينا

$$a_1 A + a_2 B = 0 = (6a_1 - 2a_2)i + (-9a_1 + 3a_2)j$$

وهذا يعني أن

$$(6a_1 - 2a_2) = (-9a_1 + 3a_2) = 0$$

وهذا يعني أن $a_1 = 3a_2$ ، وهذا واضح من صيغة المتجهين فإن $A = -3B$.

وهكذا يمكننا فحص المجموعة الثالثة والرابعة وأنترك هذا للطالب.

فضاء هيلبرت Hilbert Space

وإذا توفرت لدينا مجموعة كاملة من متجهات أساسية Basis Vectors فإن بامكاننا تكوين فضاء هيلبرت ابعاده بعد تلك المتجهات الأساسية. ففضاء هيلبرت هو الفضاء الرياضي الذي يؤسس للبنية التحتية لنظرية الكموم في واحدة من أفضل صياغاتها الرياضية. وهو فضاء خطي متجهي Linear Vector Space، لا نهائي الأبعاد بصورة العامة ويمكن أن يكون محدود الأبعاد أيضاً.

يعرف المتجه Vector في فضاء هيلبرت بأنه دالة معقدة Complex Function للزمان والمكان. وهكذا يمكن أن تكون المتجهات الأساسية Basis Vectors للفضاء دوال معقدة أيضاً.

رمز إلى المتجه في فضاء هيلبرت بالرمز $|\psi\rangle$ ويسمى كت بساي ket-Psi والمتجه في فضاء هيلبرت يمكن تمثيله بمصفوفة عمودية أبعادها هي أبعاد الفضاء $\times 1$. مثلاً

$$|\psi\rangle = \begin{pmatrix} a \\ b \\ . \\ . \\ n \end{pmatrix} \quad (5.7)$$

ونرمز لقرین المتجه $\langle\psi|$ بالرمز $|\psi\rangle^*$ وتسماى القرین الهرمائي Hermitian Conjugate وهي مصفوفة أفقية عواملها مؤلفة من القرائن المعقدة لعوامل مصفوفة $|\psi\rangle$ ذلك أن $\langle\psi| = |\psi^*|^T$

حيث يرمز الحرف T إلى الابدال Transpose وبالتالي فإن $|\psi\rangle$ هو مصفوفة أفقية أبعادها $1 \times$ أبعاد الفضاء. مثلاً

$$\langle\psi| = \begin{pmatrix} a^* & b^* & . & n^* \end{pmatrix} \quad (5.9)$$

تسمى الرموز برا . كت التي استعملناها هنا رموز ديراك Dirac Notations نسبة الى عالم الفيزياء ديراك.

إن مجموعة متجهات الكت $\{|\psi\rangle\}$ تؤلف فضاء هيلبرت المسمى فضاء الكت-ket Space فيما تؤلف مجموعة متجهات البرا $\{|\psi\rangle\}$ فضاء هيلبرت القرين Dual Space وهذين الفضائيين متناظرين حيث أن لكل كت هنالك برا مفردة ولكل برا يوجد كت مفردة. ومن خصائص المتجهات والمتتجهات القرينة ما يلي

$$|a\psi\rangle = a|\psi\rangle, \quad \langle a\phi| = a^* \langle \phi|$$

لاحظ أنه لا معنى للمضروبات $|\psi\rangle|\phi\rangle$ ، $\langle\phi|\psi\rangle$ فهذه لامعنى لها في فضاء هيلبرت.

المضروب القياسي في فضاء هيلبرت Scalar Product

يُعرف المضروب القياسي لمتجهين $|\psi\rangle$ و $|\phi\rangle$ في فضاء هيلبرت بأنه مسقط أحد المتجهين على الآخر أي أنه $\langle\phi|\psi\rangle$. وهذا يعني أن المضروب القياسي للمتجهين هو تكامل تداخل المتجهين خلال المدى المقصود لهما، أي

$$\langle\phi|\psi\rangle = \int \phi^* \psi dx \tag{5.10}$$

ولا يوجد ضرب متتجهي لمتجهات هيلبرت. لاحظ أن

$$\langle\phi|\psi\rangle = \langle\psi|\phi\rangle^* \tag{5.11}$$

ويُعرف المتتجه المقوم بأنه الذي يكون مضروبه القياسي مع نفسه يساوي واحد صحيح.

$$\langle\psi|\psi\rangle = \int \psi^* \psi dx = \int |\psi|^2 dx = 1 \tag{5.12}$$

وباستخدام (5.7) و (5.9) نجد أن

$$\langle\psi|\psi\rangle = |a|^2 + |b|^2 + \dots + |n|^2 = 1 \tag{5.13}$$

كما تُعرف المتجهات المتعامدة المقومة Orthonormal بأنها التي تنتج عن مجموعها القياسي دالة دلتا كرونيكر وكما يلي

$$\langle \psi_m | \psi_n \rangle = \delta_{mn} \quad (5.14)$$

المضروب المباشر Direct product

إن المضروب المباشر لمتجهين يعني ضرب عناصرهما ببعضهما كافة مثلاً

$$|\psi\rangle\langle\phi| = \begin{pmatrix} a_1 \\ a_2 \\ \vdots \\ \vdots \end{pmatrix} \begin{pmatrix} b_1^* & b_2^* & \dots \\ \dots & \dots & \dots \end{pmatrix} = \begin{pmatrix} a_1 b_1^* & a_1 b_2^* & \dots \\ a_2 b_1^* & a_2 b_2^* & \dots \\ \vdots & \vdots & \ddots \end{pmatrix} \quad (5.15)$$

أي أن المضروب المباشر لمتجهين في فضاء هيلبرت هو مصفوفة مربعة وهذا هو إجراء كما سيوضح لنا.

سوية المتجه Norm of Vector

لكل متجه في الفضاء الإقليدي مقدار وإتجاه وفي فضاء هيلبرت يرمز مقدار المتجه بالرمز $|\psi|$ ، ويسمى سوية المتجه Norm of Vector. أما الإتجah فيعوض عنه بدلاله الطور Phase. وتسمى الكمية $\langle \psi | \psi \rangle$ مربع سوية المتجه، ويرمز لها $|\psi|^2$ وهي تساوي مجموع مربعات مركبات المتجه تماماً كما في الفضاء الإقليدي وهذا موضح في المعادلة .(5.13)

مثال(1): لديك المتجهين

$$|\psi\rangle = \begin{pmatrix} -3i \\ 2+i \\ 4 \end{pmatrix}, \quad |\phi\rangle = \begin{pmatrix} 2 \\ -i \\ 2-3i \end{pmatrix}$$

إحسب $|\phi\rangle\langle\phi|$ ، $\langle\psi | \psi \rangle$ ، $\langle\phi | \psi \rangle$

الحل:

$$\langle \phi | = \phi^* >^T = (2 \quad i \quad 2+3i)$$

والآن

$$\langle \phi | \psi \rangle = (2 \quad i \quad 2+3i) \begin{pmatrix} -3i \\ 2+i \\ 4 \end{pmatrix} = 7+8i$$

وكذلك نحسب

$$|\phi\rangle\langle\psi| = \begin{pmatrix} 2 \\ -i \\ 2-3i \end{pmatrix} (3i \quad 2-i \quad 4) = \begin{pmatrix} 6i & 4-2i & 8 \\ 3 & 1-2i & -4i \\ 9+6i & 1-8i & 8-12i \end{pmatrix}$$

مثال: لديك المتجهين $|\psi\rangle = 2i|\phi_1\rangle + |\phi_2\rangle - a|\phi_3\rangle + |\phi_4\rangle$ و

$$|\chi\rangle = 3|\phi_1\rangle - i|\phi_2\rangle + 5|\phi_3\rangle - |\phi_4\rangle$$

(أ) لو فرضنا أن المتجهين متعامدين فما قيمة a ؟

الحل: نأخذ المضروب القياسي للمتجهين مع بعضهما ونساويه للصفر طالما أن المتجهين متعامدين. وهكذا يكون

$$\langle \chi | \psi \rangle = 0$$

$$= (3\langle \phi_1 | + i\langle \phi_2 | + 5a\langle \phi_3 | - \langle \phi_4 |)(2i|\phi_1\rangle + |\phi_2\rangle - a|\phi_3\rangle + |\phi_4\rangle)$$

$$= 7i - 5a - 1 = 0$$

$$\text{وهذا يعني أن } a = (7i - 1)/5$$

(ب) قوم المتجهين أعلاه.

نشر المتجهات في فضاء هيلبرت

إذا توفرت مجموعة كاملة من متجهات أساسية Basis Vectors متعامدة ومقومة مثل $\{u_n\}$ فيمكن أن تؤلف منها فضاء هيلبرت أبعاده هي بعدد تلك المتجهات الأساسية. إذن يكون لدينا

$$\langle u_m | u_n \rangle = \delta_{mn} \quad (5.16)$$

و عندئذ يمكننا أن ننشر أي متجه بدلالة مركباته على الأسس المعينة كما يلي

$$|\psi\rangle = \sum_n a_n |u_n\rangle \quad (5.17)$$

حيث أن a_n هي أعداد معقدة تمثل معاملات المفوك و هي في الحقيقة تمثل مركبات المتجه تمامًا كما هو الحال في الفضاء التجهي الحقيقي الإقليدي.

و يمكن إيجاد هذه الأعداد باستخدام شرط التعامد في (5.16) وكما يلي

$$\langle u_m | \psi \rangle = \sum_n a_n \langle u_m | u_n \rangle = \sum_n a_n \delta_{mn} = a_m \quad (5.18)$$

من الواضح أن a_n يمثل قيمة مسقط المتجه العام $\langle \psi | u_n \rangle$ على المتجه الأساس $|u_n\rangle$. أي مقدار الإشتراك بينها. وهكذا فإن كانت $\langle u_n |$ تمثل أحوالاً مختلفة للنظام الذي تعبّر عنه $\langle \psi |$ فإن $|a_n|^2$ سوف تمثل مقدار إحتمالية أن تكون $|\psi\rangle$ في الحالة $|u_n\rangle$.

والآن وباستخدام حقيقة أن المضروب القياسي للمتجه مع نفسه يساوي واحد صحيح يمكننا استنباط معلومة جديدة بخصوص الأعداد a_n . حيث أن

$$\begin{aligned} \langle \psi | \psi \rangle &= \sum_m \sum_n a_m^* a_n \langle u_m | u_n \rangle = \sum_m \sum_n \delta_{mn} a_m^* a_n \\ &= \sum_n |a_n|^2 = 1 \end{aligned} \quad (519)$$

وهكذا نجد أن مجموع مربعات مركبات المتجه المقوم تساوي واحد صحيح. وهو تعبير عن حقيقة أن الإحتمالية الكلية ليكون النظام في أي من حالاته المختلفة هي واحد صحيح

فهو لا بد أن يكون في واحدة من الحالات الممكنة دون شك مهما اختلفت قيمة احتمالية كونه في تلك الحالات. والمثال التالي سيوضح هذا المفهوم.

شرط الإكمال Completeness Condition

ما هو الشرط الرياضي الذي يجعلنا نقبل بأن مجموعة الأسس $\{ |u_n \rangle \}$ هي مجموعة كاملة؟ لننظر في نظرية المتجه $|\psi\rangle$ لدينا من (5.17)

$$|\psi\rangle = \sum_n a_n |u_n\rangle \quad (5.20)$$

ولدينا من (5.18)

$$a_n = \langle u_n | \psi \rangle$$

بالتالي فإن

$$|\psi\rangle = \sum_n \langle u_n | \psi \rangle |u_n\rangle = \sum_n |u_n\rangle \langle u_n | \psi \rangle \quad (5.21)$$

وهذا يعني أن

$$\sum_n |u_n\rangle \langle u_n| = 1 \quad (5.22)$$

يسمي هذا شرط الإكمال مكتوباً بالصيغة المتجهية وبه نتأكد أن مجموعة الأسس التي استعملناها كاملة. وسنرى لاحقاً أن المضروب المباشر $|u_n\rangle \langle u_n|$ يمثل إجراءً جديداً مهمّاً يسمى إجراء الإسقاط.

مثال: خذ نظاماً مؤلفاً من خمسة متجهات أساسية متعامدة وكما يلي

$$|\psi\rangle = \frac{1}{\sqrt{19}} |\phi_1\rangle + \frac{2}{\sqrt{19}} |\phi_2\rangle + \sqrt{\frac{2}{19}} |\phi_3\rangle + \sqrt{\frac{3}{19}} |\phi_4\rangle + \sqrt{\frac{5}{19}} |\phi_5\rangle$$

إحسب معامل التقويم لهذا المتجه؟

ما إحتمالية أن يكون النظام في أي من الحالات الخمسة؟

الحل: (أ) نلاحظ أولاً أن $\langle \psi | \psi \rangle$ غير مقومة. وبالتالي يجب حساب $\langle \psi | \psi \rangle$

بحيث تكون $\langle \psi | \psi \rangle$ مقومة وهذا يعني أن

$$\langle N\psi | N\psi \rangle = |N|^2 \left(\frac{1}{19} + \frac{4}{19} + \frac{2}{19} + \frac{3}{19} + \frac{5}{19} \right) = \frac{15}{19} |N|^2 = 1$$

أي أننا يجب ان نضرب $\sqrt{\frac{19}{15}}$ لكي يصبح المتجه مقوم.

(ب) إن إحتمالية أن يوجد النظام في أي من الحالات $\langle \phi_n | \psi \rangle$ هو (لاحظ أننا نضع المقام لأن الدالة غير مقومة)

$$P(E_1) = \frac{|\langle \phi_1 | \psi \rangle|^2}{\langle \psi | \psi \rangle} = \frac{|a_1|^2}{15/19} = \frac{1}{19} \times \frac{19}{15} = \frac{1}{15}$$

$$P(E_2) = \frac{|\langle \phi_2 | \psi \rangle|^2}{\langle \psi | \psi \rangle} = \frac{|a_2|^2}{15/19} = \frac{4}{19} \times \frac{19}{15} = \frac{4}{15}$$

$$P(E_3) = \frac{|\langle \phi_3 | \psi \rangle|^2}{\langle \psi | \psi \rangle} = \frac{|a_3|^2}{15/19} = \frac{2}{19} \times \frac{19}{15} = \frac{2}{15}$$

$$P(E_4) = \frac{|\langle \phi_4 | \psi \rangle|^2}{\langle \psi | \psi \rangle} = \frac{|a_4|^2}{15/19} = \frac{3}{19} \times \frac{19}{15} = \frac{3}{15}$$

$$P(E_5) = \frac{|\langle \phi_5 | \psi \rangle|^2}{\langle \psi | \psi \rangle} = \frac{|a_5|^2}{15/19} = \frac{5}{19} \times \frac{19}{15} = \frac{5}{15}$$

جد E_n حيث أن $\langle \phi_n | \psi \rangle$ هي حالة مخصوصة لHamiltonian تكون بموجبه

$$H | \phi_n \rangle = n\varepsilon_0 | \phi_n \rangle$$

وإن $n = 1, 2, 3, 4, 5$ وإن ε_0 لها وحدات طاقة.

الحل: لما كانت $E_n = \langle \phi_n | H | \phi_n \rangle = n\varepsilon_0$ ($n = 1, 2, 3, 4, 5$) فإن القياسات

$$E_1 = \varepsilon_0, E_2 = 2\varepsilon_0, E_3 = 3\varepsilon_0, E_4 = 4\varepsilon_0, E_5 = 5\varepsilon_0$$

تعطي وبالإحتماليات المبينة إعلاه.

إن معدل قيمة الطاقة للنظام هي

$$E = \sum_1^5 P_j E_j = \frac{1}{15} \varepsilon_0 + \frac{8}{15} \varepsilon_0 + \frac{6}{15} \varepsilon_0 + \frac{12}{15} \varepsilon_0 + \frac{25}{15} \varepsilon_0 = \frac{52}{15} \varepsilon_0$$

وهذا القدر من الطاقة نفسه يمكن تحصيله من حساب القيمة المتوقعة للهامليوني وكما يلي

$$E = \frac{\langle \psi | H | \psi \rangle}{\langle \psi | \psi \rangle} = \frac{19}{15} \left(\frac{1}{19} + \frac{8}{19} + \frac{6}{19} + \frac{12}{19} + \frac{25}{19} \right) \varepsilon_0 = \frac{52}{15} \varepsilon_0$$

الفهم الفيزيائي لفضاء هلبرت

يمكنا الآن تقديم التطبيق الفيزيائي لفضاء هلبرت وما سبق من خصائصه الرياضية. إن المتجه المقصود في فضاء هلبرت هو ليس إلا ما كنا نسميه دالة الموجة في صياغات ميكانيك الكم بالبنية الموجية أي الميكانيك الموجي، لكنه الآن يسمى متجه الحالة State Vector، وهذا ما يعبر عن النظام المقصود. ويمكن تصور متجه الحالة على أنه مؤلف من عدة مركبات هي مساقط هذا المتجه على الأسس المتعامدة لفضاء هلبرت. ونظراً لأن المتجهات الأساسية لفضاء هلبرت هي أيضاً متجهات حالة State Vectors أي تعبّر عن أحوال مختلفة للنظام، ونظراً لأن هذه المتجهات متعامدة على بعضها فلا يوجد أحدها إلا بانتفاء الآخر، فقد قيل أن هذه المركبات التي تؤلف الحالة الكلية للنظام هي أحوال مختلفة للنظام يمكن أن يكون متلبساً واحدة منها في أي وقت من الأوقات. بمعنى أننا يصح أن نسأل: ما هي إمكانية أن يكون النظام في الحالة $\langle u_n | \psi \rangle$? ويكون الجواب عندئذ هو $|\langle u_n | \psi \rangle|^2$. وهكذا تمثل $|a_n|$ إمكانية لأن تكون $\langle \psi | u_n \rangle$.

ويضمّن هذا الفهم حقيقة أن الكميات الفيزيائية وفق منظور ميكانيك الكموم لا تستقر على حال بل هي في تقلب دائم بين أحوالها الممكنة لها. وهي في تقبّلها على تلك الأحوال

إنما تتلمس إحداها لقدر من الوقت يتناسب مع انسجام تلك الحالة مع الحالة العامة للنظام. ومن هنا يأتي مفهوم الإحتمالية في ميكانيك الكم.

تغيير الأسس والتحویلات الوحدوية Unitary Transformations

كما ذكرنا آنفاً فإننا نستطيع وصف المتجه في منظومة إحداثية معينة بدلالة مركباته. لكننا حين نغير منظومة الإحداثيات فإن الأسس Basis تغير وبالتالي فإن قيمة مركبات المتجه سوف تتغير، كما أن المتجه بمجموعه يتغير أيضاً. هذا النوع من التحویلات يسمى التحویلات الوحدوية Unitary Transformations ما هي علاقة الأسس الجديدة بالأسس القديمة؟

طلما أن الأسس هي متجهات فإننا يمكن أن ننشر الأسس القديمة $|u_n\rangle$ مثلاً بدلالة الأسس الجديدة $|u_m'\rangle$ وكما يلي

$$|u_n\rangle = \sum_m \langle u_m' | u_n \rangle |u_m'\rangle = \sum_m U_{mn} |u_m'\rangle \quad (5.23)$$

من الواضح أن المعاملات U_{mn} هي مساقط الأسس القديمة على الجديدة. حيث أن $U_{mn} = \langle u_m' | u_n \rangle$

$$|u_{old}\rangle = U |u_{new}\rangle \quad (5.25)$$

$$\text{ويمكننا الآن أن ثبت أن } U^\dagger = U^{-1} \text{ وكما يلي} \\ \langle u_n | u_n \rangle = \langle U u_n' | U u_n' \rangle = \langle u_n' | U^\dagger U | u_n' \rangle = 1 \quad (5.26)$$

وهذا يعني أن $U^\dagger = U^{-1}$ أي أن

$$U^{-1} = U^\dagger \quad (5.27)$$

تسمى المصفوفات التي تتمتع بهذه الخاصية مصفوفات وحدوية Unitary. وبالتالي يمكن أن نعيد كتابة المعادلة (5.25) كما يلي

$$| u_{new} \rangle = U^{-1} | u_{old} \rangle$$

أي أن

$$| u_n' \rangle = U^\dagger | u_n \rangle \quad (5.28)$$

إن التحويلات الوحدوية تمكننا من ربط أسس المنظومات بعضها مع بعض وإذا كانت لدينا أية كمية لا تغيرية تحت التحويلات الوحدوية فإنها ستكون غير معتمدة على المنظمات الإحداثية التي توصف فيها.

تحويل المتجهات

هكذا نجد أنه من خلال تغيير الأسس يمكن وصف المتجه في منظومة الإحداثيات الجديدة كما يلي

$$| \psi_{new} \rangle = U^\dagger | \psi_{old} \rangle \quad (5.29)$$

وهكذا فإن

$$\langle \psi_{new} | = \langle \psi_{old} | U \quad (5.30)$$

يمكننا أن ثبت الآن أن كثافة الإحتماليات تكون منحفظة تحت التحويلات الوحدوية.

$$\langle \psi_n | \psi_n \rangle = |\psi_n|^2 = \langle U\psi_n' | U\psi_n' \rangle = \langle \psi_n' | U^\dagger U | \psi_n' \rangle = |\psi_n'|^2$$

وهذا يعني أن كثافة الإحتمالية تبقى على حالها حتى لو دورنا نظام الإحداثيات.

تحويل الإجراءات

تتغير الإجراءات بموجب هذه التحويلات الوحدوية كما يلي

$$A_{mn} = \langle u_m | \sum_j | u_j \rangle \langle u_j | A \sum_k | u_k \rangle \langle u_k | u_n \rangle = \sum_l U_{mj} A_{jk} U_{nk}^*$$

ومن هذا نستنتج أن الإجراءات تحول بالصيغة التالية

$$A_{new} = U A_{old} U^\dagger \quad (5.31)$$

كذلك فإن

$$A_{old} = U^\dagger A_{new} U \quad (5.32)$$

الإجراءات في فضاء هيلبرت Operators in Hilbert Space

يتغير المتجه في فضاء هيلبرت من حال إلى آخر بالتأثير عليه بإجراء. وأغلب الإجراءات هي عمليات رياضية مثل نقل المتجه مكانياً أو زمانياً من نقطة إلى أخرى وهو بمثابة إجراء تحويل للمتجه Transformation وهذا الإجراء التحويلي يمكن أن يقابل عملية إنشاء لكمية فизيائية مثلاً الزخم أو الطاقة كما سنرى لاحقاً. وعموماً يمكن أن نكتب

$$A |\psi\rangle = |\phi\rangle \quad (5.33)$$

أي أن فعل الإجراء A على المتجه $|\psi\rangle$ هو تحويله إلى متجه جديد هو $|\phi\rangle$. فهنا المتجه الجديد $|\phi\rangle$ نشأ عن إشتغال Operate الإجراء A عاماً على المتجه $|\psi\rangle$. إن العلاقة بين $|\phi\rangle$ و $|\psi\rangle$ يحددها نوع الإجراء الذي اشتغل على $|\psi\rangle$ وأنتج $|\phi\rangle$. وتمثل الإجراءات في فضاء هيلبرت بصفوفات مربعة. أبعادها هي أبعاد فضاء هيلبرت نفسه.

إن الماملتوني أو إجراء الطاقة يعمل على إزاحة متجه الحالة زمانياً بمقدار تفاضلي.

وإن إجراء الرسم يعمال على إزاحة متجه الحالة مكانياً بمقدار تفاضلي.

وإن إجراء الرسم الزاوي يعمال على إزاحة متجه الحالة زاوياً بمقدار تفاضلي.

معادلة القيمة المخصوصة The Eigenvalue Equation

كيف لنا أن نستخلص من متجه الحالة أية معلومة فيزيائية عن حالة النظام؟ مثلاً لدينا جسيم يقع في كمون معين ونعرف متجه الحالة State Vector أو متجهات الحالة الممكنة لهذا النظام فهل لنا أن نستخرج زخمه مثلاً أو طاقته؟ نعم إن ذلك ممكن من خلال حساب القيمة المتوقعة للملحوظ الفيزيائي Physical Observable. لكن دعنا أولاً ننظر في جانب آخر. لنعاود النظر في معادلة شرودنجر (3.19) وننظر إليها الآن في صياغتها بدلاله فضاء هيلبرت لنجد أن

$$H |\psi\rangle = i\hbar \frac{\partial |\psi\rangle}{\partial t} \quad (5.34)$$

والأآن يمكننا أن نسمى الإجراء H "الهاملتوني" لذكرى العالم الرياضياتي هاميلتون وهذا هو إجراء الطاقة الميكانيكية الكلية للنظام.

المتجهات المخصوصة والقيم المخصوصة

إذا كان لدينا

$$A |\psi\rangle = \alpha |\psi\rangle \quad (5.35)$$

فإن المتجه $|\psi\rangle$ يسمى عندئذ متجه مخصوص Eigenvector، وتسمى α القيمة المخصوصة Eigenvalue. ولقد اختارت هذه الترجمة لمعنى الكلمة Eigen لأنها تعبر عن القصد بشكل جيد فإن المتجه $|\psi\rangle$ في هذه الحالة مخصوص بالإجراء A وكذلك القيمة α فهي مخصوصة بالمتجه $|\psi\rangle$ عندما يعمل عليه الإجراء A وليس غيره.

من الملاحظ أن ما هو متجه مخصوص لإجراء معين لا يكون بالضرورة متجهاً مخصوصاً لإجراء آخر. لكن يمكن أن تكون هنالك متوجهات مخصوصة مختلفة تخضع للإجراء نفسه.

$$\text{مثال (1): لو كان } A = \frac{\partial}{\partial x} \text{ وكانت } |\psi\rangle = \sin kx$$

فإن

$$A |\psi\rangle = k \cos kx$$

على حين أن

$$A^2 |\psi\rangle = -k^2 \sin kx = -k^2 |\psi\rangle$$

أي أن $|\psi\rangle$ هنا هي متوجه مخصوص للإجراء $\frac{\partial^2}{\partial x^2}$ بقيمة مخصوصة مقدارها k^2
لكنها ليست متوجه مخصوص للإجراء $\frac{\partial}{\partial x}$.

وهذا مثال آخر لتشغيل الإجراء على دالة أسيّة

مثال (2): إذا كان $|\phi\rangle = e^{kx}$ فإن

$$A |\phi\rangle = k e^{kx} = k |\phi\rangle$$

أي أنه متوجه مخصوص للإجراء $\frac{\partial}{\partial x}$ بقيمة مخصوصة مقدارها k . كذلك فإن

$$A^2 |\phi\rangle = k^2 |\phi\rangle$$

بالتالي فإن المتوجه $|\phi\rangle$ كما هو واضح متوجه مخصوص لجميع الإجراءات التفاضلية على x ، لكن بقيم مخصوصة مختلفة طبعاً.

القيم المُتوقعة Expectation Values

كما ذكرت آنفاً فإن القيمة المُتوقعة لأي ملحوظ فيزيائي Physical Observable هي معدل القيم التي يمكن أن يأخذها ذلك الملحوظ على مدى جميع القيم الممكنة له خلال تقلبه على الأحوال التي يمكن أن يكون عليها النظام. وهذه القيم يحددها النظام الفيزيائي نفسه بموجب حلول معادلة الحركة. وحين نقوم بعملية قياس أي ملحوظ فيزيائي فإننا إنما نؤثر بالإجراء المقابل لذلك الملحوظ على متوجه حالة النظام، أي

$$A |\psi\rangle = |\phi\rangle$$

وبهذا يكون النظام قد صار الى حالة جديدة هي $\langle \phi |$ وتعزف قيمة الملحوظ المقابل لـ A
بأنها مقدار التطابق بين $\langle \psi |$ و $\langle \phi |$ أي

$$\langle A \rangle = \langle \psi | \phi \rangle = \int \psi^*(x) \phi(x) dx \quad (5.37)$$

أي يكون

$$\langle A \rangle \equiv \int \psi^*(x) A \psi(x) dx$$

إذا ما كانت $\langle \psi |$ هي متوجه مخصوص للإجراء A فإن لدينا

$$A |\psi\rangle = \alpha |\psi\rangle$$

وإذا كانت $\langle \psi |$ مقومة فإن هذا يكون

$$\langle A \rangle \equiv \int \psi^*(x) A \psi(x) dx = \alpha \int \psi^*(x) \psi(x) dx = \alpha \quad (5.38)$$

أي أن القيمة المتوقعة للملحوظ ستأتي متساوية للقيمة المخصوصة للإجراء المقابل لذلك الملحوظ في حالة أن يكون المتوجه حالة مخصوصة لذلك الإجراء.

حل معادلة القيمة المخصوصة

إن حل معادلة القيمة المخصوصة ضروري لإيجاد المتوجه $\langle \psi |$ وإيجاد القيم المخصوصة الممكنة. ويجري الحل عادة بالطرق المصفوفية التقليدية حيث يتم إنشاء المحددة التي تحصر القيم الممكنة لعناصر مصفوفة الإجراء. وكما نعرف يكون علينا حل المعادلة التالية

$$\det | A_{mn} - \alpha \delta_{mn} | = 0 \quad (5.36)$$

ومنها نجد القيم المخصوصة الممكنة والتي هي جذور المعادلة أعلاه. ومن ثم ننشئ المتوجهات المخصوصة الممكنة بحسب عدد القيم المخصوصة وفيما يلي مثال على ذلك.

مثال: إذا كانت $\langle \psi | M \rangle = \lambda \langle \psi |$ ، حيث أن

$$M = \begin{pmatrix} 0 & -i & 0 \\ i & 0 & 0 \\ 0 & 0 & 0 \end{pmatrix}$$

جد القيم المخصوصة ثم جد المتجهات المخصوصة للإجراء M .
الحل:

بالصيغة المصفوفية يكون لدينا

$$\begin{pmatrix} 0 & -i & 0 \\ i & 0 & 0 \\ 0 & 0 & 0 \end{pmatrix} \begin{pmatrix} \psi_1 \\ \psi_2 \\ \psi_3 \end{pmatrix} = \lambda \begin{pmatrix} \psi_1 \\ \psi_2 \\ \psi_3 \end{pmatrix}$$

والمعادلة المطلوب حلها هي

$$\det \begin{pmatrix} -\lambda & -i & 0 \\ i & -\lambda & 0 \\ 0 & 0 & -\lambda \end{pmatrix} = 0$$

وهذه تعطينا

$$-\lambda \begin{vmatrix} -\lambda & 0 \\ 0 & -\lambda \end{vmatrix} - (-i) \begin{vmatrix} i & 0 \\ 0 & -\lambda \end{vmatrix} + 0 = 0$$

يعني أنه يكون لدينا $\lambda = \pm 1$ and $\lambda = 0$ ، وحلول هذه المعادلة هي
ويمكنا الآن إيجاد المتجهات المخصوصة بالتعويض في (5.23a) عن أقيام λ فيكون لدينا
 $\lambda = 1$ حالة

$$\begin{pmatrix} -1 & -i & 0 \\ i & -1 & 0 \\ 0 & 0 & -1 \end{pmatrix} \begin{pmatrix} \psi_1 \\ \psi_2 \\ \psi_3 \end{pmatrix} = 0$$

وهذا يعني أن

$$-\psi_1 - i\psi_2 = 0$$

$$i\psi_1 - \psi_2 = 0$$

$$\psi_3 = 0$$

ولو فرضنا أن $\psi_1 = 1$ فإن $i\psi_2 = 0$ وإن $\psi_3 = 0$. وهكذا نتمكن من إيجاد المتجه المخصوص بهذه الحالة وتلك القيمة المخصوصة وهو

$$|u_1\rangle = c_1 \begin{pmatrix} 1 \\ i \\ 0 \end{pmatrix}$$

حيث أن c_1 هو ثابت التقويم للمتجه. وعken إيجاده أيضا بفرض شرط التقويم عليه وكما يلي

$$\langle u_1 | u_1 \rangle = 1 \Rightarrow c_1^* c_1 (1 - i^2) = 1 \Rightarrow |c_1|^2 = \frac{1}{2} \Rightarrow c_1 = \frac{1}{\sqrt{2}}$$

$$\cdot |u_1\rangle = \frac{1}{\sqrt{2}} \begin{pmatrix} 1 \\ i \\ 0 \end{pmatrix}$$

وهكذا يصبح المتجه المقوم هو

والآن نجد المتجه ذي القيمة المخصوصة $\lambda = 0$ حيث لدينا

$$\begin{pmatrix} 0 & -i & 0 \\ i & 0 & 0 \\ 0 & 0 & 0 \end{pmatrix} \begin{pmatrix} \psi_1 \\ \psi_2 \\ \psi_3 \end{pmatrix} = 0$$

وهذا يعني أن

$$-i\psi_2 = 0$$

$$i\psi_1 = 0$$

$$\psi_3 = 1$$

حيث يكون

$$|u_0\rangle = c_2 \begin{pmatrix} 0 \\ 0 \\ 1 \end{pmatrix}$$

ومن السهل أثبات التقويم كما في المرة السابقة

$$\langle u_0 | u_0 \rangle = 1 \Rightarrow c_2^* c_2 (0 \quad 0 \quad 1) \begin{pmatrix} 0 \\ 0 \\ 1 \end{pmatrix} = 1 \Rightarrow |c_2|^2 = 1 \Rightarrow c_2 = 1$$

$$|u_0\rangle = \begin{pmatrix} 0 \\ 0 \\ 1 \end{pmatrix} \quad \text{حيث يكون المتجه المخصوص المقوم هو}$$

وهكذا نجد المتجه الثالث للحالة $\lambda = -1$ من المعادلة المصفوفية

$$\begin{pmatrix} 1 & -i & 0 \\ i & 1 & 0 \\ 0 & 0 & 1 \end{pmatrix} \begin{pmatrix} \psi_1 \\ \psi_2 \\ \psi_3 \end{pmatrix} = 0$$

$$\psi_1 - i\psi_2 = 0$$

$$i\psi_1 + \psi_2 = 0 \quad \text{والتي تفضي إلى}$$

$$\psi_3 = 0$$

$$|u_{-1}\rangle = c_3 \begin{pmatrix} 1 \\ -i \\ 0 \end{pmatrix} \quad \text{حيث يكون لدينا}$$

$$|u_{-1}\rangle = \frac{1}{\sqrt{2}} \begin{pmatrix} 1 \\ -i \\ 0 \end{pmatrix} \quad \text{ويمضى يكتمل لدينا المجموعة الكاملة للمتجهات المخصوصة المقومة}$$

للإجراء الذي أعطى في المسألة.

تقدير المصفوفات Matrix Diagonalization

تحتل عملية تقدير المصفوفات أهمية بالغة في ميكانيك الكموم وذلك لأن مصفوفات الهاamiltonيات المقطرة تدلنا على القيم المخصصة للهاamiltonي مباشرة بمجرد النظر إلى العناصر القطرية فهذه العناصر هي القيم المخصصة بذاتها. علاوة على ذلك وبصورة عامة فإن التعامل الحسابي مع المصفوفات المقطرة أسهل كثيراً من التعامل مع المصفوفات الكاملة. يتم تقدير المصفوفات بتغيير الأسس التي توصف فيها المتجهات والإجراءات. وفي ميكانيك الكموم يتم هذا من خلال التحويلات الوحدوية Unitary Transformations على الأسس الأصلية. ويتم تحصيل عناصر مصفوفة التحويلات الوحدوية من خلال حساب المتجهات المخصصة للمصفوفة المراد تقديرها. ومن ثم يتم جمع هذه المتجهات في أعمدة تؤلف مصفوفة مربعة هي المصفوفة الوحدوية U . وعندئذ نكتب مصفوفة الهاamiltonي المقطرة كما يلي

$$H' = U^\dagger H U \quad (5.39)$$

مثال: حول المصفوفة M الواردة في المثال السابق إلى مصفوفة قطرية.

وجدنا في المثال السابق أن هناك ثلاثة متجهات مخصوصة وهذه هي

$$|u_1\rangle = \frac{1}{\sqrt{2}} \begin{pmatrix} 1 \\ i \\ 0 \end{pmatrix}, |u_{-1}\rangle = \frac{1}{\sqrt{2}} \begin{pmatrix} 1 \\ -i \\ 0 \end{pmatrix}, |u_0\rangle = \begin{pmatrix} 0 \\ 0 \\ 1 \end{pmatrix},$$

ومن هذه المتجهات سوف نؤلف المصفوفة الوحدوية U

$$U = \frac{1}{\sqrt{2}} \begin{pmatrix} 1 & 0 & 1 \\ i & 0 & -i \\ 0 & \sqrt{2} & 0 \end{pmatrix}$$

وهكذا نجد أن المصفوفة المقطرة هي

$$M' = U^\dagger M U = \left(\frac{1}{\sqrt{2}} \right)^2 \begin{pmatrix} 1 & -i & 0 \\ 0 & 0 & \sqrt{2} \\ 1 & i & 0 \end{pmatrix} \begin{pmatrix} 0 & -i & 0 \\ i & 0 & 0 \\ 0 & 0 & 0 \end{pmatrix} \begin{pmatrix} 1 & 0 & 1 \\ i & 0 & -i \\ 0 & \sqrt{2} & 0 \end{pmatrix}$$
$$= \frac{1}{2} \begin{pmatrix} 2 & 0 & 0 \\ 0 & 0 & 0 \\ 0 & 0 & -2 \end{pmatrix} = \begin{pmatrix} 1 & 0 & 0 \\ 0 & 0 & 0 \\ 0 & 0 & -1 \end{pmatrix}$$

وهكذا أصبحت المصفوفة قطرية.

أسئلة مفاهيمية حول الفصل الخامس

1. ما الذي يحصل على المتجه $|x\rangle$ عند إشتغال إجراء الزخم عليه؟
2. ما الذي يحصل على المتجه $|x,t\rangle$ عند إشتغال الإجراء $\partial/\partial t$ عليه؟
3. عند قياس ملحوظ معين لحالة نظام فما هي العاقيب المترتبة على هذا القياس؟
4. ما الذي يحصل لكرة عند تشغيل إجراء التدوير حول محورها عليها؟
5. ما التحويلات الوحدوية؟ وما فائدتها؟
6. ما الكمية التي تحفظ تحت فعل التحويلات الوحدوية؟
7. ما أهمية تقطير المصفوفات؟

مسائل الفصل الخامس

س1) إذا كان لديك متجه الحالة $|\psi\rangle = \frac{1}{\sqrt{3}} |\phi_1\rangle + \frac{2}{3} |\phi_2\rangle + \frac{\sqrt{2}}{3} |\phi_3\rangle$

برهن أن هذا المتجه مقوم.

ما هي إحتمالية أن يكون النظام في الحالة $|\phi_2\rangle$

إذا كان في النظام جمجم من الجسيمات عددها 810 فكم منها تتوقع أن يكون في

الحالة $|\phi_1\rangle$ وكم منها في $|\phi_2\rangle$ وكم منها في الحالة $|\phi_3\rangle$.

س2) أوجد القيم المخصوصة والتجهيزات المخصوصة المقومة للإجراء التالي

$$M = \begin{pmatrix} 2 & 0 & -2 \\ -2i & i & 2i \\ 1 & 0 & 1 \end{pmatrix}$$

س3) أوجد القيم المخصوصة والتجهيزات المخصوصة المقومة للإجراء التالي

$$M = \begin{pmatrix} 1 & 1 \\ 0 & 1 \end{pmatrix}$$

س4) بين أن المصفوفة التالية ليس لها قيم مخصوصة حقيقة إلا لقيم معينة من θ ما هي؟ ثم جد المصفوفة S التي تفطر T ثم حرق ذلك.

$$T = \begin{pmatrix} \cos\theta & -\sin\theta \\ \sin\theta & \cos\theta \end{pmatrix}$$

س5) إذا كان لديك متوجهين بالوصف المصفوفي التالي

$$|\psi\rangle = \begin{pmatrix} 5i \\ 2 \\ -1 \end{pmatrix}, \quad |\phi\rangle = \begin{pmatrix} 3 \\ 8i \\ -9i \end{pmatrix},$$

جد ${}^* \langle \psi |$ و $|\psi \rangle$.

هل أن $|\psi\rangle$ مقومة؟ فإن لم تكن قومها.

هل أن $\langle \psi |$ و $\langle \phi |$ متعامدين؟

س6) برهن أن أثر المصفوفة المربعة التي تمثل إجراءً يكون غير معتمد على الأسس التي أقيمت عليها المصفوفة.

س7) برهن أن كثافة الإحتمالية هي كمية منحفظة تحت فعل التحويلات الوحدوية.

الفصل السادس

الطرق الإجرائية في ميكانيك الكموم

في هذا الفصل سنعرض لطريقة التعامل بالإجراءات في صياغات وحسابات ميكانيك الكموم. وسنعرف على صفات الإجراءات وال العلاقات بين الإجراءات المختلفة.

الإجراءات الخطية والإجراءات اللاخطية

يمكن تقسيم الإجراءات إلى نوعين: خطية ولاخطية، فاما الخطية Linear منها فهي تلك التي تتبع قواعد البنية الخطية في العلاقات والمعاملات وكما مبين آنفا. مثل ذلك الإجراءات التفاضلية والتكمالية، مثلاً

$$\frac{d}{dt}(x+y) = \frac{dx}{dt} + \frac{dy}{dt}$$

أما الإجراءات اللاخطية non-linear فإنها لا تخضع لقواعد البنية الخطية في العلاقة والمعاملات. مثل ذلك إجراء اللوغاريتم الطبيعي حيث نعلم أن

$$\ln(x+y) \neq \ln x + \ln y$$

وهذا يعني أن إجراء اللوغاريتم يفتقد أحد خواص البنية الخطية، مما يجعله لا خطياً.

عموماً فإن جميع الإجراءات التي تقابل مقادير فيزيائية تكون خطية دون شك. لذلك يمكن القول أن نظرية الكموم هي نظرية خطية Linear Theory.

الهاملتوني

الهاملتوني هو أهم إجراء في ميكانيك الكم وذلك لأنّه يشتمل على مجموع الطاقة الميكانيكية للنظام. فإن كان النظام لانسويا فإن الهاملتوني يكون مجموع الطاقة الحركية والطاقة الكامنة (أو طاقة الوضع في أغلب الحالات) وهذا هو

$$\hat{H} = \frac{\hat{p}^2}{2m} + \hat{V}$$

إذا كانت \hat{V} معتمدة على الزمن كان الهاملتوني معتمداً على الزمن وبالتالي نستخدم معادلة شرودنجر المعتمدة على الزمن. أما إذا كان \hat{V} غير معتمد على الزمن فإننا نستخدم

معادلة شرودنجر غير المعتمدة على الزمن. إذن فإن الطاقة الكامنة هي التي تحدد ما ستصير إليه صيغة الهاamiltonي الخاصة بالنظام. مثلا هاamiltonي ذرة الهيدروجين هو

$$\hat{H} = \frac{\hat{p}^2}{2m} - \frac{1}{4\pi\epsilon_0} \frac{e^2}{r}$$

ولو كان لدينا أي كمون آخر فيمكننا تعويضه في الهاamiltonي هذا. مثلا لو أن لدينا جسيم يتحرك في مائع ويعاني من مقاومة تتناسب طرديا مع مربع السرعة فعندئذ يكون لدينا

$$\hat{H} = \frac{\hat{p}^2}{2m} - C v^2 = \frac{\hat{p}^2}{2m} - C \frac{\hat{p}^2}{m^2} = \left(\frac{C}{m^2} - \frac{1}{2m} \right) \hbar^2 \frac{d^2}{dx^2}$$

وبستخدام هذا الهاamiltonي يمكن أن نشكل معادلة الحركة مثل هذا الجسيم ونحلها ثم نطبق الشروط الحدودية عليها ونستخرج حالات النظام الممكنة من خلال القيم الممكنة للثابت C. (أنظر المسائل نهاية الفصل)

تشيل الإجراءات

قلنا آنفا أن المتجهات في فضاء هلبرت في وصف من أوصافها هي مصفوفات عمودية على حين تكون قرائتها هي مصفوفات أفقية. فما هو الوصف المصفوفي للإجراءات؟ لو رجعنا إلى معادلة القيمة المخصوصة (5.22) وحسبنا القيمة المتوقعة للإجراء A مثلا لوجودناها

$$\langle \psi | A | \psi \rangle = \alpha \quad (6.1)$$

وإذا أن $\langle \psi |$ هي مصفوفة عمودية و $|\psi \rangle$ هي مصفوفة أفقية على حين أن α هي عدد فإن A لابد أن تكون مصفوفة مربعة أو عدد لكي تصح المعادلة في طرفيها. وبما ليس عددا فإنه دون شك مصفوفة مربعة.

من جانب آخر فإن الصيغة

$$\langle \psi_m | A | \psi_n \rangle = A_{mn} \quad (6.2)$$

تعبر عن العناصر المصفوفية للإجراء A. أي أن الإجراء بالصيغة المصفوفية هو عبارة عن مصفوفة مربعة. وفي المصفوفة المربعة تكون العناصر القطرية هي القيم المخصوصة للإجراء. وهذه خاصية مفيدة جداً إذ يمكننا التعرف على القيم المخصوصة للهاملتوني حال تحصيلنا لصفوفته القطرية. من هنا كانت عملية تقطير Diagonalization المصفوفات المربعة ذات أهمية بالغة في الحسابات الكمومية. وهذا ما سوف نناقشه لاحقاً.

الإجراءات الهرمائية Hermitian Operators

وهذه إجراءات خاصة تتمتع بصفة تجعلها ذات مضمون مميز في ميكانيك الكموم. وقد سميت على إسم الرياضياتي هرمائيت. يعرّف الإجراء الهرمائي بأنه أي إجراء يتمتع بالصفة التالية

$$A^\dagger = A \quad (6.3a)$$

أي أن القرین المعقد لمصفوفة الإجراء المبدولة هو الإجراء نفسه دون تغيير.

وهذا يعني أن

$$\langle \psi | A \psi \rangle = \langle A \psi | \psi \rangle \quad (6.3b)$$

وكما قلت فإن هذه الخاصية مضامين مهمة. والآن دعنا ثبت بعض البرهانات المفيدة في ميكانيك الكموم بخصوص المتجهات المخصوصة والقيم المخصوصة للإجراءات الهرمائية.

برهنة (1)

إن القيم المخصوصة للإجراءات الهرمائية هي قيم حقيقة دائماً.

البرهان: لنأخذ $\langle \psi |$ متوجهاً مخصوصاً للإجراء الهرمائي A وبقيمة مخصوصة α . أي أن $A|\psi\rangle = \alpha|\psi\rangle$

والآن دعنا ننقل الإجراء من موقعه مؤثراً في (البرا) إلى موقع يكون فيه مؤثراً في (الكت) وكما يلي

ولكن لما كان $A^\dagger = A$ فإن

$$\langle \psi | A | \psi \rangle = \langle A^\dagger \psi | \psi \rangle = \langle A \psi | \psi \rangle$$

وهذا يعني

$$\langle \psi | \alpha \psi \rangle = \alpha \langle \psi | \psi \rangle = \langle \alpha \psi | \psi \rangle = \alpha^* \langle \psi | \psi \rangle$$

ما ينبع عنه أن

$$\alpha = \alpha^* \quad (6.5)$$

بالتالي فإن القيم المخصوصة للإجراءات الهرمائية ستكون حقيقة دون شك، وهو المطلوب.

لما كانت الكميات الفيزيائية يجب أن تكون دوما قابلة للقياس measurable فإنها يجب أن تكون حقيقة real وبالتالي فإنها يمكن أن تكون أقياما مخصوصة لإجراءات هرمائية. معنى أن الإجراءات الهرمائية تقابل ملحوظات فيزيائية بالضرورة.

مبرهنة (2)

إذا كانت المتجهات المخصوصة لإجراء هرمائي معين ذات قيم مخصوصة مختلفة فإن تلك المتجهات المخصوصة تكون متعمدة على بعضها البعض.

البرهان: لنفرض أن لدينا إجراء هرمائي A ، ولتكن $\langle \psi_1 |$ و $\langle \psi_2 |$ متجهين مخصوصين لهذا الإجراء بقيمتي مخصوصتين مختلفتين هما α_1 و α_2 أي أن

$$\begin{aligned} A |\psi_1\rangle &= \alpha_1 |\psi_1\rangle \\ A |\psi_2\rangle &= \alpha_2 |\psi_2\rangle \end{aligned} \quad (6.6)$$

و بما أن A هو إجراء هرمائي بالفرض فإن

$$\langle \psi_2 | A | \psi_1 \rangle = \langle A^\dagger \psi_2 | \psi_1 \rangle = \langle A \psi_2 | \psi_1 \rangle$$

وهذا يعني أن

$$\alpha_1 \langle \psi_2 | \psi_1 \rangle = \alpha_2^* \langle \psi_2 | \psi_1 \rangle = \alpha_2 \langle \psi_2 | \psi_1 \rangle$$

وذلك لأن $\alpha_2 = \alpha_2^*$ لكونها قيمة مخصوصة حقيقة حكماً بموجب المبرهنة (1) أعلاه.

لذلك فإن هذا يعني أن

$$(\alpha_2 - \alpha_1) \langle \psi_2 | \psi_1 \rangle = 0$$

وبما أن $\alpha_1 \neq \alpha_2$ بالفرض، فإن هذا يعني أن

$$\langle \psi_2 | \psi_1 \rangle = 0 \quad (6.7)$$

ما يعني أن $\langle \psi_1 | \psi_2 \rangle$ و $\langle \psi_2 | \psi_1 \rangle$ متعامدين على بعضهما، وهو المطلوب.

الإجراءات الهرمائية المضادة Anti-Hermitian Operators

إلى جانب الإجراءات الهرمائية توجد إجراءات هرمائية مضادة. وهذه تتصف بالصفة التالية

$$A^\dagger = -A$$

ويمكن إثبات أن القيم المخصوصة لإجراءات الهرمائية المضادة تكون كميات معقدة دائمًا. (أنظر المسائل)

إجراء الإسقاط Projection Operator

وهذا واحد من الإجراءات الأساسية والمهمة في ميكانيك الكموم فهو الذي يحدد كيفية تغير حالة النظام بعد إجراء عملية قياس على أحد ملحوظاته Observables طبقاً للفرضية الثالثة لميكانيك الكموم التي ذكرناها في الفصل الخامس من هذا الكتاب. وإجراء الإسقاط مضمون مهم يتمثل بالحفظ على القيمة المخصوصة على حالها دون تغيير مهما تكررت مرات عمله. ومن خلاله يمكن تبرير حصولنا على نفس القيمة المخصوصة في عملية قياس

تالية لنفس الملاحظ على الرغم من أن حالة النظام تكون في الواقع متقلبة على الأحوال الممكنة. ويمكن تمثيل إجراء الإسقاط بالصيغة التالية

$$P_n = |\psi_n\rangle\langle\psi_n|$$

ومن السهل ملاحظة أن

$$\begin{aligned} P_n|\psi\rangle &= |\psi_n\rangle\langle\psi_n|\psi\rangle \\ &= a_n |\psi_n\rangle \end{aligned}$$

أي أن هذا الإجراء يسقط المتوجه $|\psi\rangle$ على الحالة $|\psi_n\rangle$. كما نلاحظ أن

$$\begin{aligned} P_n^2|\psi\rangle &= |\psi_n\rangle\langle\psi_n|\psi_n\rangle\langle\psi_n|\psi\rangle = |\psi_n\rangle\langle\psi_n|\psi\rangle \\ &= P_n|\psi\rangle \end{aligned}$$

وهذا يعني أن

$$P_n^2 = P_n$$

يعني أن القيمة المخصوصة لإجراء الإسقاط هي ± 1 .

ومن المفيد أن نعرف أن إجراء الإسقاط هرماتي. كما يمكن وبسهولة أن ثبت أن

$$\sum_n P_n = \sum_n |\psi_n\rangle\langle\psi_n| = 1$$

ولو أنها أسقطنا الرمز ψ فإننا يمكن أن نكتب

$$\sum_n P_n = \sum_n |n\rangle\langle n| = 1$$

إن $|\psi\rangle\langle\psi|$ هو مصفوفة مربعة وإن $\sum_n |n\rangle\langle n| = 1$ يمثل إجراء الوحدة Unit Operator

وهذه العلاقة تسمى علاقة الإكمال Completeness relation. ويمكننا إستعمال هذا

الإجراء لفتح أي متوجه بواسطته. مثلاً: إذا كان لدينا

علاقات التبادل Commutation Relations

قلنا أن الإجراءات هي صيغ رياضية تعمل على المتجهات (الدواال) في فضاء هليبرت وتعمل على تحويلها إلى متجهات (دواال) أخرى. وقلنا أن المتجه الذي يسفر تحويله عن ضربه بعدد معقد فقط (القيمة المخصوصة) دون أن يحصل معه تغيير كبير في بنيته سيكون متجه مخصوص لذلك الإجراء. وكذلك رأينا أن هنالك إجراءات خاصة تكون القيم المخصوصة لها حقيقة. لكن الإجراءات حين تجري على الدوال المخصوصة وغير المخصوصة فهي عمليات وهنا يظهر السؤال التالي: هل أن تشغيل إجراء معين على متجه ثم تشغيل إجراء آخر بعده يؤدي إلى النتيجة نفسها فيما إذا شغلنا الإجراء الثاني أولاً ثم أعقبناه بتشغيل الإجراء الأول بعده؟ بكلمات أخرى: هل أن الإجراءات تبادلية؟

نعلم أن الأعداد هي تبادلية مثلا $5 \times 6 = 6 \times 5$ ولكن هل هذا ممكن في حالة الإجراءات؟ والجواب حقاً أن هنالك إجراءات تبادلية وهنالك إجراءات غير تبادلية أو عكس تبادلية. فالإجراءات التبادلية هي التي تتحقق الشرط

$$\hat{A}\hat{B}|\psi\rangle = \hat{B}\hat{A}|\psi\rangle$$

أي أنها يمكن أن نكتب

$$[\hat{A}, \hat{B}]|\psi\rangle = (\hat{A}\hat{B} - \hat{B}\hat{A})|\psi\rangle = 0$$

وبالتالي يمكن أن نقول أن

$$[\hat{A}, \hat{B}] = (\hat{A}\hat{B} - \hat{B}\hat{A}) = 0$$

ونقول أن \hat{A} و \hat{B} هما إجراءان تبادليان Commuting Operators . مثلاً إذا كان $\hat{B} = \frac{\partial}{\partial t}$ وكان $\hat{A} = \frac{\partial}{\partial x}$ فإنهما تبادليان دون شك. لكن إذا كان $A = x$ وكان $\hat{B} = \hat{p} = -i\hbar \frac{\partial}{\partial x}$ فإن:

$$[\hat{x}, \hat{p}]|\psi\rangle = \left(-i\hbar x \frac{\partial}{\partial x} + i\hbar \frac{\partial}{\partial x} x \right) |\psi\rangle = i\hbar |\psi\rangle \quad (6.8)$$

وهذا يعني أن

$$[\hat{x}, \hat{p}] = i\hbar \cdot \hat{1} \quad (6.9)$$

وبهذا نقول أن الإجرائين p و x هما غير متبادلین Non-commuting operators . وهذه نتيجة مهمة جدا لها معناها الفيزيائي وعاقبها بخصوص الدوال المخصوصة التابعة للإجرائين اللامتبادلین والتي ستتضح لاحقاً.

وكمثال ثانى على الإجراءات غير المتبادلة لو أخذنا $\hat{A} = t$ وكان $\hat{B} = \hat{H} = i\hbar \frac{\partial}{\partial t}$ ، فإننا نجد أن

$$[t, \hat{H}] = -i\hbar \cdot \hat{1} \quad (6.10)$$

يعنى أن الهمالتوني والزمن غير متبادلین.

المضامين الفيزيائية لتبادل الإجراءات

هناك مسائلتان ينبغي أن نتباهما هنا وهما:

إن الإجراءات غير المتبادلة تقابل عمليات قياس متزامنة تتضمن قدرًا من اللادقة للملحوظات الفيزيائية التي تقابلها. يعني، مثلاً، أن قياس الزخم الخطي p والموقع أنياً يتضمن وجود قدر من اللادقة المتلازمة في كل من p و x .

إن عدم تبادل أي عدد من الإجراءات يعني أنها لا يمكن أن تجد دوالاً مخصوصة متزامنة مشتركة لها . Simultaneous Eigenfunctions

والعكس صحيح فإن الملحوظات المقابلة لإجراءات متبادلة يمكن قياسها آنیاً بدقة لامتناهية أي أن مبدأ اللادقة هيزنبرغ لا يعمل في هذه الحالات، فضلاً عن أن بالإمكان تحصيل دوال متزامنة مخصوصة لها.

إثبات المضامون الأول:

لعرض اثبات الفقرة (1) أعلاه ينبغي أن نقدم المبرهنة التالية:

مبرهنة (1): إذا كان لدينا إجرائين \hat{A} و \hat{B} غير مترادفين بحيث يكون

$$[\hat{A}, \hat{B}] = i\hat{C} \quad (6.11)$$

وكان \hat{C} هو إجراء ثالث أيضا، فإن

$$\Delta A \Delta B \geq \frac{\langle \hat{C} \rangle}{2} \quad (6.12)$$

البرهان: دعونا نعرف الإجراء

$$\hat{D} = \hat{A} + \alpha \hat{B} + i\beta \hat{B},$$

حيث أن α و β هي أعداد حقيقة عشوائية. وبما أن المضروب $\langle D\psi | D\psi \rangle$ هو عدد موجب فإننا يمكن أن نكتب

$$\langle \hat{D}\psi | \hat{D}\psi \rangle = \langle \hat{A}^2 \rangle + (\alpha^2 + \beta^2) \langle \hat{B}^2 \rangle + \alpha \langle \hat{C}' \rangle - \beta \langle \hat{C} \rangle \geq 0$$

حيث أن

$$\hat{C}' = \hat{A}\hat{B} + \hat{B}\hat{A},$$

ويسمى ضديد التبادل Anticommutator. وإذا كان $0 \neq \psi | \hat{B} | \psi$ فإننا يمكن أن نعيد كتابة المعادلة أعلاه كما يلي

$$\begin{aligned} \langle \hat{D}\psi | \hat{D}\psi \rangle &= \langle \hat{A}^2 \rangle + \langle \hat{B}^2 \rangle \left(\alpha + \frac{1}{2} \frac{\langle \hat{C}' \rangle}{\langle \hat{B}^2 \rangle} \right)^2 + \langle \hat{B}^2 \rangle \left(\beta - \frac{1}{2} \frac{\langle \hat{C} \rangle}{\langle \hat{B}^2 \rangle} \right)^2 \\ &\quad - \frac{1}{4} \frac{\langle \hat{C}' \rangle^2}{\langle \hat{B}^2 \rangle} - \frac{1}{4} \frac{\langle \hat{C} \rangle^2}{\langle \hat{B}^2 \rangle} \geq 0 \end{aligned}$$

إن هذه العلاقة نافذة لجميع قيم α و β وبالتالي يمكننا اختيار القيم بما يجعل الأقواس المربعة في العلاقة أعلاه صفراء وهكذا نتمكن من إعادة كتابة العلاقة بالصورة التالية

$$\langle \hat{A}^2 \rangle \langle \hat{B}^2 \rangle \geq \frac{1}{4} (\langle \hat{C}' \rangle^2 + \langle \hat{C} \rangle^2) \geq \frac{\langle \hat{C} \rangle^2}{4}$$

ولكننا نعرف ان

$$(\Delta A)^2 = \langle \hat{A}^2 \rangle - \langle \hat{A} \rangle^2, \quad (\Delta B)^2 = \langle \hat{B}^2 \rangle - \langle \hat{B} \rangle^2$$

فإنه وفي الحالة الخاصة التي تكون فيها $\langle A \rangle = \langle B \rangle = 0$ فإن

$$(\Delta A)^2 (\Delta B)^2 \geq \frac{\langle \hat{C} \rangle^2}{4}$$

وهو المطلوب.

للغرض إثبات المضمن الثاني فإن علينا إثبات البرهنة التالية:

برهنة (2): إذا كان لدينا

$$\begin{aligned} \hat{A} | u \rangle &= a | u \rangle, \\ \hat{B} | u \rangle &= b | u \rangle. \end{aligned} \tag{6.13}$$

حيث أن a و b هما قيمتان مخصوصتان للإجرائين \hat{A} و \hat{B} على التوالي، فإن

$$\begin{aligned} \hat{A}\hat{B} | u \rangle &= ba | u \rangle = ab | u \rangle \\ \hat{B}\hat{A} | u \rangle &= ab | u \rangle. \end{aligned}$$

وهذا يعني أن

$$(\hat{A}\hat{B} - \hat{B}\hat{A}) | u \rangle = 0,$$

وبالتالي فإن

$$\hat{A}\hat{B} - \hat{B}\hat{A} = [\hat{A}, \hat{B}] = 0,$$

وهكذا يتضح أن الإجرائين \hat{A} و \hat{B} متبدلين والمتوجه المخصوص المتزامن لهما هو $| u \rangle$.

يمكننا أيضاً أن ثبت أنه إذا توفر لدينا إجرائين متبدلين \hat{A} و \hat{B} فإن بالإمكان أن نجد متوجه مخصوص متزامن لهما معاً. فإذا كان لدينا

$$\hat{A}\hat{B}|u\rangle = a\hat{B}|u\rangle,$$

وهذا يعني أن $\hat{B}|u\rangle$ هو متجه مخصوص للإجراء A. مما يسمح لنا بالقول أنها تتناسب مع $|u\rangle$ ولكن قيمتها هي $b|u\rangle$. مثلاً وبالتالي نتمكن من أن نكتب $AB|u\rangle = ab|u\rangle$. (6.14)

وهذا يعني أن $|u\rangle$ هي متجه مخصوص متزامن لكل من الإجراءين \hat{A} و \hat{B} ، وهو المطلوب.

أما إذا كان \hat{A} و \hat{B} غير مترادفين فإنه لا يمكن أيجاد دالة متزامنة لكليهما.

الدوال الإجرائية Operator Functions

يمكن تأليف دوال إجرائية من إجراء أو أكثر بصياغتها في علاقات جبرية. وهذه الدوال يمكن معاملتها كإجراءات أيضاً. كما يمكن صياغة علاقات مفيدة من خلالها. مثلاً لو كانت $F(A)$ هي دالة للإجراء A فإن بإمكان استخدام متسلسلة تايلور لنشر هذه الدالة وكما يلي

$$F(A) = \sum_{n=0}^{\infty} a_n A^n$$

وفي ميكانيك الكموم تحصل لنا الدالة الإجرائية e^{cA} والتي يمكن نشرها كما يلي

$$e^{cA} = \sum_{n=0}^{\infty} \frac{c^n}{n!} A^n = 1 + cA + \frac{c^2}{2!} A^2 + \frac{c^3}{3!} A^3 + \dots$$

خصائص مفيدة

إذا كان $[A, B] = 0$ فإن $[B, F(A)] = 0$ وعلى وجه الخصوص فإن

$$[G(A), F(A)] = 0 \quad \text{و} \quad [A^n, F(A)] = 0 \quad \text{و} \quad [A, F(A)] = 0$$

الخواص الهرمائية

إن القرين الهرماني للدالة الإجرائية هو

$$[F(A)]^\dagger = F^*(A^\dagger)$$

لاحظ أنه إذا كان A إجراء هرماتيًا فليس بالضرورة أن تكون الدالة الإجرائية التي تتتألف منه دالة إجرائية هرماتية ما لم تكن هي في الأصل دالة حقيقية. مثلاً

$$(e^A)^\dagger = e^{A^\dagger}, \quad (e^{iA})^\dagger = e^{-iA^\dagger}, \quad (e^{iaA})^\dagger = e^{-ia^* A^\dagger}$$

معكوس الإجراء

لكل إجراء من الإجراءات معكوس Inverse يكون حاصل ضربه مع الإجراء الأصلي إجراء الوحدة Unit Operator.

$$AA^{-1} = A^{-1}A = I.$$

ومن الخصائص أن

$$\frac{A}{B} = AB^{-1}$$

كذلك فإن

$$(ABC)^{-1} = C^{-1}B^{-1}A^{-1}, \quad (A^n)^{-1} = (A^{-1})^n.$$

كذلك فإن

$$(ABC)^\dagger = C^\dagger B^\dagger A^\dagger, \quad (A^n)^\dagger = (A^\dagger)^n.$$

إن الشرط الأساسي لوجود الإجراء المعكوس أن تكون مصفوفته غير مفردة non-singular. وتكون القيمة المخصوصة لمعكوس الإجراء كما يلي:

فإذا كان $\langle \psi |$ متوجه مخصوص للإجراء A وبقيمة مخصوصة a فإن

$$A^{-1}A|\psi\rangle = |\psi\rangle = A^{-1}(A|\psi\rangle) = aA^{-1}|\psi\rangle$$

أي أن

$$A^{-1} |\psi\rangle = \frac{1}{a} |\psi\rangle$$

الإجراءات الوحدوية Unitary Operators

وهي نفسها مولدات Generators التحويلات الوحدوية وهي من التحويلات المهمة في الفيزياء. والخاصية الأساسية هنا هي أن يكون معكوس الإجراء مساويا لقريره الهرمائي

$$U^\dagger = U^{-1},$$

معنى أن

$$UU^\dagger = U^\dagger U = I.$$

التوالد والحالات المتموّلة Degeneracy and Degenerate States

إذا توفر النظام الفيزيائي على أكثر من حالة لها نفس الطاقة فإنه يسمى نظاماً متواالداً Degenerate System وهذه الحالات تسمى حالات متواالدة Degenerate States في الطاقة . والعلاقة بين الحالات المتواالدة والتجهات (الدوال) المخصوصة المتزامنة علاقة وطيدة. فمثلاً إذا كان لدينا

$$A|u_a^{(1)}\rangle = a|u_a^{(1)}\rangle \quad (6.15a)$$

جسيم في صندوق يكون الإجراءين المتزامنين هما الهملتوني والرخم الخطى، وذلك لأن $[H, p] = 0$.

في الحالات المتوالدة تكون إحتمالية إيجاد القيمة المخصوصة للحالة المتوالدة m من المرات كما يلي

$$P_n(a_n) = \frac{\sum_{j=1}^m |\langle \psi_n^j | \psi \rangle|^2}{\langle \psi | \psi \rangle} \quad (6.15b)$$

لاحظ أن قيمة الإحتمالية للنظام الذي يشتمل على حالات متوالدة تكون بجمع تأثير جميع تلك الحالات، وهذا شيء منطقي إذ أن كل حالة من الحالات المتوالدة تساهم في الإحتمالية الكلية متساوية تتناسب مع قدرها. ومنطقياً تساهم الحالات الأكثر إحتمالية بقدر أكبر فتهيمن على حالة النظام بصورة أكبر. المثال التالي يوضح كيفية حساب الإحتمالية لنظام متواحد

مثال: خذ المصفوفة التالية للهاملتوني H والحالة الابتدائية $|\psi_0\rangle$

$$H = \varepsilon \begin{pmatrix} 0 & i & 0 \\ -i & 0 & 0 \\ 0 & 0 & -1 \end{pmatrix}, \quad |\psi\rangle = \frac{1}{\sqrt{5}} \begin{pmatrix} 1-i \\ 1-i \\ 1 \end{pmatrix}$$

ما هي القيم التي تحصل عليها من قياس الطاقة وما إحتمالياتها؟
إحسب القيمة المتوقعة للهاملتوني

الحل: إن من الضروري أولاً معرفة القيم المخصوصة والتجهيزات المخصوصة للهاملتوني وهذه يمكن إيجادها بعد تقدير هذا الهاملتوني، أو بحل معادلة القيمة المخصوصة (الحساب في

مثال سابق) ومنها نحصل على القيم 1، -1، 1. كما يمكن إيجاد المتجهات المخصوقة لهذه القيم وهي

$$|\phi_1\rangle = \frac{1}{\sqrt{2}} \begin{pmatrix} 1 \\ -i \\ 0 \end{pmatrix}, |\phi_2\rangle = \frac{1}{\sqrt{2}} \begin{pmatrix} -i \\ 1 \\ 0 \end{pmatrix}, |\phi_3\rangle = \begin{pmatrix} 0 \\ 0 \\ 1 \end{pmatrix}$$

وبالتالي يكون الهاamiltonي المقترن بالصورة التالية:

$$H = \varepsilon \begin{pmatrix} 1 & 0 & 0 \\ 0 & -1 & 0 \\ 0 & 0 & -1 \end{pmatrix},$$

أي أنه لدينا قيمتان للطاقة هي: $E_1 = \varepsilon$, $E_2 = E_3 = -\varepsilon$. وهذا يعني أن الحالة E_2 ثنائية التوالد. ومن خلال معرفتنا أن القيم المخصوقة متكررة فإننا نقول أن هذا الهاamiltonي متواحد وهو في الحقيقة ثنائي التوالد. والآن يمكننا نشر المتجه المعطى في المسألة على الأسس المذكورة (المتجهات المخصوقة للهاamiltonي) وكما يلي

$$|\psi_0\rangle = \frac{1}{\sqrt{5}} \begin{pmatrix} 1-i \\ 1-i \\ 1 \end{pmatrix} = \sqrt{\frac{2}{5}} |\phi_1\rangle + \sqrt{\frac{2}{5}} |\phi_2\rangle + \sqrt{\frac{1}{5}} |\phi_3\rangle$$

وباستخدام حقيقة أن الأسس متعامدة فإن إحتمالية إيجاد $E_1 = \varepsilon$ هي

$$P_1(E_1) = |\langle \phi_1 | \psi_0 \rangle|^2 = \left| \sqrt{\frac{2}{5}} \langle \phi_1 | \phi_1 \rangle \right|^2 = \frac{2}{5}$$

وبما أن القيم المخصوقة الأخرى هي ثنائية التوالد فإننا يجب أن نستعمل المعادلة (6.15b) لحساب الإحتمالية وهكذا نجد

$$P_2(E_2) = |\langle \phi_2 | \psi_0 \rangle|^2 + |\langle \phi_3 | \psi_0 \rangle|^2 = \frac{2}{5} + \frac{1}{5} = \frac{3}{5}$$

إن القيمة المتوقعة لقياس الطاقة هي

$$\langle H \rangle = P_1 E_1 + P_2 E_2 = \frac{2}{5} \varepsilon - \frac{3}{5} \varepsilon = -\frac{1}{5} \varepsilon$$

وللتتحقق من هذه النتيجة نحسب القيمة المتوقعة للطاقة من الهاamiltoني الفاعل على متجه

الحالة الابتدائية $|\psi_0\rangle$ وكما يلي

$$\begin{aligned}\langle H \rangle &= \langle \psi_0 | H | \psi_0 \rangle = \frac{\varepsilon}{5} (1+i \quad 1+i \quad 1) \begin{pmatrix} 0 & i & 0 \\ -i & 0 & 0 \\ 0 & 0 & -1 \end{pmatrix} \begin{pmatrix} 1-i \\ 1-i \\ 1 \end{pmatrix} \\ &= -\frac{1}{5} \varepsilon\end{aligned}$$

وهذا متفق تماما مع النتيجة السابقة.

صورة شرودنجر وصورة هايزنبرغ

عُرف مليكانيك الكموم صورتان: صورة شرودنجر Schrodinger Picture التي تتعامل مع دالة الموجة وتضع كل التطورات الزمانية والمكانية فيها (x, t) ففيها إعتمادية الزمن على حين تكون الإجراءات غير معتمدة على الزمن. والصورة الثانية هي ما يسمى صورة هايزنبرغ Heisenberg Picture والتي تتعامل مع متجهات الحالة State Vectors والتي هي مصفوفات عمودية غير معتمدة على الزمن، فيما تختزن الإعتمادية على الزمن في الإجراءات. وفي الوقت الذي جاءت فيه معادلة شرودنجر لتبين التطور الزمني للنظام بدلاله تطور دالة الموجة أصبح من الضروري وضع معادلة تكشف عن التطور الزمني للإجراءات لتكون المعادلة المقابلة لمعادلة شرودنجر.

يعتبر الفيزيائيون كلا الصورتين متكافئتين ويؤكدون ذلك من خلال ما تمخض عنه الحسابات في كلا الصورتين. لكن المضمون الفلسفـي لكلا الصورتين ربما يكون مختلفاً فعلى حين تتضمن صورة شرودنجر استمرارية المتغيرات الفيزيائية وتولد عنها حالة ذرية القيم

نتيجة لتدخل الأمواج وكأنها شيء طارئ Emergent فيما تكون الذرية جزءاً أساسياً في صورة هايزنبرغ يدخل في البنية الأساسية لصياغة الدوال والمتغيرات الفيزيائية.

معادلة هايزنبرغ في الحركة والحد الكلاسيكي

وفقاً لطريقة هايزنبرغ في تمثيل ميكانيك الكموم فإنه يعتبر أن الإعتمادية على الزمن والتي يتمظهر بها النظام الفيزيائي إنما تكمن في أن الإجراءات هي المعتمدة على الزمن على حين تكون المتجهات الممثلة للحالات غير معتمدة على الزمن. ولما كانت الإجراءات تمثل عمليات القياس للملحوظات التي تقابلها، فإن هذا يعني أن عملية قياس أي ملحوظ فيزيائي ستكون معتمدة على الزمن. خلافاً لطريقة شرودنجر التي تعتبر الإجراءات ثابتة على حين تضع الإعتمادية الزمانية في دالة الموجة (أو متجه الحالة بتعبير فضاء هيلبرت).

دعنا ننظر في المعادلة التالية

$$\begin{aligned} [H, \hat{A}]|\psi\rangle &= \left[i\hbar \frac{\partial}{\partial t}, \hat{A} \right] |\psi\rangle \\ &= i\hbar \left(\frac{\partial}{\partial t} (\hat{A} |\psi\rangle) - \hat{A} \frac{\partial}{\partial t} |\psi\rangle \right) \\ &= i\hbar \left(\frac{\partial \hat{A}}{\partial t} \right) |\psi\rangle \end{aligned}$$

لذا فإن

$$\left(\frac{\partial \hat{A}}{\partial t} \right) = \frac{1}{i\hbar} [H, \hat{A}] \quad (6.16)$$

وهذه هي معادلة هايزنبرغ في الحركة.

وإذا كان الإجراء \hat{A} غير معتمد على الزمن فإن

$$[\hat{H}, \hat{A}] = 0 \quad (6.17)$$

وعندن نقول أن \hat{A} هو من ثوابت الحركة Constant of Motion. وهكذا فإن أي إجراء متبادل مع الهاamiltonي فإنه يمثل كمية فيزيائية منحفظة.

يمكننا الآن النظر في اعتقاد القيمة المتوقعة للملحوظ المقابل للإجراء A على الزمن. حيث $\langle \hat{A} \rangle_t = \langle \psi | \hat{A} | \psi \rangle$

وهكذا يكون

$$\begin{aligned} \frac{d}{dt} \langle \hat{A} \rangle_t &= \frac{i}{\hbar} \langle \hat{H} \psi | \hat{A} | \psi \rangle + \langle \frac{d\hat{A}}{dt} \rangle - \frac{i}{\hbar} \langle \psi | \hat{A} \hat{H} | \psi \rangle \\ &= \langle \frac{d\hat{A}}{dt} \rangle + \frac{i}{\hbar} \langle \psi | [\hat{H}, \hat{A}] | \psi \rangle \end{aligned}$$

وإذا كان \hat{A} نفسه غير معتمد على الزمن فإن

$$\frac{d}{dt} \langle \hat{A} \rangle_t = \frac{i}{\hbar} \langle \psi | [\hat{H}, \hat{A}] | \psi \rangle$$

فإذا كان A متبادلاً مع الهاamiltonي H فإن

$$\frac{d}{dt} \langle \hat{A} \rangle_t = 0 \quad (6.18)$$

أي أن القيمة المتوقعة عندئذ لا تعتمد على الزمن.

مثال: يمكن استعمال معادلة هايزنبرغ في الحركة بهدف الكشف عن علاقة الكميات الفيزيائية في ميكانيك الكموم مع نظيراتها في الفيزياء الكلاسيكية ومن ذلك مثلاً أن نأخذ

$$\hat{A} = x \quad \text{ثم نثبت أن}$$

$$\frac{d}{dt} \langle \hat{x} \rangle = \langle \frac{\hat{p}}{m} \rangle \quad (6.19)$$

وهذا يتم كما يلي: أولاً نعرض في معادلة الحركة لـهـيزنـبرـغ (6.16) لنجد أن

$$\begin{aligned}\frac{d}{dt} \langle \hat{x} \rangle &= \frac{i}{\hbar} \langle [\hat{H}, \hat{x}] \rangle = \frac{i}{\hbar} \left\langle \left[\frac{\hat{p}^2}{2m} + V(\hat{x}), \hat{x} \right] \right\rangle \\ &= \frac{i}{\hbar} \left\langle \left[\frac{\hat{p}^2}{2m}, \hat{x} \right] \right\rangle\end{aligned}$$

وذلك لأن $[V(\hat{x}), \hat{x}] = 0$ ولذا يكون

$$\begin{aligned}\frac{d}{dt} \langle \hat{x} \rangle &= \frac{i}{\hbar} \left\langle \left[\frac{\hat{p}^2}{2m}, \hat{x} \right] \right\rangle = \frac{i}{2m\hbar} \langle (\hat{p}\hat{p}\hat{x} - \hat{x}\hat{p}\hat{p}) \rangle \\ &= \frac{i}{2m\hbar} \langle (\hat{p}\hat{x}\hat{p} - i\hbar\hat{p} - \hat{p}\hat{x}\hat{p} - i\hbar\hat{p}) \rangle = \frac{\langle p \rangle}{m}\end{aligned}$$

وذلك أننا أستعملنا العلاقة $i\hbar = [\hat{x}, \hat{p}]$. من هذه العلاقة يتبين أن القيمة المتوقعة للمعدل الزمني لتغير المسافة هي القيمة المتوقعة للسرعة.

ولو أنها أخذنا $A = p$ فإن بالإمكان أن ثبت بسهولة أن

$$\frac{d}{dt} \langle p \rangle = - \left\langle \frac{dV(x)}{dx} \right\rangle \quad (6.20)$$

ومن هاتين المعادلين ثبت أن

$$m \frac{d^2 \langle x \rangle}{dt^2} = - \left\langle \frac{dV(x)}{dx} \right\rangle$$

وهذه المعادلة مماثلة للمعادلة الكلاسيكية للحركة. لكن ينبغي ملاحظة أننا لا نستطيع أن نقول أن $\langle x \rangle = x_{cl}$ ذلك لأن العلاقة

$$\left\langle \frac{dV}{dx} \right\rangle \neq \frac{dV(\langle x \rangle)}{d \langle x \rangle} \quad (6.21)$$

لا تصح إلا في حالة أن تكون متغيرة ببطء شديد.

التطور الزمني لحالة النظام الفيزيائي

قلنا أن صورة هيزنبرغ لميكانيك الكموم تقرر أن تكون متجهات الحالة الابتدائية غير معتمدة على الزمن على حين تكون الإجراءات معتمدة على الزمن. وهنا يظهر السؤال

المهم: كيف للنظام الفيزيائي أن يتضور مع الزمن إذن؟ والجواب أن معادلة شرودنجر تبقى ثاًفة لكنها تتخذ الآن صيغة أخرى من الناحية الشكلية إذ يمكننا أن نكتب

$$H |\psi(t)\rangle = i\hbar \frac{d|\psi(t)\rangle}{dt} \quad (9.22)$$

وحل هذه المعادلة يمكن كتابته كما يلي

$$|\psi(t)\rangle = e^{-iHt/\hbar} |\psi(0)\rangle \quad (9.23)$$

وهكذا نجد أن متجه الحالة عند أي زمن لاحق t هو حصيلة إشتغال الإجراء على ذلك المتجه. وفي حالة أكثر عمومية إذ لا يكون الزمن الابتدائي صفرًا بل لنقول t_0 فإن التطور الزمني يصير

$$\begin{aligned} |\psi(t)\rangle &= e^{-iH(t-t_0)/\hbar} |\psi(t_0)\rangle \\ &= U(t, t_0) |\psi(t_0)\rangle \end{aligned} \quad (9.24)$$

حيث أن $U(t, t_0)$ تمثل مصفوفة التحويلات الوحدوية التي تحوي التطور الزمني للحالة من t_0 إلى t .

مثال: لديك الهاamiltonي ومتوجه الحالة كما في التالي

$$H = \begin{pmatrix} 3 & 0 & 0 \\ 0 & 0 & 5 \\ 0 & 5 & 0 \end{pmatrix}, \quad |\psi\rangle = \frac{1}{5} \begin{pmatrix} 3 \\ 0 \\ 4 \end{pmatrix}$$

(أ) جد الحالة $|\psi(t)\rangle$

(ب) قيمة الطاقة عند أي زمن لاحق t .

الحل:

أولاً نحتاج حساب المقيم المخصوصة والمتجهات المخصوصة للهاamiltonي وهذه هي

المتجهات المخصوصة المقابلة لها هي $E_1 = -5, E_2 = 3, E_3 = 5$

$$|\phi_1\rangle = \frac{1}{\sqrt{2}} \begin{pmatrix} 0 \\ -1 \\ 1 \end{pmatrix}, |\phi_2\rangle = \begin{pmatrix} 1 \\ 0 \\ 0 \end{pmatrix}, |\phi_3\rangle = \frac{1}{\sqrt{2}} \begin{pmatrix} 0 \\ 1 \\ 1 \end{pmatrix}$$

باستخدام مفهوك $\psi(0)$ بدلالة المتجهات المخصصة للهاamiltonي نجد

$$|\psi(0)\rangle = \frac{1}{5} \begin{pmatrix} 3 \\ 0 \\ 4 \end{pmatrix} = \frac{2\sqrt{2}}{5} |\phi_1\rangle + \frac{3}{5} |\phi_2\rangle + \frac{2\sqrt{2}}{5} |\phi_3\rangle$$

وباستخدام المعادلة (9.23) يكون لدينا

$$\begin{aligned} |\psi(t)\rangle &= \frac{2\sqrt{2}}{5} e^{-iE_1 t} |\phi_1\rangle + \frac{3}{5} e^{-iE_2 t} |\phi_2\rangle + \frac{2\sqrt{2}}{5} e^{-iE_3 t} |\phi_3\rangle \\ &= \frac{1}{5} \begin{pmatrix} 3e^{-3it} \\ -4i \sin 5t \\ 4 \cos 5t \end{pmatrix} \end{aligned}$$

لحساب $E(0)$ لدينا

$$\begin{aligned} E(0) &= \langle \psi(0) | H | \psi(0) \rangle \\ &= \frac{1}{25} \begin{pmatrix} 3 & 0 & 0 \\ 0 & 0 & 5 \\ 0 & 5 & 0 \end{pmatrix} \begin{pmatrix} 3 \\ 0 \\ 4 \end{pmatrix} = \frac{27}{25} \end{aligned}$$

$$\begin{aligned} E(t) &= \langle \psi(t) | H | \psi(t) \rangle \\ &= \frac{8}{25} e^{iE_1 t} e^{-iE_1 t} \langle \phi_1 | H | \phi_1 \rangle + \frac{9}{25} e^{iE_2 t} e^{-iE_2 t} \langle \phi_2 | H | \phi_2 \rangle + \frac{8}{25} e^{iE_3 t} e^{-iE_3 t} \langle \phi_3 | H | \phi_3 \rangle \\ &= \frac{8}{25} (-5) + \frac{9}{25} (3) + \frac{8}{25} (5) = \frac{27}{25} = E(0) \end{aligned}$$

وهذا متوقع نظراً لأن hamiltonي غير معتمد على الزمن أصلاً.

المتذبذب التواافقية البسيط

The Simple Harmonic Oscillator

هذه واحدة من أهم مسائل الفيزياء الكلاسيكية والكمومية على السواء. ذلك أن المتذبذب التواافقية يكاد يكون أساس بنية الكون كله فهو يدخل في كل شيء. فأي حركة دورية يمكن القول أنها حركة تواافقية بسيطة أو على الأقل يمكن تحليلها إلى حركات تواافقية بسيطة.

فالكواكب السيارة تتحرك حركة دورية حول الشمس والشمس تتذبذب فتستفع قليلاً وتنكمش قليلاً بين الحين والآخر. وهذه كلها هي متذبذبات كلاسيكية. لكن الجزئيات الثنائية للدارات والفوتوونات المتذبذبة في حيز محمد براتين (كما هو الحال في مرنان الليزر) هي ليست إلا متذبذبات توافقية كمومية أيضاً. لا بل أن الفوتوونات نفسها هي ليست إلا متذبذبات توافقية كمومية. لذلك فإن مسألة المتذبذب التوافيقي أهمية كبرى في الفيزياء سواء كان الجانب الكلاسيكي منها أو الجانب الكمومي. على أن الوجه الكمومي لمسألة ربما كان أكثر أهمية لكثره التطبيقات العملية التي تعتمد على هذه المسألة. ولغرض معرفة الخصائص الفيزيائية والمتغيرات التي يشتمل عليها المتذبذب التوافيقي أصبح من الضروري دراسة هذه المسألة على نحو مستفيض يُمكّننا من حساب مستويات طاقة المتذبذب ومتوجهاته المخصوقة.

في هذا الفصل سوف نقوم بحل مسألة المتذبذب التوافيقي الكمومي البسيط منطلقين أساساً من الهاامتوني الكلاسيكي المعروف منتقلين به إلى الصياغة الكمومية التي تتحذ من الصياغة الإجرائية سبيلاً إلى تشخيص المسألة وحلها رياضياً. ومن ثم نقوم بعد ذلك بتقديم التفسيرات والمضامين الفيزيائية لمسألة.

الصياغة الرياضية لمسألة

نعرف أن الهاامتوني الكلاسيكي للمتذبذب هو

$$H = \frac{p^2}{2m} + \frac{1}{2}kx^2 = \frac{p^2}{2m} + \frac{1}{2}m\omega^2 x^2 \quad (6.25)$$

حيث أن m هي كتلة الجسم المتذبذب و ω هي مقدار التردد الزاوي.

إن الهاامتوني (6.20) يمكن كتابته بالشكل التالي

$$H = \omega \left(\sqrt{\frac{m\omega}{2}}x - \frac{ip}{\sqrt{2m\omega}} \right) \left(\sqrt{\frac{m\omega}{2}}x + \frac{ip}{\sqrt{2m\omega}} \right) \quad (6.26)$$

والآن إذا أردنا أن نحوال هذا الهاamiltonي إلى الصياغة الكمومية فإننا ينبغي أن نحوال المتغيرات الفيزيائية (الملحوظات) إلى إجراءات مع مراعاة علاقات الإجراءات بعضها. وهذا يعني أن نكتب

$$\begin{aligned}\omega \left(\sqrt{\frac{m\omega}{2}}\hat{x} - \frac{i\hat{p}}{\sqrt{2m\omega}} \right) \left(\sqrt{\frac{m\omega}{2}}\hat{x} + \frac{i\hat{p}}{\sqrt{2m\omega}} \right) &= \frac{\hat{p}^2}{2m} + \frac{1}{2}m\omega^2\hat{x}^2 - \frac{i\omega}{2}(\hat{p}\hat{x} - \hat{x}\hat{p}) \\ &= H - \frac{1}{2}\hbar\omega\end{aligned}$$

حيث أنها استعملنا العلاقة التبادلية بين الموضع والزخم وهي

$$[\hat{x}, \hat{p}] = i\hbar \quad (6.27)$$

ولغرض تبسيط العمليات الرياضية سوف نعتبر أن $m = \omega = \hbar = 1$. وهذا الإعتبار جائز وكأننا نستخدم هنا وحدات خاصة للمتغيرات الفيزيائية، وبذلك نتخلص من كثير من الرموز الزائدة دون أن يخل هذا بشيء من محتوى المسألة. وبذلك يصبح الهاamiltonي بالشكل التالي

$$H = \frac{1}{2}(\hat{x} - i\hat{p})(\hat{x} + i\hat{p}) + \frac{1}{2}$$

والآن دعونا نُعرّف الإجراء التالي

$$\hat{a} = \frac{1}{\sqrt{2}}(\hat{x} + i\hat{p}) \quad (6.28)$$

ومنه يكون لدinya قرينه الهرمايتي هو

$$\hat{a}^\dagger = \frac{1}{\sqrt{2}}(\hat{x} - i\hat{p}) \quad (6.29)$$

وباستخدام هذه الإجراءات الجديدة يمكننا أن نكتب الهاamiltonي بالصيغة التالية

$$\hat{H} = \left(\hat{a}^\dagger \hat{a} + \frac{1}{2} \right) \quad (6.30)$$

لاحظ أن الإجراءات \hat{a} و \hat{a}^\dagger هي ليست هرماتية. لكن ماهي هذه الإجراءات الجديدة وما علاقتها التبادلية ببعضها وبغيرها من الإجراءات؟

دعنا نرى أولاً أن

$$[a, a^\dagger] = 1, \quad (6.31)$$

وأن

$$[\hat{H}, \hat{a}] = -\hat{a} \quad (6.32)$$

وهكذا نجد أيضاً أن

$$[H, a^\dagger] = a^\dagger \quad (6.33)$$

إن هذه العلاقات التبادلية قابلة للتحقيق المباشر ولا نحتاج لإثباتها إلا للعلاقة التبادلية بين الموضع والزخم أي العلاقة (6.22) وهذه العلاقات مفيدة جداً في تبسيط المسألة والوصول إلى حلولها الجبرية بأسهل الطرق وأيسراها.

كما يمكننا تعريف إجراء العدد \hat{N} الذي يُعرف عدد الجسيمات في الحالة المعينة وكما يلي

$$N = a^\dagger a \quad (6.34)$$

القيم المخصوصة للطاقة Energy Eigenvalues

دعنا الآن نرى إن كان بإمكاننا إيجاد القيم المخصوصة الممكنة للطاقة. بما أن طاقة الوضع للمتذبذب التوافقي لا تعتمد على الزمن فإن بإمكاننا استخدام معادلة شرودنجر غير المعتمدة على الزمن لغرض حساب القيم المخصوصة للطاقة وذلك باستخدام معادلة شرودنجر التالية

$$H |\psi_E\rangle = E |\psi_E\rangle \quad (6.35)$$

لકتنا باستخدام العلاقة (6.30) نستطيع أن نجد أن

$$\begin{aligned} Ha |\psi_E\rangle &= aH |\psi_E\rangle - a |\psi_E\rangle \\ &= (E - 1)a |\psi_E\rangle \end{aligned} \quad (6.36)$$

وهذا يعني أن $\langle \psi_E | a | \psi_E \rangle$ هو متجه مخصوص للهاملتوني H بقيمة مخصوصة قدرها $(E - 1)$. ولو أننا كررنا تشغيل الإجراء a فإننا نجد أن $\langle \psi_E | a^2 | \psi_E \rangle$ يكون متجه مخصوص للهاملتوني H بقيمة مخصوصة قدرها $(E - 2)$ وهكذا دواليك. ولذا فإن a يسمى إجراء الإففاء .Annihilation Operator

لكن هذه العملية لا يمكن أن تستمر إلى الملايين فلابد من وجود حد توقف عنده وذلك هو الحد الأدنى للطاقة E_0 . وعند بلوغ هذا الحد تكون القيمة الخاصة للإجراء المركب $\langle \psi_E | Ha | \psi_E \rangle$ هي صفر أي أن

$$Ha | \psi_{E_0} \rangle = 0 \quad (6.37)$$

معنى أن

$$a | \psi_{E_0} \rangle = 0 \quad (6.38)$$

والآن وباستخدام (6.25) نحصل على

$$H | \psi_{E_0} \rangle = E_0 | \psi_{E_0} \rangle = \frac{1}{2} | \psi_{E_0} \rangle \quad (6.39)$$

أي أن الحد الأدنى لطاقة المتذبذب التوافي الكمومي هي $\frac{1}{2}$ وإذا ما استعملنا الوحدات الكاملة تكون هذه $\frac{1}{2}\hbar\omega$ مما مختلف مع ما نتوقعه من الصورة الكلاسيكية للمسألة.

كذلك يمكننا عبر استخدام الإجراء الآخر a^\dagger الذي يسمى إجراء التخليق Creation Operator العمل على الصعود في مستويات الطاقة إلى أعلى من خلل $\langle \psi_E | a^\dagger | \psi_E \rangle$ فهذا هو متجه مخصوص للهاملتوني بقيمة مخصوصة قدرها $(E + 1)$ وكما يلي

$$\begin{aligned} H a^\dagger | \psi_E \rangle &= a^\dagger H | \psi_E \rangle + a^\dagger | \psi_E \rangle \\ &= (E + 1) a^\dagger | \psi_E \rangle \end{aligned} \quad (6.40)$$

وهكذا يمكننا إيجاد المستويات الأعلى التي لا تتوقف عند حد معين على عكس المستويات الدنيا. ومن هنا نستنتج أن طيف الطاقة للمتذبذب التوافي البسيط هو

$$E_n = n + \frac{1}{2} \quad (6.41)$$

وبدلالة الوحدات الكاملة تكون مستويات الطاقة هي

$$E_n = \left(n + \frac{1}{2} \right) \hbar \omega \quad (6.42)$$

حيث أن $n = 0, 1, 2, 3, \dots$

الدوال المخصوصة Eigenfunctions

إن إشتغال الإجراء Ha على المتجه $|\psi_E\rangle$ أظهر أن القيمة المخصوصة هي $E-1$ مما يعني أن وجود الإجراء a يؤدي إلى تخفيض مستوى الطاقة إلى الأدنى منه، ولذلك يمكننا القول بأن متجه الحالة الناتج عن اشتغال الإجراء a ينبغي أن يتناسب مع هذه الحالة أي أن

$$\hat{a} |\psi_n\rangle = \alpha |\psi_{n-1}\rangle \quad (6.43)$$

كما لاحظنا أن إشتغال الإجراء Ha^\dagger على المتجه أظهر أن القيمة المخصوصة هي $E+1$ مما يعني أن وجود الإجراء a^\dagger يؤدي إلى رفع مستوى الطاقة إلى الأعلى منه، ولذلك يمكننا القول بأن متجه الحالة الناتج عن اشتغال الإجراء a ينبغي أن يتناسب مع هذه الحالة أي أن

$$\hat{a}^\dagger |\psi_n\rangle = \beta_n |\psi_{n+1}\rangle \quad (6.44)$$

والآن

$$\langle \psi_m | \hat{a} | \psi_n \rangle = \alpha_n \langle \psi_m | \psi_{n-1} \rangle = \alpha_n \delta_{mn-1}$$

كذلك فإن

$$\langle \psi_m | \hat{a}^\dagger | \psi_n \rangle = \beta_n \langle \psi_m | \psi_{n+1} \rangle = \beta_n \delta_{mn+1}$$

يعني هذا أن

$$\alpha_{n+1} = \beta_n^* \quad (6.45)$$

كما أثنا نعلم أن

$$\langle \psi_m | \hat{a}\hat{a}^\dagger | \psi_n \rangle = (n+1) |\delta_{mn}| \quad (6.46)$$

ولكن هذا يمكن تقسيمه كما يلي

$$\begin{aligned} \langle \psi_m | a a^\dagger | \psi_n \rangle &= \sum_p \langle \psi_m | a | \psi_p \rangle \langle \psi_p | a^\dagger | \psi_n \rangle = (n+1) \delta_{mn} \\ &= \sum_p \alpha_p \delta_{mp-1} \beta_n \delta_{pn+1} = \alpha_{n+1} \beta_n \delta_{mn} \end{aligned}$$

لذا فإن

$$\alpha_{n+1} \beta_n = n+1$$

ويموجب المعادلة (6.37) يكون

$$|\alpha_{n+1}|^2 = |\beta_n|^2 = n+1$$

وهذا يعني أن

$$\alpha_n = \sqrt{n}, \quad \beta_n = \sqrt{n+1} \quad (6.47)$$

يعني أن

$$a |\psi_n\rangle = \sqrt{n} |\psi_{n-1}\rangle \quad (6.48)$$

وأن

$$a^\dagger |\psi_n\rangle = \sqrt{n+1} |\psi_{n+1}\rangle \quad (6.49)$$

وبهذا ومن خلال تعريف x و p بدلالة إجراءات الفناء والتخليق يمكننا تكوين علاقات التكرار التالية

$$\sqrt{n} |\psi_{n-1}\rangle - \sqrt{2}x |\psi_n\rangle + \sqrt{n+1} |\psi_{n+1}\rangle = 0 \quad (6.50a)$$

$$\sqrt{n} |\psi_{n-1}\rangle - i\sqrt{2}p |\psi_n\rangle - \sqrt{n+1} |\psi_{n+1}\rangle = 0 \quad (6.50b)$$

والآن دعونا نجد الدالة المخصوصة للمستوى الأدنى. نحن نعلم أن

$$\left(x + \frac{d}{dx} \right) |\psi_0\rangle = 0 \quad (6.51)$$

وحل هذه المعادلة التفاضلية بسيط وهو

$$|\psi_0\rangle = C e^{-x^2/2} \quad (6.52)$$

حيث أن C هو ثابت التقويم ويمكن إيجاده بسهولة خلال شرط التقويم

$$|C|^2 \int e^{-x^2} dx = |C|^2 \sqrt{\pi} = 1 \quad (6.53)$$

وبذلك يكون

$$C = \left(\frac{1}{\pi} \right)^{1/4} \quad (6.54)$$

أي أن المتجه المخصوص للحالة الدنيا للمتذبذب التواقي البسيط هو

$$|\psi_0\rangle = \left(\frac{1}{\pi} \right)^{1/4} e^{-x^2/2} \quad (6.55a)$$

وإذا ما أردنا أن نكتب هذا المتجه بدلاًة الوحدات الأصلية فيكون لدينا

$$|\psi_0\rangle = \left(\frac{m\omega}{\hbar\pi} \right)^{1/4} e^{-max^2/2\hbar} \quad (6.55b)$$

ويمكننا بمعرفة هذا المتجه حساب متجهات المستويات الأعلى من العلاقة

$$|\psi_n\rangle = \frac{1}{\sqrt{n!}} (a^\dagger)^n |\psi_0\rangle \quad (6.56)$$

مثلاً يمكننا تحصيل $|\psi_1\rangle$ كما يلي

$$a^\dagger |\psi_0\rangle = |\psi_1\rangle$$

ولما كانت

$$\hat{a}^\dagger = \frac{1}{\sqrt{2}} (\hat{x} - i\hat{p}) = \frac{1}{\sqrt{2}} \left(\hat{x} - \frac{\partial}{\partial x} \right)$$

فإن

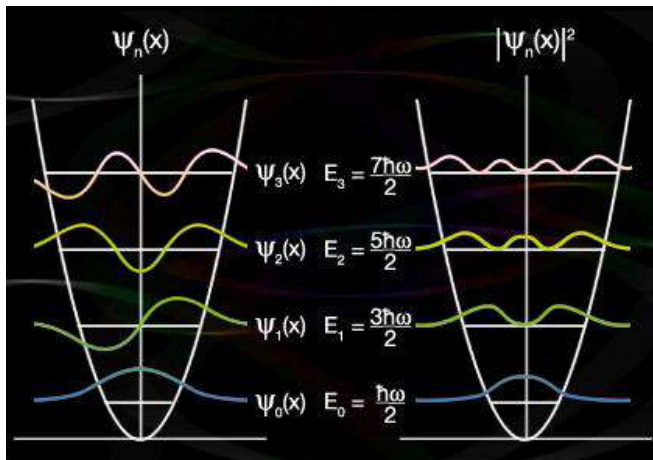
$$|\psi_1\rangle = \frac{1}{\sqrt{2}} \left(\hat{x} - \frac{\partial}{\partial x} \right) \left(\frac{1}{\pi} \right)^{1/4} e^{-x^2/2} = \frac{1}{\sqrt{2}} \left(\frac{1}{\pi} \right)^{1/4} 2x e^{-x^2/2} = \frac{1}{\sqrt{2\sqrt{\pi}}} H_1(x) e^{-x^2/2}$$

وهكذا يمكننا إيجاد متوجه الحالة لأي مستوى آخر من مستويات المتذبذب التواقي بتشغيل إجراء التخليق. عموماً يمكن كتابة الحل العام بالشكل التالي

$$|\psi_n\rangle = \frac{1}{\sqrt{2^n n! \sqrt{\pi}}} H_n(x) e^{-x^2/2} \quad (6.57)$$

حيث أن المعاملات H_n هي متعدد حدود هرمait المعطاة بعض منها في المعادلة . ومن المعادلة (6.55) يمكننا حساب أي متوجه حالة نريده بمعرفتنا للمتجه الإبدني. من خلال القيم المخصوصة لإجراءات الإفقاء والتخليق يمكننا معرفة القيمة المخصوصة لإجراء العدد حيث نجد أن

$$N |\psi_n\rangle = a^\dagger a |\psi_n\rangle = n |\psi_n\rangle$$



الشكل (6-1) دوال الموجة واحتمالية الحالات لمسألة المتذبذب التواقي البسيط

الممثل المصفوفي للإجراءات

يمكنا الحصول على التمثيل المصفوفي لإجراءات الإفقاء والتخليق من المعادلين (6.48) و (6.49) وكما يلي

$$\langle \psi_m | a | \psi_n \rangle = \sqrt{n} \delta_{mn-1} \quad (6.58)$$

كذلك فإن

$$\langle \psi_m | a^\dagger | \psi_n \rangle = \sqrt{n+1} \delta_{mn+1} \quad (6.59)$$

بالتالي تكون الصيغة المصفوفية كما يلي

$$a = \begin{pmatrix} 0 & \sqrt{1} & 0 & 0 & \cdot & \cdot & \cdot \\ 0 & 0 & \sqrt{2} & 0 & \cdot & \cdot & \cdot \\ 0 & 0 & 0 & \sqrt{3} & 0 & & \\ 0 & 0 & 0 & 0 & \sqrt{4} & & \\ \cdot & \cdot & \cdot & \cdot & \cdot & \sqrt{5} & \\ \cdot & \cdot & \cdot & \cdot & \cdot & \cdot & \end{pmatrix} \quad (6.60)$$

كذلك يمكننا إيجاد المصفوفة التي تمثل إجراء التخليق

$$a^\dagger = \begin{pmatrix} 0 & 0 & 0 & 0 & \cdot & \cdot & \cdot \\ \sqrt{1} & 0 & 0 & 0 & \cdot & \cdot & \cdot \\ 0 & \sqrt{2} & 0 & 0 & 0 & \cdot & \cdot \\ 0 & 0 & \sqrt{3} & 0 & 0 & \cdot & \cdot \\ \cdot & \cdot & \cdot & \sqrt{4} & 0 & 0 & \cdot \\ \cdot & \cdot & \cdot & \cdot & \cdot & \cdot & \cdot \end{pmatrix} \quad (6.61)$$

كما يمكننا تحصيل الصياغة المصفوفية لإجراء الموقع باستخدام العلاقة

$$x = \frac{1}{\sqrt{2}}(a + a^\dagger) \quad (6.62)$$

حيث أن

$$\langle \psi_m | x | \psi_n \rangle = \frac{1}{\sqrt{2}} \langle \psi_m | (a + a^\dagger) | \psi_n \rangle = \frac{1}{\sqrt{2}} [\sqrt{n} \delta_{mn-1} + \sqrt{n+1} \delta_{mn+1}]$$

$$x = \frac{1}{\sqrt{2}} \begin{pmatrix} 0 & \sqrt{1} & 0 & 0 & \dots & \dots \\ \sqrt{1} & 0 & \sqrt{2} & 0 & \dots & \dots \\ 0 & \sqrt{2} & 0 & \sqrt{3} & 0 & \dots \\ 0 & 0 & \sqrt{3} & 0 & \sqrt{4} & \dots \\ \dots & \dots & \dots & \sqrt{4} & 0 & \sqrt{5} \\ \dots & \dots & \dots & \dots & \dots & \dots \end{pmatrix} \quad (6.63)$$

أما التمثيل المصفوفي لإجراء الزخم الخطى فيمكن تحصيله من العلاقة

$$p = \frac{-i}{\sqrt{2}} (a - a^\dagger) \quad (6.64)$$

وهذه تؤدي إلى

$$p = \frac{1}{\sqrt{2}} \begin{pmatrix} 0 & -i\sqrt{1} & 0 & 0 & \dots & \dots \\ i\sqrt{1} & 0 & -i\sqrt{2} & 0 & \dots & \dots \\ 0 & i\sqrt{2} & 0 & -i\sqrt{3} & 0 & \dots \\ 0 & 0 & i\sqrt{3} & 0 & -i\sqrt{4} & \dots \\ \dots & \dots & \dots & i\sqrt{4} & 0 & -i\sqrt{5} \\ \dots & \dots & \dots & \dots & \dots & \dots \end{pmatrix} \quad (6.65)$$

أما التمثيل المصفوفي للهاملتوني فإن يتخذ الشكل التالي

$$H = \begin{pmatrix} 1/2 & 0 & 0 & 0 & \dots & \dots \\ 0 & 3/2 & 0 & 0 & \dots & \dots \\ 0 & 0 & 5/2 & 0 & 0 & \dots \\ 0 & 0 & 0 & 7/2 & 0 & \dots \\ \dots & \dots & \dots & 0 & 0 & 0 \\ \dots & \dots & \dots & \dots & \dots & \dots \end{pmatrix} \quad (6.66)$$

تطبيق معادلة هايزنبرغ للحركة

يمكننا تطبيق معادلة هايزنبرغ في الحركة على مسألة المتذبذب التوافقي لإيجاد إعتمادية الإجراءات الداخلية فيها على الزمن. لدينا

$$H = \hbar\omega \left(a^\dagger a + \frac{1}{2} \right) \\ = \hbar\omega \left(a^\dagger(t)a(t) + \frac{1}{2} \right) \quad (6.67)$$

وكان قد أثبتنا أن

$$[a(t), a^\dagger(t)] = 1,$$

وطبقاً لمعادلة هايزنبرغ في الحركة فإن

$$\frac{d a(t)}{dt} = \frac{i}{\hbar} [H, a(t)] \quad (6.68)$$

ولما كان

$$[H, a(t)] = \hbar\omega \left(a^\dagger aa - aa^\dagger a \right) \\ = \hbar\omega [a^\dagger, a] a \\ = -\hbar\omega a \quad (6.69)$$

فإن

$$\frac{d a(t)}{dt} = -i\omega a(t) \quad (6.70a)$$

وبالمثل نجد أن

$$\frac{d a^\dagger(t)}{dt} = i\omega a^\dagger(t) \quad (6.70b)$$

وحل هاتين المعادلتين هو

$$a(t) = a(0)e^{-i\omega t} \quad (6.71)$$

كذلك

$$a^\dagger(t) = a^\dagger(0)e^{i\omega t} \quad (6.72)$$

ولما كان

$$p = \frac{-i}{\sqrt{2}}(a - a^\dagger) \quad (6.73)$$

فإن

$$\begin{aligned} p(t) &= \frac{-i}{\sqrt{2}}(a(0)e^{-i\omega t} - a^\dagger(0)e^{i\omega t}) \\ &= \frac{-i}{\sqrt{2}}[(a(0) - a^\dagger(0))\cos\omega t - i(a(0) - a^\dagger(0))\sin\omega t] \\ &= p(0)\cos\omega t - x(0)\sin\omega t \end{aligned} \quad (6.74)$$

وبالمثل يكون لدينا

$$x(t) = x(0)\cos\omega t + p(0)\sin\omega t \quad (6.75)$$

وبهذا تكون قد كشفنا عن الإعتمادية الزمنية للإجراءات الأساسية في مسألة المتذبذب التوافقي.

تعليقًا على النتائج أعلاه أرى أن المتغيرات الفيزيائية الرئيسية في المسألة وهي الموضع x والزخم p تتعرض كما هو واضح إلى تحدد مستمر يحكم من خلال قيمة تردد المتذبذب التوافقي. وفي الوقت الذي تدفعنا الإجراءات (t) a^\dagger و $a(t)$ إلى القول بأنها هي وسيلة التخليق والإفناء فإننا نجد من المعادتين (6.64) و (6.65) أنهما بأنفسهما يخضعان لعملية التجدد خلال الزمن. أي أنهما كلاهما مخلوقان متجددان تباعاً أي أن عمليات التخليق والإفناء هي الأخرى متتجددة.

الطاقة الصفرية للمتذبذب التوافقي The Zero-Point Energy

لاحظنا عند حساب مستويات الطاقة للمتذبذب التوافقي البسيط أن هنالك حداً أدنى للطاقة يسمى الطاقة الصفرية للمتذبذب ومقداره $\frac{1}{2}\hbar\omega$. وهذا المقدار هو الحد الأدنى الذي يمكن أن تكون عليه طاقة المتذبذب إلا أنه مقدار صغير كما نرى إنما ليس صفرًا.

وبالإمكان إثبات أن هذه الطاقة الصفرية للمذبذب التوافقي ناتجة عن فعاليات ما يسمى تقلبات الفراغ Vacuum Fluctuations. وفي هذا التصور يفترض أن الفراغ مؤلف من عدد لا نهائي من متذبذبات مجانية Virtual موزعة على نطاق واسع من الترددات والتي تظهر وتختفي خلال زمن ضئيل جداً يساوي ثابت بلانك مقسوماً على الطاقة الكلية للتمذبذب. وبالتالي فإن طاقة الفراغ هي حصيلة ما يجتمع من هذه المتذبذبات المجانية. إن هذه المسألة لم تزل غير مفهومة ويتم معالجتها من خلال نظرية المجالات الكمومية ومن الملاحظ أن هنالك مشكلة جوهرية مزمنة في هذا التصور ذلك أن القول أن الفراغ يتألف من عدد لا نهائي من المتذبذبات التوافقية سيجعل الطاقة الكلية التي يحتويها الفراغ مقداراً لا يحدها وهذا غير معقول. لذلك يلجم الفيزيائيون إلى القول أن طاقة المتذبذبات الفراغية تلغى Cancel بعضها بعضاً، وهذا معقول، ليبقى بعد ذلك من مجموع الطاقة الكلية لا شيء فتكون طاقة الفراغ صفرًا بالنتيجة النهائية. وهذا الكلام صحيح إذا ما أهملنا تحدب الزمكان للفضاء الكوني. فالطاقة الكلية للفراغ المسطح تماماً هي صفر بالضبط. أما ما نجده فعلياً من خلال الأرصاد الكونية من طاقة فراغ أكبر من الصفر قليلاً فإن ذلك يعود لوجود تحدب قليل جداً للزمكان في وقتنا الحاضر تتولد عنه طاقة فراغ محدودة وصغيرة جداً تقدر بـ(10^{-9}) جول لكل متر مكعب. وقد كان هذا القدر كبيراً في المراحل المبكرة من خلق الكون حتى أنه كان المكون الأساس لطاقة الكون نفسها. وهذه تسمى طاقة كازمير Casimir Energy التي تتولد عندما يتم إحاطة الفضاء الفارغ بتحدب موجب. وقد تم التثبت عملياً من وجود طاقة كازمير وتم قياسها في مختبرات بل وغيرها في الولايات المتحدة الأمريكية. كما أن بحوثاً علمية جادة قد أجريت أثبتت أن طاقة الكون كلها يمكن أن تكون قد انتجت من خلال توليد طاقة كازمير.

القياس في ميكانيك الكموم

فيما سلف من البنود في هذا الفصل والفصول السابقة تعرضنا في موضع عديدة إلى كيفية حساب القيم المخصوصة وايجاد المتجهات المخصوصة كما قمنا بحساب القيم المتوقعة لإجراءات معينة. والآن نقدم مثالاً مهماً بين لنا تأثير قياس ملحوظ معين على متوجهة الحالة وكيف أن عملية قياس تالية يمكن أن تتأثر بالقياس الأول. هذا المثال مهم جدا لكونه يكشف عن هذه الصفة المميزة للإجراءات الغير متبادلة.

مثال: لديك متوجهة الحالة $|ψ\rangle$ والإجرائين A و B وكما يلي

$$|\psi\rangle = \begin{pmatrix} -1 \\ 2 \\ 1 \end{pmatrix}, \quad A = \frac{1}{\sqrt{2}} \begin{pmatrix} 0 & 1 & 0 \\ 1 & 0 & 1 \\ 0 & 1 & 0 \end{pmatrix}, \quad B = \begin{pmatrix} 1 & 0 & 0 \\ 0 & 0 & 0 \\ 0 & 0 & -1 \end{pmatrix}$$

ما هي احتمالية أن تعطينا عملية قياس $\langle A \rangle$ القيمة -1؟

دعنا نفترض القيام بعمليتين لقياس B و A تباعاً. ما إحتمالية أن نحصل على القيمة 0 لـ B و -1 لـ A.

دعنا الآن نفترض قياس A أولاً ثم B ما إحتمالية أن نحصل على القيمة 0 لـ B و 1 لـ A. فارن النتيجتين اللتين تحصل عليهما من (ب) و(ت) وفسر ذلك.

الحل:

ينبغي أولاً ملاحظة أن الإجرائين A و B غير مترادفين. وهذا يعني أن ليس لهما متجهات مخصوصة مترادفة (مشتركة). ثانياً: في مثل هذه الحالة فإن قياس قيمة ملحوظ معين سيؤدي إلى تأثير متوجهة الحالة وتحوله إلى متوجه آخر تحدده عملية القياس للملحوظ الأول.

دعنا نجد القيم المخصوصة والمتجهات المخصوصة للإجراءات A. وهذه هي

$a_{-1} = -1, a_0 = 0, a_1 = 1$ والتجهات المخصوصة المقابلة لهذه القيم هي

$$|a_{-1}\rangle = \frac{1}{2} \begin{pmatrix} -1 \\ \sqrt{2} \\ -1 \end{pmatrix}, |a_0\rangle = \frac{1}{\sqrt{2}} \begin{pmatrix} -1 \\ 0 \\ 1 \end{pmatrix}, |a_1\rangle = \frac{1}{2} \begin{pmatrix} 1 \\ \sqrt{2} \\ 1 \end{pmatrix}$$

إن إحتمالية أن تعطينا عملية قياس $\langle A \rangle$ القيمة -1 هو مسقط الحالة $\langle \psi(t) |$ على المتجه المخصوص الذي يقابل القيمة $a_{-1} = -1$ وهذا هو

$$P(a_{-1}) = \frac{|\langle a_{-1} | \psi(t) \rangle|^2}{\langle \psi(t) | \psi(t) \rangle}$$

لدينا $6 = \langle \psi(t) | \psi(t) \rangle$ وبالتالي فإن

$$P(a_{-1}) = \frac{1}{6} \left| \frac{1}{2} \begin{pmatrix} -1 & \sqrt{2} & -1 \end{pmatrix} \begin{pmatrix} -1 \\ 0 \\ 1 \end{pmatrix} \right|^2 = \frac{1}{3}$$

إن قياس B سوف تعطينا أي من القيم المخصوصة له وهذه هي $b_{-1} = -1, b_0 = 0, b_1 = 1$ حيث يتضح أنها نفس القيم المخصوصة لـ A لكن المتجهات المخصوصة لـ B هي

$$|b_{-1}\rangle = \begin{pmatrix} 0 \\ 0 \\ 1 \end{pmatrix}, |b_0\rangle = \begin{pmatrix} 0 \\ 1 \\ 0 \end{pmatrix}, |b_1\rangle = \begin{pmatrix} 1 \\ 0 \\ 0 \end{pmatrix}$$

لذلك فإن احتمالية تحصيل القيمة 0 هي مربع مسقط المتجه المخصوص المقابل لهذه القيمة المخصوصة على $\langle \psi(t) |$ أي

$$P(b_0) = \frac{|\langle b_0 | \psi(t) \rangle|^2}{\langle \psi(t) | \psi(t) \rangle} = \frac{1}{6} \left| \begin{pmatrix} 0 & 1 & 0 \end{pmatrix} \begin{pmatrix} -1 \\ 2 \\ 1 \end{pmatrix} \right|^2 = \frac{2}{3}$$

بعد قياس هذه القيمة تغير حالة النظام إلى حالة جديدة هي عبارة عن مسقط المتجه $\langle \psi(t) |$ على المتجه المخصوص $|b_0\rangle$ وهذا هو

$$|\phi(t)\rangle = |b_0\rangle \langle b_0| \psi(t) = \begin{pmatrix} 0 \\ 1 \\ 0 \end{pmatrix} \begin{pmatrix} 0 & 1 & 0 \end{pmatrix} \begin{pmatrix} -1 \\ 2 \\ 1 \end{pmatrix} = \begin{pmatrix} 0 \\ 2 \\ 0 \end{pmatrix}$$

لذلك فإن احتمالية قياس A أن يكون 1 هو مسقط المتجه المخصوص لـ A المقابل لهذه القيمة على متجه الحالة الجديد $\langle \phi(t) |$ أي

$$P(a_1) = \frac{|\langle a_1 | \phi(t) \rangle|^2}{\langle \phi(t) | \phi(t) \rangle} = \frac{1}{4} \left| \begin{pmatrix} 1 & \sqrt{2} & 1 \end{pmatrix} \begin{pmatrix} 0 \\ 2 \\ 0 \end{pmatrix} \right|^2 = \frac{1}{2}$$

ولذا فإننا إذا ما أردنا إحتمالية إيجاد قيمة B وقيمة A أعلى على التابع فإنها حصيلة مضروب الإحتماليتين وهذه هي

$$P(b_0, a_1) = P(b_0)P(a_1) = \frac{2}{3} \frac{1}{2} = \frac{1}{3}$$

بنفس الطريقة آنفة الذكر في فرع (ب) من السؤال يمكننا أن نقول أن قياس A أولاً ليكون ناتجه 1 سيعني أننا أزاء حالة جديدة للنظام بعد عملية القياس وهي

$$|\chi(t)\rangle = |a_1\rangle \langle a_1| \psi(t) = \frac{1}{4} \begin{pmatrix} 1 \\ \sqrt{2} \\ 1 \end{pmatrix} \begin{pmatrix} 1 & \sqrt{2} & 1 \end{pmatrix} \begin{pmatrix} -1 \\ 2 \\ 1 \end{pmatrix} = \frac{1}{\sqrt{2}} \begin{pmatrix} 1 \\ \sqrt{2} \\ 1 \end{pmatrix}$$

لذا فإن

$$P(b_0) = \frac{|\langle b_0 | \chi(t) \rangle|^2}{\langle \chi(t) | \chi(t) \rangle} = \frac{1}{4} \left| \begin{pmatrix} 0 & 1 & 0 \end{pmatrix} \begin{pmatrix} 1 \\ \sqrt{2} \\ 1 \end{pmatrix} \right|^2 = \frac{1}{2}$$

بالتالي فإن

$$P(a_1, b_0) = P'(a_1)P'(b_0) = \frac{1}{3} \frac{1}{2} = \frac{1}{6}$$

إن سبب اختلاف هذه النتيجة عن ما حصلنا عليه من الفرع (ب) هو أن الإجرائين غير مترادفين.

أسئلة مفاهيمية للفصل السادس

1. ما المعنى الفيزيائي للإجراءات؟
2. ما المعنى الفيزيائي لإجرائين غير متبادلتين؟ وما المعنى الفيزيائي لإجرائين متبادلتين؟
3. هل أن الإجراءات في ميكانيك الكموم خطية أم لا؟
4. ما أهمية أن تكون نظرية الكموم خطية؟
5. لو لم تكن نظرية الكموم نظرية خطية فهل بالإمكان استعمال مبدأ تراكب الأمواج؟
6. ما أهمية الإجراءات الهرمائية؟
7. ماذا يعني أن تكون الدوال المخصوصة لإجراء معين بقيم مخصوصة مختلفة متعمدة على بعضها؟ وما أهمية ذلك في تصور عالم موازية تنتمي لنفس الهاملتوني؟
8. ما أهمية إجراء الإسقاط وما دوره في ميكانيك الكموم؟
9. كيف يمكن أن نستفيد من العلاقات التبادلية للإجراءات وهل تتوقع أن العلاقات التبادلية تساهم في تحديد التمثيل المصفوفي للإجراءات؟
10. ما المضامين الفيزيائية لعدم تبادل إجرائين مع بعضهما؟
11. ما الفرق بين صورة شرودنجر وصورة هيزنبرغ؟
12. ما أهمية مسألة المتذبذب التوافقي وأين تكون أهم تطبيقاتها؟
13. ما إجراءات التخليق والإفناء؟ وهل هي هرمائية أم لا؟
14. ما الطاقة الصفرية للمتذبذب التوافقي وما مصدرها؟

مسائل الفصل السادس

س(1) إذا كان A و B هما إجرائين هرماتيين فاثبت أن

$$[A, B]^\dagger = -[A, B]$$

س(2) هل أن الإجراءات التالية هرماتية؟

$$(A + A^\dagger), \quad i(A + A^\dagger), \quad i(A - A^\dagger)$$

س(3) برهن أن القيم المخصوصة لمضاد الإجراء الهرماتي هي كميات غير حقيقة.

س(4) برهن أن $|\psi\rangle\langle\psi|$ يكون إجراء إسقاط فقط عندما تكون $|\psi\rangle$ مقومة.

س(5) برهن أن محصلة تبادل إجرائين هرماتيين هي إجراء هرماتي مضاد.

س(6) برهن رياضياً أن

$$\text{Tr}(AB) = \text{Tr}(BA) \quad (\dagger)$$

(ب) وبالتالي بين أن تريس (أثر) قوس التبادل يكون صفر دوماً.

س(7) خذ المصفوفات التالية

$$A = \begin{pmatrix} 5 & 3+2i & 3i \\ -i & 3i & 8 \\ 1-i & 1 & 4 \end{pmatrix}, \quad |\psi\rangle = \begin{pmatrix} -1+i \\ 3 \\ 2+2i \end{pmatrix}, \quad |\phi\rangle = (6 \quad -i \quad 5)$$

$$A|\psi\rangle, \langle\phi|A, \langle\phi|A|\psi\rangle, |\psi\rangle\langle\phi| \quad (\ddagger)$$

(ب) أوجد القرین المعقد والترانسبوز والقرین الهرماتي للإجراء A وللمتجهين $|\psi\rangle$ و $|\phi\rangle$.

س(8) (أ) إثبت أن مجموع إجرائي إسقاط لا يؤلف إجراء إسقاط ما لم يكون مضروباً بما صفرًا.

(ب) إثبت أن مضروب إجرائي إسقاط لا يؤلف إجراء إسقاط ما لم يكونا متبادلين.

س(9) إثبت أن إجراء الإسقاط هو إجراء هرماتي.

س(10) ما هو الشرط الذي يجب أن يكون نافذاً لكي تكون الإجراءات التالية وحدوية.

$$(1+iA)/(1-iA)$$

$$(1+iB)/\sqrt{A^2+B^2}$$

س(11) لديك إجراءات ممثلة بمصفوفاتها التالية

$$A = \begin{pmatrix} 5 & 0 & 0 \\ 0 & 1 & 2 \\ 0 & 2 & 1 \end{pmatrix}, B = \begin{pmatrix} 1 & 0 & 0 \\ 0 & 0 & 3 \\ 0 & 3 & 0 \end{pmatrix}, C = \begin{pmatrix} 0 & 3 & 0 \\ 3 & 0 & 2 \\ 0 & 2 & 0 \end{pmatrix}, D = \begin{pmatrix} 1 & 0 & 0 \\ 0 & 0 & -i \\ 0 & i & 0 \end{pmatrix}$$

جد نتيجة قياس الملاحظات المقابلة لهذه الإجراءات.

أي من هذه الإجراءات تبادلية؟ جد المتجهات المخصوصة الأساسية المشتركة بين هذه الإجراءات.

س(12) لديك متجه ابتدائي $|v_0>$ وهامiltonي

$$|v_0> = \frac{1}{5} \begin{pmatrix} 3 \\ 0 \\ 4 \end{pmatrix}, H = \begin{pmatrix} 3 & 1 & 0 \\ 0 & 0 & 5 \\ 0 & 5 & 0 \end{pmatrix},$$

لو أن قياساً للطاقة جرى فما ستكون النتيجة وبأية احتمالية؟

جد حالة النظام بعد زمن t وذلك بنشر $|v_0>$ بدلالة المتجهات المخصوصة للهامiltonي.

إحسب طاقة النظام الابتدائية (عند زمن $t=0$) وعند أي زمن آخر t . هل تجدها مختلفة؟

هل تؤلف المتجهات المخصوقة للهاamiltoni H مجموعة كاملة من الأسس؟

س(13) لديك المصفوفتين المربعتين

$$A = \begin{pmatrix} 1 & 0 & 0 \\ 0 & 7 & -3i \\ 0 & 3i & 5 \end{pmatrix}, \quad B = \begin{pmatrix} 0 & -i & 3i \\ -i & 0 & i \\ 3i & i & 0 \end{pmatrix}$$

هل أن A و B هرماتية؟ أوجد القيم المخصوصة والمجهات المخصوصة لهما. لماذا تكون القيم المخصوصة للمصفوفة A بينما تكون التي للمصفوفة B خيالية؟

س(14) لديك متجه الحال ψ والإجرائين A و B وكما يلي

$$|\psi\rangle = \frac{1}{6} \begin{pmatrix} 1 \\ 0 \\ 4 \end{pmatrix}, \quad A = \frac{1}{\sqrt{2}} \begin{pmatrix} 2 & 0 & 0 \\ 0 & 1 & i \\ 0 & -i & 1 \end{pmatrix}, \quad B = \begin{pmatrix} 1 & 0 & 0 \\ 0 & 0 & -i \\ 0 & i & 0 \end{pmatrix}$$

إذا أجرينا قياساً لـ A أولاً ثم أتبعناه بقياس B فما هي إحتمالية أن نحصل على القيمة 0 لـ A وقيمة 1 لـ B ؟

لو عكسنا تعاقب القياس فما هي الإحتمالية؟

قارن بين النتيجتين أعلاه ثم فسر لك.

س(15) إذا كان

$$H = \begin{pmatrix} 2 & i & 0 \\ -i & 1 & 1 \\ 0 & 1 & 0 \end{pmatrix},$$

(أ) هل أن المتجه $|\phi\rangle = \begin{pmatrix} i \\ 7i \\ -2 \end{pmatrix}$ هو من متجهاته المخصوصة؟

(ب) أوجد القيم المخصوصة للطاقة وسمها a_1, a_2, a_3 والتجهيزات المخصوصة المقومة. وسمها $|a_1\rangle, |a_2\rangle, |a_3\rangle$.

(ج) أوجد الإجراء هل أن $P = |a_1\rangle\langle a_1|$ هو إجراء إسقاط؟ إحسب قوس التبادل $[P, H]$ باستخدام جبر المتبدلات أولا ثم باستخدام ضرب المصفوفات.

س 16) تحت أبيه شروط تكون الإجراءات التالية وحدوية؟

$$C = (1 + iA) / (1 - iA)$$

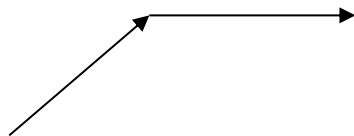
$$D = (1 + 1B) / \sqrt{|A|^2 + |B|^2}$$

س 17) اكتب معادلة شرودنجر لجسيم يتحرك في بعد واحد خلال مائة ويعاني من مقاومة تتناسب طرديا مع مربع السرعة ثم جد الحلول الممكنة للمعادلة.

الفصل السابع

الزخم الزاوي

يعتبر الزخم الزاوي من أهم الكميات الفيزيائية المعبرة عن مضمون الحركة منسوبة إلى نقطة مرجعية معينة. وإذا كان الزخم الزاوي مرتبطة في أذهاننا دوماً بالحركة الدورانية فإنه في الحقيقة ليس كذلك، أي أنه ليس مرتبطة بالحركة الدورانية فقط. ذلك لأن أي جسم يتحرك بالنسبة إلى نقطة مرجعية Reference Point يكون له زخم زاوي حول أي نقطة مرجعية (أنظر الشكل).



والزخم الزاوي هو كمية متتجهة ويعرف الزخم الزاوي بأنه المضروب المتتجهي لوضع الجسم عند آية لحظة مع زخم الخطى، أي أن

$$\mathbf{L} = \mathbf{r} \times \mathbf{p} \quad (7.1)$$

ويموجب ما نعرفه عن الضرب المتتجهي فإننا يمكن أن نكتب

$$\mathbf{L} \rightarrow L = (L_x, L_y, L_z) = \det \begin{bmatrix} i & j & k \\ x & y & z \\ p_x & p_y & p_z \end{bmatrix} \quad (7.2)$$

أي أن مركبات الزخم الزاوي الثلاثة، وهي كميات عدديه، ستكون

$$\begin{aligned} L_x &= (yp_z - zp_y) \\ L_y &= (zp_x - xp_z) \\ L_z &= (xp_y - yp_x) \end{aligned} \quad (7.3)$$

وفي ميكانيك الكموم يتخذ الزخم الزاوي كغيره من الكميات صيغة إجرائية فنتحول مركبات الزخم الخطى إلى الإجراءات التي تقابلها. فتكون لدينا مركبات الزخم الزاوي الثلاثة بالصيغة الإجرائية كما يلي

$$\begin{aligned}
 L_x &= (yp_z - zp_y) = -i\hbar \left(y \frac{\partial}{\partial z} - z \frac{\partial}{\partial y} \right) \\
 L_y &= (zp_x - xp_z) = -i\hbar \left(z \frac{\partial}{\partial x} - x \frac{\partial}{\partial z} \right) \\
 L_z &= (xp_y - yp_x) = -i\hbar \left(x \frac{\partial}{\partial y} - y \frac{\partial}{\partial x} \right)
 \end{aligned} \tag{7.4}$$

وبدالة الإحداثيات القطبية الكروية تكون صيغة هذه المركبات كما يلي

$$\begin{aligned}
 L_x &= i\hbar \left(\sin \phi \frac{\partial}{\partial \theta} + \frac{\cos \phi}{\tan \theta} \frac{\partial}{\partial \phi} \right) \\
 L_y &= i\hbar \left(-\cos \phi \frac{\partial}{\partial \theta} + \frac{\sin \phi}{\tan \theta} \frac{\partial}{\partial \phi} \right) \\
 L_z &= -i\hbar \frac{\partial}{\partial \phi}
 \end{aligned} \tag{7.5}$$

وتكون صيغة مربع الزخم الزاوي الكلي هي

$$L^2 = -\hbar^2 \left[\frac{1}{\sin \theta} \frac{\partial}{\partial \theta} \left(\sin \theta \frac{\partial}{\partial \theta} \right) + \frac{1}{\sin^2 \theta} \frac{\partial^2}{\partial \phi^2} \right]. \tag{7.6}$$

العلاقات التبادلية Commutation Relations

على الرغم من أن مركبات الزخم الزاوي بصيغتها الكلاسيكية هي كميات متبادلة أي أن $L_x L_y = L_y L_x$ فإن مركبات الزخم الزاوي بصيغتها الإجرائية ليست متبادلة حيث نجد أن

$$[L_x, L_y] = i\hbar L_z \tag{7.7}$$

وكذلك نجد

$$[L_y, L_z] = i\hbar L_x \tag{7.8}$$

وأيضاً

$$[L_z, L_x] = i\hbar L_y \tag{7.9}$$

ولما كانت

$$L^2 = L_x^2 + L_y^2 + L_z^2 \quad (7.10)$$

فإنه يمكن أن نثبت أن

$$[L^2, L_i] = 0 \quad (7.11)$$

وذلك لجميع مركبات الزخم الزاوي. مثلاً

$$\begin{aligned} [L_z, L^2] &= [L_z, L_x^2 + L_y^2 + L_z^2] \\ &= [L_z, L_x]L_x + L_x[L_z, L_x] + [L_z, L_y]L_y + L_y[L_z, L_y] \\ &= i\hbar L_y L_x + i\hbar L_x L_y - i\hbar L_x L_y - i\hbar L_y L_x = 0 \end{aligned} \quad (7.12)$$

إن هذه العلاقات التبادلية مهمة جداً لحساب القيم المخصوصة والدوال المخصوصة للزخم الزاوي. فمثلاً نعرف أنه لا توجد دالة مخصوصة مشتركة لجميع مركبات الزخم الزاوي وذلك لأن هذه المركبات كما نرى غير تبادلية. لكننا يمكن أن نجد دوالاً مخصوصة مشتركة لمربع الزخم الزاوي الكلي وواحدة من المركبات فقط. من جانب آخر فإن عدم تبادل أي إجرائين يوجب وجود مقدار من اللادقة في قياس الملاحظين اللذين يقابلهما وذلك حسب العلاقة (6.12) التي سبقت البرهنة عليها.

المتجهات المخصوصة للزخم الزاوي

الواضح أن إجراءات الزخم الزاوي هي تفاضلات زاوية. وكما قلنا فإنه لا يمكننا أبداً إيجاد متجهات مخصوصة مشتركة لجميع المركبات بل هي ممكنة فقط لمربع الزخم الزاوي الكلي ولو واحدة من المركبات ونظراً لأن المركبة L_z هي الأبسط فإننا نختارها مع مربع الزخم الزاوي L^2 ونجعل $\langle |lm\rangle$ يرمز إلى المتجهات المخصوصة المشتركة لهما معاً حيث نضع

$$L^2 |lm\rangle = l(l+1)\hbar^2 |lm\rangle \quad (7.13)$$

كذلك

$$L_z |lm\rangle = m\hbar |lm\rangle \quad (7.14)$$

يمكن إعادة كتابة المعادلة (7.13) بصيغة صريحة أكثر كما يلي

$$\left[\frac{1}{\sin \theta} \frac{\partial}{\partial \theta} \left(\sin \theta \frac{\partial}{\partial \theta} \right) + \frac{1}{\sin^2 \theta} \frac{\partial^2}{\partial \phi^2} \right] |lm\rangle + l(l+1) |lm\rangle = 0$$

ولما كانت $|lm\rangle$ هي دالة للزاوتيين θ و ϕ فإننا يمكن أن نكتب

$$|lm\rangle = P(\theta)\Phi(\phi) \quad (7.15)$$

ثم نجري عملية فصل المتغيرات التقليدية ليصبح لدينا

$$\left[\frac{\Phi(\phi)}{\sin \theta} \frac{\partial}{\partial \theta} \left(\sin \theta \frac{\partial P(\theta)}{\partial \theta} \right) + \frac{P(\theta)}{\sin^2 \theta} \frac{\partial^2 \Phi(\phi)}{\partial \phi^2} \right] + l(l+1)P(\theta)\Phi(\phi) = 0$$

وبالقسمة على $P(\theta)\Phi(\phi)$ نجد أن هذه المعادلة يمكن فصلها إلى معادلتين وكما يلي

$$\left[\sin \theta \frac{\partial}{\partial \theta} \left(\sin \theta \frac{\partial P(\theta)}{\partial \theta} \right) \right] + l(l+1) \sin^2 \theta P(\theta) + m^2 P(\theta) = 0$$

وهذه هي معادلة لجندر الفرنسي الذي وجد أن حلها هو متعدد حدود Polynomial سمى متعدد حدود لجندر المشارك Associated Legendre Polynomial الذي يعتمد على قيم l و m وصيغته كما يلي

$$P_{lm}(x) = (1-x^2)^{m/2} \frac{d^{|m|}}{dx^{|m|}} P_l(x) \quad (7.16)$$

حيث أن

$$P_l(x) = \frac{1}{2^l l!} \frac{d^l}{dx^l} (x^2 - 1)^l \quad (7.17)$$

$x = \cos \theta$ وفيه

ومن هذا يتضح أن

$$P_{l0}(x) = P_l(x) \quad (7.18)$$

وهكذا يمكن أن نجد مثلاً أن

$$P_1(\cos \theta) = \cos \theta$$

$$P_2(\cos \theta) = \frac{1}{2}(3\cos^2 \theta - 1) \quad (7.19)$$

$$P_3(\cos \theta) = \frac{1}{2}(5\cos^3 \theta - 3\cos \theta)$$

إن دوال لجندر هذه ترتبط مع بعضها بعلاقة التعامد Orthogonality التالية

$$\int_{-1}^1 P_{l''}(x)P_l(x)dx = \frac{2}{2l+1}\delta_{l''l} \quad (7.20)$$

كذلك فإن هذه الدوال ترتبط بعلاقة الكمال Completeness التالية

$$\frac{1}{2} \sum_{l=0}^{\infty} (2l+1)P_l(x)P(x) = \delta(x - x) \quad (7.21)$$

كما أن

$$P_l(-x) = (-1)^l P_l(x) \quad (7.22)$$

وإن

$$P_{lm}(-x) = (-1)^{l+m} P_{lm}(x) \quad (7.23)$$

وكذلك نجد أن المعادلة الثانية على ϕ هي

$$\frac{\partial^2 \Phi}{\partial \phi^2} + m^2 \Phi = 0$$

وحلها بسط جداً فهذه تعني أن

$$\Phi(\phi) = Ce^{im\phi}$$

ولإيجاد قيمة ثابت التقويم C نجعل

$$\int_0^{2\pi} \Phi^* \Phi d\phi = |C|^2 \int_0^{2\pi} d\phi = 1$$

ومنه نجد أن

$$C = \frac{1}{\sqrt{2\pi}}$$

وهكذا تكون صيغة الحل المقوم للجزء هي

$$\Phi(\phi) = \frac{1}{\sqrt{2\pi}} e^{im\phi} \quad (7.24)$$

وبجمع الحلين على بعضهما نرى أن الحل المقوم الكامل لمتجه الزخم الزاوي المخصوص هو التوافقيات الكروية التالية

$$Y_{lm}(\theta, \phi) = (-1)^m \sqrt{\left(\frac{2l+1}{4\pi}\right) \frac{(l-m)!}{(l+m)!}} P_{lm}(\cos \theta) e^{im\phi} \quad (7.25)$$

من الخواص الأخرى لهذه الدوال أن

$$Y_{l,-m} = (-1)^m Y_{l,m}^* \quad (7.26)$$

وكذلك علاقات التعامد

$$\langle Y_{l'm'} | Y_{lm} \rangle = \delta_{l'l} \delta_{m'm} \quad (7.27)$$

وفيمما يلي جدول بالصيغ المحسوبة لبعض التوافقيات الكروية

$$\begin{aligned}
Y_{10} &= \sqrt{\frac{3}{4\pi}} \cos \theta \\
Y_{11} &= -\sqrt{\frac{3}{8\pi}} \sin \theta e^{i\phi} \\
Y_{22} &= \sqrt{\frac{15}{32\pi}} \sin^2 \theta e^{2i\phi} \\
Y_{21} &= -\sqrt{\frac{15}{8\pi}} \sin \theta \cos \theta e^{i\phi} \\
Y_{20} &= \sqrt{\frac{5}{16\pi}} (3 \cos^2 \theta - 1)
\end{aligned} \tag{7.28}$$

ربما كانت هذه الدوال القياسية هي أهم دوال على الإطلاق في الفيزياء فإن لها تطبيقات مهمة جداً فضلاً عن أنها تعبر عن تكوينات طبيعية في توزيعات المكان.

مثال: تتالف جزيئه الميثان CN من ذرة كربون وذرة نتروجين تفصلهما مسافة a وتدور الذرتان في مستوى محور يمر بمركز الكتلة للجزيء وعمودي على مستوى الدوران. جد (أ) الهاامتوني الذي يصف هذا النظام. (ب) جد طيف الطاقة. أكتب معادلة لقيمة الفرق في الطاقة ما بين الحالة الدنيا والحالة المثارة الأولى بدلاله كتل الذرات والمسافة بينهما.

الحل: (أ) على افتراض أن الدوران يتم حول المحورين المتعامدين x و y فإن الطاقة الحركية

$$H = \frac{L_x^2 + L_y^2}{2I} = \frac{\mathbf{L}^2 - L_z^2}{2I}$$

حيث أن I هو عزم القصور الذاتي للنظام.

(ب) نظراً لعدم وجود دوران حول المحور z فإن القيمة المخصوقة له ستكون صفراء وبالتالي

$$E = \frac{\hbar^2 \ell(\ell+1)}{2I}$$

لفرض حساب الطاقة نحتاج إلى معرفة عزم القصور الذاتي وهو هنا

حيث أن

$$M_{red} = \frac{M_C M_N}{M_C + M_N} = \frac{12 \times 14}{26} M_{nucleon} = 6.46 M_{nucleon}$$

وإذا ما أخذنا المسافة بين الذرتين بالأنكستروم فإن

$$I = 6.46 \times (1.67 \times 10^{-27} kg) (10^{-10} m / A)^2 a_A^2 = 1.08 \times 10^{-46} a_A^2$$

ما يعني أن الفرق في الطاقة بين الحالة الدنيا $I=0$ والحالة المثارة الأولى هو

$$\Delta E = \frac{(1.05 \times 10^{-34} J.s)^2}{1.08 \times 10^{-46} a_A^2 kg m^2} \times \frac{1}{(1.6 \times 10^{-19} J / eV)} = \frac{6.4 \times 10^{-4}}{a_A^2} eV$$

التوافقيات الكروية أساساً لفضاء هيلبرت

كما بينا آنفأً فإن التوافقيات الكروية والتي هي دوال زاوية تصف توزيعات مكانية على سطوح كروية هي الدوال المخصصة للزخم الزاوي ومركباته. هذه الدوال يمكن أن تؤلف أساساً لفضاء هيلبرت حيث أنها تؤلف مجموعة كاملة من الدوال المتعامدة والمقومة. وبموجب ذلك يمكن أستعمالها كأسس لنشر الدوال الزاوية الموصوفة على السطوح الكروية. مثلاً

$$f(\theta, \phi) = \sum_l \sum_m C_{lm} Y_{lm}(\theta, \phi)$$

حيث أن

$$C_{lm} = \int d\Omega Y_{lm}^*(\theta, \phi) f(\theta, \phi)$$

وإذا ما كانت $f(\theta, \phi)$ دالة زاوية مقومة بحيث يكون

$$\int d\Omega |f(\theta, \phi)|^2 = 1$$

فإن المعاملات $|C_{lm}|^2$ تمثل إحتماليات إيجاد قيم متزامنة للإجرائين L^2 و L_z بقيم $l(l+1)\hbar^2$ و $m\hbar$ على التوالي. وذلك لأن احتمالية إيجاد القيمة في أي عملية قياس هي

$$P(l) = \sum_{m=-l}^l |C_{lm}|^2$$

كذلك تكون القيمة المتوقعة لـ L_z هي

$$\langle L_z \rangle = \sum_l \sum_{m=-l}^l m\hbar |C_{lm}|^2$$

و عموما يمكننا أن نكتب المتجه بالطريقة التالية

$$|\psi\rangle = \sum_l \sum_{m=-l}^l C_{lm} |Y_{lm}\rangle$$

ولما كانت

$$\langle Y_{l'm'} | Y_{lm} \rangle = \delta_{l'l} \delta_{mm'}$$

فإن

$$C_{lm} = \langle Y_{lm} | \psi \rangle$$

وهكذا تصبح

$$|\psi\rangle = \sum_l \sum_{m=-l}^l |Y_{lm}\rangle \langle Y_{lm} | \psi \rangle$$

وهذا يعني أن

$$\sum_l \sum_{m=-l}^l |Y_{lm}\rangle \langle Y_{lm}| = 1$$

ما يؤكد أنها مجموعة كاملة من الأسس

أن هذا النشر بدلالة التواقيع الكروية مفيد جدا في تحليلات التوزيع المكاني لأية متغيرات على سطح كروي وقد تم استخدام هذا التقنية في تحليل الاختلافات في توزيعات درجة الحرارة للخلفية الكونية المايكروية التي هي من مخلفات فترة الانفجار العظيم في مراحل خلق الكون الأولى.

إجراءات الرفع والخفض Raising and Lowering Operators

كيف لنا أن ننتقل من متجه مخصوص إلى آخر؟ من حالة للزخم الزاوي إلى أخرى؟ لهذا الغرض يتم تعريف إجرائين جديدين هما

$$L_+ = L_x + iL_y \quad (7.29)$$

وكذلك

$$L_- = L_x - iL_y \quad (7.30)$$

ومن خلال معرفتنا بالصيغة الصريحة للإجراءات L_x و L_y فليس من الصعب معرفة الصيغة الصحيحة للإجراءات الجديدة وهذه هي

$$L_{\pm} = \hbar e^{\pm i\phi} \left(\pm \frac{\partial}{\partial \theta} + i \cot \theta \frac{\partial}{\partial \phi} \right) \quad (7.31)$$

من الواضح أننا نتمكن من (7.29) و (7.30) أن نجد أن

$$L_x = \frac{1}{2} (L_+ + L_-) \quad (7.32)$$

كما أن

$$L_y = -\frac{i}{2} (L_+ - L_-) \quad (7.33)$$

العلاقات التبادلية

من خلال الصيغ السابقة للإجرائين L_x و L_y نتمكن من إيجاد العلاقات التبادلية للإجراءات L_+ و L_- وكما يلي

$$[L_+, L_-] = 2\hbar L_z \quad (7.34)$$

كذلك

$$[L_z, L_{\pm}] = \pm \hbar L_{\pm} \quad (7.35)$$

وأيضا يمكننا أن ثبت أن

$$[L^2, L_{\pm}] = 0 \quad (7.38)$$

إن هذه العلاقة أهمية خاصة لكون L_{\pm} لها علاقة مع L_x و L_y بالتعريف. وبالتالي يمكننا توظيف هذه العلاقة لابحاث المتجهات المخصوصة والقيم المخصوصة لـ L_{\pm} ومنها إيجاد القيم المخصوصة للمركبات L_x و L_y .

الدوال المخصوصة لإجراءات الرفع والانخفاض

ما هو فعل الإجراء L_+ عندما يعمل على المتجه المخصوص $|lm\rangle$ ؟

دعنا أولاً ننظر في ما يلي

$$L_z L_+ |lm\rangle = (L_z L_z + \hbar L_+) |lm\rangle = (m+1)\hbar L_+ |lm\rangle$$

معنى أن $|lm\rangle$ هو متجه مخصوص لإجراء L_z بقيمة مخصوصة قدرها $(m+1)\hbar$ ولما كانت هذه القيمة المخصوصة متعلقة بالمتجه الأعلى أي $|lm+1\rangle$ جاز لنا أن نسمى الإجراء L_+ إجراء الرفع Raising Operator. بذات الوقت يمكننا هذا من أن نضع

$$L_+ |lm\rangle = C_+ |lm+1\rangle$$

ولإيجاد قيمة C_+ فإننا ننظر في العلاقة التالية

$$\langle L_+ lm | L_+ | lm \rangle = |C_+|^2$$

وهذا يعني أن

$$\begin{aligned} \langle L_+ lm | L_+ lm \rangle &= \langle lm | L_- L_+ lm \rangle \\ &= \langle lm | L^2 - L_z^2 - \hbar L_z | lm \rangle \\ &= l(l+1)\hbar^2 - m^2\hbar^2 - m\hbar^2 \\ &= [l(l+1) - m(m+1)]\hbar^2 \end{aligned}$$

وهكذا نجد أن

$$C_+ = \sqrt{l(l+1) - m(m+1)}\hbar \quad (7.39)$$

ما يمكننا من أن نكتب

$$L_+ |lm\rangle = \sqrt{l(l+1) - m(m+1)}\hbar |lm+1\rangle \quad (7.40)$$

وكذا بالمثل يمكننا إيجاد العلاقة

$$L_z L_- |lm\rangle = (L_z L_z - \hbar L_-) |lm\rangle = (m-1)L_- |lm\rangle$$

معنى أن $L_- |lm\rangle$ هو متوجه مخصوص للإجراء L_z بقيمة مخصوصة قدرها $(m-1)$. ولما كانت هذه القيمة المخصوصة متعلقة بالمتوجه الأدنى أي $|lm-1\rangle$ جاز لنا أن نسمى الإجراء L_- إجراء الخفض Lowering Operator بذات الوقت يمكننا هذا من أن نكتب

$$L_- |lm\rangle = C_- |lm\rangle$$

وإيجاد قيمة C_- فإننا ننظر في العلاقة التالية

$$\langle L_- lm | L_- lm \rangle = |C_-|^2$$

ومنها نجد أن

$$C_- = \sqrt{l(l+1) - m(m-1)} \hbar \quad (7.41)$$

وهكذا يكون لدينا

$$L_- |lm\rangle = \sqrt{l(l+1) - m(m-1)} \hbar |lm-1\rangle \quad (7.42)$$

وبهذا تكتمل صياغة كافة العلاقات ومعادلات القيم المخصوصة.

حدود القيم المخصوصة

بما أن

$$\begin{aligned} \langle L_{\pm}(lm) | L_{\pm}(lm) \rangle &= \langle lm | L_z L_{\pm} | lm \rangle \\ &= \langle lm | L^2 - L_z^2 \pm \hbar L_z | lm \rangle \\ &= \hbar^2 [l(l+1) - m(m \mp 1)] \geq 0 \end{aligned} \quad (7.43)$$

فإن هذا يعني أن

$$l(l+1) = m(m+1)$$

$$l(l+1) = m(m-1)$$

وبالتالي فإن $l < m < l$ – أي أن القيمة العظمى التي تأخذها m هي l وما بعدها قيمة والقيمة الدنيا هي $-l$ وما أدنى منها قيمة. لذلك نقول $L_+ | lm_{\max} \geq 0$ وكذلك $L_- | lm_{\min} \geq 0$.

من الواضح أن القيم المخصوصة لمركبة الزخم الزاوي تمثل مستويات متوازدة وعددتها الكلى لأية قيمة معطاة من l هو $2l+1$. فضلاً عن ذلك فإن قيم l نفسها تمثل توالياً مستويات الطاقة وذلك لأن طاقة الإلكترون في الذرة تعتمد على قيمة n أساساً.

مثال: قلنا أن بالإمكان استخدام إجراءات الرفع والخفض لتحصيل المتجهات المخصوصة على مدى القيم المسموحة. ويمكن بها حساب الدوال للحالات الأدنى والحالات الأعلى من دوال معروفة. وفي هذا المثال نقدم نموذجاً لهذا الحساب.

إذا علمت أن

$$Y_{22} = \sqrt{\frac{15}{32\pi}} \sin^2 \theta e^{2i\phi}$$

فإحسب Y_{20} , Y_{21} .

الحل: نعلم أن

وبالتالي فإن

$$\begin{aligned} Y_{21} &= \frac{1}{2} L_- Y_{22} = \frac{1}{2} e^{-i\phi} \left(-\frac{\partial}{\partial \theta} + i \cot \theta \frac{\partial}{\partial \phi} \right) \sqrt{\frac{15}{32\pi}} \sin^2 \theta e^{2i\phi} \\ &= -2 \sqrt{\frac{15}{32\pi}} \sin \theta \cos \theta e^{i\phi} = -\sqrt{\frac{15}{8\pi}} \sin \theta \cos \theta e^{i\phi} \end{aligned}$$

ولحساب Y_{20} نكرر تشغيل L_- على الدالة Y_{21} هذه المرة. ونترك هذا كواجب بيتي للطالب.

حساب قيم الزخم الزاوي واحتمالاته

يمكننا ببساطة حساب القيم المتوقعة للزخم الزاوي ومركباته من خلال معرفتنا بدالة الموجة أو متوجه الحالات. والمثال التالي يوضح كيفية تحصيل ذلك

مثال: جسيم يتحرك في ضمن مجال قوة مركزية تصفه دالة الموجة

$$\psi(x, y, z) = \frac{(xy + yz + zx)}{r^2}$$

ما هي احتمالية أن تكون قيمة مربع الزخم الزاوي صفرًا. وما هي احتمالية حصولنا على $m=2, 1, -1, -2$ إذا كانت \hbar^2 هي الاحتماليات النسبية للحالات التي تكون فيها

?0, -1, -2

الحل: لغرض تأمين حساب الإحتمالية وطالما أن النظام يتمتع بصفة التناظر الكروي كونه مجال قوة مركزية فإن من الأفضل كتابة دالة الموجة بدالة التوافقيات الكروية المناسبة لهذا لدينا فإن الغرض

$$\begin{aligned} \frac{xy + yz + zx}{r^2} &= \sin^2 \theta \sin \phi \cos \phi + (\sin \phi + \cos \phi) \sin \theta \cos \theta \\ &= \frac{1}{2} \sin^2 \theta \frac{e^{2i\phi} - e^{-2i\phi}}{2i} + \sin \theta \cos \theta \left(\frac{e^{i\phi} - e^{-i\phi}}{2i} + \frac{e^{i\phi} + e^{-i\phi}}{2} \right) \end{aligned}$$

وبالمقارنة مع جداول التوافقيات الكروية يمكننا بسهولة أن نجد أن

$$e^{2i\phi} \sin^2 \theta = \sqrt{\frac{32\pi}{15}} Y_{2,2}; \quad e^{-2i\phi} \sin^2 \theta = \sqrt{\frac{32\pi}{15}} Y_{2,-2}$$

$$e^{i\phi} \sin \theta \cos \theta = -\sqrt{\frac{8\pi}{15}} Y_{2,1}; \quad e^{-i\phi} \sin \theta \cos \theta = \sqrt{\frac{8\pi}{15}} Y_{2,-1}$$

لذلك يمكن أن نكتب

$$\begin{aligned} \frac{xy + yz + zx}{r^2} &= \frac{1}{2} \sin^2 \theta \frac{e^{2i\phi} - e^{-2i\phi}}{2i} + \sin \theta \cos \theta \left(\frac{e^{i\phi} - e^{-i\phi}}{2i} + \frac{e^{i\phi} + e^{-i\phi}}{2} \right) \\ &= \frac{1}{4i} \sqrt{\frac{32\pi}{15}} Y_{2,2} - \frac{1}{4i} \sqrt{\frac{32\pi}{15}} Y_{2,-2} - \frac{-i+1}{2} \sqrt{\frac{8\pi}{15}} Y_{2,1} + \frac{i+1}{2} \sqrt{\frac{8\pi}{15}} Y_{2,-1} \end{aligned}$$

وهذا يعني أن دالة الموجة تتناسب إلى الحالة $l=2$ مما يعني أن إحتمالية أن تكون قيمة مربع الزخم الزاوي صفرًا هي صفر. وإن إحتمالية أن تكون قيمة مربع الزخم الزاوي $6\hbar^2$ هي واحد صحيح نظرًا لأن هذه القيمة هي حالة $l=2$. لكن دالة الموجة لو كتبناها بدلالة اتفاقيات الكروية أعلى فإنها لن تكون مقومة علينا تقويمها. وهذا لدينا مربع المعاملات هو $\frac{5}{4\pi} = \frac{4\pi}{15} = \frac{2\pi}{15} + \frac{2\pi}{15} + \frac{4\pi}{15} + \frac{4\pi}{15}$ وذلك ينبع أن نضرب في $\sqrt{\frac{5}{4\pi}}$ وبذلك تصبح الدالة مقومة ومنها نحسب إحتمالية القيم المطلوبة $P_{+2} = P_{-2} = \frac{5}{2\pi} \frac{2\pi}{15} = \frac{1}{6}$ وكذلك بالمثل نحسب $P_{+1} = P_{-1} = \frac{1}{3}$

العناصر المصفوفية للزخم الزاوي

من السهل أن نحسب العناصر المصفوفية لمربع الزخم الزاوي وهي

$$\begin{aligned} \langle l'm' | L^2 | lm \rangle &= l(l+1)\hbar^2 \langle l'm' | lm \rangle \\ &= l(l+1)\hbar^2 \delta_{l'l} \delta_{m'm} \end{aligned}$$

وبالنسبة للمركبة z فإن العناصر هي

$$\begin{aligned} \langle l'm' | L_z | lm \rangle &= m\hbar \langle l'm' | lm \rangle \\ &= m\hbar \delta_{l'l} \delta_{m'm} \end{aligned}$$

كذلك فإن من السهل أن نجد أن

$$\begin{aligned} \langle l'm' | L_+ | lm \rangle &= \sqrt{l(l+1) - m(m+1)} \hbar \langle l'm' | lm+1 \rangle \\ &= \sqrt{l(l+1) - m(m+1)} \hbar \delta_{l'l} \delta_{m'm+1} \end{aligned}$$

وكذلك فإن

$$\begin{aligned} \langle l'm' | L_- | lm \rangle &= \sqrt{l(l+1) - m(m-1)} \hbar \langle l'm' | lm-1 \rangle \\ &= \sqrt{l(l+1) - m(m-1)} \hbar \delta_{l'l} \delta_{m'm-1} \end{aligned}$$

ومن هذا نتمكن من ايجاد التمثيل المصفوفي للإجراءات L^2 و L_z ، L_+ و L_- وبقية المركبات.

مثال: أوجد التمثيل المصفوفي للزخم الزاوي $l = l' = 1$
 الحل: هنا لدينا القيم المخصوصة للمركبة \vec{J} كما يلي $m=1,0,-1$ يعني أن العناصر المصفوفية L^2 ستكون قطبية وهي

$$\begin{aligned} \langle L^2 \rangle &= \hbar^2 \begin{pmatrix} \langle 1,1 | L^2 | 1,1 \rangle & \langle 1,1 | L^2 | 1,0 \rangle & \langle 1,1 | L^2 | 1,-1 \rangle \\ \langle 1,0 | L^2 | 1,1 \rangle & \langle 1,0 | L^2 | 1,0 \rangle & \langle 1,0 | L^2 | 1,-1 \rangle \\ \langle 1,-1 | L^2 | 1,1 \rangle & \langle 1,-1 | L^2 | 1,0 \rangle & \langle 1,-1 | L^2 | 1,-1 \rangle \end{pmatrix} \\ &= 2\hbar \begin{pmatrix} 1 & 0 & 0 \\ 0 & 1 & 0 \\ 0 & 0 & 1 \end{pmatrix} \end{aligned}$$

وبالمثل يمكن حساب عناصر المصفوفة L_z

$$\begin{aligned} \langle L_z \rangle &= \hbar \begin{pmatrix} \langle 1,1 | L_z | 1,1 \rangle & \langle 1,1 | L_z | 1,0 \rangle & \langle 1,1 | L_z | 1,-1 \rangle \\ \langle 1,0 | L_z | 1,1 \rangle & \langle 1,0 | L_z | 1,0 \rangle & \langle 1,0 | L_z | 1,-1 \rangle \\ \langle 1,-1 | L_z | 1,1 \rangle & \langle 1,-1 | L_z | 1,0 \rangle & \langle 1,-1 | L_z | 1,-1 \rangle \end{pmatrix} \\ &= \hbar \begin{pmatrix} 1 & 0 & 0 \\ 0 & 0 & 0 \\ 0 & 0 & -1 \end{pmatrix} \end{aligned}$$

أما العناصر المصفوفية L_+ فهي

$$\begin{aligned} \langle L_+ \rangle &= \hbar \begin{pmatrix} \langle 1,1 | L_+ | 1,1 \rangle & \langle 1,1 | L_+ | 1,0 \rangle & \langle 1,1 | L_+ | 1,-1 \rangle \\ \langle 1,0 | L_+ | 1,1 \rangle & \langle 1,0 | L_+ | 1,0 \rangle & \langle 1,0 | L_+ | 1,-1 \rangle \\ \langle 1,-1 | L_+ | 1,1 \rangle & \langle 1,-1 | L_+ | 1,0 \rangle & \langle 1,-1 | L_+ | 1,-1 \rangle \end{pmatrix} \\ &= \sqrt{2}\hbar \begin{pmatrix} 0 & 1 & 0 \\ 0 & 0 & 1 \\ 0 & 0 & 0 \end{pmatrix} \end{aligned}$$

وبنفس هذه الطريقة نحسب

$$\langle L_- \rangle = \sqrt{2}\hbar \begin{pmatrix} 0 & 0 & 0 \\ 1 & 0 & 0 \\ 0 & 1 & 0 \end{pmatrix}$$

ومن $\langle L_+ \rangle$ و $\langle L_- \rangle$ نتمكن من حساب العناصر المصفوفية لـ $\langle L_x \rangle$ و $\langle L_y \rangle$ حيث نستخدم تعريفاًهما كما في (7.29) و (7.30) ومنها نجد أن

$$\begin{aligned} \langle L_x \rangle &= \frac{1}{2}(\langle L_+ \rangle + \langle L_- \rangle) \\ &= \frac{\hbar}{\sqrt{2}} \begin{pmatrix} 0 & 1 & 0 \\ 1 & 0 & 1 \\ 0 & 1 & 0 \end{pmatrix} \end{aligned}$$

كذلك

$$\begin{aligned} \langle L_y \rangle &= \frac{1}{2}(\langle L_+ \rangle - \langle L_- \rangle) \\ &= \frac{\hbar}{\sqrt{2}} \begin{pmatrix} 0 & -i & 0 \\ i & 0 & -i \\ 0 & i & 0 \end{pmatrix} \end{aligned}$$

ظاهره أو تأثير زيمان Zeeman Effect

لاحظ زيمان أنه عند وضع بخار المواد تحت تأثير مجال مغناطيسي خارجي فإن خطوطها الطيفية تظهر تضاعفات تدل على وجود مستويات متواالدة للطاقة. وتشير هذه المستويات كخطوط مزاحة على يمين ويسار الخط الأصلي، وكان تلك الخطوط الطيفية كانت خطأً واحداً تفرع تحت تأثير المجال المغناطيسي الخارجي إلى خطوط أخرى. وهذه التضاعفات سببها العزم المغناطيسي للإلكترون المكتسب من خلال دوران الإلكترون حول النواة. وتبلغ عدد التضاعفات لكل مستوى من مستويات الزخم الزاوي ($2l+1$). ويسمى هذا التضاعف تأثير زيمان العادي .Normal Zeeman Effect

وكما هو واضح فإن الحالة الدنيا للزخم الزاوي المداري التي قيمتها $l=0$ لا ينبغي أن يظهر فيها أي تضاعف لأن عدد الخطوط هو واحد فقط. إلا أن التجارب أظهرت إنشطار خط الحالة الدنيا إلى خطين متماثلين. وهذا ما يوحي بوجود توالد من نوع جديد. وقد سمى هذا تأثير زيمان الشاذ Anomalous Zeeman Effect. وقد تم تفسيره لاحقاً بوجود عزم مغناطيسي ذاتي للإلكترون ناتج عن دوران الإلكترون حول نفسه كما تدور الأرض حول نفسها لكن هذا التصور لم يتحقق وتبين لاحقاً أن العزم الذاتي للإلكترون هو صفة كمومية خالصة.

أسئلة مفاهيمية حول الزخم الزاوي

1. هنالك فرقان أساسيان بين الزخم الزاوي في التصور الكلاسيكي وفي التصور الكمومي ما هما؟
2. ماذا تمثل القيم المخصوصة للمركبة \mathbf{J} للزخم الزاوي؟ هل لها علاقة بالتواحد؟
3. هل تنطبق العلاقات التبادلية للزخم الزاوي على إجراءات التدوير الماكروسكوفي؟
جرب ذلك مع كتاب مثلاً.
4. ما أهمية العلاقات التبادلية لإجراءات الزخم الزاوي؟
5. هل أن إجراءات الرفع والخفض هي إجراءات هرماتيتية؟
6. ما هو تأثير زيمان العادي؟ وما تأثير زيمان الشاذ؟
7. بماذا يوحى لنا تأثير زيمان الشاذ؟
8. هل أن دوال الزخم الزاوي متواحدة؟ ما مقدار التواحد؟

مسائل الفصل السابع

- س(1) جد مستويات الطاقة لجسيم يتحرك مقيداً على سطح كرة قطرها r .
- س(2) جد مستويات الطاقة الدورانية لجزيء ثنائية الذرة.
- س(3) لديك المتجه $|lm\rangle = N[2|10\rangle + 4|11\rangle - 2|10\rangle + \sqrt{5}|1-1\rangle]$ إحسب N ثم $\langle L_z \rangle$ و $\langle L_- \rangle$.

س(3) افترض نظاماً يكون ابتداء في الحالة

$$\psi(\theta, \phi) = \frac{1}{\sqrt{5}} Y_{1,-1}(\theta, \phi) + \sqrt{\frac{3}{5}} Y_{1,0}(\theta, \phi) + \frac{1}{\sqrt{5}} Y_{1,1}(\theta, \phi)$$

جد $\langle \psi | L_+ | \psi \rangle$.

إذا تم قياس L_z فما القيم التي سنحصل عليها؟ وبأي احتماليات؟

إذا ما جاء قياس $L_z = -\hbar$ إحسب اللادقة ΔL_x و ΔL_y ومضروبهما.

س4) (أ) باستخدام العلاقات التبادلية بين مركبات الزخم الزاوي برهن أن $[L^2, L_z] = 0$ موضحاً كافة الخطوات.

(ب) برهن أن $[L_+, L_-] = 2\hbar L_z$

الفصل الثامن

معادلة شرودنجر في ثلاثة أبعاد

سنعرض في هذا الفصل لمسائل في ثلاثة أبعاد مستهدفين بيان اختلافها عن المسائل التي في بعد واحد حيث تظهر لدينا مظاهر جديدة وأخصها ظاهرة التوالد Degeneracy. إن أسلوب حل معادلة شرودنجر في ثلاثة أبعاد لا يختلف كثيراً عن حلها في بعد واحد سوى في درجة التعقيد. إلا من حيث ظهور توالد الحالات بوضوح في المسائل التي سنعالجها.

في هذا الفصل سنعالج مسائلتين مهمتين: الأولى مسألة جسيم حر في صندوق ذي جدران صلبة، والمسألة الثانية هي ذرة الهيدروجين وأشباهها ندرسها هذه المرة بتفصيل كبير وسنعمل على حساب دوال الموجة والطاقات للمستويات المختلفة كما سنجد التوالد الحاصل في مستويات الطاقة.

مسألة جسيم في صندوق صلب ذي ثلاثة أبعاد

يوصف المجهد في هذه الحالة بأنه

$$\begin{aligned} V(x, y, z) &= \infty & x < 0 \\ V(x, y, z) &= 0 & 0 \leq x \leq L \\ V(x, y, z) &= \infty & x > 0 \end{aligned} \tag{8.1}$$

ومنها نستطيع تأليف معادلة شرودنجر في ثلاثة أبعاد

$$-\frac{\hbar^2}{2m} \left(\frac{\partial^2}{\partial x^2} + \frac{\partial^2}{\partial y^2} + \frac{\partial^2}{\partial z^2} \right) \psi(x, y, z) = E \psi(x, y, z)$$

وهذه يمكن إعادة كتابتها كما يلي

$$\left(\frac{\partial^2}{\partial x^2} + \frac{\partial^2}{\partial y^2} + \frac{\partial^2}{\partial z^2} \right) \psi(x, y, z) + k^2 \psi(x, y, z) = 0 \tag{8.2}$$

حيث أن

$$k^2 = k_x^2 + k_y^2 + k_z^2 = \frac{2mE}{\hbar^2} \tag{8.3}$$

إسترشاراً بالمسألة التي عالجناها في بعد واحد نجد الحل العام للمعادلة (8.3) هو

$$\psi_{lmn}(x, y, z) = \left(\frac{2}{L}\right)^{3/2} \sin(k_x x) \sin(k_y y) \sin(k_z z) \quad (8.4)$$

ويموجب الشروط الحدودية فإن

$$k_x = \frac{\pi n_x}{L}, \quad k_y = \frac{\pi n_y}{L}, \quad k_z = \frac{\pi n_z}{L} \quad (8.5)$$

وبالتعويض عن هذه المتغيرات في (8.3) يمكننا أن نحسب مستويات طاقة الجسيم في الصندوق وهي

$$E_{nml} = \frac{(n_x^2 + n_y^2 + n_z^2)\pi^2 \hbar^2}{2mL^2} \quad (8.6)$$

حيث أن $n_x, n_y, n_z = 1, 2, 3, \dots$

التوالد في طاقة الجسيم

من الواضح أن الصيغة (8.6) تتضمن توالداً لمستويات الطاقة الممكنة. ذلك لأن مستوى الطاقة الأدنى هو الذي يتحصل من تعويض $n_x = n_y = n_z = 1$ أي أن

$$E_{111} = \frac{3\pi^2 \hbar^2}{2mL^2}$$

وهذا المستوى ليس فيه توالد. أما دالة الموجة فهي

$$\psi_{111}(x, y, z) = \left(\frac{2}{L}\right)^{3/2} \sin\left(\frac{\pi}{L} x\right) \sin\left(\frac{\pi}{L} y\right) \sin\left(\frac{\pi}{L} z\right) \quad (8.7)$$

أما المستوى الثاني، أي الحالة المشار إليها، فتحصل من $l = 2, m = n = 1$ أو $l = 1, m = 1, n = 2$. إذن لدينا ثلاثة مستويات لها نفس الطاقة وهذه هي مستويات متولدة، أي أن

$$E_{211} = \frac{6\pi^2 \hbar^2}{2mL^2}, \quad E_{121} = \frac{6\pi^2 \hbar^2}{2mL^2}, \quad E_{112} = \frac{6\pi^2 \hbar^2}{2mL^2} \quad (8.8)$$

ولذلك نقول أن المستوى الثاني هي حالة متوازدة بثلاثة أضعاف. وهكذا دواليك. إن ظهور التوالد مرتبط بالتناظر الذي تحتويه المسألة. فهنا الصندوق متناظر على الأبعاد الثلاثة ولو كانت الأبعاد مختلفة لما ظهر التوالد. وسوف نرى التوالد في مسألة ذرة الهيدروجين أيضاً.

مبدأ الإستثناء ودوره في حساب الطاقة

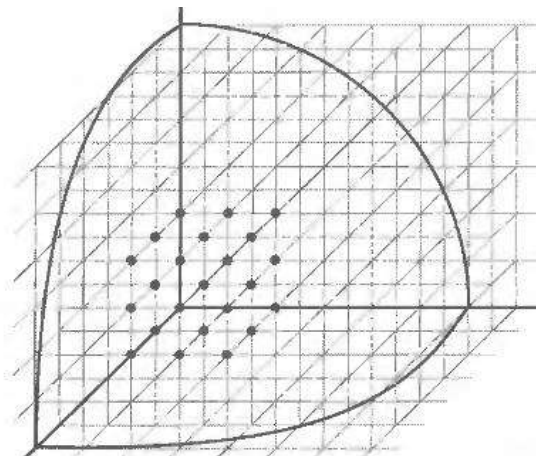
يمكنا الآن أن نناقش عدد حالات الطاقة لجسيمات من الفرميونات غير المتفاعلة Noninteracting التي يمكن أن يحتويها صندوق ذي ثلاثة أبعاد. وهذه المناقشة ضرورية لكون الفيرميونات هي المكون الرئيسي للمادة. وفي هذا الحساب يتنافس عاملان مهمان يجب أخذهما بالحسبان. الأول وجود التوالد وهو الذي يؤثر في عدد مستويات الطاقة، والآخر هو مبدأ الإستثناء لباولي، الذي يقرر أنه لا يمكن جمع أكثر من فيرميونين في مستوى واحد من الطاقة. والآن لو تصورنا أن الإلكترونات تؤلف غازاً يتوزع على حجم صندوق مكعب بعده L فإننا في فضاء مثل هذا الصندوق يمكن أن نتحدث عن كل نقطة بأنها تمثل نقاط شبيكية Lattice Points لكونها أشبه بخلية لها ثلاث أركان هي $\{n_x, n_y, n_z\}$. والسؤال الضوري الذي نطرحه هو: ما عدد الشلاطيات من الأعداد الصحيحة $\{n_x, n_y, n_z\}$ التي يمكن أن يحتويها الصندوق من مستويات الطاقة التي هي أقل من قدر معين E_F ؟

إن هذه الأعداد الثلاثية يمكن أن تؤلف فضاء حجمياً على شكل ثمن كرة قطرها R (كما في الشكل 8-1) وهو بحسب المعادلة (8.6) يكون

$$n_x^2 + n_y^2 + n_z^2 = R^2 = \left(\frac{2mE_F}{\pi^2 \hbar^2} L^2 \right) \quad (8.9)$$

وهذا يؤلف فضاء يغطي ثمن حجم الكرة التي نصف قطرها R وبالتالي فإن عدد النقاط الشبيكية Lattice Points الكلية في ثمن الكرة هو

$$\frac{1}{8} \frac{4\pi}{3} R^3 = \frac{1}{8} \frac{4\pi}{3} \left(\frac{2mE_F}{\pi^2 \hbar^2} L^2 \right)^{3/2}$$



الشكل (8-1) حالات الطاقة في ثمن الكرة

ولما كانت كل نقطة شبيكية يمكن أن تحوي على إلكترونين فقط، أحدهما ببرم علوي والآخر ببرم سفلي، فإن العدد الكلي للإلكترونات التي تحتويها مستويات الطاقة التي هي أقل من E_F هي

$$N = \frac{\pi}{3} L^3 \left(\frac{2mE_F}{\pi^2 \hbar^2} \right)^{3/2} \quad (8.10)$$

ومن الواضح أن عدد الإلكترونات متناسب طردياً مع حجم الصندوق. وبدلالة الكثافة العددية للإلكترونات أي

$$n = \frac{N}{L^3}$$

فإن

$$E_F = \frac{\pi^2 \hbar^2}{2m} \left(\frac{3n}{\pi} \right)^{2/3} \quad (8.11)$$

تسمى هذه الطاقة طاقة فيرمي Fermi Energy وهي القدر الأعظم الذي يمكن أن يمتلكه إلكترون في المستوى الأدنى من الطاقة (المستوى الأرضي) في حيز يحتوي على غاز إلكتروني كثافته العددية n . معنى أن طاقة فيرمي تعتمد على الكثافة العددية وتناسب طردياً مع مربع جذرها التكعيبي.

إن الطاقة الكلية التي يحتويها الصندوق ستكون الطاقة التي في ثمن الكرة التي قطرها R والتكامل يكون على الأبعاد الثلاثة أي أن

$$\begin{aligned} E_{total} &= 2 \frac{\pi^2 \hbar^2}{2m} \frac{1}{8} \int n^2 d^3n \\ &= \frac{\pi^2 \hbar^2}{8m} 4\pi \int_0^R n^4 dn \\ &= \frac{\pi^3 \hbar^2}{10mL^2} R^5 \end{aligned} \quad (8.12)$$

ولما كان عدد الإلكترونات يرتبط بالحجم بالعلاقة

$$N = 2 \frac{1}{8} \frac{4\pi}{3} R^3 = \frac{\pi}{3} R^3$$

فإن

$$\begin{aligned} E_{total} &= \frac{\pi^3 \hbar^2}{10mL^2} \left(\frac{3N}{\pi} \right)^{5/3} \\ &= \frac{\pi^3 \hbar^2}{10m} \left(\frac{3n}{\pi} \right)^{5/3} L^3 \end{aligned} \quad (8.13)$$

من الواضح أن الطاقة الكلية تعتمد على حجم الصندوق وتعتمد أيضاً على الكثافة الحجمية للإلكترونات فيه. وهنا نلاحظ ما يلي أولاً: أنه لما كان

$$E_F = \frac{\pi^2 \hbar^2}{2m} \left(\frac{3n}{\pi} \right)^{2/3} = \frac{k_F^2 \hbar^2}{2m}$$

(8.14)

فإن هذا يعني أن العدد الموجي هو

$$k_F = (3\pi^2 n)^{1/3}$$

و بما أن $k = 2\pi/\lambda$ فإن

$$\lambda_F = 2.03 n^{-1/3}$$

ولما كانت $n^{-1/3}$ هي بالتقريب المسافة البينية للجسيمات d فإن بالإمكان القول أن

$$d = \frac{\lambda_F}{2} \quad (8.15)$$

وهذا يعني أن الإلكترونات ينبغي أن تكون منفصلة عن بعضها بمسافة لا تقل عن نصف طول موجة دي بروي الممثلة لها. ومن المعروف أن ذلك يعتمد على الطاقة الحركية التي تمتلكها الإلكترونات وبالتالي على درجة حرارة الغاز الإلكتروني.

وثانياً: إذا كان عدد الإلكترونات ثابتاً فيمكننا كتابة النتيجة () بالشكل التالي

$$E_{total} = \frac{\pi^3 \hbar^2}{10m} \left(\frac{3N}{\pi} \right)^{5/3} V^{-2/3} \quad (8.16)$$

وإذا كان عدد الإلكترونات كبيراً جداً فإن هذه النتيجة ستكون غير معتمدة على شكل الصندوق.

مثال: طاقة فيرمي للجسيمات فوق النسبية Ultrarelativistic

لو أردنا حساب طاقة فيرمي لجسيمات عديمة الكتلة أو الجسيمات فوق النسبية التي تكون سرعاتها قريبة من سرعة الضوء حيث أن $E = pc$ فإننا أولاً ينبغي أن نحصل على

$$p = \frac{\pi \hbar}{L} \sqrt{n_x^2 + n_y^2 + n_z^2}$$

وهكذا فإن

$$E = pc = \frac{\pi \hbar c}{L} \sqrt{n_x^2 + n_y^2 + n_z^2}$$

بالتالي فإن

$$R^2 = n_x^2 + n_y^2 + n_z^2 = \left(\frac{E_F}{\pi \hbar c} \right)^2 L^2$$

وهكذا نحسب

$$N = \frac{\pi}{3} R^3 = \frac{\pi}{3} \left(\frac{E_F}{\pi \hbar c} \right)^3 L^3$$

وهذا يعني أن طاقة فيرمي للجسيمات فوق النسبية

$$E_F = \pi \hbar c \left(\frac{3n}{\pi} \right)^{1/3}$$

ضغط التوالد ودوره في الفيزياء الفلكية

من التطبيقات المهمة لتأثير التوالد في مستويات طاقة الإلكترونات حصول ضغط مهم داخل الأجسام المنضغطة. فلو أن كمية من الغاز الإلكتروني إنضغطت فإن هذا سيؤدي إلى تقليل المسافة بينها مما يعني بموجب المعادلة (8.15) إلى تقليل طول موجة دي بروي وهذا سيؤدي إلى زيادة الزخم وبالتالي ارتفاع طاقتها. ويعني هذا تصاعد الضغط الداخلي كلما ازداد الضغط الخارجي. وهذا ما يسمى ضغط التوالد. وهذا هو

$$P_{\text{deg}} = -\frac{\partial E_{\text{total}}}{\partial V} = \frac{\pi^3 \hbar^2}{15m} \left(\frac{3n}{\pi} \right)^{5/3} \quad (8.17)$$

يعرف معامل الجملة Bulk Modulus للمادة كما يلي

$$B = -V \frac{\partial P}{\partial V}$$

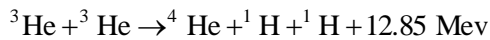
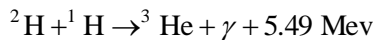
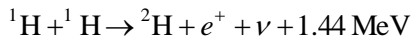
وهذا يعني أن

$$B = \frac{\pi^3 h^2}{9m} \left(\frac{3n}{\pi} \right)^{5/3} \quad (8.18)$$

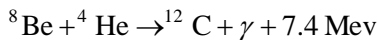
إن استخدام نموذج الغاز الإلكتروني هذا يعطينا نتيجة برتبة مقدارية صحيحة لمعامل الجملة B . مثال ذلك إذا أخذنا الصوديوم فإن $n = 2.65 \times 10^{22} \text{ cm}^{-3}$ فإننا نجد

$$B = 6.4 \times 10^{10} \text{ dyne/cm}^3 \quad \text{والقيمة التجريبية هي } B = 9.2 \times 10^{10} \text{ dyne/cm}^3$$

ومن المعروف أن ضغط التوالد الإلكتروني يلعب دوراً مهماً في تحديد مصائر النجوم التي تمر بغيرات كبيرة خلال المراحل النهائية من حياتها حيث تستنفذ وقودها الهيدروجيني وتمر بمرحلة اندماج نظائر الهيليوم وفقاً لتفاعلات النووية التالية



وبعد استنفاد الهيدروجين وتحويله إلى هيليوم ينخفض الضغط الداخلي للنجم فيحصل انفجار جاذبي حيث يتكون النجم على نفسه وينكمش فترتفع درجة حرارة باطن النجم حتى تصل إلى قدر تندمج معه نوى ذرات الهيليوم لتسحول بالنهاية إلى كربون



وتستمر التفاعلات والاندماجات النووية فت تكون عناصر أثقل وأثقل حتى نصل عنصر الحديد. ويستمر التكوير الجاذبي حتى تنشأ القوة الداخلية والضغط الداخلي اللازم ليمضي إستمرار التكوير.

يمكن حساب الضغط الجاذبي المولد من تراكم المادة في باطن النجم ببساطة إذا افترضنا أن توزيع المادة داخل النجم يكون توزيعاً كروياً متجانساً ومتناهياً. وإن الطاقة الوضع لأي

جزء على شكل حلقة تتراوح ما بين r و $r+dr$ هو

$$dV_g = -G \frac{(4\pi\rho r^3/3)(4\pi\rho r^2 dr)}{r} = -\frac{(4\pi)^2 G \rho^2}{3} r^4 dr$$

وهذا يعني أن الطاقة التي تحويها كرة قطرها R هو

$$V_g = -\frac{(4\pi)^2 G \rho^2}{3} \int_0^R r^4 dr = -\frac{(4\pi)^2 G \rho^2}{15} R^5 \quad (8.19)$$

وهنالك أيضاً العلاقة بين كثافة المادة ونصف قطر النجم وعدد النيوكليونات المؤلفة للنجم

وهي

$$\frac{4\pi}{3} \rho R^3 = M = N m_n \quad (8.20)$$

ومن هذه العلاقات نجد أن

$$V_g = -\frac{3}{5} \left(\frac{4\pi}{3} \right)^{1/3} G (N m_n)^2 V^{-1/3} \quad (8.21)$$

وهكذا يكون الضغط الجاذبي هو

$$P_g = -\frac{\partial V_g}{\partial V} = -\frac{1}{5} \left(\frac{4\pi}{3} \right)^{1/3} G (N m_n)^2 V^{-4/3}$$

(8.22)

إن هذا الضغط الذي يدفع بإتجاه انكمash النجم يتم مقاومته بواسطة ضغط التوالد الذي حسبناه آنفاً وبالتالي فإن

$$P_{\text{deg}} = \frac{\pi^3 \hbar^2}{15m} \left(\frac{3n}{\pi} \right)^{5/3} = \frac{\pi^3 \hbar^2}{15m} \left(\frac{3N_e}{\pi} \right)^{5/3} V^{-5/3}$$

(8.23)

حيث أن N_e هو عدد الإلكترونات ويساوي عدد البروتونات في النجم. ولهذا السبب تأخذ العدد الكلي للفرميونات على أنه $N=2N_e$ أي أن $1=N/2N_e$.

عندما يتساوى الضغط الجاذبي مع ضغط التوالي يكون

$$\frac{\pi^3 \hbar^2}{15m} \left(\frac{3N_e}{\pi} \right)^{5/3} V^{-5/3} = \frac{1}{5} \left(\frac{4\pi}{3} \right)^{1/3} G (Nm_n)^2 V^{-4/3} \quad (8.24)$$

وهذا يعني أن حالة تساوى الضغطين تحصل عندما يصل قطر النجم إلى

$$R^* = \left(\frac{3}{4\pi} \right)^{1/3} V^{1/3} = \left(\frac{81\pi^2}{128} \right)^{1/3} \frac{\hbar^2}{Gm_e m_e} N^{-1/3} \quad (8.25)$$

وإذا كان النجم مماثلاً للشمس فإن كتلته هي بمحدود 10^{30} Kg وعلى افتراض أن معظمها مؤلف من غاز الهيدروجين فإن عدد الفيرميونات (بروتونات وإلكترونات) فيها هو بمحدود

$$N = \frac{2 \times 10^{30}}{1.67 \times 10^{-27}} = 1.2 \times 10^{57} \quad (8.26)$$

وبالتعويض في (8.25) فإننا نجد أن ضغط التوالي سوف يتمكن من وقف إنكياح النجم عندما يصل نصف قطره إلى $R^* = 1.1 \times 10^4 \text{ km}$.

أي أنه عندما تنكمش الشمس ليصبح حجمها أصغر من الأرض فإن ضغط التوالي الإلكتروني داخلها يعادل الضغط الجاذبي الكتلي وبالتالي تصير الشمس جرماً متوازناً مستقراً. أما إذا كانت كتلة النجم أكبر من 1.4 كتلة شمسية فإن ضغط التوالي الإلكتروني لن يكفي للإسناده وبالتالي سيستمر الإنكماش حتى تنسحق الذرات وتدخل الإلكترونات مع البروتونات ويتحول لب النجم إلى كتلة نيوترونية صرفة ويسمى هذا "نجم نيوتروني" Neutron Star . إن توازن النجم النيوتروني يقوم على تعادل ضغط التوالي النيوتروني مع ضغط التجاذب الكتلي ويعكينا بنفس الطريقة السابقة حساب نصف قطر النجم

النيوتروني الذي يحصل عنده مثل هذا التوازن. ولكن من الضروري هنا مراعاة ان الطاقة الحركية للفيرميونات لن تكون على الصيغة الكلاسيكية $p^2/2m$ بل ستكون بالصيغة النسبوية $E = pc$ مع استبدال كتلة الإلكترونات بكتلة النيوترونات والعدد الإلكتروني بالعدد N لتحصل على الصيغة

$$R_n^* = \left(\frac{81\pi^2}{16} \right)^{1/3} \frac{\hbar^2}{Gm_n^3} N^{-1/3}$$

وإذا ما عوضنا عن كتلة النجم بضعف كتلة الشمس مثلاً لوجدنا أن $R^* \approx 10\text{km}$ ، وهذا هو في العادة نصف قطر النجوم النيوترونية.

ذرة الهيدروجين وأشباهها

كان نيلز بور كما قدمنا في الفصل الأول قد قدم نموذجاً للذرة قائماً على جملة فروضات استقرأها من خلال دراسته لأطياف العناصر ونظره في السلسل الطيفية والصياغات الوضعية التي وضعت لهذه السلسل. إلا أن نموذج بور كان محدوداً وتقربياً فهو لم يأخذ بنظر الاعتبار حركة نواة الذرة بل اعتبرها ساكنة تماماً وهذا غير صحيح لأن النواة والإلكترون يدوران حول مركز الكتلة المشتركة بينهما. من جانب آخر فإن فرضيات بور لا أساس لها إلا من باب الإستقراء التجاري كما قلت. لذلك لجأ الفيزيائيون بعد عام 1926 إلى معالجة ذرة الهيدروجين عبر حل معادلة شرودنجر لذرة الهيدروجين وأشباهها في ثلاثة أبعاد. والمقصود بأشباه الهيدروجين نظائره التي تختلف عن بعضها في مقدار كتلة النواة وهما الديتريوم والترتيديوم، وكذلك أيون الهليوم He^+ وأيون الليثيوم الثنائي Li^{++} وهكذا. وهنا تكشفت أمامهم حقائق جديدة عن الذرة وظهر أن الطيف الذري يتضمن تفاصيل دقيقة لم يستطع نموذج بور الكشف عنها. فضلاً عن أن مدارات الإلكترون لم تعد دائيرية تامة بل

تبين أن منها ما هو دائري وما هو إهليجي. وهكذا ألغت حلول معادلة شرودنجر لذرة الهيدروجين وأشباهها علم الفيزياء الذرية عنى كبيراً.

سنقدم في هذا الفصل معالجة مستفيضة لمعادلة شرودنجر في ثلاثة ابعاد آخذين بنظر الإعتبار الحركة الدقيقة لنواة الذرة حول مركز الكتلة. ويمكن إيجاد إحداثيات مركز الكتلة لحركة النواة والإلكترون من المعادلتين $m_n r_n = m_e r_e$ و $m_n r_n = m_e r_e$ ، ومنهما نجد أن

$$r_n = \frac{m_e}{m_n + m_e} r \quad (8.9)$$

كذلك

$$r_e = \frac{m_n}{m_n + m_e} r \quad (8.10)$$

وبالتالي فإننا لن نتعامل مع كتلة الإلكترون القياسية في المعادلة بل سنضع كتلة أخرى تسمى الكتلة المنقوصة reduced mass وهي

$$\mu = \frac{m_n m_e}{m_n + m_e} \quad (8.11)$$

إن القوة الفاعلة للحركة بين الإلكترون ونواة الذرة هي القوة الكهربائية حيث أن شحنة الإلكترون هي e وشحنة النواة هي Ze إذ يمثل Z العدد الذري أي عدد الشحنات الموجبة داخل نواة الذرة. وبالتالي فإن الجهد الكهربائي بين الإلكترون ونواة الذرة هو

$$V(r) = -\frac{1}{4\pi\epsilon_0} \frac{Ze^2}{r} \quad (8.12)$$

وما كان هذا الجهد غير معتمد على الزمن فإن معادلة شرودنجر للألكترون تكون

$$-\frac{\hbar^2}{2\mu} \nabla^2 \psi(x, y, z) + V(x, y, z) \psi(x, y, z) = E \psi(x, y, z) \quad (8.13)$$

ونظراً لأن النظام متناظر كروياً فإن من الأنسب استخدام الأحداثيات القطبية الكروية

$$\begin{aligned}x &= r \sin \theta \cos \phi \\y &= r \sin \theta \sin \phi \\z &= r \cos \theta\end{aligned}\tag{8.14}$$

وهنا نستخدم

$$\begin{aligned}\nabla^2 &= \frac{1}{r^2} \frac{\partial}{\partial r} \left(r^2 \frac{\partial}{\partial r} \right) + \frac{1}{r^2 \sin \theta} \frac{\partial}{\partial \theta} \left(\sin \theta \frac{\partial}{\partial \theta} \right) + \frac{1}{r^2 \sin^2 \theta} \frac{\partial^2}{\partial \phi^2} \\&= \frac{\partial^2}{\partial r^2} + \frac{2}{r} \frac{\partial}{\partial r} + \frac{1}{r^2} \left(\frac{\partial^2}{\partial \theta^2} + \cot \theta \frac{\partial}{\partial \theta} + \frac{1}{\sin^2 \theta} \frac{\partial^2}{\partial \phi^2} \right) \\&= \frac{\partial^2}{\partial r^2} + \frac{2}{r} \frac{\partial}{\partial r} - \frac{L^2}{\hbar^2 r^2}\end{aligned}\tag{8.15}$$

حيث أن L^2 هو مربع إجراء الزخم الزاوي الذي درسناه في الفصل السابق. وإذا ما
أستعملنا

$$L^2 \psi = l(l+1)\hbar^2 \psi\tag{8.16}$$

فإن معادلة شرودنجر في ثلاثة أبعاد وبدلالة الأحداثيات الكروية القطبية تصير

$$\left[\frac{\partial^2}{\partial r^2} + \frac{2}{r} \frac{\partial}{\partial r} + \frac{2\mu}{\hbar^2} \left(E + \frac{Ze^2}{4\pi\epsilon_0 r} - \frac{\hbar^2 l(l+1)}{2\mu r^2} \right) \right] \psi(r, \theta, \phi) = E_{nl} \psi(r, \theta, \phi)$$

وإذا ما استخدمنا طريقة فصل المتغيرات فإن بالإمكان وضع الحل كما يلي

$$\psi = \psi_{nlm}(r, \theta, \phi) = R_{nl}(r) Y_{lm}(\theta, \phi)\tag{8.17}$$

وبالتعويض في المعادلة السابقة نحصل على المعادلة التفاضلية الخاصة بالجزء القطري
وهي Radial Part

$$\left[\frac{\partial^2}{\partial r^2} + \frac{2}{r} \frac{\partial}{\partial r} + \frac{2\mu}{\hbar^2} \left(E + \frac{Ze^2}{4\pi\epsilon_0 r} - \frac{\hbar^2 l(l+1)}{2\mu r^2} \right) \right] R_{nl}(r) = E_{nl} R_{nl}(r)\tag{8.18}$$

حيث أنها استخدمنا المعادلة التي تعبر عن القيم المخصوصة للزخم الزاوي

$$L^2\psi = l(l+1)\hbar^2\psi$$

إن حل المعادلة (8.18) ممكن بالطريقة التحليلية حيث نعمل على إعادة صياغتها لتصبح قابلة للتبسيط بفرض شروط وتقديرات معينة ثم نلجأ إلى صياغة الحل بشكل سلسلة ومنها نحصل على علاقات التكرار. وبعدها نتمكن من ايجاد القيم المخصصة للطاقة.

لنعرف المتغير الجديد

$$\rho = \sqrt{\frac{8\mu|E|}{\hbar^2}} r \quad (8.19)$$

ولنعرض هذا في (8.10) لنحصل على

$$\frac{d^2R(\rho)}{d\rho^2} + \frac{2}{\rho} \frac{dR(\rho)}{d\rho} - \frac{l(l+1)}{\rho^2} R(\rho) + \left(\frac{\lambda}{\rho} - \frac{1}{4} \right) R(\rho) = 0 \quad (8.20)$$

حيث أن

$$\lambda = \frac{Ze^2}{4\pi\varepsilon_0\hbar} \sqrt{\frac{\mu}{2|E|}} = Z\alpha \sqrt{\frac{\mu c^2}{2|E|}} \quad (8.21)$$

$$\alpha = \frac{e^2}{4\pi\varepsilon_0\hbar c} \quad \text{حيث أن}$$

طيف الطاقة

إذا كانت ρ كبيرة فإن المعادلة (8.12) يمكن تقريرها كما يلي

$$\frac{dR(\rho)}{d\rho^2} - \frac{1}{4} R(\rho) = 0 \quad (8.22)$$

والحل هو

$$R(\rho) \approx e^{-\rho/2} \quad (8.23)$$

والآن ولغرض تعميم هذا الحل ينبغي أن ندخل دالة جديدة فنقول أن

$$R(\rho) = G(\rho)e^{\rho/2} \quad (8.24)$$

وبالتعويض في المعادلة (8.14) نحصل على المعادلة التفاضلية التي تحكم G

$$\frac{d^2G}{d\rho^2} - \left(1 - \frac{2}{\rho}\right) \frac{dG}{d\rho} + \left[\frac{\lambda-1}{\rho} - \frac{l(l+1)}{\rho^2}\right] G = 0 \quad (8.25)$$

والآن نقول إذا كانت ρ صغيرة جداً (أي في المنطقة قرب المركز) فإن المعادلة تصبح

$$\frac{d^2G}{d\rho^2} + \frac{2}{\rho} \frac{dG}{d\rho} - \frac{l(l+1)}{\rho^2} G = 0 \quad (8.26)$$

وحل هذه المعادلة هو أن $G(\rho) \propto \rho^l$ معنى أن

$$G(\rho) = \rho^l H(\rho) \quad (8.27)$$

وبالتعويض في المعادلة (8.17) نحصل على المعادلة التفاضلية التي تحكم الدالة الجديدة H

وهي

$$\frac{d^2H}{d\rho^2} + \left(\frac{2l+2}{\rho} - 1\right) \frac{dH}{d\rho} + \frac{\lambda-l-1}{\rho} H = 0 \quad (8.28)$$

والآن دعونا نجرب حل المتسلسلة

$$H(\rho) = \sum_{k=0}^{\infty} a_k \rho^k \quad (8.29)$$

وبالتعويض في المعادلة التفاضلية (8.20) نجد أن

$$\sum_{k=0}^{k=\infty} a_k \left[k(k-1)\rho^{k-2} + k \left(\frac{2l+2}{\rho} - 1 \right) \rho^{k-1} + (\lambda-l-1)\rho^{k-1} \right] = 0$$

ويمكن إعادة تنظيم هذه المعادلة كما يلي

$$\sum_{k=0}^{k=\infty} \rho^{k-1} [(k+1)(k+2l+2)a_{k+1} + (\lambda-l-1-k)a_k] = 0$$

وهذه تقودنا الى علاقة التكرار

$$\frac{a_{k+1}}{a_k} = \frac{k+l+1-\lambda}{(k+2l+2)(k+1)} \quad (8.30)$$

وإذا كانت قيمة k كبيرة نحصل على

$$\frac{a_{k+1}}{a_k} \rightarrow \frac{1}{k}$$

وهذا يعني أن

$$a_{k+1} \approx \frac{1}{k!} \quad (8.31)$$

إن متسلسلة H يجب أن تكون منتهية لكي نحصل على حل فيزيائي مقبول وهذا يحتم علينا أن يكون

$$\lambda = k + l + 1 \quad (8.32)$$

ولو أتنا استبدلنا بعض الرموز $n_r \rightarrow n$, $k \rightarrow n_r$, $\lambda \rightarrow \lambda$ فإن هذا الشرط يصير

$$n = n_r + l + 1 \quad (8.33)$$

وما كانت $n_r \geq l + 1$ فإن n_r وهي وبالتالي عدد صحيح والآن إذا عوضنا عن n في المعادلة (8.13) فإننا نحصل على

$$E_n = -\frac{\mu c^2}{2} \frac{(Z\alpha)^2}{n^2} \quad (8.34)$$

وهذه هي الصيغة قريبة جدا من تلك التي حصلنا عليها من خلال نموذج بور للذرة. لكن هناك ما يزال بعض الاختلاف الجوهرى بين الحالتين. والإختلاف يكمن في ظهور تأثير الزخم الزاوي الكلى وظهوره كلاعب مهم في حساب طاقة المستويات فضلا عن أن الحالة الممثلة للإلكترون قد تحسنت الآن بدالة موجة أكثر تعقيدا حيث لم تعد الصورة البدائية للمدارات الكوكبية في الذرة نافذة المفعول بل يبدو أمامنا الآن نموذج بور أشبه بنموذج لعبة Toy Model. فالآن لدينا دالة الموجة ذات الطبيعة الاحتمالية هي التي تحدد

مستويات الطاقة والجزء القطري من الدالة $R_{nl}(r)$ يحدد موضع الإلكترون قطرياً على حين أن دوال التوافقيات الكروية $Y_{lm}(\theta, \phi)$ هي التي تحدد الموضع الزاوية للإلكترون. وكما نرى فإن للعدد الكمي الزاوي l دوراً في تعريف مستويات الطاقة. لقد كان نيلز بور محظوظاً حقاً إذ توافقت نتيجته مع النتائج التجريبية على نحو جعل نموذجه مقبولاً تماماً في الأوساط العلمية.

الطيف النري

من خلال العلاقة (8.34) نجد أن الطول الموجي المنشئ عند انتقال إلكترون من مستوى m إلى آخر n فإن الطول الموجي للإلكترون المنشئ يحسب من العلاقة

$$\frac{1}{\lambda} = R_\mu \left(\frac{1}{n_i^2} - \frac{1}{n_f^2} \right) \quad (8.34a)$$

حيث أن $R_\mu = \frac{\mu e^4}{8\epsilon_0^2 h^3 c}$ هو ثابت ريدبرج المعدل بحساب الكتلة المنقوصة للإلكترون

وهذا يعتمد على كتلة النواة حيث تتحسب الكتلة المنقوصة بموجب المعادلة (8.11).

مثال: دعنا نجد أهمية الصيغة (8.34a) لمستويات طاقة بعض الذرات شبيهة الهيدروجين ونقارن الأطوال الموجية. دعنا نقارن بين الأطوال الموجية الحاصلة عن إنتقال الإلكترون من عبر المستويين الطاقة $n=2 \rightarrow n=3$ وهو خط H_α في ذرة الهيدروجين وذرة الهليوم.

التواالد الطيفي Spectral Degeneracy

إن حساب الطاقة يعتمد على العدد الكمي الرئيسي n كما هو واضح من المعادلة (8.26) وهذا العدد الكمي يتتألف من عددين العدد الكمي القطري n_r والعدد الكمي المداري l . ولما كانت قيمة l تبدأ من الصفر فإن قيمة العدد الكمي الرئيسي يمكن أن تتتألف من عدة أعداد مجموعها يؤلف العدد الصحيح المطلوب. مثلاً: لو كانت $n=1$ فإن هذا يعني أن $l=1$ أو $n_r=0$, $l=0$ يعني أنها هنا أمام حالتين كلابها يعطينا 2

وبالتالي فلكليهما نفس الطاقة. لكنهما يمثلان فلكين مختلفين للإلكترون في كل منهما قيمة مختلفة للزخم الزاوي للإلكترون.

تسمى هذه الحالات التي يكون لها نفس المقدار من الطاقة الحالات المتوازدة Degenerate States وتسمى المدارات Orbitals التي لها أفلاك Orbitals متعددة بالمدارات المتوازدة.

ولكن ما سبب التوالد هنا؟ إنه الزخم الزاوي المداري هذا الذي يسبب إضافة كمية للجهد الكهربائي بين الإلكترون والنواء. ولكي نتمكن من تثمين هذا الكلام ننظر في حالة الجهد الكهربائي المحور التالي وما يتمحض عنه. لنفرض أن لدينا الجهد التالي

$$V(r) = -\frac{Ze^2}{4\pi\epsilon_0 r} + \frac{\hbar^2}{2\mu} \frac{g^2}{r^2} \quad (8.35)$$

هذه الصيغة فيها حد مضاد على جهد كولوم التقليدي إذ أن فيها حد إضافي يتناسب عكسياً مع r^2 . ولو عوضنا هذا الجهد في الجزء القطري من معادلة شرودنجر (8.10) لوجدنا أن المعادلة يمكن أن تحتفظ بصيغتها نفسها مع استبدال

$$\frac{l(l+1)}{r^2} \rightarrow \frac{l^*(l^*+1)}{r^2} \quad \text{حيث أن}$$

$$l^*(l^*+1) = l(l+1) + g^2 \quad (8.36)$$

ولو فتحنا الأقواس وأكمينا المربع في (8.28) لوجدنا أن هذا يعني أن

$$l^* = -1/2 + \sqrt{(l+1/2)^2 + g^2} \quad (8.37)$$

وبالتعويض في قيمة n عن هذا فإن صيغة الطاقة تكون

$$E_n = -\frac{\mu c^2}{2} \frac{(Z\alpha)^2}{\left[n_r + 1/2 + \sqrt{(l+1/2)^2 + g^2}\right]^2} \quad (8.38)$$

ونلاحظ أن التوالد الذي عرفناه في قيمة الطاقة يختفي حيث أن قيم l و n_r الداخلة في حساب الطاقة لن تعطي نفس الرقم، ففي كل مرة يكون لدينا قيمة مختلفة للطاقة.

دوال الموجة لأشبه الميادروجين

إن الجزء القطري من دالة الموجة هو في (8.10) وعكن وصفه بدلالة متعدد حدود لاجوري

المرافق Associated Laguerre Polynomial

$$H(\rho) = L_{n-l-1}^{2l+1} \quad (8.39)$$

وعادة ما يتم تنظيم هذه الدوال في جداول وهنا نعطي عددا منها.

$$\begin{aligned} R_{10}(r) &= 2\left(\frac{Z}{a_0}\right)^{3/2} e^{-Zr/a_0} \\ R_{20}(r) &= 2\left(\frac{Z}{2a_0}\right)^{3/2} \left(1 - \frac{Zr}{2a_0}\right) e^{-Zr/2a_0} \\ R_{21}(r) &= \frac{1}{\sqrt{3}}\left(\frac{Z}{2a_0}\right)^{3/2} \frac{Zr}{a_0} e^{-Zr/2a_0} \\ R_{30}(r) &= 2\left(\frac{Z}{3a_0}\right)^{3/2} \left(1 - \frac{2Zr}{3a_0} + \frac{2(r)^2}{27a_0^2}\right) e^{-Zr/3a_0} \end{aligned} \quad (8.40)$$

حساب الإحتماليات

إن كثافة الإحتمالية المكانية لأي قيمة من n و l تكون

$$\rho(r) = r^2 [R_{nl}]^2 \quad (8.41)$$

ولما كانت

$$R_{n,n-1}(r) \sim r^{n-1} e^{-Zr/a_0 n} \quad (8.42)$$

ولذا فإن كثافة الإحتمالية تتخذ قيمتها العظمى عندما يكون

$$\frac{d\rho(r)}{dr} = \left(2nr^{2n-1} - \frac{2Z}{a_0 n} r^{2n}\right) e^{-2Z/a_0 n} = 0 \quad (8.43)$$

أي عندما يكون

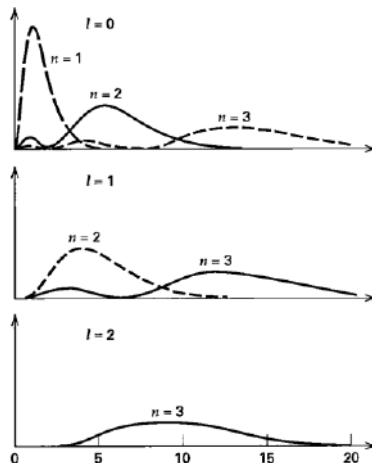
$$r_n = \frac{a_0 n^2}{Z} \quad (8.44)$$

وهذه هي مرة أخرى صيغة بور لحساب أنصاف أقطار المدارات. بمعنى أن المدارات هي الواقع التي تكون فيها كثافة الإحتمالية أعلى مما يمكن. إلا أن هذا لا يمنع من أن يزحف موقع الإلكترون قليلاً أو كثيراً عن موقع القيمة العظمى للإحتمالية. وهنا نرى فرقاً آخر بين ذرة شرودنجر وذرة بور.

إن بالإمكان حساب القيمة المتوقعة لأية كمية طالما أنها أصبحنا نملك صيغة دوال الموجة. وهكذا يمكن أن نحسب

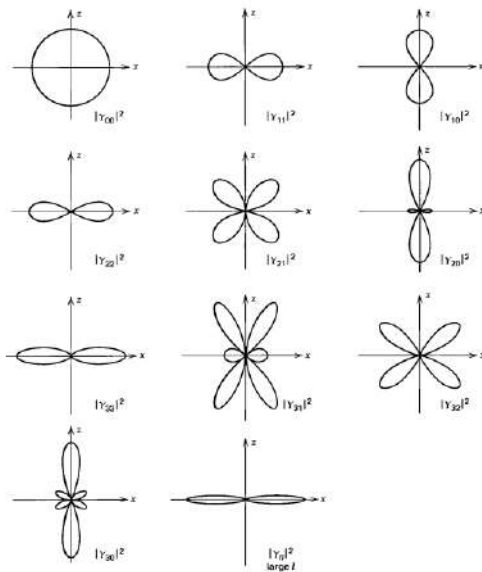
$$\begin{aligned} <r> &= \frac{a_0}{2Z} [3n - l(l+1)] \\ <r^2> &= \frac{a_0^2 n^2}{2Z^2} [5n^2 + 1 - 3l(l+1)] \\ <\frac{1}{r}> &= \frac{Z}{a_0 n^2} \\ <\frac{1}{r^2}> &= \frac{Z^2}{a_0^2 n^3 (l+1/2)} \end{aligned} \quad (8.45)$$

وفيما يلي رسم لكثافة الإحتمالية لبعض الحالات



الشكل (8-2) كثافة الإحتماليات في ذرة الهيدروجين

كما يمكننا رسم بعض الأوربيتالات في بعدين.



الشكل (3-8) الأوربيتالات الذرية

مثال

إلكترون في الحالة الدنيا للтриتيوم الذي تتألف نواته من نيوترونين وبروتون واحد حصل تفاعل نووي تغييرت بموجبه نواة التريتيوم إلى نواة He^3 الذي تحتوي نواته على بروتونين ونيوترون واحد. إحسب إحتمالية أن يبقى الإلكترون في الحالة الدنيا لذرة He^3 .

الحل: أولاً إن دالة الموجة للإلكترون في الحالة الدنيا لذرة التريتيوم ($Z=1$) هي

$$|\psi_{100}\rangle^H = \frac{2}{\sqrt{4\pi}} \left(\frac{1}{a_0} \right)^{3/2} e^{-r/a_0}$$

ومن أجل حساب الإحتمالية المطلوبة فإننا يجب أن نسقط هذه الدالة على دالة الهليوم ذات الإلكترون الواحد في الحالة الدنيا وهذه هي He^3 ($Z=2$)

$$|\psi_{100}\rangle^{He^{3+}} = \frac{2}{\sqrt{4\pi}} \left(\frac{2}{a_0} \right)^{3/2} e^{-2r/a_0}$$

وهذا يعني أن

$$\begin{aligned} a_{100} &= \int \frac{2}{\sqrt{4\pi}} \left(\frac{1}{a_0} \right)^{3/2} e^{-r/a_0} \cdot \frac{2}{\sqrt{4\pi}} \left(\frac{2}{a_0} \right)^{3/2} e^{-2r/a_0} r^2 dr d\Omega \\ &= \frac{8\sqrt{2}}{a_0^{3/2}} \int_0^\infty r^2 e^{-3r/a_0} dr = \frac{8\sqrt{2}}{a_0^{3/2}} \left(\frac{a_0}{3} \right)^3 2! = \frac{16\sqrt{2}}{27} \end{aligned}$$

ثم نربع النتيجة فهي الإحتمالية المطلوبة، أي أن

$$P = |a_{100}|^2 = \frac{512}{729} \approx 70\%$$

ذرة الهيدروجين الحقيقية

في المعالجة السابقة عاملنا سرعة الإلكترون على أنها كلاسيكية أقل كثيراً من سرعة الضوء اللذ لم ندخل في حساباتنا التأثيرات النسبية. كذلك فإننا لم ندخل برم الإلكترون كعامل يساهم في تحديد الهملتوني للذرة وبالتالي فإن المعالجة الأشمل لذرة الهيدروجين وшибها تها ينبغي أن تأخذ بعين الاعتبار هذه المساهمات التي ستؤثر في النتائج الدقيقة للحسابات، لكن هذا ليس من مسائل هذا الكتاب.

أسئلة مفاهيمية حول الفصل الثامن

1. ما الفرق بين القيم المخصوصة للطاقة في حل معادلة شرودنجر وفي نموذج بور؟
2. ما دور الزخم الزاوي في تحديد قيم الطاقة؟

3. ما الفرق بين المدارات الإلكترونية المحددة بموجب نموذج بور للذرة وما تقدمه حلول معادلة شرودنجر؟

4. ماذا تتوقع أن يحصل لطيف ذرة الهيدروجين لو أضفنا البرم إلى الهايبروني؟

5. كيف تتوقع أن يكون شكل دالة الموجة العام فيما لو أدخلنا البرم إلى النظام؟

6. كيف تتأثر إحتمالية إيجاد الإلكترون في موقع معين عند التأثير على الذرة بمحال خارجي؟

7. لماذا يحصل التوالد لطاقة الجسيم في صندوق صلب الجدران ثلاثي الأبعاد.

8. لماذا يحصل التوالد في مستويات الطاقة لذرة الهيدروجين؟

مسائل الفصل الثامن

س1) قارن بين الطول الموجي المنبعث عند حصول الإنتقال $2P \leftarrow 1S$ في (أ) ذرة الهيدروجين (ب) الديوتيريوم (ج) البوزيترونيوم.

س2) إلكترون مستقر في الحالة الدنيا لذرة التريتيوم (نواته تتألف من بوتون واحد ونيوترونين). هذه الذرة تتحول فجأة إلى نظير الهليوم 3He . ما هي إحتمالية أن يبقى الإلكترون في الحالة الدنيا لذرة 3He .

س3) إحسب قيمة r التي عندها تكون الإحتمالية أعظم ما يمكن للحالات التالية:

$$(i) n=1, l=0, m=0, \quad (ii) n=2, l=1, m=0 \quad (iii) l=n-1, m=0$$

ثم قارن النتائج مع نموذج بور.

س4) إلكترون في المجال الكهربائي لبروتون يوصف بدالة الموجة التالية

$$|\psi\rangle = N [4|\psi_{100}\rangle + 3|\psi_{211}\rangle - |\psi_{210}\rangle + \sqrt{10}|\psi_{21-1}\rangle]$$

إحسب: (أ) ثابت التقويم N

القيمة المتوقعة للطاقة.

القيمة المتوقعة لربع الزخم الزاوي

القيمة المتوقعة للمركبة ج للزخم الزاوي

س(5) إلكترون في الحالة

$$|\psi\rangle = \left(\frac{\alpha}{\sqrt{\pi}}\right)^{3/2} e^{-\alpha^2 r^2/2}$$

أكتب صيغة رياضية تعبر عن إحتمالية إيجاد هذا الإلكترون في الحالة الدنيا لذرة الهيدروجين.

س(6) ناقش مسألة المتنبدب التوافقي في ثلاثة أبعاد وتلمس الحلول الممكنة.

تعريف بالمصطلحات الواردة في الكتاب

موجة دي بروي Wave de Broglie

وهي موجة إفتراضية تعبر عن وجود الجسيم بصيغة رياضية كرزمة موجية Wavepacket مؤلفة من تراكب أمواج كثيرة أو موجة مستوية بسيطة، وتسمى أمواج دي بروي أمواجاً مادية لتمييزها عن الأمواج الكهرومغناطيسية والأمواج الميكانيكية. كما تسمى أمواج الإحتمالية Probability Waves لكون سوياتها تعبر عن إحتماليات النظام.

النظام System

أي جسيم أو مجموعة جسيمات (أو كينونات) لها وصف فизيائي وتعبير رياضي قابل للتداول.

مبدأ التراكب Superposition Principle

يففترض ميكانيك الكموم أن حالة أي نظام تتتألف من مجموعة من حالات متراكبة على بعضها البعض الآخر. وفي تصور الميكانيك الموجي لشrodنجر فإن هذه الحالات هي أمواج مستوية تترافق على بعضها البعض الآخر لتؤلف رزمة موجية Wavepacket. ومبدأ التراكب فرضية أساسية في ميكانيك الكموم.

رزمة الأمواج Wavepacket

هي مجموعة الأمواج المتراكبة لتأليف حالة النظام سواء كان جسيماً واحداً أو مجموعة جسيمات.

موجة الزمرة Group Wave

الموجة الكلية التي تتألف غالباً من أمواج الطور المتراكبة على بعضها.

دالة الموجة Wave Function

مصطلح وضع في إطار التصوير الموجي للجسيمات يقصد به تعبير رياضي يصف حالة النظام ويحتوي على كافة خصائصه. نتعامل بهذا المصطلح في صياغات شرودنجر ميكانيك الكموم.

الحالة State

تعبير عن وضع النظام الفيزيائي ويمكن أن تكون الحالة نقية pure أو تكون مختلطة mixed فإن كانت نقية فهي بسيطة وتمثل بموجة مستوية مثلاً أما إذا كانت مختلطة فإنها تكون متراكبة من أحوال متباعدة في الطور.

متوجه الحالة State Vector

مصطلح وضع في إطار التصوير المصفوفي المتوجه للنظم الفيزيائية يقصد به تعبير رياضي يصف حالة النظام ويحتوي على كافة خصائصه. نتعامل بهذا المصطلح في صياغات هايزنبرغ ميكانيك الكموم.

النشر Expansion

كتابة متوجه في الفضاء بدلالة مساقته على أسس الفضاء أي بدلالة مركباته. وعند كتابة متوجه الحالة بدلالة أسس فضاء هيلبرت فإن عملية النشر هذه هي تحليل الحالة إلى مكوناتها الأساسية.

المضروب القياسي Scalar Product

هو مسقط المتوجه على آخر.

التعامد Orthogonality

عندما يكون مسقط حالة على أخرى صفرًا فإن الحالتين متعامدتين. وكذلك الأمر مع المتجهات.

الإحتمالية Probability

نسبة برد بما وصف حالة للنظام مقررنا بأحواله الممكنة الأخرى كلها فلا معنى للإحتمالية دون تعدد الأحوال.

كثافة الإحتمالية Probability Density

توزيع الإحتمالية على خط أو سطح أو في حجم. وفي الذرات هي مؤشر لإحتمالية إيجاد الإلكترونات في الواقع.

معادلة الاستمرارية Continuity Equation

معادلة عامة في الفيزياء تعبر عن حفظ الكثافة والتيار في صورتها العامة. وهي تعبر عام عن حفظ الطاقة والزخم.

إجراء Operator

تعبير رياضي يمثل تحويلًا transformation للحالة بطريقة ما كالانتقال المكاني (مثلاً بإجراء الزخم الخطى) أو الانتقال الزمانى (مثلاً بإجراء الطاقة الكلية المسمى الهاamiltonي) أو التدوير (مثلاً بإجراء الزخم الزاوي) وقد سميته إجراء لأنه يجري على الحالة فيحولها إلى أخرى. يؤلف الإجراء بالصيغة المصفوفية مصفوفة مربعة قيمها المخصوصة هي القيم المخصوصة لذلك الإجراء.

الدواال الإجرائية Operator Functions

دواال جبرية مؤلفة من إجراءات بدل المتغيرات.

الإجراءات المترادفة Commuting Operators

وهي التي لا تختلف نتائج عملها عند تبديلها في التعاقب على بعضها فإن كان $AB = BA$ فـيلـ أـنـماـ إـجـرـائـينـ مـتـبـادـلـينـ. وـهـذـهـ إـجـرـاءـاتـ مـضـامـينـ وـخـصـائـصـ أـهـمـهاـ أـنـ لـهـ مـتـجـهـاتـ مـخـصـوصـةـ مـتـزـامـنـةـ وـلـاـ يـؤـثـرـ قـيـاسـ الـمـلـحـوظـ الـمـقـابـلـ لـأـحـدـهـاـ عـلـىـ قـيـاسـ الـمـلـحـوظـ الـمـقـابـلـ لـلـآـخـرـ.

الإجراءات اللامبادلة Non-Commuting Operators

وهي التي تختلف نتائج عملها عند تبديلها في التعاقب على بعضها فإن كان $AB \neq BA$ فـيلـ أـنـماـ إـجـرـائـينـ لـامـبـادـلـينـ. وـهـذـهـ إـجـرـاءـاتـ مـضـامـينـ وـخـصـائـصـ أـهـمـهاـ أـنـ لـيـسـ لـهـ مـتـجـهـاتـ مـخـصـوصـةـ مـتـزـامـنـةـ وـلـيـثـرـ قـيـاسـ الـمـلـحـوظـ الـمـقـابـلـ لـأـحـدـهـاـ عـلـىـ قـيـاسـ الـمـلـحـوظـ الـمـقـابـلـ لـلـآـخـرـ.

الإجراءات الهرمائية Hermitian Operators

هي الإجراءات التي تكون قيمها المخصوصة حقيقية وتمثل الملاحظات المقابلة لها كميات فيزيائية قابلة للقياس. وفي الصيغة المصفوفية يكون ترانسبوز المصفوفة بقرينه العقد مساويا لها أي $A^\dagger = A$.

إجراء التخليق Creation Operator

هو إجراء يعمل على تخليق حالة من حالات الطاقة أي يرفع مستوى الطاقة إلى قيمة المستوى التالي الأعلى عندما يعمل على متوجه الحالة.

إجراء الإنفاء Annihilation Operator

هو إجراء يعمل على إففاء حالة من حالات الطاقة أي يخفض مستوى الطاقة إلى قيمة المستوى التالي الأدنى عندما يعمل على متوجه الحالة وبالأخص في مسألة المتذبذب التواقي البسيط.

إجراءات الرفع Raising Operator

وهي إجراءات تعمل على رفع قيمة الزخم الزاوي إلى المستوى التالي الأعلى عندما تعمل على متوجه الحالة للنظام.

إجراءات الخفض Lowering Operator

وهي إجراءات تعمل على خفض قيمة الزخم الزاوي إلى المستوى التالي الأدنى عندما تعمل على متوجه الحالة للنظام.

حالة مخصوصة Eigenstate (أو دالة مخصوصة Eigen Function)

حين يعمل إجراء على حالة فينتر عندها نفسها مضروبة بعده فقط فإننا نقول أن تلك الحالة مخصوصة لذلك الإجراء المعين فهي متعلقة به، مخصوصة له.

متوجه الحالة State Vector (متوجه مخصوص)

حين نتكلّم بمفردات وإصطلاحات فضاء هليبرت نعبر عن حالة النظام بمتوجه في ذلك الفضاء ونسميه متوجه الحالة وهو نفسه حالة النظام في إطار تصور هيزنبرغ وهو دالة الموجة في تصور شرودنجر، لا فرق بل هي إصطلاحات وتسميات. فإن كان متوجه الحالة مخصوصاً بإجراء معين سمي متوجه مخصوص.

الحالات المقيدة Bound States

حالات النظام التي يكون فيها مقيداً داخل حدود معينة مفروضة عليه بموجب شروط فيزيائية.

الحالات (الدواال أو المتوجهات) المخصوصة المتزامنة Simultaneous Eigenstates

هي الحالات التي تكون مخصوصة بأكثر من إجراء في آن واحد. والشرط أن تكون الإجراءات تبادلية مع بعضها فإن لم يكن من حالات مخصوصة متزامنة.

سوية المتجه Norm of a Vector

القيمة المطلقة للمتجه وهو كمية عددية موجبة.

الملحوظ Observable

ويقصد به الكمية الفيزيائية المقابلة لإجراء معين فإن ميكانيك الكموم لا يرى الكميات الفيزيائية إلا إجراءات أو هي نتاج إجراءات وهي ما يلاحظ بالفعل في الواقع ويتم قياسه في المختبر. وجميع الملحوظات كميات حقيقة قابلة للقياس. فإن لم تكن فهي ليست ملحوظات. مثل ذلك زخم الجسم وطافته. ونظرا لأن الملحوظات مقلبة دوماً لإجراءات فقد حصل خلط غير مقصود بينها في كثير من الكتب.

القيمة المخصوصة Eigenvalue

يسمى العدد الناتج من تشغيل الإجراء على حالته المخصوصة قيمة مخصوصة فإن كان العدد حقيقياً كان الإجراء العامل مقابل المحوظ فيزيائي مثل إجراء الزخم الخطي وإجراء الطاقة الكلية (الهاملتوني).

القيمة المتوقعة Expectation Value

للنظام الكمومي أحوال مختلفة وهو لا يستقر على واحد منها ويسمى معدل أقيام الحالات المختلفة لأي ملحوظ من الملحوظات الخاصة بالنظام القيمة المتوقعة لذلك المحوظ وهي قيمة نظرية نستخرجها بالحساب ولا يشترط الحصول عليها بنفسها في القياس.

إجراء الإسقاط Projection Operator

إجراء يقصد به إسقاط الحالة على وضعها عند قيمتها لحظة القياس.

الهاملتوبي Hamiltonian

وهو تعبير عن الطاقة الكلية للنظام ويتخذ الصيغة الجبرية لمتغيرات في الميكانيك الكلاسيكي بكونه مجموع الطاقة الحركية والكامنة في النظام. أما في ميكانيك الكم فيتخد الهاملتوبي الصيغة الإجرائية ويعبر عنه بتعابير رياضية صرف.

اللاغرانجي Lagrangian

فضل الطاقة الحركية على الطاقة الكامنة في الميكانيك الكلاسيكي. وفي ميكانيك الكموم هو صيغة إجرائية تعبر عن حالة مختزلة لمعادلة الحركة.

التوالد Degeneracy

نشوء حالات مكررة للنظام لها القيم المخصوصة نفسها. ويحصل التوالد في الطاقة وفي الزخم الزاوي. فحالات الطاقة المتوازدة تمتلك الطاقة نفسها وحالات الزخم الزاوي المتوازدة لها الزخم الزاوي الكلي نفسه. ويتم فرز الحالات المتوازدة للطاقة والزخم الزاوي عملياً باستخدام مجال مغناطيسي خارجي في مايعرف بظاهرة زيمان.

البرم Spin

صفة ذاتية للجسيمات الأولية وللنظام تختص فيها حالة النظام بخصائص معينة تحت تأثير إجراء التدوير. ويقاس البرم بوحدات ثابت بلانك.

فضاء الإحداثيات Coordinate Space

هو فضاء ثلاثي الأبعاد محاوره هي الأبعاد المكانية المتعامدة على بعضها وتوصف فيه حالات النظام.

فضاء الزخم Momentum Space

هو فضاء ثلاثي الأبعاد محاوره هي مركبات الزخم الخطى المتعامدة على بعضها وتصف فيه حالات النظام.

فضاء هيلبرت Hilbert Space

فضاء خطى لانهائي الأبعاد (بصورة عامة) أرسنه متوجهات هي عبارة عن دوال معقدة للزمان والمكان متعامدة على بعضها تصف فيه الحالات الكمومية.

النقويم Normalization

عملية تقسيس الدالة (صيغة حالة النظام) حتى تكون الإحتمالية الكلية لها 100%.

الطور Phase

في أبسط حالاته هو طور الموجة ويمكن أن يمثل إتجاه الحالة في فضاء الإحداثيات.

الطاقة الصفرية Zero-Point Energy

طاقة النظام في حدتها الأدنى. نحصل على الطاقة الصفرية في حالي الجسيم المقيد في صندوق ذي جدران صلبة وفي حالة المتذبذب التوافقي.

الشروط الحدودية Boundary Conditions

شروط فيزيائية وعلاقات تتم صياغتها بصيغ رياضية تعبر عن حدود النظام وفقاً لحدود متغيراته.

التحويلات الوحدوية Unitary Transformations

تحويلات يراد منها تغيير أساس الفضاء الذي يوصف فيه النظام بما يحفظ إحتماليات حالاته الممكنة.

التحويلات المعيارية Gauge Transformation

تحويلات تقيسية يراد منها إبدال مقاييس الكمون أو الطور للنظام آخر. وتكون بعض النظم لا تغيرية تحت هذه التحويلات بينما تتغير نظم أخرى تحت مثل هذه التحويلات.

مصفوفات باولي Pauli Matrices

ثلاثة مصفوفات مربعة تعبر عن المركبات الثلاثة لإجراءات برم الإلكترون وتتمثل إجراءات تدوير محورية.

مبدأ الاستثناء لباولي Pauli Exclusion Principle

مبدأ يقول بعدم امكان اجتماع جسيمين لهما برم نصف في حالة كمومية واحدة. وسيبيه التناظر المضاد لهذه الحالات.

شرط الإكمال Completeness Condition

ويقصد به أن أساس الفضاء الخطي تؤلف مجموعة كاملة من متوجهات وحدة مقومة ومتعايدة على بعضها. وفي صورة أخرى ينعكس هذا الشرط بقولنا أن مجموع إحتماليات الحالات المختلفة للنظام يساوي واحد صحيح.

الحالة الأرضية (الدنيا) Ground State

وهي حالة أدنى طاقة يمكن أن يمتلكها النظام

الحالات المثارة Excited States

وهي الحالات التي يكون فيها النظام في طاقة أعلى من طاقة الحالة الأرضية.

التحيز (الموقع) Localization

تعيين فترة مكانية محددة لموقع النظام ويتم عبر تصوير النظام موجيا بتراكب أمواج كثيرة تمثل كل منها حالة من حالات النظام الفيزيائي. ويتوارد النظام في هذه الأحوال باحتماليات مختلفة يمكن حسابها.

Potential الجهد (الكمون)

طاقة تعبر عن قوة كامنة في النظام أو مفروضة عليه.

التنفیق الکمومی Quantum Tunneling

هروب الجسيمات عبر كمون أكبر من طاقتها الحركية.

التعلق الكموي Quantum Entanglement

ترتبط نظام مع آخر بعلاقة لا سببية يجعله ملزماً إياه في تغيير أحواله ومستجيبة للتلك التغييرات في الحال.

تقدير المصفوفات Matrix Diagonalization

ويقصد به تحويل المصفوفات المربعة إلى قطرية تصنف عناصرها على قطر المصفوفة فيما تكون العناصر الأخرى كلها صفراً. ويستخدم من العملية في تحصيل القيم المخصوقة لل箕وفة، إذ تكون العناصر القطرية هي قيمها المخصوقة. فضلاً عن سهولة التعامل مع المصفوفة القطرية في عمليات الجمع والضرب واستخراج المعكوس.

ثوابت فيزيائية

$1.6021 \times 10^{-19} \text{ C}$	شحنة الإلكترون
$1.6021 \times 10^{-19} \text{ J}$	الأكترون فولت
$9.1093 \times 10^{-31} \text{ kg}$	كتلة الإلكترون
0.511 MeV/c^2	
$1.6726 \times 10^{-27} \text{ kg} = 938.2723 \text{ MeV/c}^2$	كتلة البروتون
$1.6749 \times 10^{-27} \text{ kg} = 939.5656 \text{ MeV/c}^2$	كتلة النيترون
$1.3806 \times 10^{-23} \text{ J/K}$	ثابت بولتزمان
$1.0545 \times 10^{-34} \text{ J.s}$	ثابت بلانك
$6.5821 \times 10^{-27} \text{ MeV.s}$	
$1/137$	ثابت التركيب الدقيق
$0.5291 \times 10^{-10} \text{ m}$	نصف قطر بور
$1.096 \times 10^7 \text{ m}^{-1}$	ثابت ريدبرج
$1.6605 \times 10^{-27} \text{ kg}$	وحدة الكتلة الذرية
$0.5788 \times 10^{-10} \text{ MeV/T}$	مغناطون بور
$6.6725 \times 10^{-11} \text{ m}^2/\text{kg.s}^2$	ثابت الجاذبية الكوني
$2.9987 \times 10^8 \text{ m/s}$	سرعة الضوء

المراجع

- S. Gasiorowicz, Quantum Physics, 3rd Edition, John Wiley & Sons, Inc. 2003.
- D. Griffiths, Introduction to Quantum Mechanics, Prentice Hall Inc. 1995.
- N. Zettili, Quantum Mechanics and Applications, 2nd Edition, John Wiley & Sons, Inc. 2009.
- G. L. Squires, Problems in Quantum Mechanics, Cambridge University Press, 1995.
- P.M.A. Dirac, Principles of Quantum Mechanics, Cambridge University Press 1959.

عنوان المؤلف

البريد الإلكتروني : basel_tai@yahoo.com

قناة اليوتيوب للمؤلف

https://www.youtube.com/user/BaselTai?ob=0&feature=results_main